

# Proračun konstrukcije stambene građevine

---

Vresk, Hana

**Undergraduate thesis / Završni rad**

**2023**

Degree Grantor / Ustanova koja je dodijelila akademski / stručni stupanj: **University of Zagreb, Faculty of Civil Engineering / Sveučilište u Zagrebu, Građevinski fakultet**

Permanent link / Trajna poveznica: <https://urn.nsk.hr/um:nbn:hr:237:156113>

Rights / Prava: [In copyright/Zaštićeno autorskim pravom.](#)

Download date / Datum preuzimanja: **2024-07-29**

Repository / Repozitorij:

[Repository of the Faculty of Civil Engineering,  
University of Zagreb](#)



**GRAĐEVINSKI FAKULTET SVEUČILIŠTA U ZAGREBU**

**HANA VRESK**

**PRORAČUN KONSTRUKCIJE STAMBENE  
GRAĐEVINE**

**ZAVRŠNI RAD**

**Zagreb, 2023.**



**GRAĐEVINSKI FAKULTET SVEUČILIŠTA U ZAGREBU**

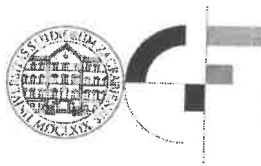
**ZAVRŠNI RAD**

**PRORAČUN KONSTRUKCIJE STAMBENE GRAĐEVINE**

**Mentor:**  
**Mladen Meštrović**

**Student:**  
**Hana Vresk**  
**0082063729**

**Zagreb, 2023.**



**OBRAZAC 2**

**TEMA ZAVRŠNOG ISPITA**

Ime i prezime studenta: **Hana Vresk**

JMBAG: **0082063729**

Završni ispit iz predmeta: **Numeričko modeliranje konstrukcija**

|     |  |
|-----|--|
| HR  | <b>Proračun konstrukcije stambene građevine</b>    |
| ENG | <b>Structural analysis of residential building</b> |

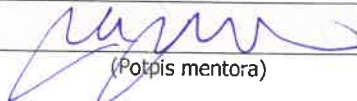
Opis teme završnog ispita:

definirati konstrukciju građevine, analiza opterećenja, numerički model konstrukcije, proračun konstrukcije, dimenzioniranje konstrukcije, nacrt armature karakterističnih elemenata konstrukcije

Datum: **28.4.2022.**

Komentor: \_\_\_\_\_  
(Ime i prezime komentatora)

Mentor: **Mladen Meštrović**  
(Ime i prezime mentora)

  
(Potpis mentora)



OBRAZAC 3

**POTVRDA O POZITIVNOJ OCJENI PISANOG DIJELA ZAVRŠNOG ISPITA**

Student:

**Hana Vresk, 0082063729**

(Ime i prezime studenta, JMBAG)

zadovoljio je na pisanom dijelu završnog ispita pod naslovom:

**Proračun konstrukcije stambene građevine**

(Naslov teme završnog ispita na hrvatskom jeziku)

**Structural analysis of residential building**

(Naslov teme završnog ispita na engleskom jeziku)

i predlaže se provođenje daljnog postupka u skladu s Pravilnikom o završnom ispitu na preddiplomskom sveučilišnom studiju građevinarstva.

Obrađena je građevina stambene namjene, čije su etaže prizemlje, prvi kat i drugi kat. Krovna konstrukcija je višestrešno drveno krovište. Za građevinu je razrađen plan pozicija, obrađena analiza opterećenja, izrađen numerički model konstrukcije pomoću kojeg je napravljen proračun i dimenzioniranje elemenata konstrukcije. U grafičkim prilozima sadržan je nacrt armature stropne ploče prizemlja.

(Sažetak rada na hrvatskom jeziku, maksimalno 200 riječi)

The subject of project was a residential building, which contains of the ground floor, 1<sup>st</sup> floor and 2<sup>nd</sup> floor. The roof structure is a multi-pitched wooden roof. A position plan was defined was defined for the building, a load analysis on the structure, and numerical model of the structure was created, which was used for calculations and for the design of structural elements. The graphic part contains the reinforcement blueprints of the ground ceiling slab.

(Sažetak rada na engleskom jeziku, maksimalno 200 riječi)

|                |     |  |
|----------------|-----|--|
| Ključne riječi | HR  | <b>statički proračun, armatura</b>       |
|                | ENG | <b>design calculation, reinforcement</b> |

**18.0.2023.**

(datum)

**Mladen Meštrović**

(Ime i prezime mentora)

(Potpis mentora)

## Sadržaj

---

|  |           |
|--|-----------|
| <b>A) TEHNIČKI DIO.....</b>                                  | <b>3</b>  |
| 1) TEHNIČKI OPIS.....  | 4         |
| 1.1) OPĆENITO .....  | 4         |
| 1.2) NOSIVA KONSTRUKCIJA.....                                | 4         |
| 1.3) ARHITEKTONSKE PODLOGE .....                             | 6         |
| 1.4) GRADIVA.....  | 14        |
| 2) PRORAČUN MEHANIČKE OTPORNOSTI I STABILNOSTI .....         | 15        |
| 1.5) UVODNE NAPOMENE: .....                                  | 15        |
| 1.6) ANALIZA OPTEREĆENJA .....                               | 19        |
| 1.7) Vlastita težina + dodatno stalno opterećenje .....      | 19        |
| 1.8) Uporabno opterećenje .....                              | 21        |
| 1.9) Snijeg .....  | 23        |
| 1.10) Vjetar .....   | 24        |
| 1.11) Ziđe .....   | 28        |
| 1.12) Potres .....   | 33        |
| 1.13) STATIČKI PRORAČUN I DIMENZIONIRANJE.....               | 46        |
| 1.14) KROVIŠTE.....  | 47        |
| 1.15) STUBIŠTE .....   | 62        |
| 1.16) MEĐUKATNA NOSIVA KONSTRUKCIJA .....                    | 64        |
| 1.17) TEMELJNA KONSTRUKCIJA.....                             | 91        |
| <b>B) GRAFIČKI PRIKAZI .....</b>                             | <b>96</b> |
| 1) PLAN POZICIJA .....                                       |           |
| TLOCRT TEMELJA   |           |
| STROPNA KONSTRUKCIJA PRIZEMLJA                               |           |
| STROPNA KONSTRUKCIJA 1. KATA                                 |           |
| STROPNA KONSTRUKCIJA 2. KATA                                 |           |
| TLOCRT KROVIŠTA  |           |
| TLOCRT KROVNIH PLOHA   |           |
| PRESJECI   |           |
| 2) ARMATURA.....   |           |
| DONJA ZONA STROPNE PLOČE PRIZEMLJA                           |           |
| GORNJA ZONA STROPNE PLOČE PRIZEMLJA                          |           |
| DISPOZICIJA PRESJEKA KARAKTERISTIČNIH ELEMENATA KONSTRUKCIJE |           |
| PRESJEK P1, P2, P2a, P2b, P2c                                |           |
| PRESJEK P3, P4, P5, P6, P7                                   |           |
| PRESJEK P8, P9, P10, P11, P12, P12a, P13, P14                |           |
| PRESJEK P15, P16, P17  |           |
| <b>C) LITERATURA .....</b>                                   |           |



## **A) TEHNIČKI DIO**

# **1) TEHNIČKI OPIS**

## **1.1) OPĆENITO**

Građevina koja je obrađena ovim projektnim zadatkom i za koju je provedena provjera mehaničke stabilnosti i otpornosti je višestambena zgrada. Lokacija je Bjelovar gdje proračunsko ubrzanje tla iznosi  $a_g=0,14$  g, nalazi se u 3. snježnom području (kontinentalna) nadmorske visine do 200 m.n.m (nadmorska visina na lokaciji cca 133 m.n.m.). gdje je karakteristično opterećenje snijegom na tlu  $s_k=1,25$  kN/m<sup>2</sup> te se nalazi u vjetrovnoj zoni osnovne brzine vjetra  $v_{b,0}=20$  m/s. Vrsta tla je C (duboke naslage srednje gustog pijeska, šljunka ili srednje krutih glina debljine od nekoliko desetina do mnogo stotina metara), a predviđena nosivost tla ispod građevine je 160 kN/m<sup>2</sup>. Etažnost je prizemlje, 1. kat i 2. kat.

## **1.2) NOSIVA KONSTRUKCIJA**

Stambena građevina maksimalnih je tlocrtnih dimenzija 18,24 m x 12,12 m, te ukupne visine građevine 10,92 m mjereno od kote konačno zaravnatog i uređenog terena na najnižem dijelu uz pročelje građevine.

Krovište građevine je razvedeno višestrešno, nagiba krovnih ploha od 18°, a pokrov su kupa kanalice. Nosiva konstrukcija krovišta je drvena i sastoji se od elemenata minimalnih poprečnih presjeka za robove 10/12 cm, stup 16/16 cm, podrožnice 16/18 cm, uvalne grede 16/16 cm i nazidnice 16/16 cm prema statičkom proračunu oslonjeno na punu armiranobetonsku ploču i obodne zidove.

Vertikalnu nosivu konstrukciju čini ziđe omeđeno vertikalnim i horizontalnim serklažima raspoređeno prema grafičkim prilozima, a stropne međukatne nosive konstrukcije izvode se kao pune armiranobetonske ploče. Vanjski nosivi zidovi izvode se od šuplje blok opeke debljine 30 cm, a unutarnji od šuplje blok opeke 25 cm. Pregradni zidovi izvode se od šuplje blok opeke debljine 12 cm te poroznog betona 12 cm kao i ograda nenatkrivene terase.

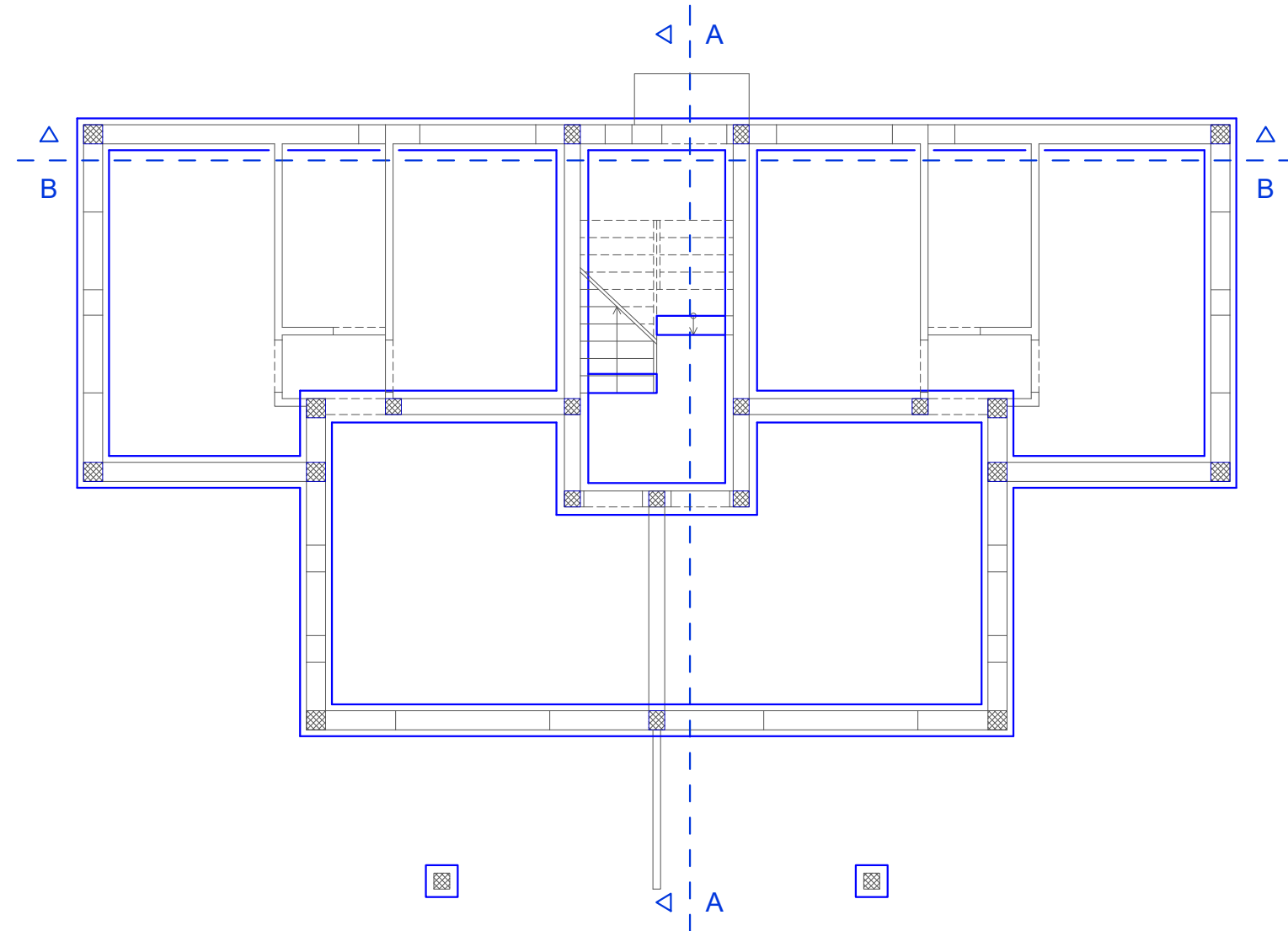
Vertikalna komunikaciju među etažama ostvaruje se armiranobetonskim dvokrakim stubištem debljine ploče 18 cm prema statičkom proračunu.

Temeljenje stambene građevine izvodi se trakastim temeljima povrh kojih se izvodi podna ploča debljine 15 cm ispod koje je nabijeni tucanik i podložni beton. Temeljne trake širine su prema statičkom proračunu te se temelje na dubini minimalno 80 cm ispod površine okolnog tla na zdravom i sraslom tlu. Između traka vrši se nasipavanje i nabijanje zemlje, u slojevima do potrebne visine, preko koje se postavlja tampon nabijenog tucanika minimalne zbijenosti  $M_s=40$  MPa.

Svi armiranobetonski elementi izvode se betonom klase C25/30 i armiraju čelikom kvalitete B500B. Podložni beton izvodi se betonom klase C16/20. Drvena građa predviđena je kao četinari II. klase (C24). Ziće od zidnih elemenata min. čvrstoće  $10 \text{ N/mm}^2$  i morta opće namjene M5.

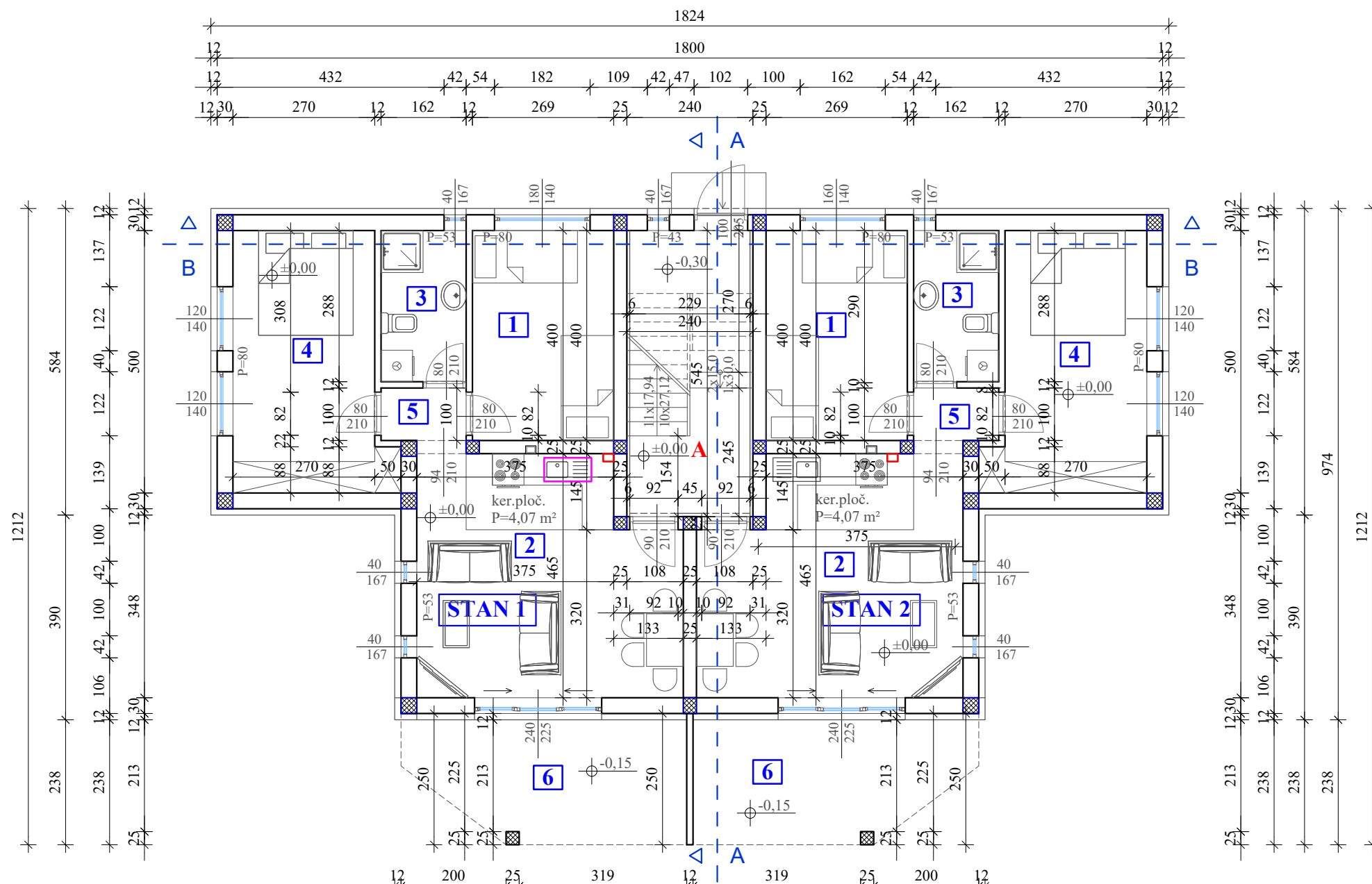
Za potrebe proračuna konstrukcije u svrhu izrade završnog rada nije postojao uvid u podatke geomehaničkih svojstva tla za odabranu područje, te je za proračun temelja predviđen koeficijent posteljice u iznosu od  $k_s=4000 \text{ kN/m}^3$ , očekivano slijeganje tla 4,0 cm, a kao nosivost tla ispod objekta predviđena na  $160 \text{ kN/m}^2$ .

### **1.3) ARHITEKTONSKE PODLOGE**



60

|                          |
|--------------------------|
| NAZIV GRAFIČKOG PRILOGA: |
| <b>TLOCRT TEMELJA</b>    |
| MJERILO:<br>1:100        |



### STAN 1

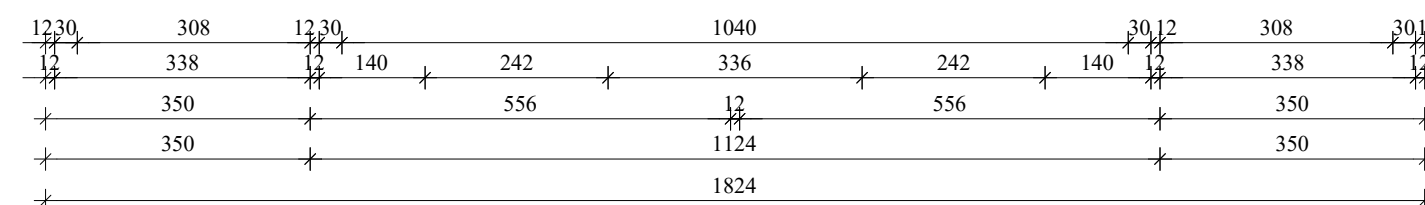
|  |                         |
|--|-------------------------|
| 1. SOBA 1<br>parket                                | $P = 10,76 \text{ m}^2$ |
| 2. DNEVNI BORAVAK<br>I KUHINJA<br>parket/ker.ploč. | $P = 21,91 \text{ m}^2$ |
| 3. KUPAONICA<br>ker.ploč.                          | $P = 4,66 \text{ m}^2$  |
| 4. SOBA 2<br>parket                                | $P = 13,94 \text{ m}^2$ |
| 5. HODNIK<br>parket                                | $P = 1,62 \text{ m}^2$  |
| 6. NADSTREŠNICA<br>zelena površina                 | $P = 12,04 \text{ m}^2$ |
| $\Sigma$   | $P = 64,93 \text{ m}^2$ |

### STAN 2

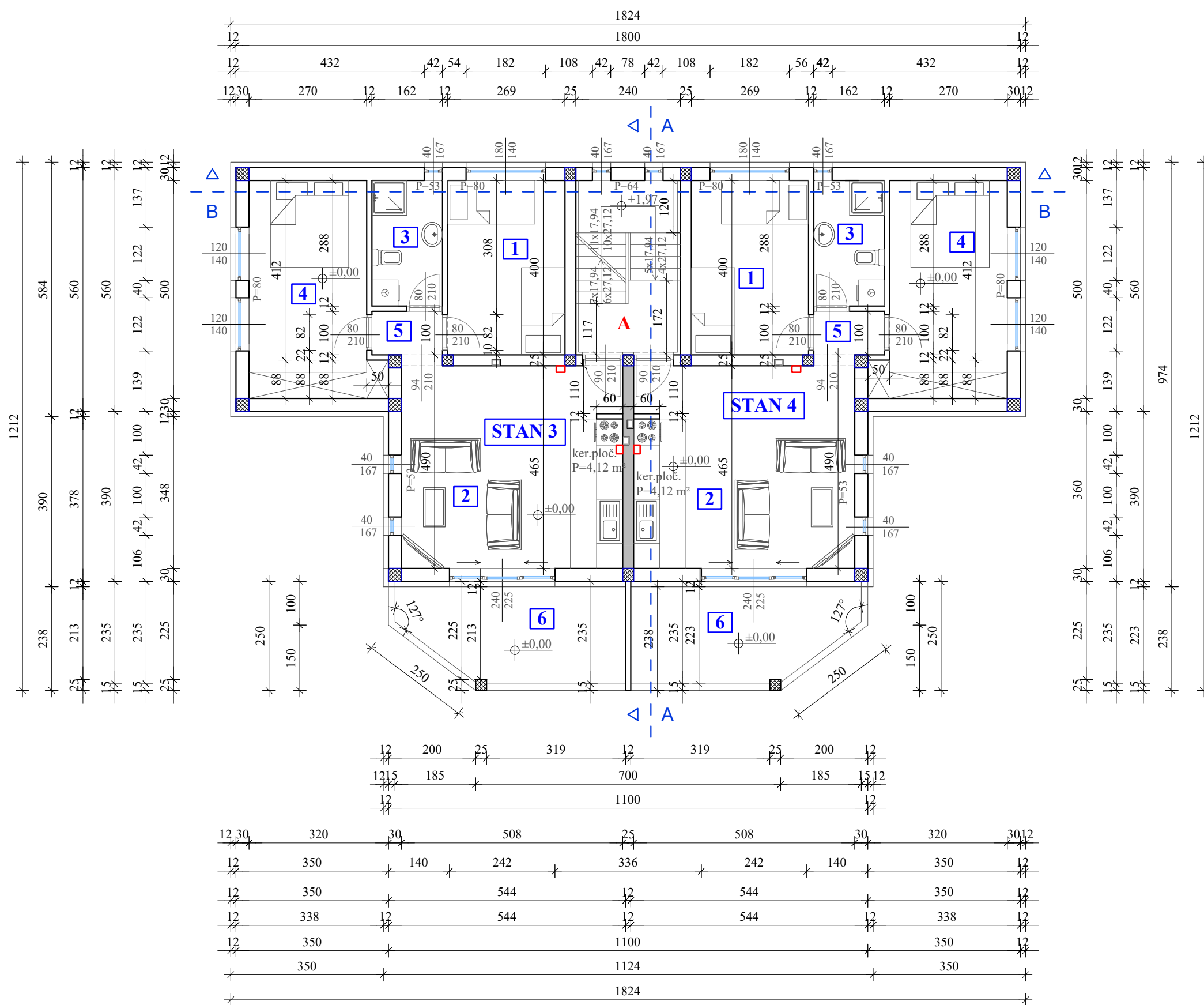
|  |                         |
|--|-------------------------|
| 1. SOBA 1<br>parket                                | $P = 10,76 \text{ m}^2$ |
| 2. DNEVNI BORAVAK<br>I KUHINJA<br>parket/ker.ploč. | $P = 21,91 \text{ m}^2$ |
| 3. KUPAONICA<br>ker.ploč.                          | $P = 4,66 \text{ m}^2$  |
| 4. SOBA 2<br>parket                                | $P = 13,94 \text{ m}^2$ |
| 5. HODNIK<br>parket                                | $P = 1,62 \text{ m}^2$  |
| 6. NADSTREŠNICA<br>zelena površina                 | $P = 12,04 \text{ m}^2$ |
| $\Sigma$   | $P = 64,93 \text{ m}^2$ |

ZAJEDNIČKE PROSTORIJE:

A HODNIK SA STUBIŠTEM  $P = 13,08 \text{ m}^2$



NAZIV GRAFIČKOG PRILOGA:  
**TLOCRT PRIZEMLJA**  
MJERILO:  
1:100



### STAN 3

|                             |                          |
|-----------------------------|--------------------------|
| 1. SOBA 1                   | P = 10,76 m <sup>2</sup> |
| 2. DNEVNI BORAVAK I KUHINJA | P = 23,83 m <sup>2</sup> |
| 3. KUPAONICA                | P = 4,66 m <sup>2</sup>  |
| 4. SOBA 2                   | P = 13,94 m <sup>2</sup> |
| 5. HODNIK                   | P = 1,62 m <sup>2</sup>  |
| 6. NATKRIVENA TERASA        | P = 11,05 m <sup>2</sup> |

$\Sigma$  P = 65,86 m<sup>2</sup>

### STAN 4

|                             |                          |
|-----------------------------|--------------------------|
| 1. SOBA 1                   | P = 10,76 m <sup>2</sup> |
| 2. DNEVNI BORAVAK I KUHINJA | P = 23,83 m <sup>2</sup> |
| 3. KUPAONICA                | P = 4,66 m <sup>2</sup>  |
| 4. SOBA 2                   | P = 13,94 m <sup>2</sup> |
| 5. HODNIK                   | P = 1,62 m <sup>2</sup>  |
| 6. NATKRIVENA TERASA        | P = 11,05 m <sup>2</sup> |

$\Sigma$  P = 65,86 m<sup>2</sup>

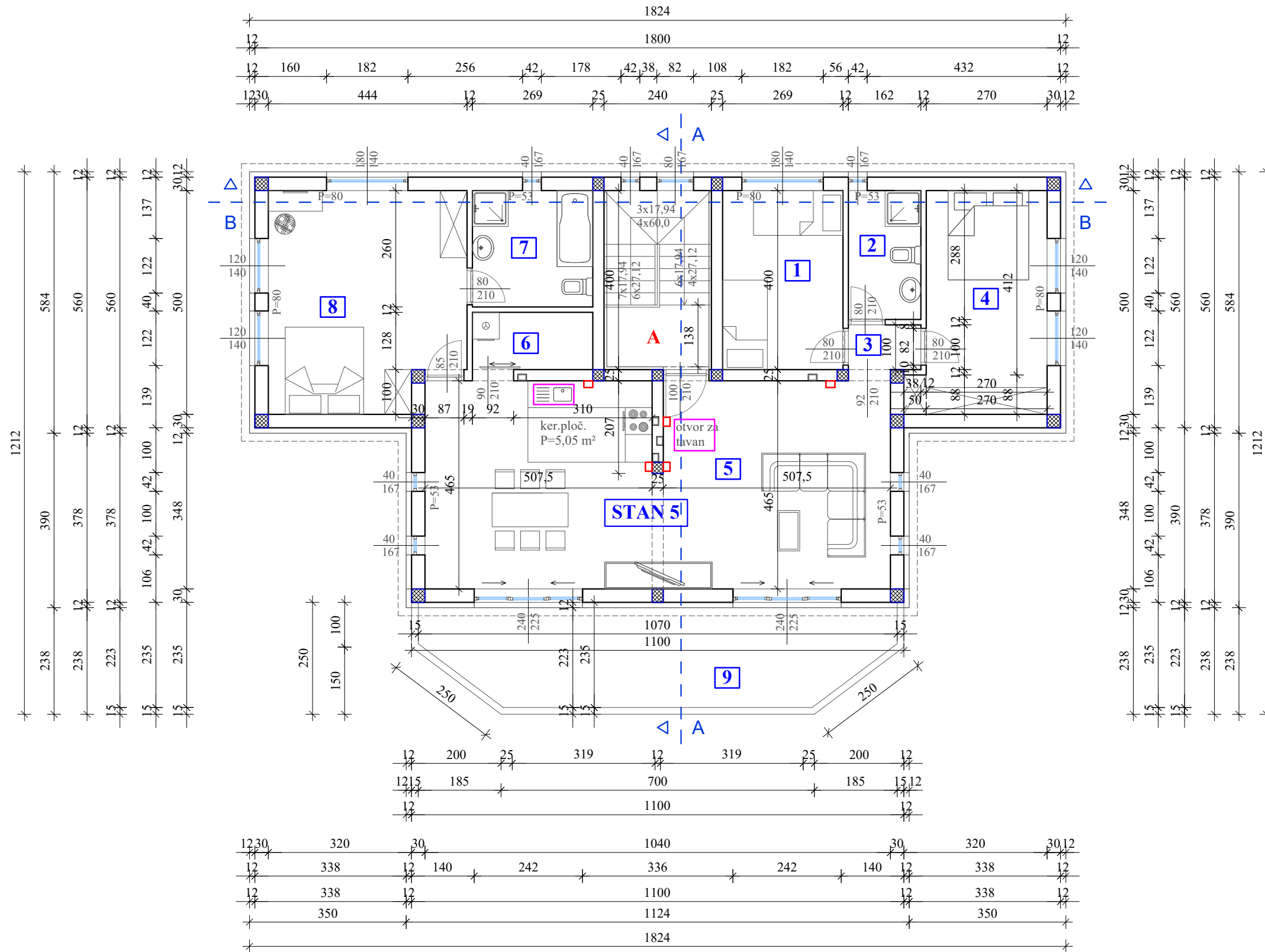


NAZIV GRAFIČKOG PRILOGA:

TLOCRT 1. KATA

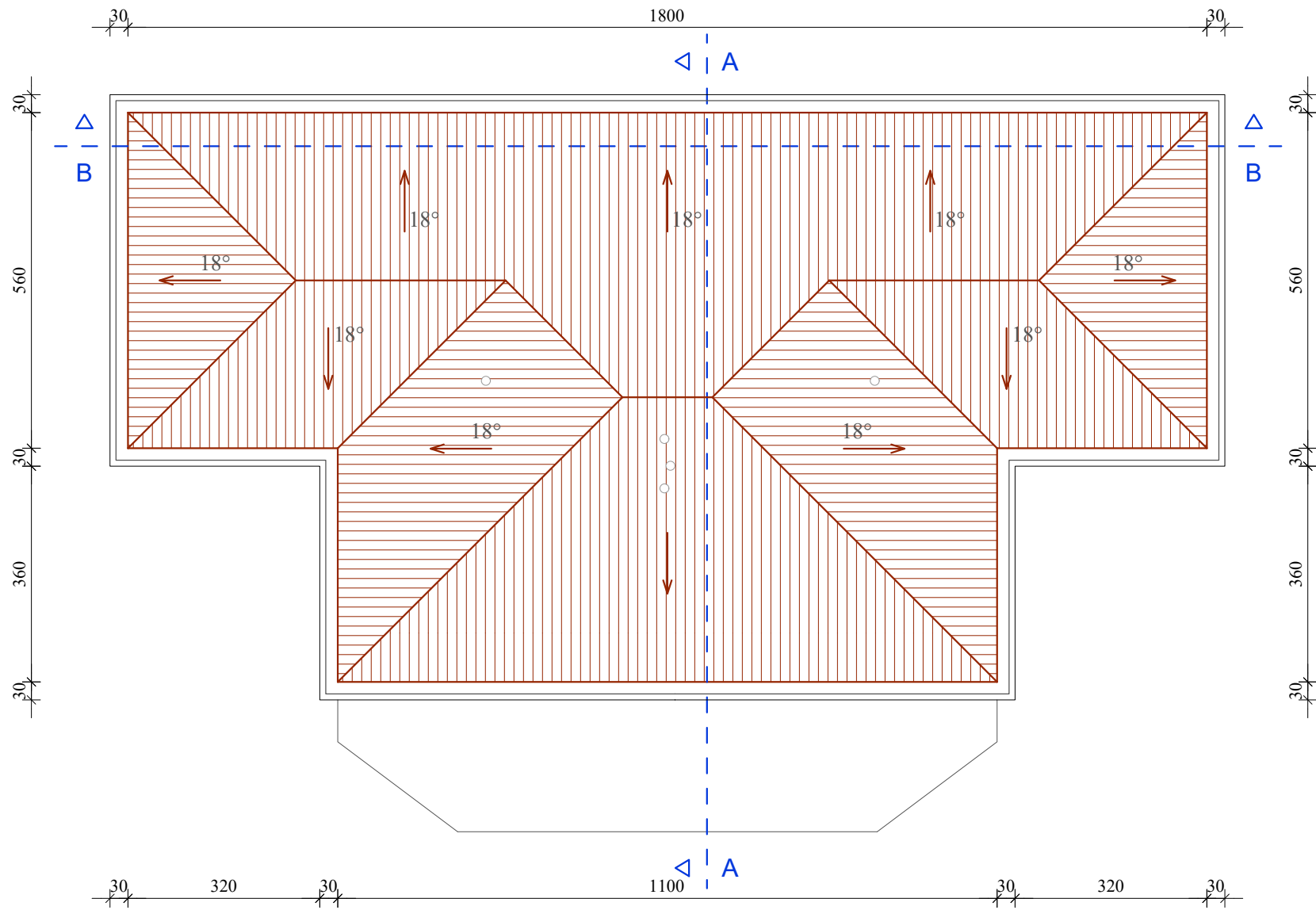
MJERILO:

1:100



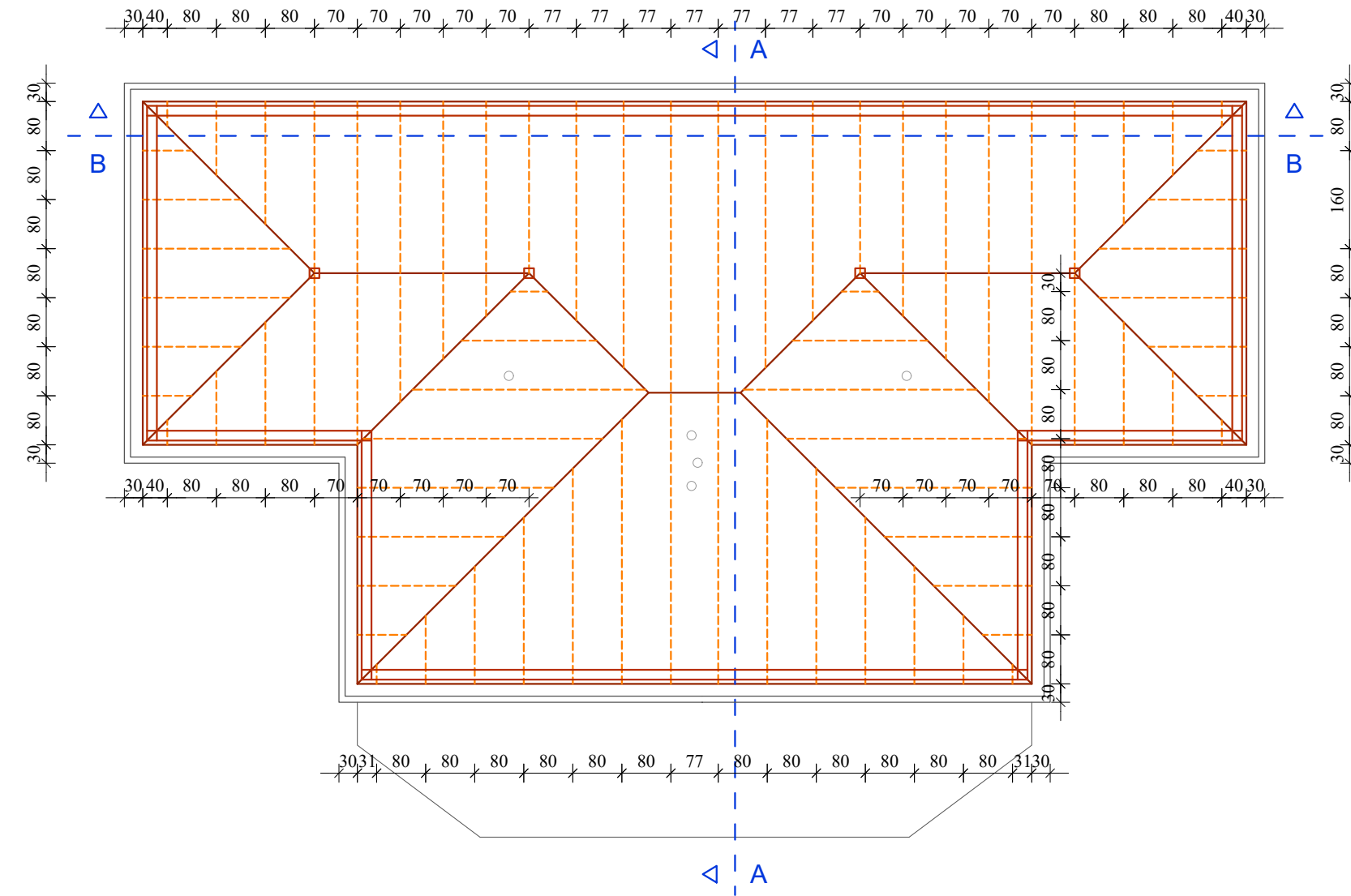
NAZIV GRAFIČKOG PRILOGA:  
**TLOCRT 2. KATA**  
MJERILO: 1:100



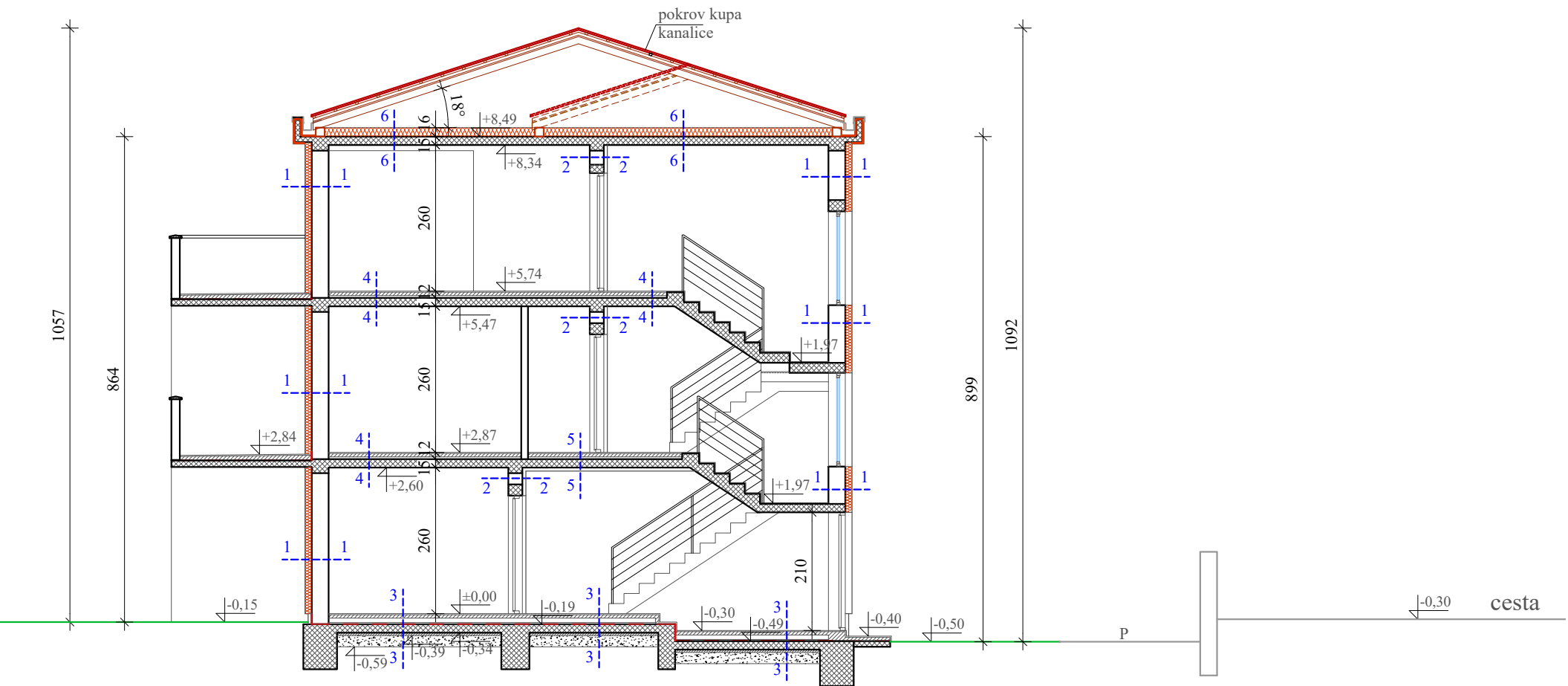


NAZIV GRAFIČKOG PRILOGA:  
**TLOCRT KROVNIH  
PLOHA**  
MJERILO:  
1:100





|                          |
|--------------------------|
| NAZIV GRAFIČKOG PRILOGA: |
| <b>TLOCRT KROVIŠTA</b>   |
| MJERILO:                 |
| 1:100                    |



PRESJEK A-A R.K. 0,00 = A.K. 123,35

**1 - 1 vanjski zid**

- vapneno-cementna žbuka 2,0cm
- blok opeka 29,0cm
- polimerno-cementno ljeplilo 0,50cm
- mineralna vuna 12,0cm
- polimerno-cementno ljeplilo  
imirano staklenom mrežicom 0,50cm
- mineralna žbuka (glatko zaribana) 0,20cm

**2 - 2 zid prema stubištu**

- vapneno-cementna žbuka 2,0cm
- šuplji blokovi od gline 25,0cm
- mineralna vuna 5,0cm
- gipskartonske ploče 1,25cm

**3 - 3 pod na tlu**

- završni sloj 6,0cm
- cementni estrih 0,02cm
- parna brana 8,0cm
- ekspandirani polistiren (EPS 100) 2,0cm
- bitum.traka s uloškom staklenog voala 0,80cm
- bitumen 0,20cm
- imirani beton 15,0cm
- podložni beton 5,0cm
- pjesak, šljunak, drobljenac 20,0cm

**4 - 4 strop između etaža**

- završni sloj 6,0cm
- cementni estrih 0,02cm
- ekspandirani polistiren (EPS 100) 2,0cm
- elastif. ekspand. polistiren (EPS T) 2,0cm
- imirani beton 15,0cm
- vapneno-cementna žbuka 2,0cm

**5 - 5 strop stan iznad stubišta**

- završni sloj 6,0cm
- cementni estrih 0,02cm
- parna brana 2,0cm
- ekspandirani polistiren (EPS 100) 2,0cm
- elastif. ekspand. polistiren (EPS T) 2,0cm
- imirani beton 15,0cm
- mineralna vuna 5,0cm
- gipskartonske ploče 1,25cm

**6 - 6 strop prema tavanu**

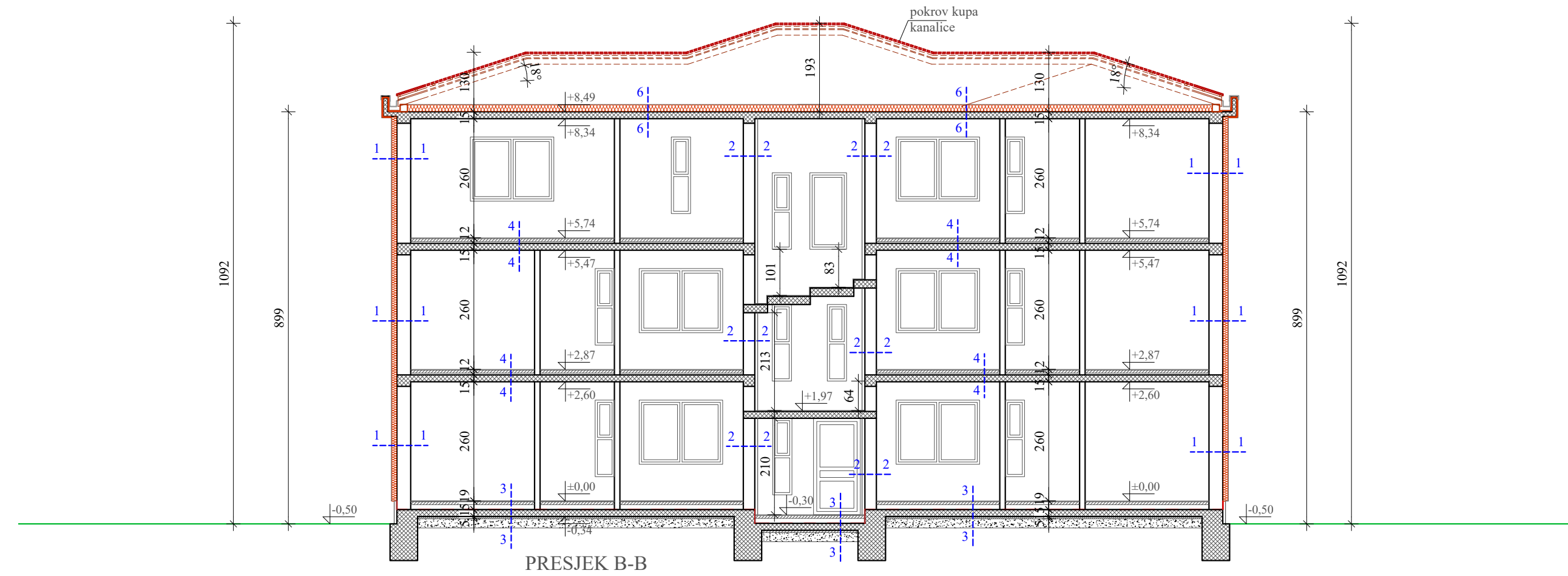
- vapneno-cementna žbuka 2,0cm
- imirani beton 15,0cm
- parna brana 0,02cm
- tvrda mineralna vuna 16,0cm
- paropropusna i vodonepropusna folija 0,04cm

NAZIV GRAFIČKOG PRILOGA:

PRESJEK A-A

MJERILO:

1:100



**1 - 1 vanjski zid**

- vapneno-cementna žbuka 2,0cm
- blok opeka 29,0cm
- polimerno-cementno ljepilo 0,50cm
- mineralna vuna 12,0cm
- polimerno-cementno ljepilo armirano staklenom mrežicom 0,50cm
- mineralna žbuka (glatko zaribana) 0,20cm

**2 - 2 zid prema stubištu**

- vapneno-cementna žbuka 2,0cm
- šupljí blokovi od gline 25,0cm
- mineralna vuna 5,0cm
- gipskartonske ploče 1,25cm

**3 - 3 pod na tlu**

- završni sloj
- cementni estrih 6,0cm
- parna brana 0,02cm
- ekspandirani polistiren (EPS 100) 8,0cm
- elastif. ekspan. polistiren (EPS T) 2,0cm
- bitum.traka s uloškom staklenog voala 0,80cm
- bitumen 0,20cm
- armirani beton 15,0cm
- podložni beton 5,0cm
- pijesak, šljunak, drobljenac 20,0cm

**4 - 4 strop između etaža**

- završni sloj
- cementni estrih 6,0cm
- parna brana 0,02cm
- ekspandirani polistiren (EPS 100) 2,0cm
- elastif. ekspan. polistiren (EPS T) 2,0cm
- armirani beton 15,0cm
- vapneno-cementna žbuka 2,0cm

**5 - 5 strop stan iznad stubišta**

- završni sloj
- cementni estrih 6,0cm
- parna brana 0,02cm
- ekspandirani polistiren (EPS 100) 2,0cm
- elastif. ekspan. polistiren (EPS T) 2,0cm
- armirani beton 15,0cm
- mineralna vuna 5,0cm
- gipskartonske ploče 1,25cm

**6 - 6 strop prema tavanu**

- vapneno-cementna žbuka 2,0cm
- armirani beton 15,0cm
- parna brana 0,02cm
- tvrda mineralna vuna 16,0cm
- paropropusna i vodonepropusna folija 0,04cm

NAZIV GRAFIČKOG PRILOGA:

PRESJEK B-B

MJERILO:

1:100

## 1.4) GRADIVA

- svi armiranobetonski elementi izvode se betonom klase C25/30
- čelik za armiranje je B500B
- mort je tlačne čvrstoće 5 N/mm<sup>2</sup>
- opečni elementi tlačne čvrstoće 10 N/mm<sup>2</sup>, moraju zadovoljavati važeću tehničku regulativu i norme
- drvena konstrukcija – drvo klase C24

## KARAKTERISTIKE BETONSKE KONSTRUKCIJE

HRN EN 1992-1-1:2013  
EN 1992-1-1:2004+AC:2010

Tablica 3.1 – Značajke čvrstoće i deformacije<sup>NB 7)</sup>

| Razredi čvrstoće betona |      |     |     |     |     |      |     |     |      |     |      |     | Analitički izraz/objašnjenje |     |   |  |
|-------------------------|------|-----|-----|-----|-----|------|-----|-----|------|-----|------|-----|------------------------------|-----|---|--|
| $f_{ck}$ [MPa]          | 12   | 16  | 20  | 25  | 30  | 35   | 40  | 45  | 50   | 55  | 60   | 70  | 80                           | 90  |   |  |
| $f_{ck,cube}$ [MPa]     | 15   | 20  | 25  | 30  | 37  | 45   | 50  | 55  | 60   | 67  | 75   | 85  | 95                           | 105 |   |  |
| $f_{cm}$ [MPa]          | 20   | 24  | 28  | 33  | 38  | 43   | 48  | 53  | 58   | 63  | 68   | 78  | 88                           | 98  | $f_{cm} = f_{ck} + 8$ [MPa]   |  |
| $f_{cm}$ [MPa]          | 1,6  | 1,9 | 2,2 | 2,6 | 2,9 | 3,2  | 3,5 | 3,8 | 4,1  | 4,2 | 4,4  | 4,6 | 4,8                          | 5,0 | $f_{cm} = 0,30 f_{ck}^{(2/3)} \leq C50/60$<br>$f_{cm} = 2,12 \ln(1 + (f_{cm} / 10)) > C50/60$           |  |
| $f_{ck,0,05}$ [MPa]     | 1,1  | 1,3 | 1,5 | 1,8 | 2,0 | 2,2  | 2,5 | 2,7 | 2,9  | 3,0 | 3,1  | 3,2 | 3,4                          | 3,5 | $f_{ck,0,05} = 0,7 f_{cm}$ ; 5% fraktila  |  |
| $f_{ck,0,95}$ [MPa]     | 2,0  | 2,5 | 2,9 | 3,3 | 3,8 | 4,2  | 4,6 | 4,9 | 5,3  | 5,5 | 5,7  | 6,0 | 6,3                          | 6,6 | $f_{ck,0,95} = 1,3 f_{cm}$ ; 95% fraktila   |  |
| $E_{cm}$ [GPa]          | 27   | 29  | 30  | 31  | 33  | 34   | 35  | 36  | 37   | 38  | 39   | 41  | 42                           | 44  | $E_{cm} = 22 [(f_{cm}) / 10]^{0,3}$ ; ( $f_{cm}$ [MPa])   |  |
| $\varepsilon_{c1}$ [%]  | 1,8  | 1,9 | 2,0 | 2,1 | 2,2 | 2,25 | 2,3 | 2,4 | 2,45 | 2,5 | 2,6  | 2,7 | 2,8                          | 2,8 | vidjeti sliku 3.2;<br>$\varepsilon_{c1} = 0,7 f_{cm}^{0,3} \leq 2,8$                                    |  |
| $\varepsilon_{cu1}$ [%] | 3,5  |     |     |     |     |      |     |     |      |     | 3,2  | 3,0 | 2,8                          | 2,8 | vidjeti sliku 3.2;<br>za $f_{ck} \geq 50$ MPa<br>$\varepsilon_{cu1} = 2,8 + 27 [(98 - f_{cm}) / 100]^4$ |  |
| $\varepsilon_{c2}$ [%]  | 2,0  |     |     |     |     |      |     |     |      |     | 2,2  | 2,3 | 2,4                          | 2,5 | 2,6   | vidjeti sliku 3.3; za $f_{ck} \geq 50$ MPa<br>$\varepsilon_{c2} = 2,0 + 0,085 (f_{ck} - 50)^{0,53}$  |
| $\varepsilon_{cu2}$ [%] | 3,5  |     |     |     |     |      |     |     |      |     | 3,1  | 2,9 | 2,7                          | 2,6 | 2,6   | vidjeti sliku 3.3; za $f_{ck} \geq 50$ MPa<br>$\varepsilon_{cu2} = 2,6 + 35 [(90 - f_{ck}) / 100]^4$ |
| $n$                     | 2,0  |     |     |     |     |      |     |     |      |     | 1,75 | 1,6 | 1,45                         | 1,4 | 1,4   | za $f_{ck} \geq 50$ MPa<br>$n = 1,4 + 23,4 [(90 - f_{ck}) / 100]^4$                                  |
| $\varepsilon_{c3}$ [%]  | 1,75 |     |     |     |     |      |     |     |      |     | 1,8  | 1,9 | 2,0                          | 2,2 | 2,3   | vidjeti sliku 3.4; za $f_{ck} \geq 50$ MPa<br>$\varepsilon_{c3} = 1,75 + 0,55 [(f_{ck} - 50) / 40]$  |
| $\varepsilon_{cu3}$ [%] | 3,5  |     |     |     |     |      |     |     |      |     | 3,1  | 2,9 | 2,7                          | 2,6 | 2,6   | vidjeti sliku 3.4; za $f_{ck} \geq 50$ MPa<br>$\varepsilon_{cu3} = 2,6 + 35 [(90 - f_{ck}) / 100]^4$ |

Armatura B500B

| Svojstva čelika                  | B500B                    |
|----------------------------------|--------------------------|
| f <sub>yk</sub> -vlačna čvrstoća | 500 N/mm <sup>2</sup>    |
| E-modul elastičnosti             | 200000 N/mm <sup>2</sup> |

## KARAKTERISTIKE ZIDANE KONSTRUKCIJE

Kategorija kontrole proizvodnje zidnih elemenata: I.

Razred kontrole izvedbe zida: B

Čvrstoća zidnih elemenata: 10 N/mm<sup>2</sup>

Mort opće namjene: M5

## 2) PRORAČUN MEHANIČKE OTPORNOSTI I STABILNOSTI

### 1.5) UVODNE NAPOMENE:

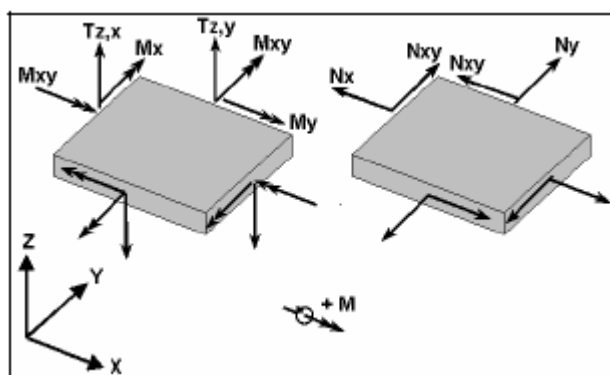
Cjelokupna statička i dinamička analiza konstrukcija i dimenzioniranje betonskih, čeličnih elemenata izvršena je pomoću programskog paketa Tower 8.

Proračun se provodi metodom konačnih elemenata, a geometrija modela se definira grafički, iscrtavanjem samo konture konstruktivnih elemenata i opterećenja.

Cjelokupan proračun u programskom paketu Tower proveden je EUROCODE-om, prema važećim propisima.

Pošto programski paket ne dozvoljava izmjene u svojoj osnovnoj software-skoj bazi podataka, a sam automatski generira sve oznake, dolazi do određene neusklađenosti sa oznakama propisanim EUROCODE-om:

#### OZNAKE UTJECAJA U PLOČI (prema TOWER-u):



- ◆ **M<sub>x</sub>** - moment savijanja u pravcu lokalne X osi
- ◆ **M<sub>y</sub>** - moment savijanja u pravcu lokalne Y osi
- ◆ **M<sub>xy</sub>** - torzioni moment
- ◆ **N<sub>x</sub>** - normalna sila u pravcu lokalne X osi
- ◆ **N<sub>y</sub>** - normalna sila u pravcu lokalne Y osi
- ◆ **N<sub>xy</sub>** - posmična sila u ravnini ploče
- ◆ **T<sub>z,x</sub>** - transverzalna sila u pravcu lokalne Z osi (djeluje u ravnini koja je definirana položajem lokalne Z i X osi)  
(oznaka sukladna oznaci prema EUROCODE-u je „V“)
- ◆ **T<sub>z,y</sub>** - transverzalna sila u pravcu lokalne Z osi (djeluje u ravnini koja je definirana položajem lokalne Z i Y osi)  
(oznaka sukladna oznaci prema EUROCODE-u je „V“)

Lokalna X i Y os svake od ploča leži u ravnini same ploče, dok je lokalna Z os u pravcu normale na ravninu ploče.

Usvojena je konvencija da je u promatranoj točki  $My \geq Mx$ , da pozitivan moment zateže donju stranu ploče, kao i da se pravci armiranja poklapaju sa prvcima globalnih koordinatnih osi. Oznake  $M_x$  i  $M_y$  se generalno odnose na momente savijanja koji djeluju u zadanim prvcima armiranja 1, odnosno prvcu armiranja 2.

#### OZNAKE UTJECAJA U GREDAMA (prema TOWER-u):

- ◆ **N<sub>1</sub>** - normalna sila u pravcu lokalne osi "1" grede
- ◆ **T<sub>2</sub>** - transverzalna sila u pravcu lokalne osi "2" grede  
(oznaka sukladna oznaci prema EUROCODE-u je „V“)
- ◆ **T<sub>3</sub>** - transverzalna sila u pravcu lokalne osi "3" grede
- ◆ **M<sub>1</sub>** - torzioni momenti oko lokalne osi "1" grede
- ◆ **M<sub>2</sub>** - momenti savijanja oko lokalne osi "2" grede
- ◆ **M<sub>3</sub>** - momenti savijanja oko lokalne osi "3" grede

Deformacije:

- ◆ **u<sub>1</sub>** - pomicanje u pravcu lokalne osi "1" grede
- ◆ **u<sub>2</sub>** - pomicanje u pravcu lokalne osi "2" grede
- ◆ **u<sub>3</sub>** - pomicanje u pravcu lokalne osi "3" grede

- ◆ **r1** - rotacija oko lokalne osi "1" grede
- ◆ **r2** - rotacija oko lokalne osi "2" grede
- ◆ **r3** - rotacija oko lokalne osi "3" grede
- ◆ **Xp** - pomicanje u pravcu globale X osi
- ◆ **Yp** - pomicanje u pravcu globale Y osi
- ◆ **Zp** - pomicanje u pravcu globale Z osi
- ◆ **Xr** - rotacija oko globalne X osi
- ◆ **Yr** - rotacija oko globalne Y osi
- ◆ **Zr** - rotacija oko globalne Z osi

Naponi:

- ◆  **$\sigma_{max}$**  - maksimalni normalni napon u presjeku. Napon se izračunava u svim točkama poprečnog presjeka i kao rezultat se usvaja najveća dobivena vrijednost
- ◆  **$\sigma_{min}$**  - minimalni normalni napon u presjeku. Napon se izračunava u svim točkama poprečnog presjeka i kao rezultat se usvaja najmanja dobivena vrijednost
- ◆  **$\sigma_0$**  - napon od normalne sile u presjeku. Kako pojedini seizmički propisi ograničavaju maksimalno centrično naprezanje seizmičkih stupova od vertikalnog tereta, to ovaj podatak može biti od koristi.
- ◆ **T,2** - napon smicanja u pravcu lokalne osi 2
- ◆ **T,3** - napon smicanja u pravcu lokalne osi 3
- ◆ **T,23** - srednja kvadratna vrijednost smičućih napona

#### **Unutar programskog paketa „Tower“ koriste se slijedeće oznake :**

**a** - Udaljenost armature od ruba presjeka (zaštitni sloj betona) - (oznaka sukladna oznaci prema

EUROCODE-u je „c“)

**d** - debљina betonskog elementa (oznaka sukladna oznaci prema EUROCODE-u je „h“)

**Aa1,d** - armatura u smjeru pravca osi 1, donja zona

**Aa2,d** - armatura u smjeru pravca osi 2, donja zona

**Aa1,g** - armatura u smjeru pravca osi 1, gornja zona

**Aa2,g** - armatura u smjeru pravca osi 2, gornja zona

(oznaka sukladna oznaci prema EUROCODE-u je „ $A_{s1d}, A_{s1g}$ “)

**Aa,v** - prikaz potrebne površine vilica po dužnom metru grede, za prijem posmičnih naprezanja

**$\Sigma Aa$**  - prikaz ukupne uzdužne armature u presjeku

Proračun pukotina sa odabranom armaturom je prikazan unutar analitičkog proračuna pukotina i grafičkog prikaza za sve objekte.

Oznake  $a_{k2}/ a_{k1}$  odnose se na karakterističnu širinu pukotine(oznaka sukladna oznaci prema EUROCODE-u je „ $w_k$ “), pri tome oznaka  $t_0$  označava kratkotrajno djelovanje, dok oznaka  $t^\infty$  označava dugotrajno djelovanje.

Proračun pukotina unutar programskog paketa „Tower“ provodi se na način da se nakon odabiranja armature (odabrana armatura vidljiva unutar ispisa analitičkog proračuna i grafičkog dijela-odabrana armatura), proračunava karakteristična širina pukotine za kratkotrajno djelovanje ( $a_{k2}/ a_{k1}/ t_0$ ), te za dugotrajno djelovanje ( $a_{k2}/ a_{k1}/ t^\infty$ ),unutar priloženih rezultata nakon proračuna pukotina ukoliko je presjek bez pukotine grafički je prikazan prazan element (okvir,ploča u tlocrtu, i sl., tj.) sa pripadajućim oznakama ( $a_{k2}/ a_{k1}/ t_0$ ),ili ( $a_{k2}/ a_{k1}/ t^\infty$ ).

Unutar proračuna progiba dane su slijedeće vrijednosti :

Progibi  $u_g$  ( $T=0$ ) – kratkotrajni utjecaji

Progibi  $u_g$  ( $T=\infty$ ) – dugotrajni utjecaji

## RAZRED ARMATURE:

| Karakteristike čelika                       | Šipkasta armatura<br>(nHRN EN 10080-2, 10080-3, 10080-4) |                            |                            | Mrežasta armatura<br>(nHRN EN 10080-5) |             |                            |
|---|--|----------------------------|----------------------------|--|-------------|----------------------------|
|   | B500A  | B500B                      | B450C                      | B500A                                  | B500B       | B450C                      |
| Naziv i oznaka (broj) čelika                |  |                            |                            |  |             |                            |
| Nazivni promjer, d (mm)                     | Namot: 4-16<br>Šipke: 6-40                               | Namot: 6-16<br>Šipke: 6-40 | Namot: 6-16                | 5-16                                   | 6-16        | 6-16                       |
| Granica razvlačenja $f_y$ (MPa)             | $\geq 500$   | $\geq 500$                 | $\geq 450$                 | $\geq 500$                             | $\geq 500$  | $\geq 450$                 |
| Omjer vlačne čvrstoće i granice razvlačenja | $\geq 1,05$  | $\geq 1,08$                | $\geq 1,15$<br>$\leq 1,35$ | $\geq 1,05$                            | $\geq 1,08$ | $\geq 1,15$<br>$\leq 1,35$ |

Karakteristike čelika z a armiranje B500B odgovaraju karakteristikama čelika, odabranog u kompjutorskom paketu Tower, S500N.

## KOMBINACIJE OPTEREĆENJA:

Kombinacije opterećenja određene su u skladu s normom HRN EN 1990:2011 i nacionalnim dodatkom HRN EN 1990:2011/NA:2011.

### Parcijalni faktori sigurnosti $\Psi$ faktori

Tablica A1.1 – Preporučene vrijednosti faktora  $\psi$  za zgrade

| Djelovanje   | $\psi_0$ | $\psi_1$ | $\psi_2$ |
|--|----------|----------|----------|
| Uporabna opterećenja u zgradama kategorije (vidjeti normu EN 1991-1-1):                        |          |          |          |
| Kategorija A: kuće, stambene zgrade  | 0,7      | 0,5      | 0,3      |
| Kategorija B: uredi  | 0,7      | 0,5      | 0,3      |
| Kategorija C: područja za skupove  | 0,7      | 0,7      | 0,6      |
| Kategorija D: trgovine   | 0,7      | 0,7      | 0,6      |
| Kategorija E: skladišta  | 1,0      | 0,9      | 0,8      |
| Kategorija F: prometna područja, težina vozila $\leq 30$ kN                                    | 0,7      | 0,7      | 0,6      |
| Kategorija G: prometna područja, $30 \text{ kN} \leq \text{težina vozila} \leq 160 \text{ kN}$ | 0,7      | 0,5      | 0,3      |
| Kategorija H: krovovi  | 0        | 0        | 0        |
| Opterećenja snijegom u zgradama (vidjeti normu EN 1991-1-3)*:                                  |          |          |          |
| – Finska, Island, Norveška, Švedska  | 0,70     | 0,50     | 0,20     |
| – Ostale države članice CEN-a za gradilišta na visini $H > 1000 \text{ m n.m.}$                | 0,70     | 0,50     | 0,20     |
| – Ostale države članice CEN-a za gradilišta na visini $H \leq 1000 \text{ m n.m.}$             | 0,50     | 0,20     | 0        |
| Opterećenja vjetrom na zgrade (vidjeti normu EN 1991-1-4)                                      | 0,6      | 0,2      | 0        |
| Temperatura (osim požara) u zgradama (vidjeti normu EN 1991-1-5)                               | 0,6      | 0,5      | 0        |
| NAPOMENA: Vrijednosti $\psi$ mogu se odrediti u nacionalnom dodatku.                           |          |          |          |
| * Za države koje nisu navedene, vidjeti odgovarajuće mjesne uvjete.                            |          |          |          |

### Proračunske vrijednosti djelovanja za EQU

| Trajne i prolazne proračunske situacije | Stalna djelovanja  |  | Vodeće promjenjivo djelovanje |                       | Prateća promjenjiva djelovanja          |   |
|---|--|--|-------------------------------|-----------------------|---|---|
|   | nepovoljno   | povoljno   | nepovoljno                    | povoljno              | nepovoljno                              | povoljno                                |
| (Eq. 6.10)                              | $1,10 \times G_{k1,\text{sup}}$<br>$1,50 \times G_{k1,\text{sup}}$ | $0,90 \times G_{k1,\text{inf}}$<br>$0,00 \times G_{k2,\text{inf}}$ | $1,50 \times Q_{k,1}$         | $0,00 \times Q_{k,1}$ | $1,50 \times \psi_{0,i} \times Q_{k,i}$ | $0,00 \times \psi_{0,i} \times Q_{k,i}$ |

### Proračunske vrijednosti djelovanja za STR

| Trajne i prolazne proračunske situacije | Stalna djelovanja  |  | Vodeće promjenjivo djelovanje |                       | Prateća promjenjiva djelovanja          |   |
|---|--|--|-------------------------------|-----------------------|---|---|
|   | nepovoljno   | povoljno   | nepovoljno                    | povoljno              | nepovoljno                              | povoljno                                |
| (Eq. 6.10)                              | $1,35 \times G_{k1,\text{sup}}$<br>$1,50 \times G_{k2,\text{sup}}$ | $1,00 \times G_{k1,\text{inf}}$<br>$0,00 \times G_{k2,\text{inf}}$ | $1,50 \times Q_{k,1}$         | $0,00 \times Q_{k,1}$ | $1,50 \times \psi_{0,i} \times Q_{k,i}$ | $0,00 \times \psi_{0,i} \times Q_{k,i}$ |

### Proračunske vrijednosti djelovanja za seizmičke kombinacije djelovanja

| Seizmička proračunska situacija | Stalna djelovanja |              | Seizmičko djelovanje                | Prateća promjenjiva djelovanja |
|---------------------------------|-------------------|--------------|-------------------------------------|--------------------------------|
|                                 | nepovoljno        | povoljno     |                                     |                                |
| (Eq. 6.12b)                     | $G_{kj,sup}$      | $G_{kj,inf}$ | $\gamma \times A_{Ed}$ ili $A_{Ed}$ | $\psi_{2,i} \times Q_{k,i}$    |

### Proračunske vrijednosti djelovanja za SLS (granično stanje uporabljivosti)

| Kombinacija     | Stalna djelovanja |              | Vodeće promjenjivo djelovanje | Prateća promjenjiva djelovanja |
|-----------------|-------------------|--------------|-------------------------------|--------------------------------|
|                 | nepovoljno        | povoljno     |                               |                                |
| Karakteristična | $G_{kj,sup}$      | $G_{kj,inf}$ | $Q_{k,1}$                     | $\psi_{0,i} \times Q_{k,i}$    |

## NAPOMENE VEZANE ZA PRORAČUN:

### GRANIČNO STANJE NOSIVOSTI

Svi elementi dimenzionirati će se na najnepovoljniju kombinaciju opterećenja određene u skladu s jednadžbom (Jedn. 6.10) – za EQU i STR/GEO, jednadžbom (Jedn. 6.12b) – za potresno opterećenje te jednadžbom (2.8) za djelovanje sile uzgona.

### GRANIČNO STANJE UPORABLJIVOSTI

Deformacije konstrukcije analizirati će se za sve kombinacije (SLS).

#### Ograničenje vertikalnih progiba konstrukcijskih elemenata

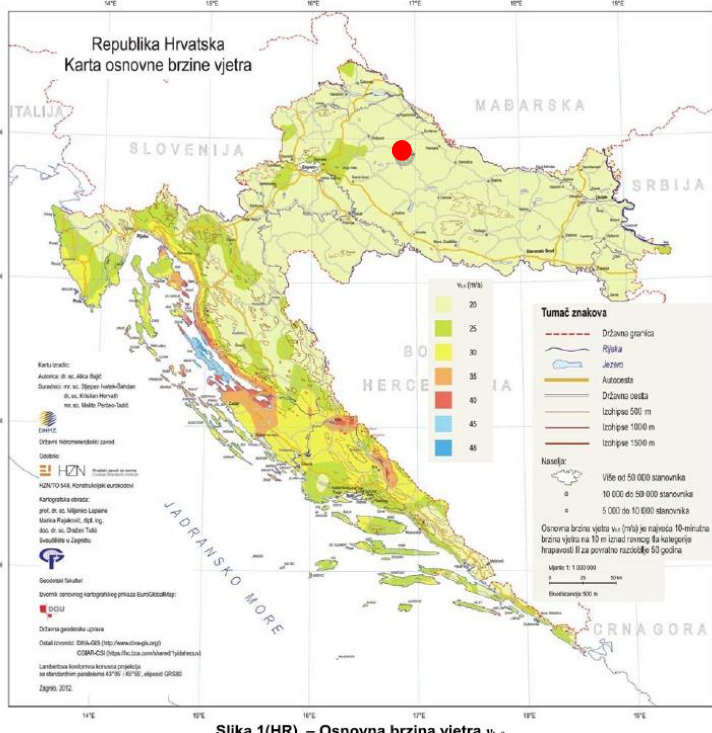
| Konstrukcijski element  | Granične vrijednosti za karakteristične kombinacije djelovanja |             |
|---|--|-------------|
|   | $w_{max}$  | $w_2 + w_3$ |
| Krovišta  | $L/200$  | $L/250$     |
| Prohodna krovišta   | $L/250$  | $L/300$     |
| Stropovi  | $L/250$  | $L/300$     |
| Krovišta i stropovi koji nose krhke obloge i vrlo krute pregradne stjene              | $L/300$  | $L/350$     |
| Stropovi koji nose stupove osim u slučaju ako se konstrukcija promatra kao cijelovita | $L/400$  | $L/500$     |
| U slučaju kada je $w_{max}$ važan za izgled konstrukcije                              | $L/250$  | –           |

## 1.6) ANALIZA OPTEREĆENJA

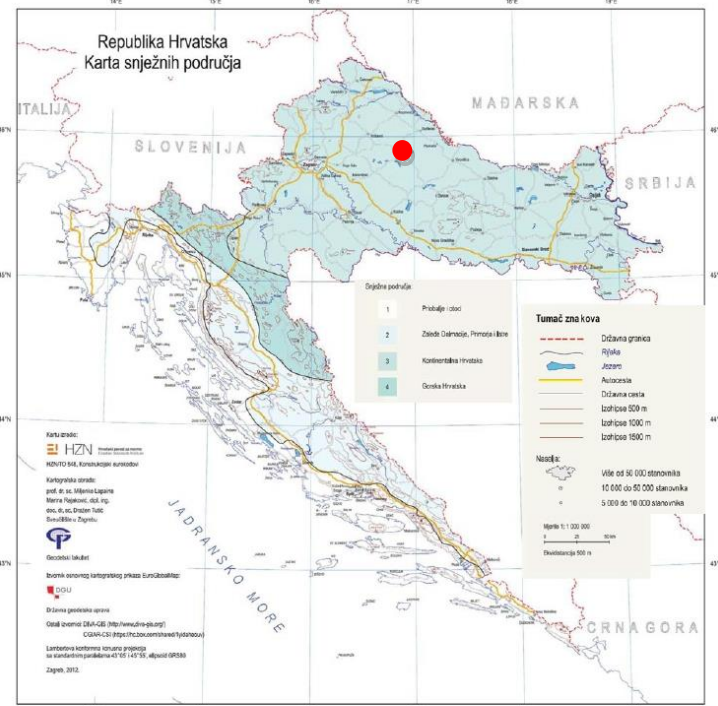
### OPĆI PODACI:

Lokacija građevine  
Nadmorska visina  
Osnovna brzina vjetra  
Snježno područje

= Bjelovar  
= 110,00 m.n.m.  
= 20 m/s  
= 3. područje (kontinentalna Hrvatska)



Slika 1(HR) – Osnovna brzina vjetra  $v_{b,0}$



Slika 1(HR) – Karta snježnih područja

## 1.7) Vlastita težina + dodatno stalno opterećenje

- vlastita težina elemenata automatski se uzima u obzir kod proračuna u računalnom programu (g), odnosno određuje u pojedinačnom proračunu.

### 1) Krovište

| Dodatno stalno opterećenje          | h (m) | Y (kN/m <sup>3</sup> ) | g (kN/m <sup>2</sup> ) |
|-------------------------------------|-------|------------------------|------------------------|
| Pokrov (kupa kanalice)              | -     | -                      | 0,55                   |
| Letve i kontralettev                | -     | -                      | 0,05                   |
| Drvena oplata                       | 0,025 | 6                      | 0,15                   |
| <b>Ukupno <math>\Delta g</math></b> |       | <b>0,75</b>            |                        |

## 2) Stropna ploča prizemlja i prvog kata

| Dodatno stalno opterećenje | h (m) | Y (kN/m <sup>3</sup> ) | g (kN/m <sup>2</sup> ) |
|----------------------------|-------|------------------------|------------------------|
| Završna podna obloga       | 0,02  | 19                     | 0,38                   |
| Cem. estrih                | 0,05  | 24                     | 1,20                   |
| Mineralna vuna             | 0,2   | 0,2                    | 0,04                   |
| Podgled (vap.-cem. žbuka)  | 0,02  | 18                     | 0,36                   |
| Pregradni zidovi           | -     | -                      | 0,50                   |
| <b>Ukupno Δg</b>           |       |                        | <b>2,48</b>            |

$$\Delta g_{ZID, \text{porozni beton}} = h \cdot d \cdot \gamma_z = 2,75 \cdot 0,25 \cdot 5 = 3,44 \text{ kN/m}$$

## 3) Stropna ploča drugog kata

| Dodatno stalno opterećenje | h (m) | Y (kN/m <sup>3</sup> ) | g (kN/m <sup>2</sup> ) |
|----------------------------|-------|------------------------|------------------------|
| Mineralna vuna             | 0,2   | 0,2                    | 0,04                   |
| Podgled (vap.-cem. žbuka)  | 0,02  | 18                     | 0,36                   |
| Instalacije                | -     | -                      | 0,10                   |
| <b>Ukupno Δg</b>           |       |                        | <b>0,50</b>            |

## 4) Nenatkrivena terasa

| Dodatno stalno opterećenje | h (m) | Y (kN/m <sup>3</sup> ) | g (kN/m <sup>2</sup> ) |
|----------------------------|-------|------------------------|------------------------|
| Završna podna obloga       | 0,02  | 19                     | 0,38                   |
| EPS T + EPS 100            | 0,08  | 0,2                    | 0,02                   |
| Beton                      | 0,1   | 25                     | 2,50                   |
| <b>Ukupno Δg</b>           |       |                        | <b>2,90</b>            |

$$\Delta g_{ograda, \text{porozni beton}} = h \cdot d \cdot \gamma_z = 1,10 \cdot 0,15 \cdot 5 = 0,83 \text{ kN/m}$$

$$\Delta g_{pregrada, \text{porozni beton}} = h \cdot d \cdot \gamma_z = 2,75 \cdot 0,12 \cdot 5 = 1,65 \text{ kN/m}$$

## 5) Armirano-betonsko stubište

| Dodatno stalno opterećenje        | h (m)  | š (m)  | deblina (m) | Y (kN/m <sup>3</sup> ) | g (kN/m <sup>2</sup> ) |
|-----------------------------------|--------|--------|-------------|------------------------|------------------------|
| Završna obloga i mort             | 0,1794 | 0,2712 | 0,03        | 19                     | 0,95                   |
| Stube                             | 0,05   | 0,2712 | 0,0897      | 24                     | 2,15                   |
| AB ploča kraka                    | -      | -      | 0,15        | 25                     | 4,50                   |
| AB ploča podesta                  | -      | -      | 0,15        | 25                     | 3,75                   |
| <b>Ukupno Δg<sub>krak</sub></b>   |        |        |             |                        | <b>7,60</b>            |
| <b>Ukupno Δg<sub>podest</sub></b> |        |        |             |                        | <b>4,70</b>            |

## 6) Podna ploča prizemlja

| Dodatno stalno opterećenje | h (m) | Y (kN/m <sup>3</sup> ) | g (kN/m <sup>2</sup> ) |
|----------------------------|-------|------------------------|------------------------|
| Završna podna obloga       | 0,01  | 18                     | 0,18                   |
| Cem. estrih                | 0,06  | 24                     | 1,44                   |
| EPS + polietilen + h.i.    | -     | -                      | 0,10                   |
| <b>Ukupno Δg</b>           |       |                        | <b>1,72</b>            |

## 1.8) Uporabno opterećenje

- prema HRN EN 1991-1-1:2012 i HRN EN 1991-1-1:2012/NA:2012

Tablica 6.1(HR) – Uporabna opterećenja stropova, balkona i stubišta u zgradama

| Stupac | 1          | 2       | 3  | 4                             | 5               |
|--------|------------|---------|--|-------------------------------|-----------------|
| Redak  | Kategorija | Namjena | Primjer  | $q_k$<br>[kN/m <sup>2</sup> ] | $Q_k^a$<br>[kN] |
| 1      | A          | A1      | Nestambena potkovlja<br>Neprikladna za stanovanje no pristupačna potkovlja do 1,8 m svjetle visine   | 1,5                           | 1               |
| 2      |            | A2      | Prostori za stanovanje i kućanske djelatnosti<br>Stropovi sa zadovoljavajućom poprečnom raspodjelom opterećenja <sup>b</sup> u stambenim zgradama i kućama, sobama s krevetima, bolnicama (spavaonicama), sobama u hotelima i prenoćištima i pripadajuće kuhinje i kupaonice | 1,5                           | –               |
| 3      |            | A3      | A2, ali bez zadovoljavajuće poprečne raspodjele opterećenja  | 2,0 <sup>c</sup>              | 1               |
| 4      | B          | B1      | Uredski prostori, radni prostori, hodnici<br>Hodnici u uredskim zgradama, uredi, medicinske ordinacije bez teške opreme, bolnički odjeli, čekaonice i hodnici, staje sa sitnom stokom  | 2                             | 2               |
| 5      |            | B2      |  | 3                             | 3               |
| 6      |            | B3      |  | 5                             | 4               |
| 7      | C          | C1      | Prostori sa stolovima, kao što su dječji vrtići, jaslice, škole, učionice, kavane, restorani, blagovaonice, čitaonice, recepcije, zbornice   | 3                             | 4               |
| 8      |            | C2      | Prostori s nepomičnim sjedalima, primjerice u crkvama, kazalištima, kinima, konferencijskim dvoranama, predavaonicama, čekaonicama   | 4                             | 4               |
| 9      |            | C3      | Javni prostori, npr. muzeji, izložbeni prostori, ulazi u javne zgrade i hotele, stropovi podruma koji su pod dvorišta i u koja nije omogućen pristup vozila, hodnici za kategorije prostora C1 do C3   | 5                             | 4               |
| 10     |            | C4      | Prostori za sport i igru, kao što su plesne dvorane, sportski centri, gimnastičke dvorane i teretane, pozornice  | 5                             | 7               |
| 11     |            | C5      | Prostori za velike skupove ljudi, npr. u zgradama kao što su koncertne dvorane, terase, prilazi i tribine s nepomičnim sjedalima   | 5                             | 4               |
| 12     |            | C6      | Prostori za učestalo okupljanje mnogo ljudi, tribine bez nepomičnih sjedala  | 7,5                           | 10,0            |
| 13     | D          | D1      | Trgovački prostori do 50 m <sup>2</sup> tlocrte ploštine u stambenim, uredskim i sličnim građevinama   | 2                             | 2               |
| 14     |            | D2      | Prostori u trgovinama i robnim kućama  | 5                             | 4               |
| 15     |            | D3      | Prostori kao u D2, ali s većim opterećenjima zbog visokih polica za skladištenje   | 5                             | 7               |

| Stupac | 1              |      | 2   | 3   | 4                             | 5               |
|--------|----------------|------|---|---|-------------------------------|-----------------|
| Redak  | Kategorija     |      | Namjena   | Primjer   | $q_k$<br>[kN/m <sup>2</sup> ] | $Q_k^a$<br>[kN] |
| 16     | E              | E1.1 | Skladišta,<br>tvornice i<br>radionice, staje,<br>skladišni prostori<br>i pristupi | Prostori u tvornicama <sup>e</sup> i radionicama <sup>e</sup> s lakisim<br>proizvodnim pogonom, staje za krupnu stoku | 5 <sup>f</sup>                | 4               |
| 17     |                | E1.2 |   | Skladišni prostori općenito, uključujući i knjižnice  | 6 <sup>f</sup>                | 7               |
| 18     |                | E2.1 |   | Prostori u tvornicama <sup>e</sup> i radionicama <sup>e</sup> s umjereno<br>teškim ili teškim proizvodnim pogonom     | 7,5                           | 10              |
| 19     | S <sup>g</sup> | S1   | Stubišta i stubišni<br>podesti  | Stubišta i stubišni podesti u stambenim i<br>uredskim zgradama i ambulantama, bez teške<br>opreme                     | 3                             | 2               |
| 20     |                | S2   |   | Sva stubišta i stubišni podesti koji se ne mogu<br>razvrstati u S1 ili S3   | 5                             | 2               |
| 21     |                | S3   |   | Pristupi i stubišta koji vode do tribina bez<br>nepomičnih sjedala, a služe kao izlazi za nuždu                       | 7,5                           | 3               |
| 22     | P <sup>g</sup> |      | Pristupi, balkoni i<br>sl.  | Krovne terase, trijemovi, lođe, balkoni, izlazni<br>podesti   | 4                             | 2               |

<sup>a</sup> Ako je potrebna lokalna provjera nosivosti (npr. za dijelove sustava bez zadovoljavajuće poprečne raspodjele opterećenja), provjera se provodi s karakterističnim vrijednostima za opterećenje koncentriranom silom  $Q_k$  bez kombiniranja s jednolikom raspodijeljenim opterećenjem  $q_k$ . Stranice kvadrata na kojem se rasprostire opterećenje  $Q_k$  jesu 50 mm.  
<sup>b</sup> Stropovi sa zadovoljavajućom poprečnom raspodjelom opterećenja jesu armiranobetonske i prednapete betonske pune, šuplje i rebraste ploče.  
<sup>c</sup> Za prijenos sile sa stropova bez zadovoljavajuće poprečne raspodjele na potporne elemente navedena se vrijednost može umanjiti za 0,5 kN/m<sup>2</sup>.  
<sup>d</sup> Ove su vrijednosti minimalne vrijednosti. Ako se u skladu s točkom 6.1(4) norme HRN EN 1991-1-1:2012 utvrde veće vrijednosti, tada su tako utvrđene vrijednosti opterećenja mjerodavne.  
<sup>e</sup> Uporabna opterećenja u tvornicama i radionicama smatraju se pretežito statičkim. U pojedinim slučajevima treba razmotriti učinak učestalo ponavljajućeg opterećenja (vidi točku 2.2(3) norme HRN EN 1991-1-1:2012).  
<sup>f</sup> Ove su vrijednosti minimalne vrijednosti. U slučajevima u kojima se očekuje veće opterećenje, treba ga odrediti prema pojedinom slučaju.  
<sup>g</sup> Ove kategorije vrijede za sve vrste građevina ili dijelova građevina. Koeficijenti kombinacije za promjenjiva djelovanja prema normi HRN EN 1990, tablica A1.1, za te se kategorije određuju sukladno kategoriji (A – E) u koju je svrstana građevina ili dio građevine.

## 1.9) Snijeg

- prema HRN EN 1991-1-3:2012 i HRN EN 1991-1-3:2012/NA:2012

$$s_k = 1,25 \text{ kN/m}^2$$

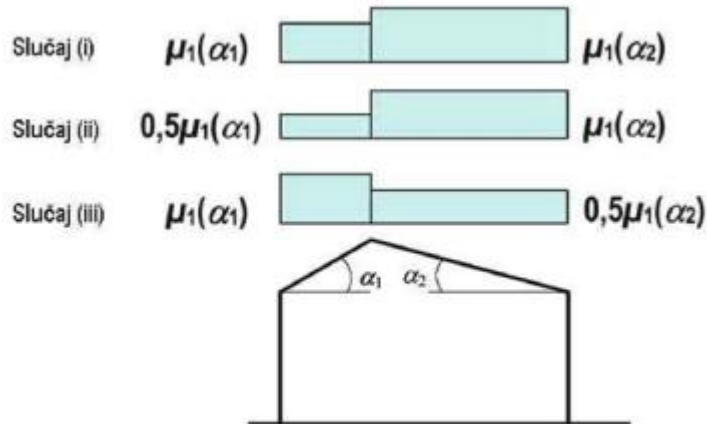
Opterećenje snijegom po krovu dobiva se prema izrazu:

$$s = s_k \cdot \mu_i \cdot C_e \cdot C_t$$

Koeficijent oblika opterećenja snijegom:

| Kut nagiba krova $\alpha$ | $0^\circ \leq \alpha \leq 30^\circ$ | $30^\circ < \alpha < 60^\circ$ | $\alpha \geq 60^\circ$ |
|---------------------------|-------------------------------------|--------------------------------|------------------------|
| $\mu_1$                   | 0,8                                 | $0,8 (60 - \alpha) / 30$       | 0,0                    |
| $\mu_2$                   | $0,8 + 0,8 \alpha / 30$             | 1,6                            | -                      |

**Dvostrešan krov** ( $s_k = 1,25 \text{ kN/m}^2$        $C_e = 1,00$        $C_t = 1,00$ )



Slika 5.3 – Koeficijenti oblika opterećenja snijegom – dvostrešni krovovi

Nagib krovnih ploha:

$$\alpha_1 = 18^\circ, \mu_1 = 0,8$$

$$\alpha_2 = 18^\circ, \mu_2 = 0,8$$

Slučaj (i):

$$s_{\alpha_1} = 1,00 \text{ kN/m}^2$$

$$s_{\alpha_2} = 1,00 \text{ kN/m}^2$$

Slučaj (ii):

$$s_{\alpha_1} = 0,50 \text{ kN/m}^2$$

$$s_{\alpha_2} = 1,00 \text{ kN/m}^2$$

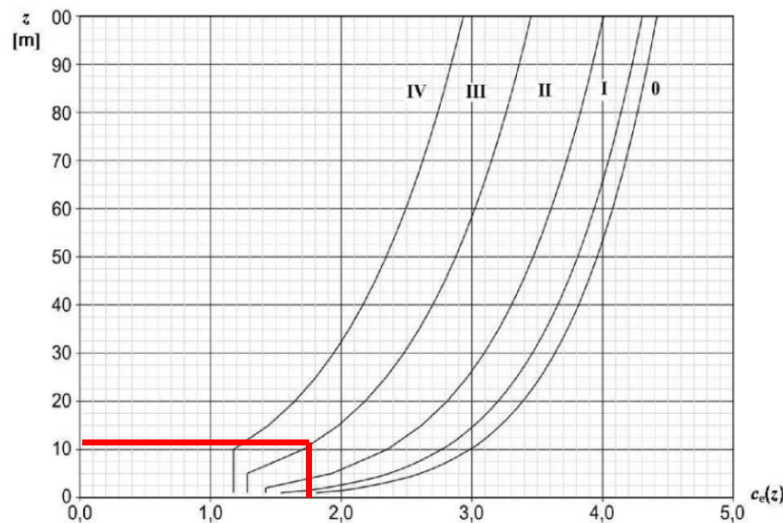
Slučaj (iii):

$$s_{\alpha_1} = 1,00 \text{ kN/m}^2$$

$$s_{\alpha_2} = 0,50 \text{ kN/m}^2$$

## 1.10) Vjetar

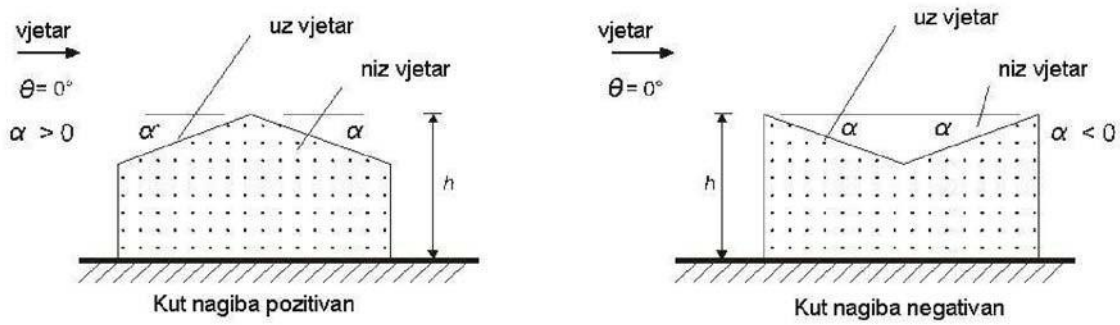
- prema HRN EN 1991-1-4:2012 i HRN EN 1991-1-4:2012/NA



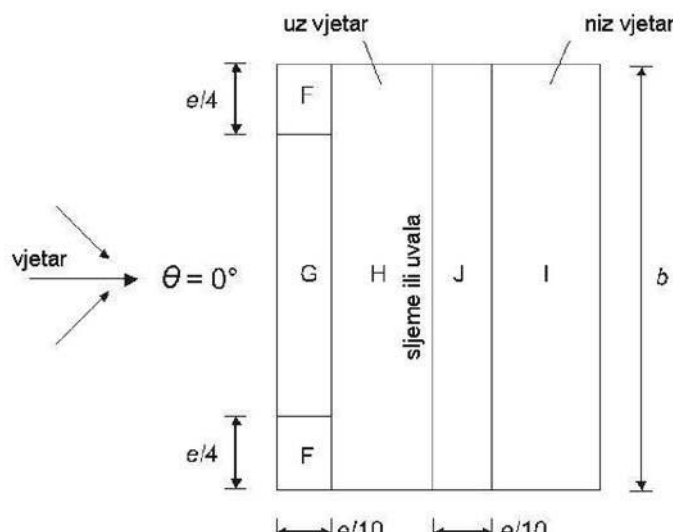
Slika 4.2(N) – Grafički prikaz faktora izloženosti  $c_e(z)$  za  $c_o=1,0$ ,  $k_l=1,0$

| Kategorija terena |  | $z_o$ [m] | $z_{min}$ [m] |
|-------------------|--|-----------|---------------|
| 0                 | More ili priobalna područja izložena otvorenom moru  | 0,003     | 1             |
| I                 | Jezera ili ravna i horizontalno položena područja sa zanemarivom vegetacijom i bez prepreka  | 0,01      | 1             |
| II                | Područje s niskom vegetacijom, npr. travom, i izoliranim preprekama (drveće, zgrade) s razmakom najmanje 20 visina prepreke  | 0,05      | 2             |
| III               | Područja sa stalnim pokrovom od vegetacije ili zgrade ili područja s izoliranim preprekama s razmakom najviše 20 visina prepreke (npr. sela, predgrađa, stalna šuma) | 0,3       | 5             |
| IV                | Područja s najmanje 15% površine pokrivene zgradama čija prosječna visina premašuje 15 m   | 1,0       | 10            |

Napomena: Kategorije terena prikazane su na slikama u točki A.1.



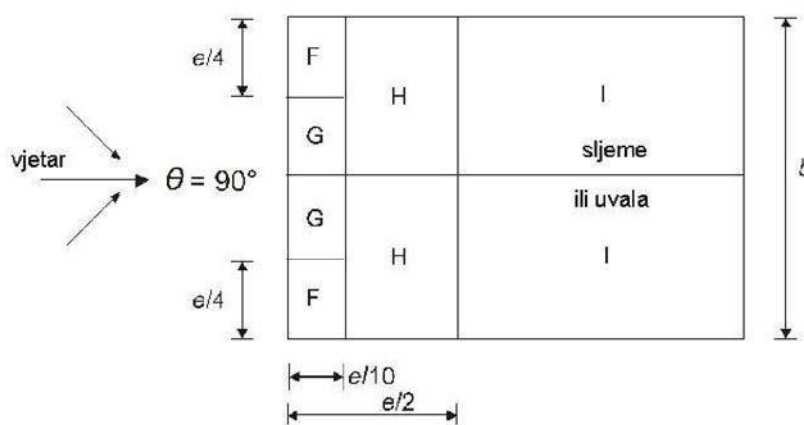
(a) općenito



$e=b$  ili  $2h$ ,  
odabire se manja vrijednost

(b) smjer vjetra  $\theta=0^\circ$

$b$ : dimenzija okomito na vjetar



(c) smjer vjetra  $\theta=90^\circ$

### Zajednički podaci

|              |            |
|--------------|------------|
| $h =$        | 10,92 m    |
| $\alpha_1 =$ | 18,0 °     |
| $\alpha_2 =$ | 18,0 °     |
| $z(e) =$     | 10,92 m    |
| $v_{b,0} =$  | 20,0 m/s   |
| $c_e(z) =$   | 1,7        |
| $q_b =$      | 0,25 kN/m² |
| $q_p(z) =$   | 0,43 kN/m² |

$q_b = \frac{1}{2} \cdot \rho \cdot v_{b,0}^2 = \frac{1}{2} \cdot 1,25 \cdot v_{b,0}^2 \cdot \frac{1}{1000}$   
 $q_p(z) = c_e(z) \cdot q_b$

|             |             |
|-------------|-------------|
| $C_{pi+} =$ | 0,25        |
| $C_{pi-} =$ | -0,25       |
| $W_{i+} =$  | 0,11 kN/m²  |
| $W_{i-} =$  | -0,11 kN/m² |

$w_i = C_{pi} \cdot q_p(z)$

### Smjer vjetra: $\theta=0^\circ$

|         |         |
|---------|---------|
| $b =$   | 18,00 m |
| $d_1 =$ | 4,75 m  |
| $d_2 =$ | 4,75 m  |
| $e =$   | 18,00 m |

|       |          |
|-------|----------|
| $F =$ | 8,52 m²  |
| $G =$ | 17,03 m² |
| $H =$ | 55,83 m² |
| $I =$ | 55,83 m² |
| $J =$ | 34,07 m² |

$$w_e = C_{pe} \cdot q_p(z) \quad w = w_e - w_i$$

#### Kombinacija: negativan $C_{pe}$ i pozitivan $C_{pl}$

|              |       |           |             |         |             |
|--------------|-------|-----------|-------------|---------|-------------|
| $C_{pe}^F =$ | -0,90 | $w_e^F =$ | -0,38 kN/m² | $w^F =$ | -0,49 kN/m² |
| $C_{pe}^G =$ | -0,74 | $w_e^G =$ | -0,31 kN/m² | $w^G =$ | -0,42 kN/m² |
| $C_{pe}^H =$ | -0,28 | $w_e^H =$ | -0,12 kN/m² | $w^H =$ | -0,23 kN/m² |
| $C_{pe}^I =$ | -0,36 | $w_e^I =$ | -0,15 kN/m² | $w^I =$ | -0,26 kN/m² |
| $C_{pe}^J =$ | -0,90 | $w_e^J =$ | -0,38 kN/m² | $w^J =$ | -0,49 kN/m² |

#### Kombinacija: negativan $C_{pe}$ i negativan $C_{pl}$

|              |       |           |             |         |             |
|--------------|-------|-----------|-------------|---------|-------------|
| $C_{pe}^F =$ | -0,90 | $w_e^F =$ | -0,38 kN/m² | $w^F =$ | -0,27 kN/m² |
| $C_{pe}^G =$ | -0,74 | $w_e^G =$ | -0,31 kN/m² | $w^G =$ | -0,21 kN/m² |
| $C_{pe}^H =$ | -0,28 | $w_e^H =$ | -0,12 kN/m² | $w^H =$ | -0,01 kN/m² |
| $C_{pe}^I =$ | -0,36 | $w_e^I =$ | -0,15 kN/m² | $w^I =$ | -0,05 kN/m² |
| $C_{pe}^J =$ | -0,90 | $w_e^J =$ | -0,38 kN/m² | $w^J =$ | -0,28 kN/m² |

#### Kombinacija: pozitivan $C_{pe}$ i pozitivan $C_{pl}$

|              |      |           |            |         |             |
|--------------|------|-----------|------------|---------|-------------|
| $C_{pe}^F =$ | 0,30 | $w_e^F =$ | 0,13 kN/m² | $w^F =$ | 0,02 kN/m²  |
| $C_{pe}^G =$ | 0,30 | $w_e^G =$ | 0,13 kN/m² | $w^G =$ | 0,02 kN/m²  |
| $C_{pe}^H =$ | 0,24 | $w_e^H =$ | 0,10 kN/m² | $w^H =$ | 0,00 kN/m²  |
| $C_{pe}^I =$ | 0,00 | $w_e^I =$ | 0,00 kN/m² | $w^I =$ | -0,11 kN/m² |
| $C_{pe}^J =$ | 0,00 | $w_e^J =$ | 0,00 kN/m² | $w^J =$ | -0,11 kN/m² |

#### Kombinacija: pozitivan $C_{pe}$ i negativan $C_{pl}$

|              |      |           |            |         |            |
|--------------|------|-----------|------------|---------|------------|
| $C_{pe}^F =$ | 0,30 | $w_e^F =$ | 0,13 kN/m² | $w^F =$ | 0,23 kN/m² |
| $C_{pe}^G =$ | 0,30 | $w_e^G =$ | 0,13 kN/m² | $w^G =$ | 0,23 kN/m² |
| $C_{pe}^H =$ | 0,24 | $w_e^H =$ | 0,10 kN/m² | $w^H =$ | 0,21 kN/m² |
| $C_{pe}^I =$ | 0,00 | $w_e^I =$ | 0,00 kN/m² | $w^I =$ | 0,11 kN/m² |
| $C_{pe}^J =$ | 0,00 | $w_e^J =$ | 0,00 kN/m² | $w^J =$ | 0,11 kN/m² |

**Smjer vjetra:  $\theta=90^\circ$**

|    |         |
|----|---------|
| b= | 9,50 m  |
| d= | 18,00 m |
| e= | 9,50 m  |

|    |                      |
|----|----------------------|
| F= | 2,37 m <sup>2</sup>  |
| G= | 2,37 m <sup>2</sup>  |
| H= | 18,98 m <sup>2</sup> |
| I= | 66,18 m <sup>2</sup> |

$$w_e = C_{pe} \cdot q_p(z) \quad w = w_e - w_i$$

**Kombinacija: pozitivan  $C_{pl}$**

|              |       |           |                         |         |                         |
|--------------|-------|-----------|-------------------------|---------|-------------------------|
| $C_{pe}^F =$ | -1,66 | $w_e^F =$ | -0,71 kN/m <sup>2</sup> | $w^F =$ | -0,81 kN/m <sup>2</sup> |
| $C_{pe}^G =$ | -1,74 | $w_e^G =$ | -0,74 kN/m <sup>2</sup> | $w^G =$ | -0,85 kN/m <sup>2</sup> |
| $C_{pe}^H =$ | -0,64 | $w_e^H =$ | -0,27 kN/m <sup>2</sup> | $w^H =$ | -0,38 kN/m <sup>2</sup> |
| $C_{pe}^I =$ | -0,50 | $w_e^I =$ | -0,21 kN/m <sup>2</sup> | $w^I =$ | -0,32 kN/m <sup>2</sup> |

**Kombinacija: negativan  $C_{pl}$**

|              |       |           |                         |         |                         |
|--------------|-------|-----------|-------------------------|---------|-------------------------|
| $C_{pe}^F =$ | -1,66 | $w_e^F =$ | -0,71 kN/m <sup>2</sup> | $w^F =$ | -0,60 kN/m <sup>2</sup> |
| $C_{pe}^G =$ | -1,74 | $w_e^G =$ | -0,74 kN/m <sup>2</sup> | $w^G =$ | -0,64 kN/m <sup>2</sup> |
| $C_{pe}^H =$ | -0,64 | $w_e^H =$ | -0,27 kN/m <sup>2</sup> | $w^H =$ | -0,17 kN/m <sup>2</sup> |
| $C_{pe}^I =$ | -0,50 | $w_e^I =$ | -0,21 kN/m <sup>2</sup> | $w^I =$ | -0,11 kN/m <sup>2</sup> |

**ODABRANO:**       $w_{max} = 0,23 \text{ kN/m}^2$   
 $w_{min} = -0,85 \text{ kN/m}^2$

## 1.11) Zid

### Ulazni podaci - Konstrukcija

Tabela materijala

| No | Naziv materijala      | E[kN/m <sup>2</sup> ] | $\mu$ | $\gamma[\text{kN/m}^3]$ | $\alpha[1/C]$ | $E_m[\text{kN/m}^2]$ | $\mu_m$ |
|----|-----------------------|-----------------------|-------|-------------------------|---------------|----------------------|---------|
| 1  | Beton C25/30          | 3.100e+7              | 0.20  | 25.00                   | 1.000e-5      | 3.100e+7             | 0.20    |
| 2  | ZID                   | 2.770e+6              | 0.20  | 15.00                   | 1.000e-5      | 2.770e+6             | 0.20    |
| 3  | Drvo-Cetinari-Masivno | 1.000e+7              | 0.20  | 5.00                    | 1.000e-5      | 1.000e+7             | 0.20    |

Setovi ploča

| No  | d[m]  | e[m]  | Materijal | Tip proračuna | Ortrotropija | E2[kN/m <sup>2</sup> ] | G[kN/m <sup>2</sup> ] | $\alpha$ |
|-----|-------|-------|-----------|---------------|--------------|------------------------|-----------------------|----------|
| <1> | 0.150 | 0.075 | 1         | Tanka ploča   | Izotropna    |                        |                       |          |
| <2> | 0.250 | 0.125 | 2         | Opeka/Blokovi | Izotropna    |                        |                       |          |
| <3> | 0.300 | 0.150 | 2         | Opeka/Blokovi | Izotropna    |                        |                       |          |

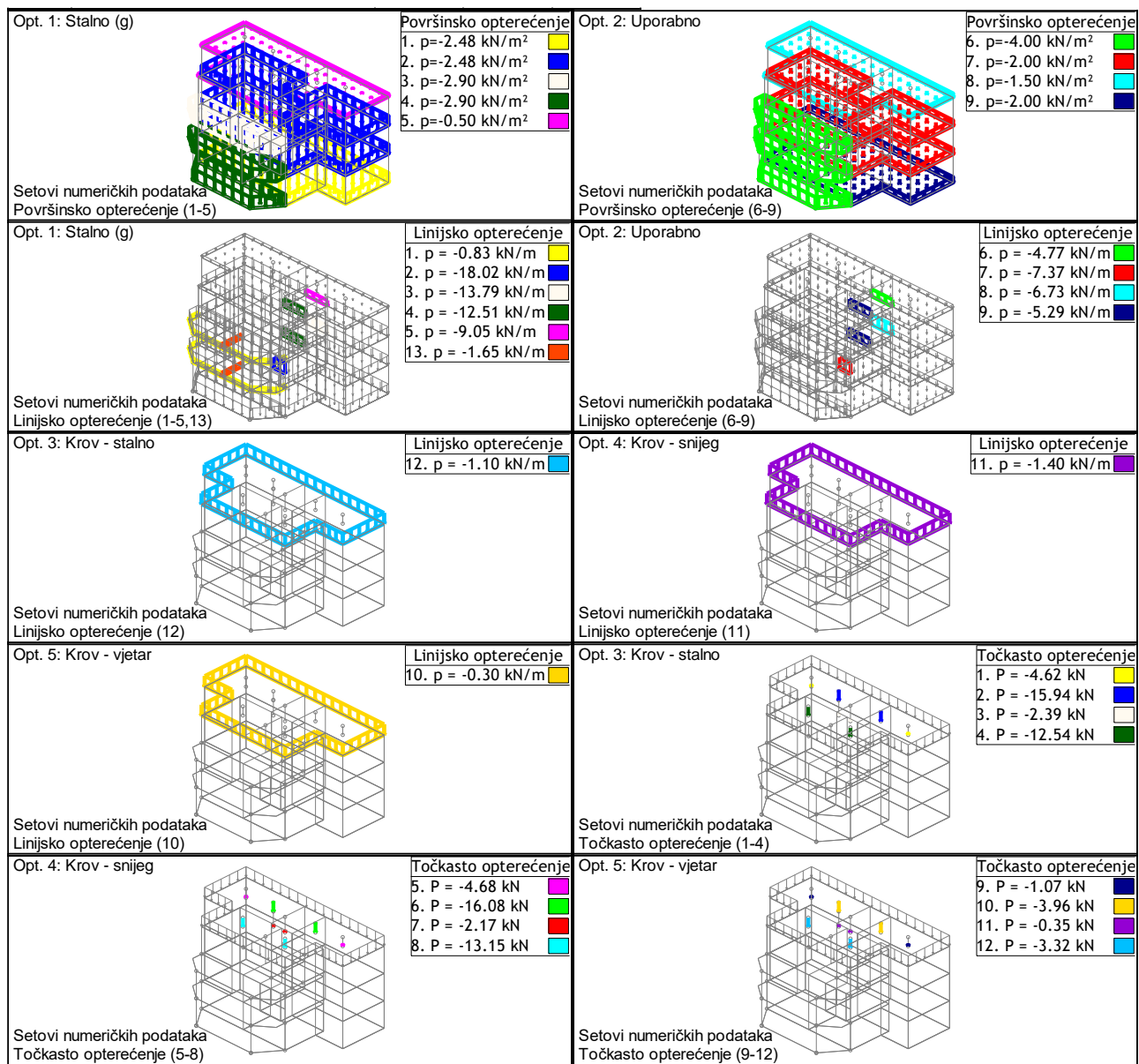
Setovi linijskih ležajeva

| Set | K,R1     | K,R2     | K,R3     | K,M1 | Tlo [m] |
|-----|----------|----------|----------|------|---------|
| 1   | 5.000e+3 | 5.000e+3 | 5.000e+3 |      | 0.900   |
| 2   | 5.000e+3 | 5.000e+3 | 5.000e+3 |      | 0.500   |

### Ulazni podaci - Opterećenje

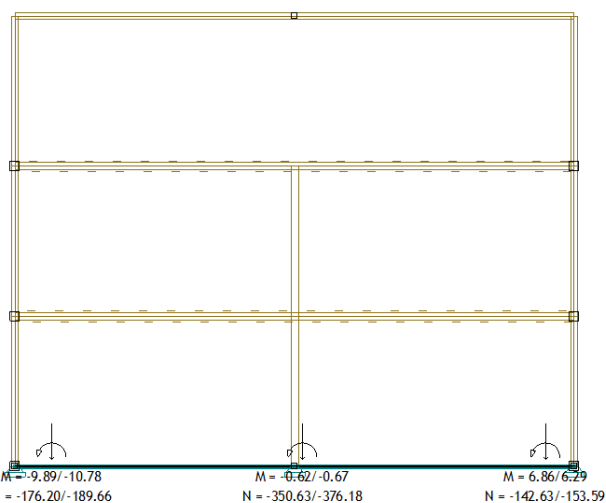
Lista slučajeva opterećenja

| LC | Naziv  | pX [kN] | pY [kN] | pZ [kN]  |
|----|--|---------|---------|----------|
| 1  | Stalno (g)   | 0.00    | 0.00    | -7691.04 |
| 2  | Uporabno   | 0.00    | 0.00    | -1340.54 |
| 3  | Krov - stalno  | 0.00    | 0.00    | -130.16  |
| 4  | Krov - snieg   | 0.00    | 0.00    | -147.48  |
| 5  | Krov - vjetar  | 0.00    | 0.00    | -33.54   |
| 6  | Komb.: 1.35xI+1.5xII+1.35xIII                                  | 0.00    | 0.00    | -12569.4 |
| 7  | Komb.: 1.35xI+1.5xII+1.35xIII+0.75xIV                          | 0.00    | 0.00    | -12680.0 |
| 8  | Komb.: 1.35xI+1.5xII+1.35xIII+0.9xV                            | 0.00    | 0.00    | -12599.6 |
| 9  | Komb.: 1.35xI+1.5xII+1.35xIII+0.9xV<br>+1.35xIII+0.75xIV+0.9xV | 0.00    | 0.00    | -12710.2 |
| 10 | Komb.: 1.35xI+1.05xII+1.35xIII                                 | 0.00    | 0.00    | -11966.2 |
| 11 | Komb.: 1.35xI+1.05xII+1.35xIII+1.5xIV                          | 0.00    | 0.00    | -12187.4 |
| 12 | Komb.: 1.35xI+1.05xII+1.35xIII+0.9xV                           | 0.00    | 0.00    | -11996.4 |
| 13 | Komb.: 1.35xI+1.05xII+1.35xIII+0.9xV<br>+1.5xIV+0.9xV          | 0.00    | 0.00    | -12217.6 |
| 14 | Komb.: 1.35xI+1.05xII+1.35xIII                                 | 0.00    | 0.00    | -11966.2 |
| 15 | Komb.: 1.35xI+1.05xII+1.35xIII+0.75xIV                         | 0.00    | 0.00    | -12076.8 |
| 16 | Komb.: 1.35xI+1.05xII+1.35xIII+1.5xV                           | 0.00    | 0.00    | -12016.5 |
| 17 | Komb.: 1.35xI+1.05xII+1.35xIII+0.75xIV+1.5xV                   | 0.00    | 0.00    | -12127.1 |
| 18 | Komb.: 1.35xI+1.5xII+1.35xIII                                  | 0.00    | 0.00    | -12569.4 |



### Statički proračun

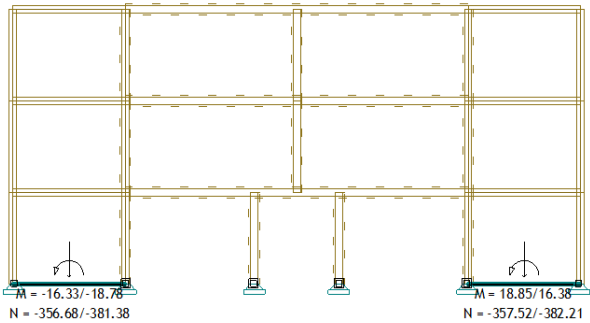
Opt. 19: [GSN] 6-18



Okvir: H\_2  
Vektorski presjeci: Nn

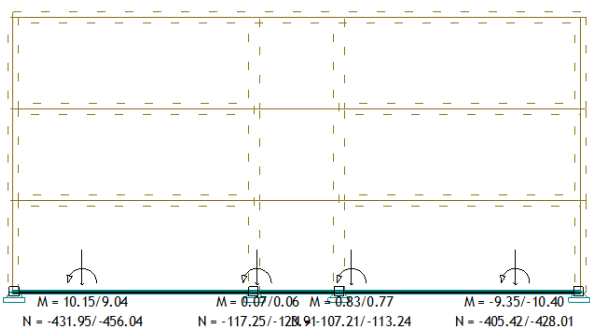
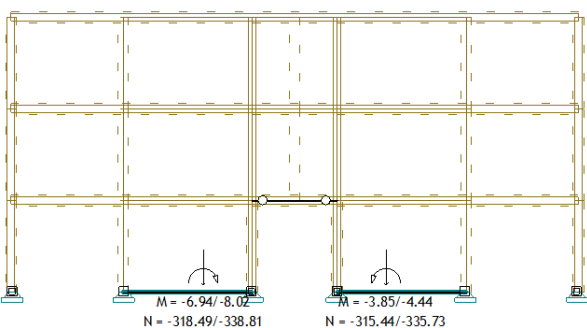
Opt. 19: [GSN] 6-18

Opt. 19: [GSN] 6-18



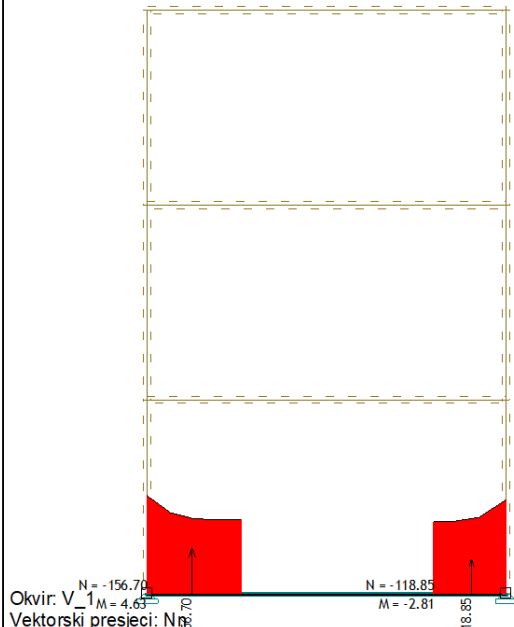
Okvir: H\_4  
Vektorski presjeci: Nn

Opt. 19: [GSN] 6-18



Okvir: H\_5  
Vektorski presjeci: Nn

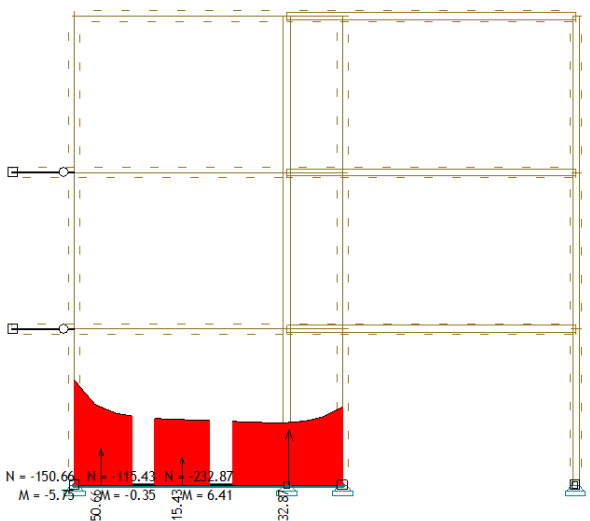
Opt. 9:  $1.35xI+1.5xII+1.35xIII+0.75xIV+0.9xV$



Okvir: V\_1  
Vektorski presjeci: Nn

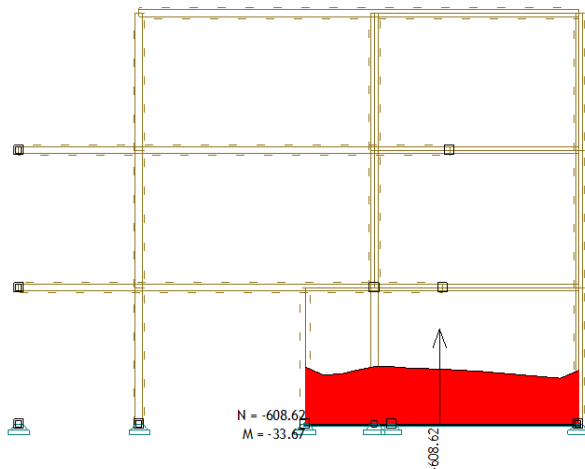
Okvir: H\_6  
Vektorski presjeci: Nn

Opt. 9:  $1.35xI+1.5xII+1.35xIII+0.75xIV+0.9xV$



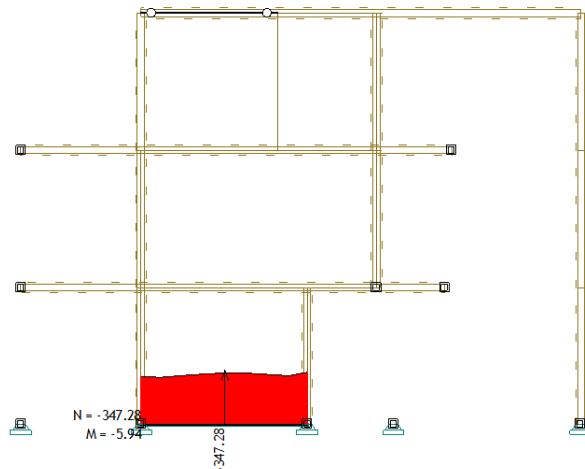
Okvir: V\_2  
Vektorski presjeci: Nn

Opt. 9:  $1.35xI+1.5xII+1.35xIII+0.75xIV+0.9xV$



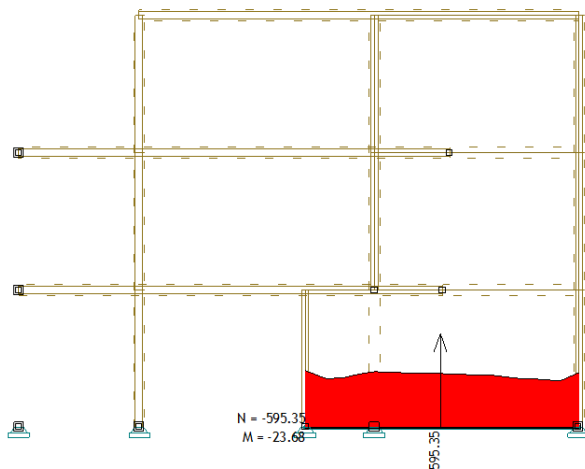
Okvir: V\_3  
Vektorski presjeci: Nn

Opt. 9:  $1.35xI+1.5xII+1.35xIII+0.75xIV+0.9xV$



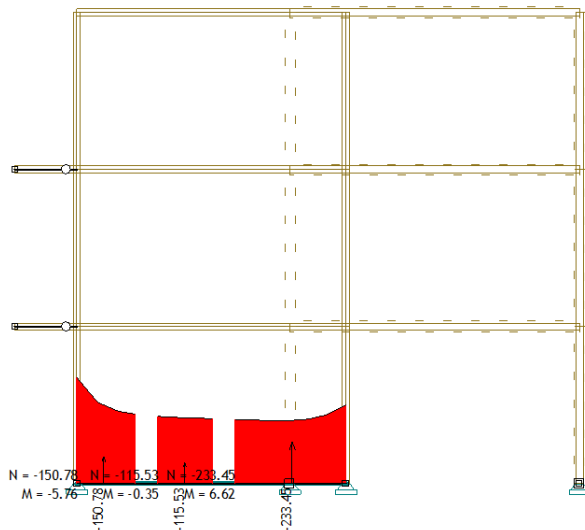
Okvir: V\_4  
Vektorski presjeci: Nn

Opt. 9:  $1.35xI+1.5xII+1.35xIII+0.75xIV+0.9xV$



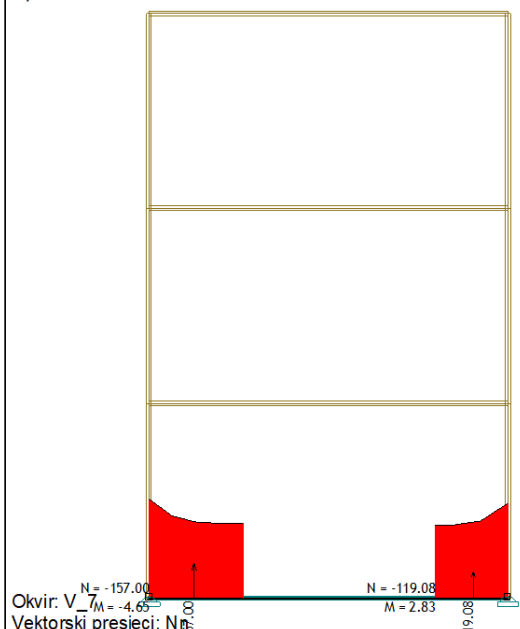
Okvir: V\_5  
Vektorski presjeci: Nn

Opt. 9:  $1.35xI+1.5xII+1.35xIII+0.75xIV+0.9xV$



Okvir: V\_6  
Vektorski presjeci: Nn

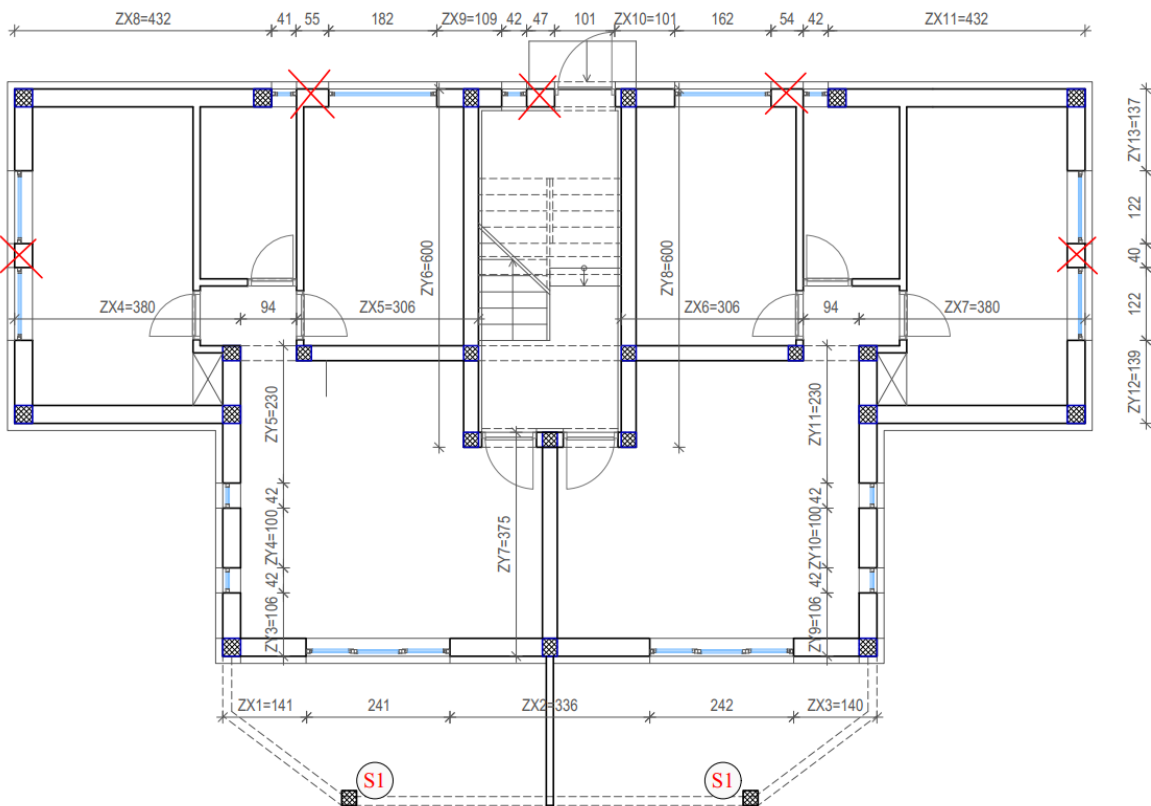
Opt. 9:  $1.35xI+1.5xII+1.35xIII+0.75xIV+0.9xV$



Dokaz mehaničke otpornosti zida i stupova na vertikalna djelovanja (EN 1996-3)

|             |          |                       |              |      |   |
|-------------|----------|-----------------------|--------------|------|---|
| $h =$       | 2,87 m   | = katna visina        | $\gamma_M =$ | 2,20 | = parcijalni faktor sigurnosti za zid   |
| $f_k =$     | 4,96 MPa | = tl. čvrstoća zida   | $\gamma_c =$ | 1,50 | = parcijalni faktor sigurnosti za beton |
| $f_{c,k} =$ | 25,0 MPa | = tl. čvrstoća betona | $n =$        | 3    | = broj etaža                            |

| zid  | dimenzije zida    |                    |                                   | $N_{Rd} = \phi f_d A$             |                       |                                 |                                 |                     |
|------|-------------------|--------------------|-----------------------------------|-----------------------------------|-----------------------|---------------------------------|---------------------------------|---------------------|
|      | debljina zida [m] | duljina zida L [m] | netto pov. zida/stupa $A_i [m^2]$ | računsko vert.djel. $N_{Ed} [kN]$ | koef. vitkosti $\phi$ | proračunsk ačv.mat. $f_d [MPa]$ | računska nosivost $N_{Rd} [kN]$ | $N_{sd}/N_{Rd}$ [%] |
| ZX1  | 0,3               | 1,41               | 0,42                              | 189,66                            | 0,7                   | 2,25                            | 667,57                          | 0,28                |
| ZX2  | 0,3               | 3,36               | 1,01                              | 376,18                            | 0,7                   | 2,25                            | 1590,81                         | 0,24                |
| ZX3  | 0,3               | 1,40               | 0,42                              | 153,59                            | 0,7                   | 2,25                            | 662,84                          | 0,23                |
| ZX4  | 0,3               | 3,80               | 1,14                              | 381,38                            | 0,7                   | 2,25                            | 1799,13                         | 0,21                |
| ZX5  | 0,25              | 3,06               | 0,77                              | 338,81                            | 0,7                   | 16,67                           | 8925,00                         | 0,04                |
| ZX6  | 0,25              | 3,06               | 0,77                              | 335,73                            | 0,7                   | 16,67                           | 8925,00                         | 0,04                |
| ZX7  | 0,3               | 3,80               | 1,14                              | 382,21                            | 0,7                   | 2,25                            | 1799,13                         | 0,21                |
| ZX8  | 0,3               | 4,32               | 1,30                              | 456,04                            | 0,7                   | 2,25                            | 2045,32                         | 0,22                |
| ZX9  | 0,3               | 1,09               | 0,33                              | 123,91                            | 0,7                   | 2,25                            | 516,07                          | 0,24                |
| ZX10 | 0,3               | 1,01               | 0,30                              | 113,24                            | 0,7                   | 2,25                            | 478,19                          | 0,24                |
| ZX11 | 0,3               | 4,32               | 1,30                              | 428,01                            | 0,7                   | 2,25                            | 2045,32                         | 0,21                |
| ZY1  | 0,3               | 1,39               | 0,42                              | 156,70                            | 0,7                   | 2,25                            | 658,10                          | 0,24                |
| ZY2  | 0,3               | 1,37               | 0,41                              | 118,85                            | 0,7                   | 2,25                            | 648,63                          | 0,18                |
| ZY3  | 0,3               | 1,06               | 0,32                              | 150,66                            | 0,7                   | 2,25                            | 501,86                          | 0,30                |
| ZY4  | 0,3               | 1,00               | 0,30                              | 115,43                            | 0,7                   | 2,25                            | 473,45                          | 0,24                |
| ZY5  | 0,3               | 2,30               | 0,69                              | 232,87                            | 0,7                   | 2,25                            | 1088,95                         | 0,21                |
| ZY6  | 0,25              | 6,00               | 1,50                              | 608,62                            | 0,7                   | 16,67                           | 17500,00                        | 0,03                |
| ZY7  | 0,25              | 3,75               | 0,94                              | 347,28                            | 0,7                   | 16,67                           | 10937,50                        | 0,03                |
| ZY8  | 0,25              | 6,00               | 1,50                              | 595,35                            | 0,7                   | 16,67                           | 17500,00                        | 0,03                |
| ZY9  | 0,3               | 1,06               | 0,32                              | 150,78                            | 0,7                   | 2,25                            | 501,86                          | 0,30                |
| ZY10 | 0,3               | 1,00               | 0,30                              | 115,53                            | 0,7                   | 2,25                            | 473,45                          | 0,24                |
| ZY11 | 0,3               | 2,30               | 0,69                              | 233,45                            | 0,7                   | 2,25                            | 1088,95                         | 0,21                |
| ZY12 | 0,3               | 1,39               | 0,42                              | 157,00                            | 0,7                   | 2,25                            | 658,10                          | 0,24                |
| ZY13 | 0,3               | 1,37               | 0,41                              | 119,08                            | 0,7                   | 2,25                            | 648,63                          | 0,18                |



## 1.12 Potres

Podaci za proračun:

- proračunsko ubrzanje tla:  $a_0=0,16$  g (Bjelovar)
- kategorija važnosti zgrade: II → faktor važnosti zgrade  $\gamma_i=1,0$
- vrijednost faktora ponašanja  $q$  za omeđeno zidje iznosi  $q=2,5$
- kategorija tla: C

### Ulazni podaci - Konstrukcija

Tabela materijala

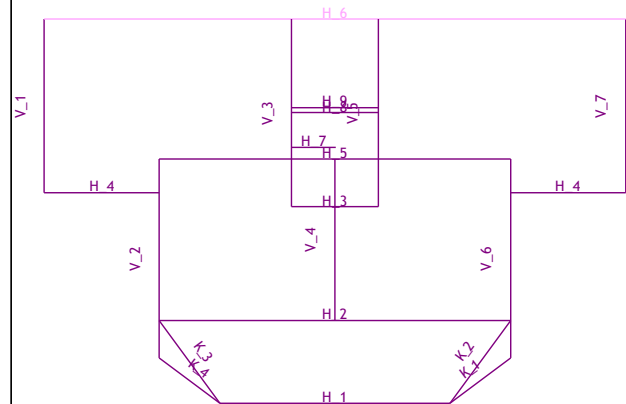
| No | Naziv materijala      | E[kN/m <sup>2</sup> ] | $\mu$ | $\gamma$ [kN/m <sup>3</sup> ] | $\alpha[1/C]$ | E <sub>m</sub> [kN/m <sup>2</sup> ] | $\mu_m$ |
|----|-----------------------|-----------------------|-------|-------------------------------|---------------|-------------------------------------|---------|
| 1  | Beton C25/30          | 3.100e+7              | 0.20  | 25.00                         | 1.000e-5      | 3.100e+7                            | 0.20    |
| 2  | ZIDJE                 | 2.770e+6              | 0.20  | 15.00                         | 1.000e-5      | 2.770e+6                            | 0.20    |
| 3  | Drvo-Četinari-Masivno | 1.000e+7              | 0.20  | 5.00                          | 1.000e-5      | 1.000e+7                            | 0.20    |

Setovi ploča

| No  | d[m]  | e[m]  | Materijal | Tip proračuna | Ortrotropija | E2[kN/m <sup>2</sup> ] | G[kN/m <sup>2</sup> ] | $\alpha$ |
|-----|-------|-------|-----------|---------------|--------------|------------------------|-----------------------|----------|
| <1> | 0.150 | 0.075 | 1         | Tanka ploča   | Izotropna    |                        |                       |          |
| <2> | 0.250 | 0.125 | 2         | Opeka/Blokovi | Izotropna    |                        |                       |          |
| <3> | 0.300 | 0.150 | 2         | Opeka/Blokovi | Izotropna    |                        |                       |          |

Setovi linijskih ležajeva

| Set | K,R1     | K,R2     | K,R3     | K,M1 | Tlo [m] |
|-----|----------|----------|----------|------|---------|
| 1   | 5.000e+3 | 5.000e+3 | 5.000e+3 |      | 0.900   |
| 2   | 5.000e+3 | 5.000e+3 | 5.000e+3 |      | 0.500   |



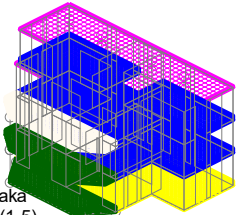
Dispozicija okvira

## Ulazni podaci - Opterećenje

Lista slučajeva opterećenja

| LC | Naziv  | pX [kN] | pY [kN] | pZ [kN]  |
|----|--|---------|---------|----------|
| 1  | Stalno (g)                                   | 0.00    | 0.00    | -6886.68 |
| 2  | Uporabno                                     | 0.00    | 0.00    | -1340.54 |
| 3  | Krov - stalno                                | 0.00    | 0.00    | -130.16  |
| 4  | Krov - snijeg                                | 0.00    | 0.00    | -147.48  |
| 5  | Krov - vjetar                                | 0.00    | 0.00    | -33.54   |
| 6  | px   |         |         |          |
| 7  | py   |         |         |          |
| 8  | Komb.: 1.35xI+1.5xII+1.35xIII                | 0.00    | 0.00    | -11483.6 |
| 9  | Komb.: 1.35xI+1.5xII+1.35xIII+0.75xIV        | 0.00    | 0.00    | -11594.2 |
| 10 | Komb.: 1.35xI+1.5xII+1.35xIII+0.9xV          | 0.00    | 0.00    | -11513.7 |
| 11 | Komb.: 1.35xI+1.5xII+1.35xIII+0.75xIV+0.9xV  | 0.00    | 0.00    | -11624.3 |
| 12 | Komb.: 1.35xI+1.05xII+1.35xIII               | 0.00    | 0.00    | -10880.3 |
| 13 | Komb.: 1.35xI+1.05xII+1.35xIII+1.5xIV        | 0.00    | 0.00    | -11101.5 |
| 14 | Komb.: 1.35xI+1.05xII+1.35xIII+0.9xV         | 0.00    | 0.00    | -10910.5 |
| 15 | Komb.: 1.35xI+1.05xII+1.35xIII+1.5xIV+0.9xV  | 0.00    | 0.00    | -11131.7 |
| 16 | Komb.: 1.35xI+1.05xII+1.35xIII               | 0.00    | 0.00    | -10880.3 |
| 17 | Komb.: 1.35xI+1.05xII+1.35xIII+0.75xIV       | 0.00    | 0.00    | -10990.9 |
| 18 | Komb.: 1.35xI+1.05xII+1.35xIII+1.5xV         | 0.00    | 0.00    | -10930.6 |
| 19 | Komb.: 1.35xI+1.05xII+1.35xIII+0.75xIV+1.5xV | 0.00    | 0.00    | -11041.2 |
| 20 | Komb.: 1.35xI+1.5xII+1.35xIII                | 0.00    | 0.00    | -11483.6 |
| 21 | Komb.: I+0.3xII+III+VI+0.3xVII               |         |         |          |
| 22 | Komb.: I+0.3xII+III+VI-0.3xVII               |         |         |          |
| 23 | Komb.: I+0.3xII+III-1xVI+0.3xVII             |         |         |          |
| 24 | Komb.: I+0.3xII+III-1xVI-0.3xVII             |         |         |          |
| 25 | Komb.: I+0.3xII+III+0.3xVI+VII               |         |         |          |
| 26 | Komb.: I+0.3xII+III-0.3xVI+VII               |         |         |          |
| 27 | Komb.: I+0.3xII+III-0.3xVI+VII               |         |         |          |
| 28 | Komb.: I+0.3xII+III-0.3xVI-1xVII             |         |         |          |

Opt. 1: Stalno (g)

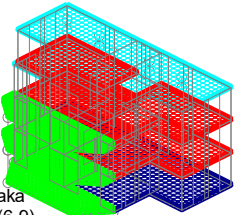


Setovi numeričkih podataka  
Površinsko opterećenje (1-5)

Površinsko opterećenje

- 1. p = -2.48 kN/m<sup>2</sup> █
- 2. p = -2.48 kN/m<sup>2</sup> █
- 3. p = -2.90 kN/m<sup>2</sup> █
- 4. p = -2.90 kN/m<sup>2</sup> █
- 5. p = -0.50 kN/m<sup>2</sup> █

Opt. 2: Uporabno

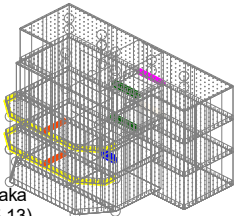


Setovi numeričkih podataka  
Površinsko opterećenje (6-9)

Površinsko opterećenje

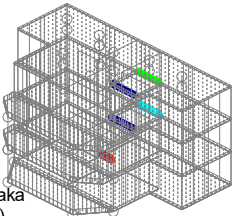
- 6. p = -4.00 kN/m<sup>2</sup> █
- 7. p = -2.00 kN/m<sup>2</sup> █
- 8. p = -1.50 kN/m<sup>2</sup> █
- 9. p = -2.00 kN/m<sup>2</sup> █

Opt. 1: Stalno (g)



Setovi numeričkih podataka  
Linijsko opterećenje (1-5, 13)

Opt. 2: Uporabno

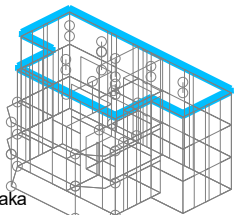


Setovi numeričkih podataka  
Linijsko opterećenje (6-9)

Linijsko opterećenje

- 6. p = -4.77 kN/m █
- 7. p = -7.37 kN/m █
- 8. p = -6.73 kN/m █
- 9. p = -5.29 kN/m █

Opt. 3: Krov - stalno

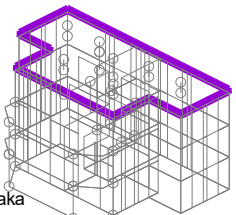


Setovi numeričkih podataka  
Linijsko opterećenje (12)

Linijsko opterećenje

- 12. p = -1.10 kN/m █

Opt. 4: Krov - snijeg

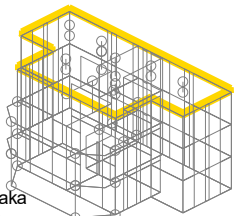


Setovi numeričkih podataka  
Linijsko opterećenje (11)

Linijsko opterećenje

- 11. p = -1.40 kN/m █

Opt. 5: Krov - vjetar

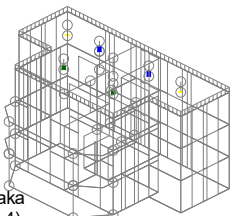


Setovi numeričkih podataka  
Linijsko opterećenje (10)

Linijsko opterećenje

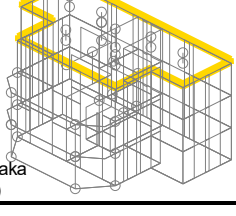
- 10. p = -0.30 kN/m █

Opt. 3: Krov - stalno



Setovi numeričkih podataka  
Točkasto opterećenje (1-4)

Opt. 4: Krov - snijeg

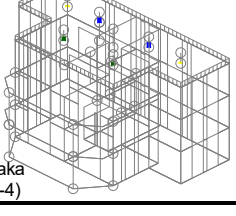


Setovi numeričkih podataka  
Točkasto opterećenje (5-8)

Točkasto opterećenje

- 5. P = -4.68 kN █
- 6. P = -16.08 kN █
- 7. P = -2.17 kN █
- 8. P = -13.15 kN █

Opt. 5: Krov - vjetar



Setovi numeričkih podataka  
Točkasto opterećenje (9-12)

Točkasto opterećenje

- 9. P = -1.07 kN █
- 10. P = -3.96 kN █
- 11. P = -0.35 kN █
- 12. P = -3.32 kN █

**Napredne opcije seizmičkog proračuna:**

Mase grupirane u nivoima izabranih ploča  
Multiplikator krutosti ležajeva:  
Sprjećeno osciliranje u Z pravcu

10.000

**Faktori opterećenja za proračun mase**

| No | Naziv         | Koeficijent    |
|----|---------------|----------------|
| 1  | Stalno (g)    | 1.00           |
| 2  | Uporabno      | 0.30 $\varphi$ |
| 3  | Krov - stalno | 1.00           |
| 4  | Krov - snijeg | 0.00           |
| 5  | Krov - vjetar | 0.00           |

**Činitelji ploča za proračun mase**

| Nivo                | Z [m] | $\varphi$ |
|---------------------|-------|-----------|
| POZ 300 - 2. kat    | 8.61  | 1.00      |
| POZ 200 - 1. kat    | 5.74  | 0.80      |
| POZ 100 - Prizemlje | 2.87  | 0.80      |

**Raspored mase po visini objekta**

| Nivo                | Z [m] | X [m] | Y [m] | Masa [T] | T/m <sup>2</sup> |
|---------------------|-------|-------|-------|----------|------------------|
| POZ 300 - 2. kat    | 8.61  | 8.87  | 1.27  | 119.52   | 0.88             |
| POZ 200 - 1. kat    | 5.74  | 8.86  | 0.50  | 188.72   | 1.23             |
| POZ 100 - Prizemlje | 2.87  | 8.84  | 0.53  | 441.33   | 2.90             |
| Ukupno:             | 4.51  | 8.85  | 0.64  | 749.57   |                  |

**Položaj centra krutosti po visini objekta (približna metoda)**

| Nivo                | Z [m] | X [m] | Y [m] |
|---------------------|-------|-------|-------|
| POZ 300 - 2. kat    | 8.61  | 8.85  | 2.28  |
| POZ 200 - 1. kat    | 5.74  | 8.85  | 2.24  |
| POZ 100 - Prizemlje | 2.87  | 8.85  | 2.21  |

**Ekscentricitet po visini objekta (približna metoda)**

| Nivo                | Z [m] | eox [m] | eoy [m] |
|---------------------|-------|---------|---------|
| POZ 300 - 2. kat    | 8.61  | 0.02    | 1.02    |
| POZ 200 - 1. kat    | 5.74  | 0.01    | 1.74    |
| POZ 100 - Prizemlje | 2.87  | 0.01    | 1.68    |

**Periodi osciliranja konstrukcije**

| No | T [s]  | f [Hz]  |
|----|--------|---------|
| 1  | 0.2421 | 4.1300  |
| 2  | 0.2242 | 4.4595  |
| 3  | 0.2204 | 4.5372  |
| 4  | 0.0862 | 11.5947 |
| 5  | 0.0841 | 11.8968 |
| 6  | 0.0746 | 13.3994 |
| 7  | 0.0727 | 13.7521 |
| 8  | 0.0488 | 20.4874 |
| 9  | 0.0458 | 21.8490 |
| 10 | 0.0426 | 23.4918 |
| 11 | 0.0421 | 23.7581 |
| 12 | 0.0370 | 27.0472 |
| 13 | 0.0348 | 28.7614 |
| 14 | 0.0328 | 30.4669 |
| 15 | 0.0291 | 34.4144 |

## Seizmički proračun

Seizmički proračun: EC8 (HRN EN 1998-1:2011)

Razred tla: C  
 Razred važnosti: II ( $\gamma=1.0$ )  
 Odnos agR/g: 0.160  
 Koeficijent prigušenja 0.05

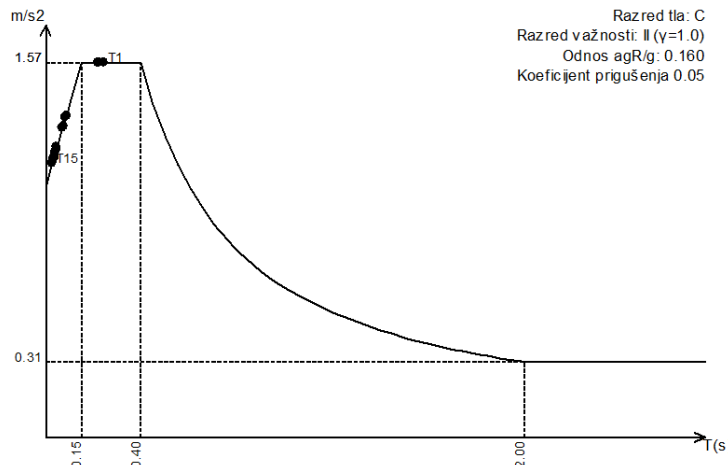
Faktori pravca potresa:

| Slučaj opterećenja | Kut $\alpha [^{\circ}]$ | $k_{\alpha}$ | $k_{\alpha+90^{\circ}}$ | $k_z$ | Faktor P. |
|--------------------|-------------------------|--------------|-------------------------|-------|-----------|
| px                 | 0                       | 1.000        | 0.000                   | 0.000 | 2.500     |
| py                 | 90                      | 1.000        | 0.000                   | 0.000 | 2.500     |

Tip spektra

| Slučaj opterećenja | S     | T <sub>b</sub> | T <sub>c</sub> | T <sub>d</sub> | avg/ag |
|--------------------|-------|----------------|----------------|----------------|--------|
| px                 | 1.000 | 0.150          | 0.400          | 2.000          | 1.000  |
| py                 | 1.000 | 0.150          | 0.400          | 2.000          | 1.000  |

Projektni spektar



S=1.00, Tb=0.15, Tc=0.40, Td=2.00

Raspored seizmičkih sila po visini objekta - px

| Nivo | Z [m] | Ton 1   |         |         | Ton 2   |         |         | Ton 3   |         |         |
|------|-------|---------|---------|---------|---------|---------|---------|---------|---------|---------|
|      |       | Px [kN] | Py [kN] | Pz [kN] | Px [kN] | Py [kN] | Pz [kN] | Px [kN] | Py [kN] | Pz [kN] |

|                     |      |       |       |        |        |        |        |        |        |       |
|---------------------|------|-------|-------|--------|--------|--------|--------|--------|--------|-------|
| POZ 300 - 2. kat    | 8.61 | 1.74  | 20.73 | -0.28  | 51.77  | -11.65 | -0.01  | 217.34 | -6.44  | -0.16 |
| POZ 200 - 1. kat    | 5.74 | 1.89  | 23.32 | 0.36   | 78.05  | -14.67 | -0.25  | 231.44 | -11.83 | -0.42 |
| POZ 100 - Prizemlje | 2.87 | 2.19  | 29.86 | 0.68   | 96.60  | -21.08 | -0.66  | 299.54 | -18.80 | -0.50 |
| Temelji             | 0.00 | 0.00  | 0.00  | 0.00   | 0.00   | 0.00   | 0.00   | 0.00   | 0.00   | 0.00  |
| $\Sigma =$          | 5.82 | 73.91 | 0.76  | 226.43 | -47.39 | -0.93  | 748.32 | -37.07 | -1.09  |       |

| Nivo                | Z [m] | Ton 4   |         |         | Ton 5   |         |         | Ton 6   |         |         |
|---------------------|-------|---------|---------|---------|---------|---------|---------|---------|---------|---------|
|                     |       | Px [kN] | Py [kN] | Pz [kN] | Px [kN] | Py [kN] | Pz [kN] | Px [kN] | Py [kN] | Pz [kN] |
| POZ 300 - 2. kat    | 8.61  | -9.05   | -11.44  | 0.06    | -0.08   | 1.93    | 0.00    | -2.86   | -4.49   | 0.06    |
| POZ 200 - 1. kat    | 5.74  | -1.43   | 0.67    | -0.18   | -0.14   | -0.02   | 0.04    | 0.08    | 1.57    | 0.01    |
| POZ 100 - Prizemlje | 2.87  | 26.80   | 28.88   | -0.22   | 0.31    | -4.85   | 0.06    | 7.39    | 9.42    | -0.03   |
| Temelji             | 0.00  | 0.00    | 0.00    | 0.00    | 0.00    | 0.00    | 0.00    | 0.00    | 0.00    | 0.00    |
| $\Sigma =$          | 16.32 | 18.11   | -0.34   | 0.09    | -2.94   | 0.10    | 4.61    | 6.50    | 0.04    | 0.04    |

| Nivo                | Z [m]  | Ton 7   |         |         | Ton 8   |         |         | Ton 9   |         |         |
|---------------------|--------|---------|---------|---------|---------|---------|---------|---------|---------|---------|
|                     |        | Px [kN] | Py [kN] | Pz [kN] | Px [kN] | Py [kN] | Pz [kN] | Px [kN] | Py [kN] | Pz [kN] |
| POZ 300 - 2. kat    | 8.61   | -67.80  | 10.34   | 0.35    | -0.00   | -0.01   | -0.00   | -0.00   | 0.09    | 0.00    |
| POZ 200 - 1. kat    | 5.74   | -4.21   | 0.64    | 0.65    | 0.00    | 0.01    | -0.00   | -0.00   | -0.21   | -0.00   |
| POZ 100 - Prizemlje | 2.87   | 177.22  | -25.10  | 0.59    | -0.00   | 0.00    | -0.00   | 0.01    | 0.16    | 0.00    |
| Temelji             | 0.00   | 0.00    | 0.00    | 0.00    | 0.00    | 0.00    | 0.00    | 0.00    | 0.00    | 0.00    |
| $\Sigma =$          | 105.21 | -14.12  | 1.59    | 0.00    | 0.00    | -0.00   | 0.00    | 0.04    | 0.04    | 0.01    |

| Nivo                | Z [m] | Ton 10  |         |         | Ton 11  |         |         | Ton 12  |         |         |
|---------------------|-------|---------|---------|---------|---------|---------|---------|---------|---------|---------|
|                     |       | Px [kN] | Py [kN] | Pz [kN] | Px [kN] | Py [kN] | Pz [kN] | Px [kN] | Py [kN] | Pz [kN] |
| POZ 300 - 2. kat    | 8.61  | 0.46    | 1.42    | 0.05    | 0.75    | -1.16   | -0.03   | -0.03   | 0.01    | 0.00    |
| POZ 200 - 1. kat    | 5.74  | -1.01   | -3.25   | 0.01    | -1.46   | 2.55    | -0.03   | -0.11   | -0.02   | -0.00   |
| POZ 100 - Prizemlje | 2.87  | 0.69    | 2.29    | 0.06    | 0.89    | -1.70   | -0.06   | 0.24    | 0.00    | -0.01   |
| Temelji             | 0.00  | 0.00    | 0.00    | 0.00    | 0.00    | 0.00    | 0.00    | 0.00    | 0.00    | 0.00    |
| $\Sigma =$          | 0.14  | 0.46    | 0.13    | 0.18    | -0.32   | -0.12   | 0.10    | -0.00   | -0.01   | -0.01   |

| Nivo                | Z [m] | Ton 13  |         |         | Ton 14  |         |         | Ton 15  |         |         |
|---------------------|-------|---------|---------|---------|---------|---------|---------|---------|---------|---------|
|                     |       | Px [kN] | Py [kN] | Pz [kN] | Px [kN] | Py [kN] | Pz [kN] | Px [kN] | Py [kN] | Pz [kN] |
| POZ 300 - 2. kat    | 8.61  | 4.67    | -0.22   | 0.03    | 0.00    | 0.00    | -0.00   | 0.01    | 0.02    | 0.01    |
| POZ 200 - 1. kat    | 5.74  | -9.64   | 0.21    | -0.08   | -0.01   | -0.00   | -0.00   | -0.03   | -0.07   | -0.01   |
| POZ 100 - Prizemlje | 2.87  | 5.80    | 0.05    | -0.03   | 0.00    | 0.00    | -0.00   | 0.02    | 0.06    | -0.01   |
| Temelji             | 0.00  | 0.00    | 0.00    | 0.00    | 0.00    | 0.00    | 0.00    | 0.00    | 0.00    | 0.00    |
| $\Sigma =$          | 0.83  | 0.04    | -0.09   | 0.00    | 0.00    | -0.00   | 0.00    | 0.01    | -0.02   |         |

Raspored seizmičkih sila po visini objekta - py

| Nivo                | Z [m]      | Ton 1   |         |         | Ton 2   |         |         | Ton 3   |         |         |
|---------------------|------------|---------|---------|---------|---------|---------|---------|---------|---------|---------|
|                     |            | Px [kN] | Py [kN] | Pz [kN] | Px [kN] | Py [kN] | Pz [kN] | Px [kN] | Py [kN] | Pz [kN] |
| POZ 300 - 2. kat    | 8.61       | 22.13   | 263.52  | -3.56   | -10.84  | 2.44    | 0.00    | -10.77  | 0.32    | 0.01    |
| POZ 200 - 1. kat    | 5.74       | 23.97   | 296.39  | 4.58    | -16.34  | 3.07    | 0.05    | -11.47  | 0.59    | 0.02    |
| POZ 100 - Prizemlje | 2.87       | 27.81   | 379.47  | 8.70    | -20.22  | 4.41    | 0.14    | -14.84  | 0.93    | 0.02    |
| Temelji             | 0.00       | 0.00    | 0.00    | 0.00    | 0.00    | 0.00    | 0.00    | 0.00    | 0.00    | 0.00    |
|                     | $\Sigma =$ | 73.91   | 939.38  | 9.72    | -47.39  | 9.92    | 0.19    | -37.07  | 1.84    | 0.05    |

| Nivo                | Z [m]      | Ton 4   |         |         | Ton 5   |         |         | Ton 6   |         |         |
|---------------------|------------|---------|---------|---------|---------|---------|---------|---------|---------|---------|
|                     |            | Px [kN] | Py [kN] | Pz [kN] | Px [kN] | Py [kN] | Pz [kN] | Px [kN] | Py [kN] | Pz [kN] |
| POZ 300 - 2. kat    | 8.61       | -10.03  | -12.69  | 0.06    | 2.84    | -65.02  | -0.13   | -4.03   | -6.34   | 0.08    |
| POZ 200 - 1. kat    | 5.74       | -1.59   | 0.74    | -0.20   | 4.69    | 0.61    | -1.42   | 0.11    | 2.22    | 0.01    |
| POZ 100 - Prizemlje | 2.87       | 29.73   | 32.04   | -0.24   | -10.47  | 163.54  | -1.87   | 10.43   | 13.30   | -0.04   |
| Temelji             | 0.00       | 0.00    | 0.00    | 0.00    | 0.00    | 0.00    | 0.00    | 0.00    | 0.00    | 0.00    |
|                     | $\Sigma =$ | 18.11   | 20.09   | -0.38   | -2.94   | 99.13   | -3.42   | 6.50    | 9.18    | 0.06    |

| Nivo                | Z [m]      | Ton 7   |         |         | Ton 8   |         |         | Ton 9   |         |         |
|---------------------|------------|---------|---------|---------|---------|---------|---------|---------|---------|---------|
|                     |            | Px [kN] | Py [kN] | Pz [kN] | Px [kN] | Py [kN] | Pz [kN] | Px [kN] | Py [kN] | Pz [kN] |
| POZ 300 - 2. kat    | 8.61       | 9.10    | -1.39   | -0.05   | -0.03   | -0.73   | -0.12   | -0.03   | 1.93    | 0.06    |
| POZ 200 - 1. kat    | 5.74       | 0.56    | -0.09   | -0.09   | 0.11    | 0.85    | -0.12   | -0.04   | -4.51   | -0.00   |
| POZ 100 - Prizemlje | 2.87       | -23.78  | 3.37    | -0.08   | -0.08   | 0.35    | -0.02   | 0.11    | 3.38    | 0.08    |
| Temelji             | 0.00       | 0.00    | 0.00    | 0.00    | 0.00    | 0.00    | 0.00    | 0.00    | 0.00    | 0.00    |
|                     | $\Sigma =$ | -14.12  | 1.89    | -0.21   | 0.00    | 0.47    | -0.26   | 0.04    | 0.79    | 0.13    |

| Nivo                | Z [m]      | Ton 10  |         |         | Ton 11  |         |         | Ton 12  |         |         |
|---------------------|------------|---------|---------|---------|---------|---------|---------|---------|---------|---------|
|                     |            | Px [kN] | Py [kN] | Pz [kN] | Px [kN] | Py [kN] | Pz [kN] | Px [kN] | Py [kN] | Pz [kN] |
| POZ 300 - 2. kat    | 8.61       | 1.50    | 4.61    | 0.18    | -1.34   | 2.07    | 0.05    | 0.00    | -0.00   | -0.00   |
| POZ 200 - 1. kat    | 5.74       | -3.27   | -10.57  | 0.03    | 2.60    | -4.53   | 0.06    | 0.00    | 0.00    | 0.00    |
| POZ 100 - Prizemlje | 2.87       | 2.23    | 7.45    | 0.20    | -1.58   | 3.03    | 0.10    | -0.01   | -0.00   | 0.00    |
| Temelji             | 0.00       | 0.00    | 0.00    | 0.00    | 0.00    | 0.00    | 0.00    | 0.00    | 0.00    | 0.00    |
|                     | $\Sigma =$ | 0.46    | 1.49    | 0.41    | -0.32   | 0.57    | 0.21    | -0.00   | 0.00    | 0.00    |

| Nivo                | Z [m]      | Ton 13  |         |         | Ton 14  |         |         | Ton 15  |         |         |
|---------------------|------------|---------|---------|---------|---------|---------|---------|---------|---------|---------|
|                     |            | Px [kN] | Py [kN] | Pz [kN] | Px [kN] | Py [kN] | Pz [kN] | Px [kN] | Py [kN] | Pz [kN] |
| POZ 300 - 2. kat    | 8.61       | 0.25    | -0.01   | 0.00    | 0.01    | 0.00    | -0.00   | 0.05    | 0.06    | 0.02    |
| POZ 200 - 1. kat    | 5.74       | -0.52   | 0.01    | -0.00   | -0.01   | -0.00   | -0.00   | -0.10   | -0.22   | -0.03   |
| POZ 100 - Prizemlje | 2.87       | 0.31    | 0.00    | -0.00   | 0.01    | 0.00    | -0.00   | 0.07    | 0.20    | -0.03   |
| Temelji             | 0.00       | 0.00    | 0.00    | 0.00    | 0.00    | 0.00    | 0.00    | 0.00    | 0.00    | 0.00    |
|                     | $\Sigma =$ | 0.04    | 0.00    | -0.00   | 0.00    | 0.00    | -0.00   | 0.01    | 0.04    | -0.05   |

Faktori participacije - Relativno učešće

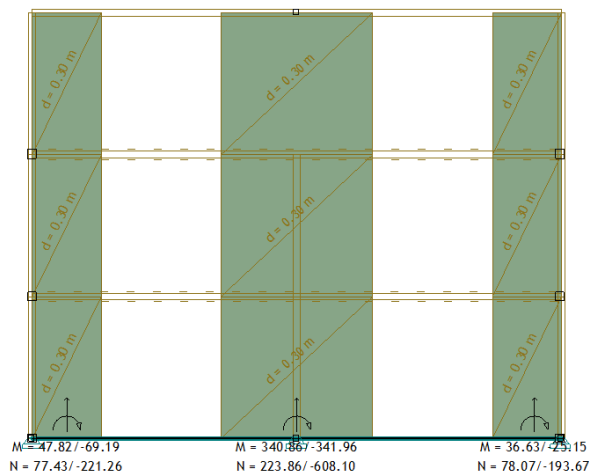
| Ton \ Naziv | 1. px | 2. py |
|-------------|-------|-------|
| 1           | 0.005 | 0.866 |
| 2           | 0.204 | 0.009 |
| 3           | 0.675 | 0.002 |
| 4           | 0.015 | 0.019 |
| 5           | 0.000 | 0.091 |
| 6           | 0.004 | 0.008 |
| 7           | 0.095 | 0.002 |
| 8           | 0.000 | 0.000 |
| 9           | 0.000 | 0.001 |
| 10          | 0.000 | 0.001 |
| 11          | 0.000 | 0.001 |
| 12          | 0.000 | 0.000 |
| 13          | 0.001 | 0.000 |
| 14          | 0.000 | 0.000 |
| 15          | 0.000 | 0.000 |

Faktori participacije - Sudjelujuće mase

| Ton            | U [ $\alpha=0^\circ$ ] | U [ $\alpha=90^\circ$ ] |
|----------------|------------------------|-------------------------|
| 1              | 0.52                   | 84.81                   |
| 2              | 19.65                  | 0.86                    |
| 3              | 66.02                  | 0.16                    |
| 4              | 1.68                   | 2.07                    |
| 5              | 0.01                   | 10.54                   |
| 6              | 0.47                   | 0.94                    |
| 7              | 11.45                  | 0.21                    |
| 8              | 0.00                   | 0.05                    |
| 9              | 0.00                   | 0.09                    |
| 10             | 0.02                   | 0.18                    |
| 11             | 0.02                   | 0.07                    |
| 12             | 0.01                   | 0.00                    |
| 13             | 0.10                   | 0.00                    |
| 14             | 0.00                   | 0.00                    |
| 15             | 0.00                   | 0.00                    |
| $\Sigma U$ (%) | 99.96                  | 99.98                   |

## STATIČKI PRORAČUN

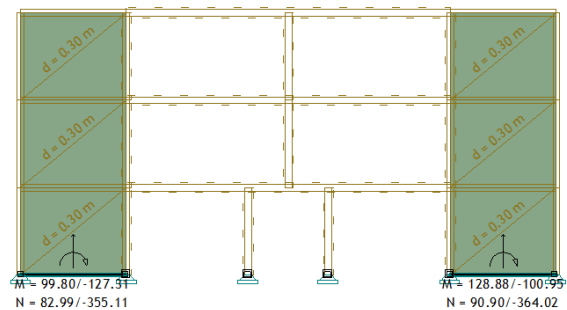
Opt. 31: [potres] 6,7,21-28



Okvir: H\_2  
Vektorski presjeci: Nn

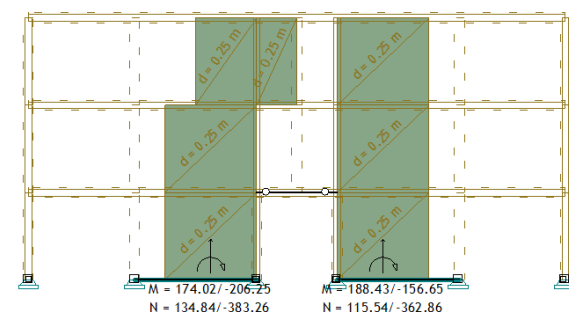
Opt. 31: [potres] 6,7,21-28

Opt. 31: [potres] 6,7,21-28

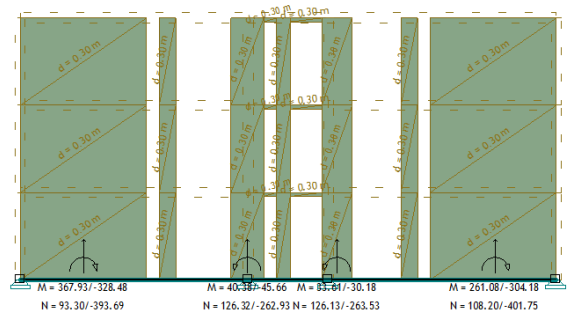


Okvir: H\_4  
Vektorski presjeci: Nn

Opt. 31: [potres] 6,7,21-28

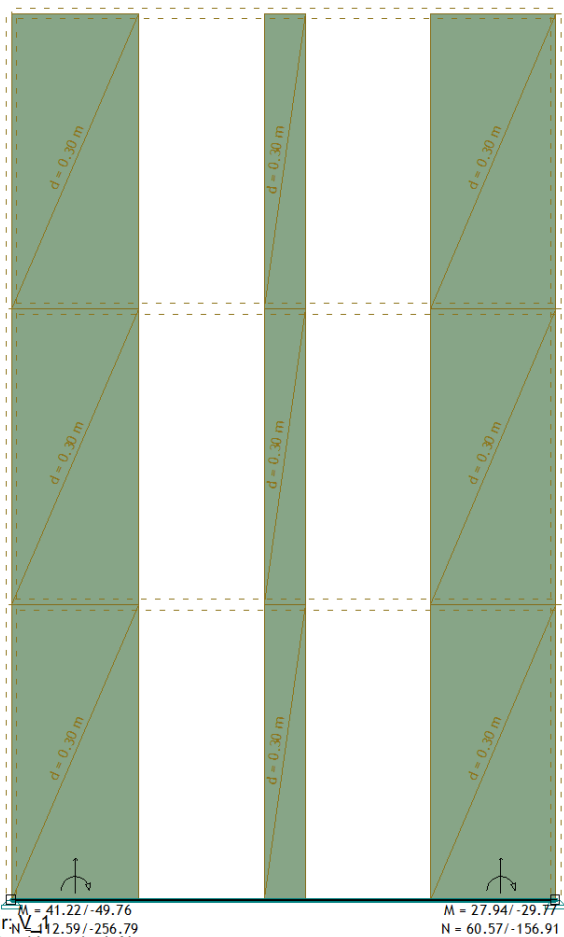


Okvir: H\_5  
Vektorski presjeci: Nn



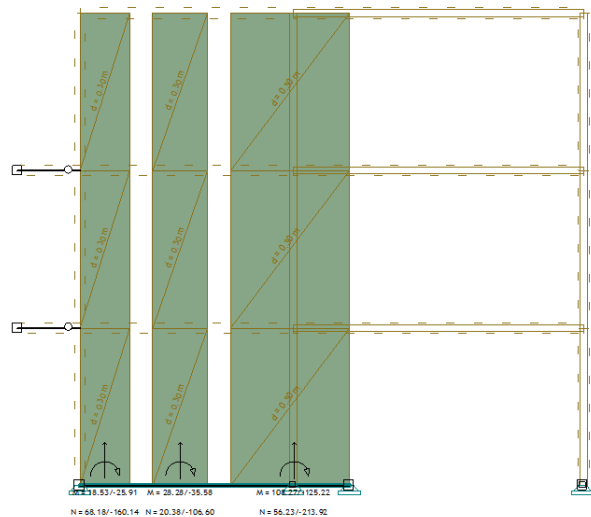
Okvir: H\_6  
Vektorski presjeci: Nn

Opt. 31: [potres] 6,7,21-28

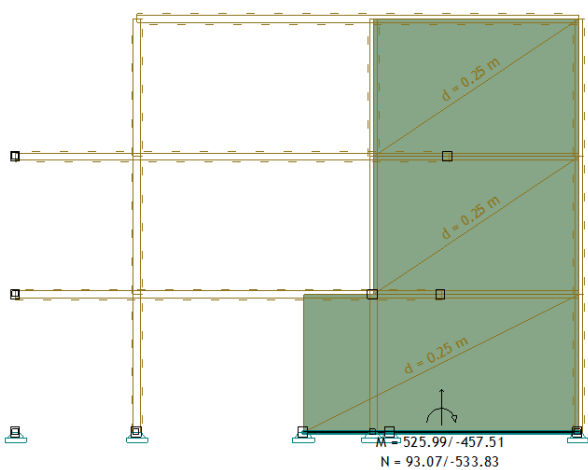
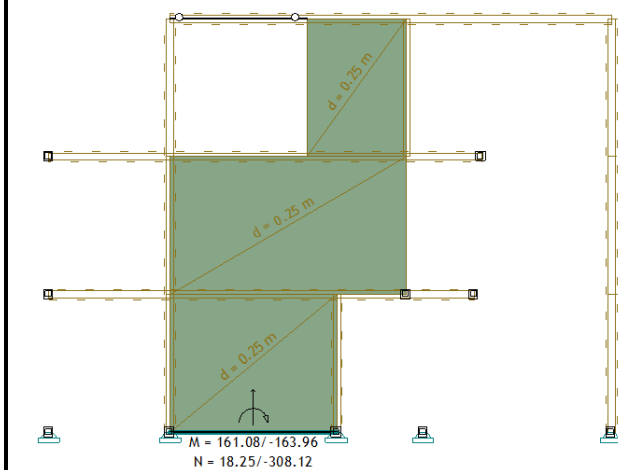


Opt. 31: [potres] 6,7,21-28

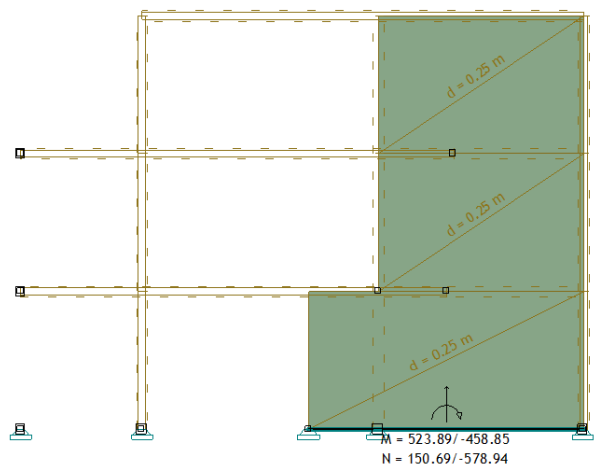
Opt. 31: [potres] 6,7,21-28



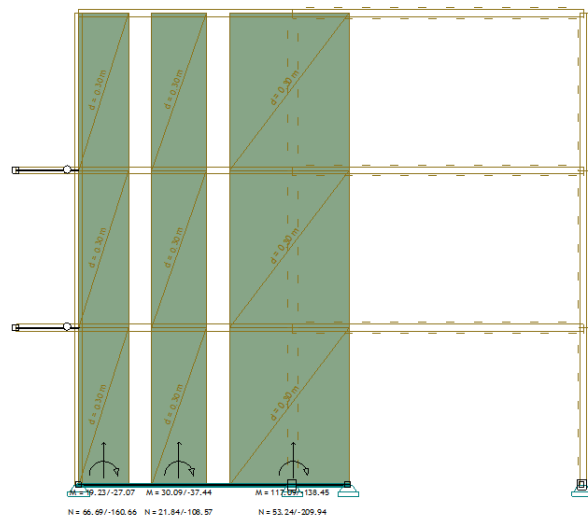
Opt. 31: [potres] 6,7,21-28

Okvir: V\_3  
Vektorski presjeci: NnOkvir: V\_4  
Vektorski presjeci: Nn

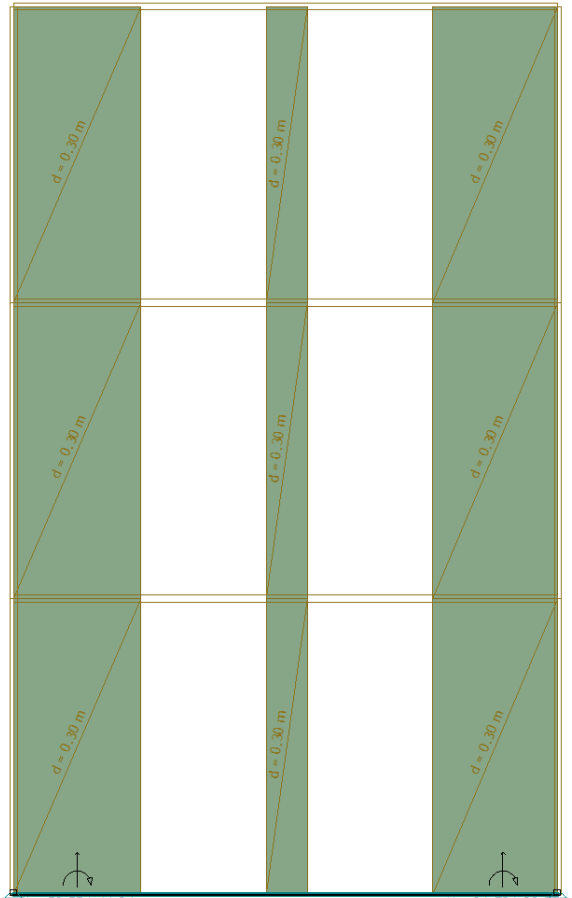
Opt. 31: [potres] 6,7,21-28



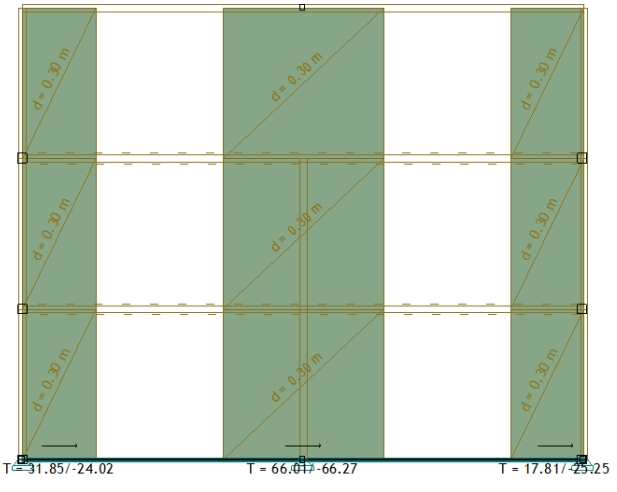
Opt. 31: [potres] 6,7,21-28

Okvir: V\_5  
Vektorski presjeci: Nn

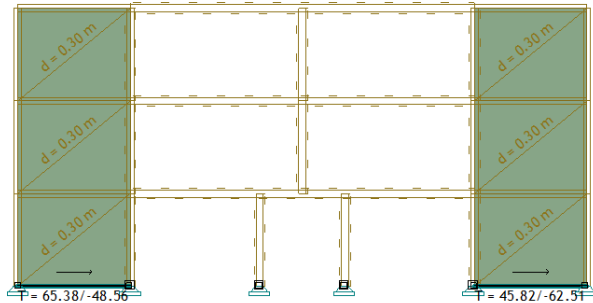
Opt. 31: [potres] 6,7,21-28

Okvir: V\_5  
Vektorski presjeci: NnOkvir: V\_6  
Vektorski presjeci: Nn

Opt. 31: [potres] 6,7,21-28

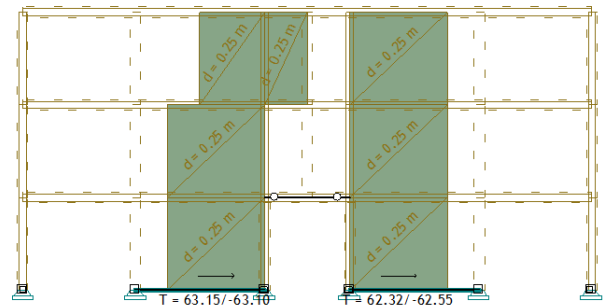
Okvir: H\_2  
Vektorski presjeci: Nns

Opt. 31: [potres] 6,7,21-28



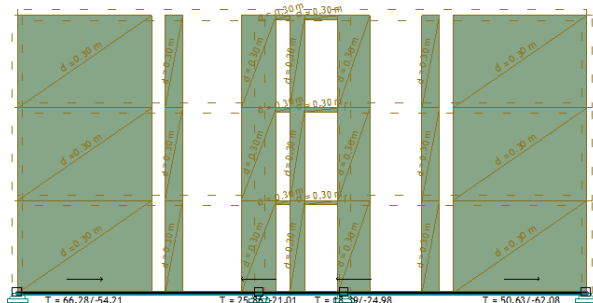
Okvir: H\_4  
Vektorski presjeci: Nns

Opt. 31: [potres] 6,7,21-28



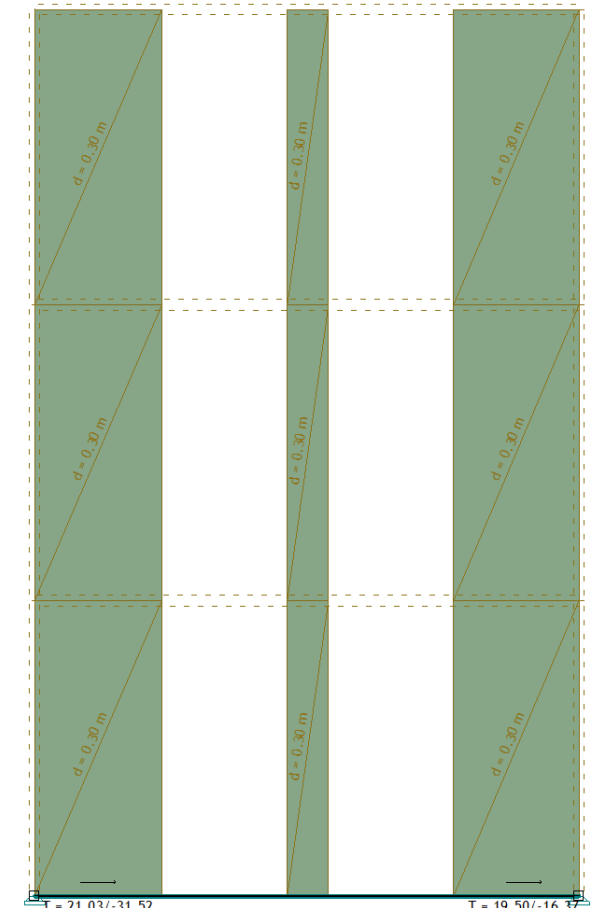
Okvir: H\_5  
Vektorski presjeci: Nns

Opt. 31: [potres] 6,7,21-28



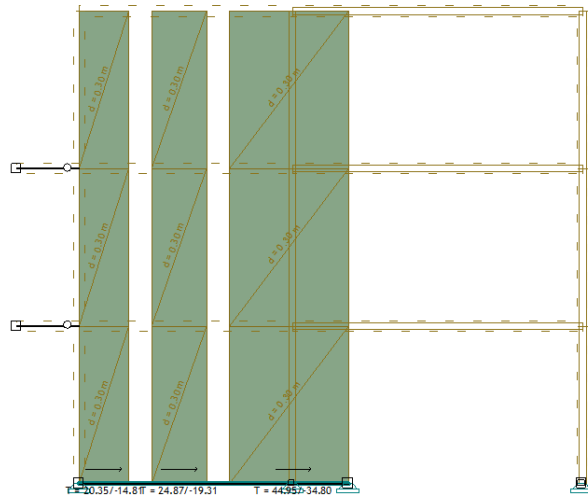
Okvir: H\_6  
Vektorski presjeci: Nns

Opt. 31: [potres] 6,7,21-28

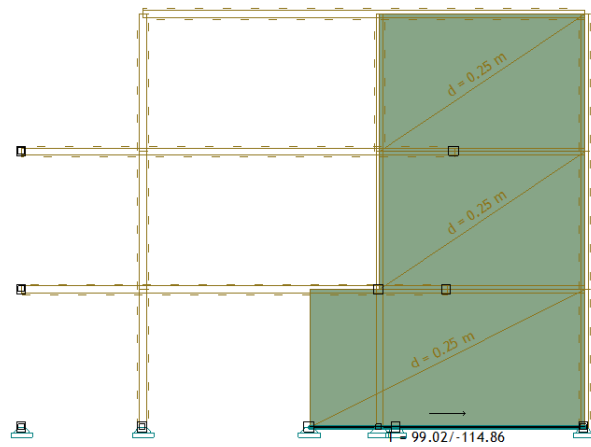


Okvir: V\_1  
Vektorski presjeci: Nns

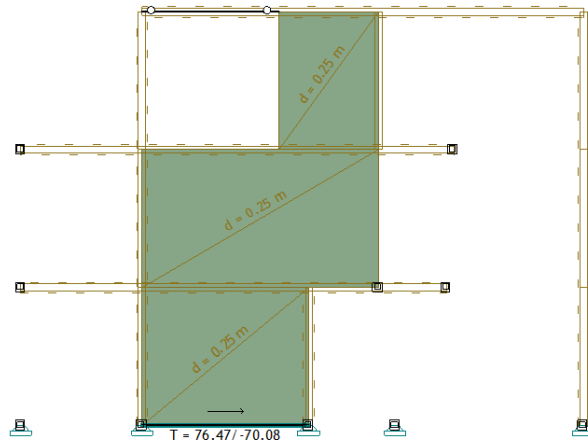
Opt. 31: [potres] 6,7,21-28



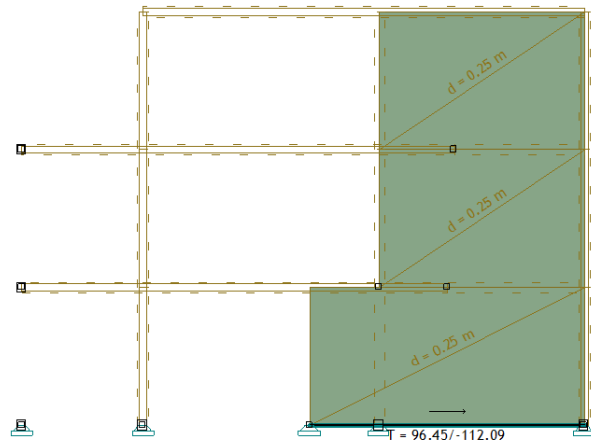
Opt. 31: [potres] 6,7,21-28



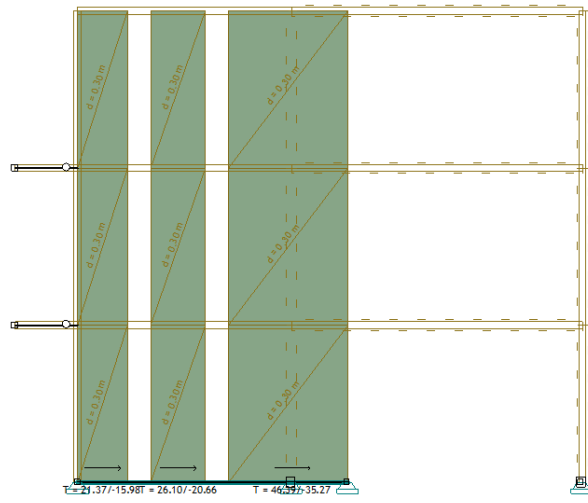
Opt. 31: [potres] 6,7,21-28



Opt. 31: [potres] 6,7,21-28

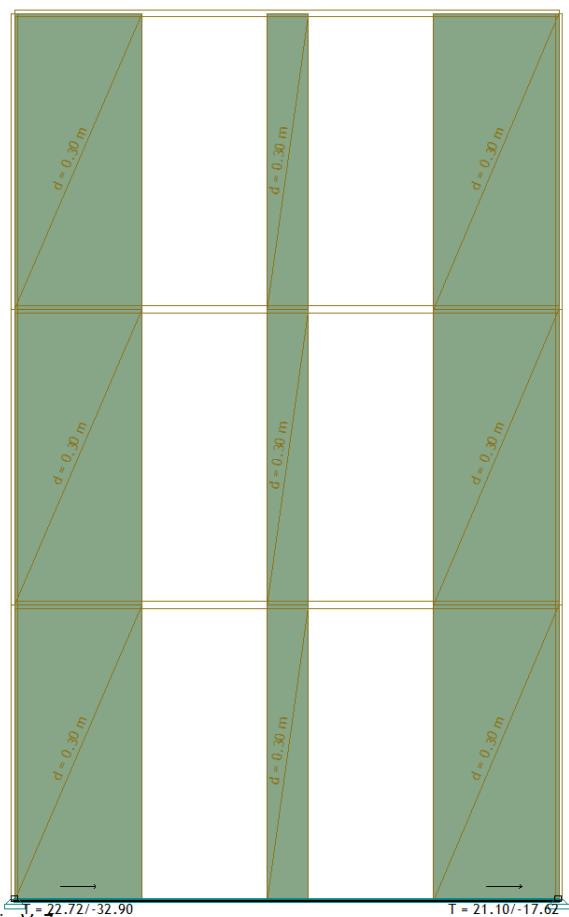


Opt. 31: [potres] 6,7,21-28



Okvir: V\_6  
Vektorski presjeci: Nns

Opt. 31: [potres] 6,7,21-28



Okvir: V\_7  
Vektorski presjeci: Nns

Dokaz mehaničke otpornosti zida i stupova na potresno djelovanje

|                   |                                   |                                  |                  |      |   |
|-------------------|-----------------------------------|----------------------------------|------------------|------|---|
| $h =$             | 2,87 m                            | =katna visina                    | $\gamma_{M,S} =$ | 1,50 | =parcijalni faktor sigurnosti za zid pri potresu      |
| $f_y =$           | 4,96 MPa                          | =tl. čvrstoča zida               | $\gamma_c =$     | 1,50 | =parcijalni faktor sigurnosti za beton pri potresu    |
| $f_{c,k} =$       | 25,0 MPa                          | =tl. čvrstoča betona             | $\gamma_{S,S} =$ | 1,00 | =parcijalni faktor sigurnosti za armaturu pri potresu |
| $E=1000$          | $f_0 = 4960,0$ MPa                | =modul elastičnosti              | $n =$            | 3    | =broj etaža   |
| $G=10,67$         | $e = 828,3$ MPa                   | =modul posmika                   |                  |      |   |
| $f_{y,d} =$       | 50,00 kN/cm <sup>2</sup>          | =čvrstoča armature               |                  |      |   |
| $f_{v,k} = 0,065$ | $f_b = 0,065 \cdot 12 = 0,78$ MPa | =granična posmična čvrstoča zida |                  |      |   |

$$F_{Ed} = M_{Ed} / z + N_{Ed} / 2$$

$$x_u = 2(d - z)$$

$$F_{Ed} = \gamma_{v,k} \cdot f_v \cdot t \cdot L_0$$

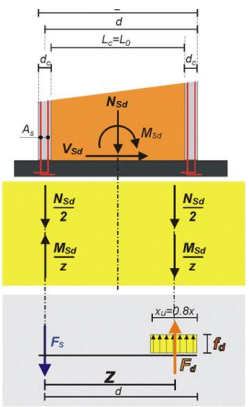
$$L_0 = L / 2 [1 + (N_{Ed} \cdot L) / 6 \cdot M_{Ed}]$$

$$A_{s1} = M_{Ed} / (z \cdot f_{y,d}) - N_{Ed} / (2 \cdot f_{y,d})$$

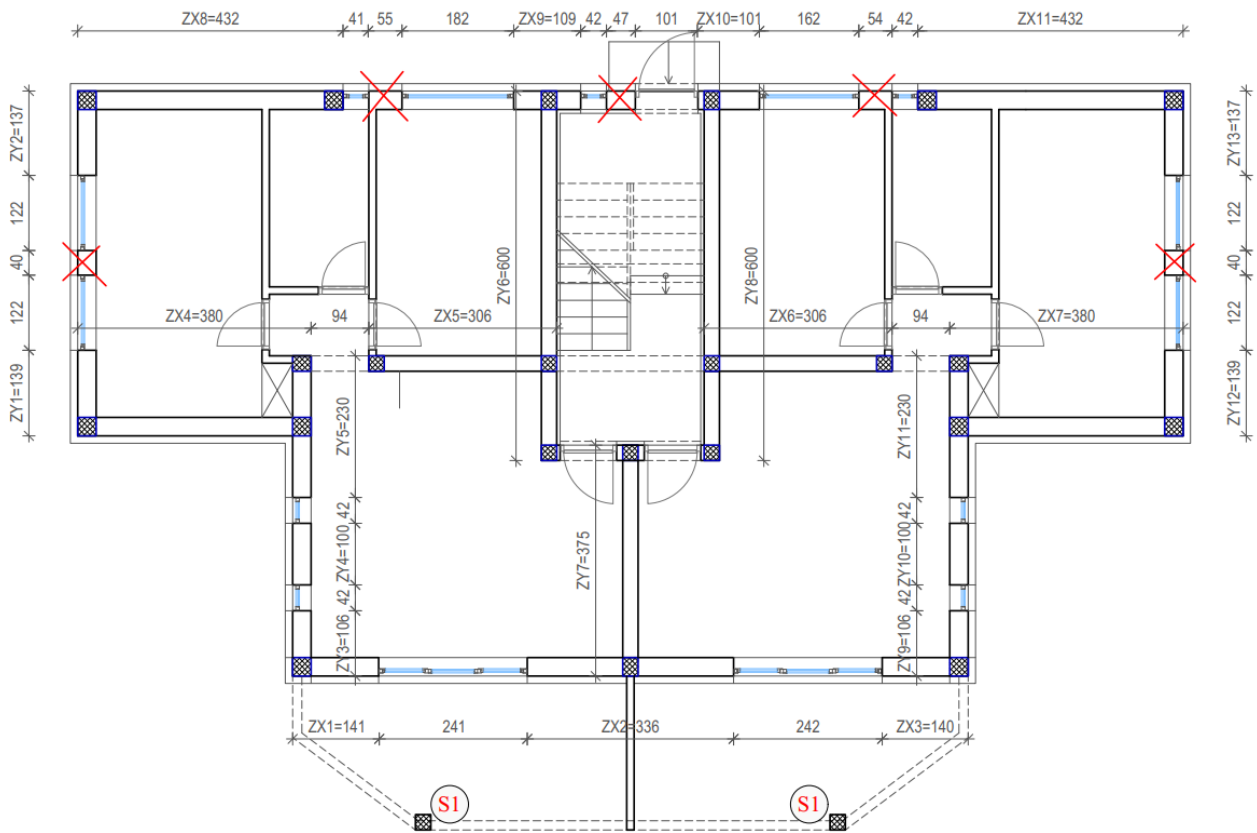
Krutost zida bez otvora:

napomena: pri određivanju krutosti zida može se zanemariti doprinos komponente savijanja, pa se izostavljaju članovi u uglatoj zagradi za slučaj zidanih konstrukcija

$$K = \frac{G \cdot A}{1,2 \cdot h \left[ 1 + \alpha \cdot \frac{G}{E} \left( \frac{h}{2} \right)^2 \right]} = \frac{G \cdot A}{1,2 \cdot h}$$



| dimenzije zida |                   |                    |  |                   |                          |   |   |  |                             |                                     |                                 |  |  |                                      |                                      |  |
|----------------|-------------------|--------------------|--|-------------------|--------------------------|---|---|--|-----------------------------|-------------------------------------|---------------------------------|--|--|--------------------------------------|--------------------------------------|--|
| zid            | debljina zida [m] | duljina zida L [m] | netto pov. zida A <sub>n</sub> [m <sup>2</sup> ] | visina zida h [m] | početna krutost K [kN/m] | moment od potresa M <sub>Ed</sub> [kNm] | poprečna sila od potresa V <sub>Ed</sub> [kN] | računsko vert.djel. N <sub>Ed</sub> [kN] | krak unutarnjih sila z=0,8L | računsko djel. F <sub>Ed</sub> [kN] | duljina tl. zone x <sub>u</sub> | računsku nosivost V <sub>Ed</sub> [kN] | računsku nosivost F <sub>Ed</sub> [kN] | V <sub>Ed</sub> /V <sub>sd</sub> [%] | F <sub>Ed</sub> /F <sub>rd</sub> [%] | armatura vert.serklaž a A <sub>s1</sub> [cm <sup>2</sup> ] |
| ZX1            | 0,3               | 1,41               | 0,42   | 8,61              | 11,28                    | 69,19                                   | 31,85   | 221,26                                   | 1,13                        | 171,97                              | 0,26                            | 395,78                                 | 261,89                                 | 0,08                                 | 0,66                                 | 0,99   |
| ZX2            | 0,3               | 3,36               | 1,01   | 8,61              | 59,71                    | 341,96                                  | 66,27   | 608,10                                   | 2,69                        | 431,27                              | 1,04                            | 30519,40                               | 1035,65                                | 0,00                                 | 0,42                                 | 3,54   |
| ZX3            | 0,3               | 1,40               | 0,42   | 8,61              | 11,09                    | 36,63                                   | 25,25   | 193,67                                   | 1,12                        | 129,54                              | 0,26                            | 180,87                                 | 257,92                                 | 0,14                                 | 0,50                                 | 1,28   |
| ZX4            | 0,3               | 3,80               | 1,14   | 8,61              | 71,61                    | 127,31                                  | 65,38   | 355,11                                   | 3,04                        | 219,43                              | 1,22                            | 8486,94                                | 1210,24                                | 0,01                                 | 0,18                                 | 2,71   |
| ZX5            | 0,25              | 3,06               | 0,77   | 8,61              | 43,00                    | 206,25                                  | 63,15   | 383,26                                   | 2,45                        | 275,88                              | 0,97                            | 8018,69                                | 805,17                                 | 0,01                                 | 0,34                                 | 2,15   |
| ZX6            | 0,25              | 3,06               | 0,77   | 8,61              | 43,00                    | 188,43                                  | 62,55   | 362,86                                   | 2,45                        | 258,40                              | 0,97                            | 6935,96                                | 805,17                                 | 0,01                                 | 0,32                                 | 2,09   |
| ZX7            | 0,3               | 3,80               | 1,14   | 8,61              | 71,61                    | 128,88                                  | 62,51   | 364,02                                   | 3,04                        | 224,40                              | 1,22                            | 8807,16                                | 1210,24                                | 0,01                                 | 0,19                                 | 2,79   |
| ZX8            | 0,3               | 4,32               | 1,30   | 8,61              | 85,60                    | 367,93                                  | 66,28   | 393,69                                   | 3,46                        | 303,31                              | 1,43                            | 35142,66                               | 1416,58                                | 0,00                                 | 0,21                                 | 1,81   |
| ZX9            | 0,3               | 1,09               | 0,33   | 8,61              | 6,02                     | 45,66                                   | 25,86   | 262,93                                   | 0,87                        | 79,10                               | 0,14                            | 185,51                                 | 134,91                                 | 0,14                                 | 0,59                                 | 1,58   |
| ZX10           | 0,3               | 1,01               | 0,30   | 8,61              | 4,95                     | 33,61                                   | 24,98   | 263,53                                   | 0,81                        | 90,17                               | 0,10                            | 117,54                                 | 103,17                                 | 0,21                                 | 0,87                                 | 1,80   |
| ZX11           | 0,3               | 4,32               | 1,30   | 8,61              | 85,60                    | 304,18                                  | 62,08   | 401,75                                   | 3,46                        | 288,89                              | 1,43                            | 29648,47                               | 1416,58                                | 0,00                                 | 0,20                                 | 2,26   |
| ZY1            | 0,3               | 1,39               | 0,42   | 8,61              | 10,91                    | 49,76                                   | 31,52   | 256,79                                   | 1,11                        | 173,14                              | 0,26                            | 321,05                                 | 253,95                                 | 0,10                                 | 0,68                                 | 1,67   |
| ZY2            | 0,3               | 1,37               | 0,41   | 8,61              | 10,54                    | 29,77                                   | 19,50   | 156,91                                   | 1,10                        | 105,62                              | 0,25                            | 114,08                                 | 246,02                                 | 0,17                                 | 0,43                                 | 1,03   |
| ZY3            | 0,3               | 1,06               | 0,32   | 8,61              | 5,60                     | 25,91                                   | 20,35   | 160,14                                   | 0,85                        | 110,62                              | 0,12                            | 60,69                                  | 123,01                                 | 0,34                                 | 0,90                                 | 0,99   |
| ZY4            | 0,3               | 1,00               | 0,30   | 8,61              | 4,82                     | 35,58                                   | 24,87   | 106,60                                   | 0,80                        | 97,78                               | 0,10                            | 49,38                                  | 99,20                                  | 0,50                                 | 0,99                                 | 0,18   |
| ZY5            | 0,3               | 2,30               | 0,69   | 8,61              | 31,53                    | 125,22                                  | 44,95   | 213,92                                   | 1,84                        | 175,01                              | 0,62                            | 1842,33                                | 615,04                                 | 0,02                                 | 0,28                                 | 0,78   |
| ZY6            | 0,25              | 6,00               | 1,50   | 8,61              | 108,26                   | 525,99                                  | 114,86  | 533,83                                   | 4,80                        | 376,50                              | 2,15                            | 109508,19                              | 1777,33                                | 0,00                                 | 0,21                                 | 3,15   |
| ZY7            | 0,25              | 3,75               | 0,94   | 8,61              | 58,55                    | 163,96                                  | 76,47   | 308,12                                   | 3,00                        | 208,71                              | 1,25                            | 7696,55                                | 1033,33                                | 0,01                                 | 0,20                                 | 1,99   |
| ZY8            | 0,25              | 6,00               | 1,50   | 8,61              | 108,26                   | 523,89                                  | 112,09  | 578,94                                   | 4,80                        | 398,61                              | 2,15                            | 118287,73                              | 1777,33                                | 0,00                                 | 0,22                                 | 3,61   |
| ZY9            | 0,3               | 1,06               | 0,32   | 8,61              | 5,60                     | 27,07                                   | 21,37   | 160,66                                   | 0,85                        | 112,25                              | 0,12                            | 63,61                                  | 123,01                                 | 0,34                                 | 0,91                                 | 0,97   |
| ZY10           | 0,3               | 1,00               | 0,30   | 8,61              | 4,82                     | 37,44                                   | 26,10   | 108,57                                   | 0,80                        | 101,09                              | 0,10                            | 52,92                                  | 99,20                                  | 0,49                                 | 1,02                                 | 0,15   |
| ZY11           | 0,3               | 2,30               | 0,69   | 8,61              | 31,53                    | 138,45                                  | 46,39   | 209,94                                   | 1,84                        | 180,21                              | 0,62                            | 1999,06                                | 615,04                                 | 0,02                                 | 0,29                                 | 0,59   |
| ZY12           | 0,3               | 1,39               | 0,42   | 8,61              | 10,91                    | 53,55                                   | 32,90   | 257,39                                   | 1,11                        | 176,85                              | 0,26                            | 346,31                                 | 253,95                                 | 0,10                                 | 0,70                                 | 1,61   |



**Proračunska nosivost ziđa pri vlačnom slomu duž tlačne dijagonale**

$$\tau_{Rd} = \frac{f_{tk}}{1,5 \cdot \gamma_M} \cdot \sqrt{1 + \gamma_M \cdot \frac{\sigma_d}{f_{tk}}} \quad V_{RHd} = C_r \cdot A_m \cdot \tau_{Rd}$$

$$A_m = t \cdot L$$

$f_{tk} = 0,1 \text{ MPa}$

| zid  | debljina zida [m] | duljina zida L [m] | netto pov. zida A <sub>i</sub> [m <sup>2</sup> ] | računsko vert.djel. N <sub>Ed</sub> [kN] | vert. naprezanje σ <sub>d</sub> =N/(t·L) [kN/m <sup>2</sup> ] | posmično naprezanje τ <sub>Rd</sub> [kN/m <sup>2</sup> ] | računska nosivost na hor.silu V <sub>RHd</sub> | poprečna sila od potresa V <sub>Ed</sub> [kN] | V <sub>Ed</sub> /V <sub>RHd</sub> [%] |
|------|-------------------|--------------------|--|--|---|--|--|---|---------------------------------------|
| ZX1  | 0,3               | 1,41               | 0,42   | 221,26                                   | 1437,59   | 211,12   | 80,37  | 31,85   | 0,40                                  |
| ZX2  | 0,3               | 3,36               | 1,01   | 608,10                                   | 192,13  | 87,57  | 79,44  | 66,27   | 0,83                                  |
| ZX3  | 0,3               | 1,40               | 0,42   | 193,67                                   | 845,50  | 164,40   | 62,14  | 25,25   | 0,41                                  |
| ZX4  | 0,3               | 3,80               | 1,14   | 355,11                                   | 336,19  | 109,25   | 112,10   | 65,38   | 0,58                                  |
| ZX5  | 0,25              | 3,06               | 0,77   | 383,26                                   | 474,33  | 126,61   | 87,17  | 63,15   | 0,72                                  |
| ZX6  | 0,25              | 3,06               | 0,77   | 362,86                                   | 475,84  | 126,78   | 87,29  | 62,55   | 0,72                                  |
| ZX7  | 0,3               | 3,80               | 1,14   | 364,02                                   | 345,34  | 110,49   | 113,36   | 62,51   | 0,55                                  |
| ZX8  | 0,3               | 4,32               | 1,30   | 393,69                                   | 202,88  | 89,37  | 104,24   | 66,28   | 0,64                                  |
| ZX9  | 0,3               | 1,09               | 0,33   | 262,93                                   | 805,90  | 160,79   | 47,32  | 25,86   | 0,55                                  |
| ZX10 | 0,3               | 1,01               | 0,30   | 263,53                                   | 1325,91   | 203,13   | 55,39  | 24,98   | 0,45                                  |
| ZX11 | 0,3               | 4,32               | 1,30   | 401,75                                   | 198,14  | 88,58  | 103,32   | 62,08   | 0,60                                  |
| ZY1  | 0,3               | 1,39               | 0,42   | 256,79                                   | 376,28  | 114,56   | 43,00  | 31,52   | 0,73                                  |
| ZY2  | 0,3               | 1,37               | 0,41   | 156,91                                   | 389,64  | 116,28   | 43,01  | 19,50   | 0,45                                  |
| ZY3  | 0,3               | 1,06               | 0,32   | 160,14                                   | 335,22  | 109,12   | 31,23  | 20,35   | 0,65                                  |
| ZY4  | 0,3               | 1,00               | 0,30   | 106,60                                   | 713,07  | 152,00   | 41,04  | 24,87   | 0,61                                  |
| ZY5  | 0,3               | 2,30               | 0,69   | 213,92                                   | 773,67  | 157,79   | 97,99  | 44,95   | 0,46                                  |
| ZY6  | 0,25              | 6,00               | 1,50   | 533,83                                   | 205,41  | 89,79  | 121,21   | 114,86  | 0,95                                  |
| ZY7  | 0,25              | 3,75               | 0,94   | 308,12                                   | 617,54  | 142,38   | 120,13   | 76,47   | 0,64                                  |
| ZY8  | 0,25              | 6,00               | 1,50   | 578,94                                   | 107,11  | 71,76  | 96,87  | 112,09  | 1,16                                  |
| ZY9  | 0,3               | 1,06               | 0,32   | 160,66                                   | 341,42  | 109,96   | 31,47  | 21,37   | 0,68                                  |
| ZY10 | 0,3               | 1,00               | 0,30   | 108,57                                   | 699,80  | 150,70   | 40,69  | 26,10   | 0,64                                  |
| ZY11 | 0,3               | 2,30               | 0,69   | 209,94                                   | 373,03  | 114,14   | 70,88  | 46,39   | 0,65                                  |
| ZY12 | 0,3               | 1,39               | 0,42   | 257,39                                   | 382,33  | 115,34   | 43,29  | 32,90   | 0,76                                  |
| ZY13 | 0,3               | 1,37               | 0,41   | 159,43                                   | 0,00  | 44,44  | 16,44  | 21,10   | 1,28                                  |

## **1.13) STATIČKI PRORAČUN I DIMENZIONIRANJE**

Proračun konstrukcije izvršen je pomoću programa Tower 8, metodom konačnih elemenata na 3D modelu uz sljedeće pretpostavke:

- kvaliteta betona C25/30
- armaturne mreže B500B i armaturne šipke B500B
- blok opeka min. čvrstoće  $10 \text{ N/mm}^2$  i mort opće namjene M5

Dimenzioniranje AB elemenata provodi se prema EC2 propisima (HRN EN 1992:2013/NA:2013).

Dimenzioniranje drvenih elemenata provodi se prema EC5 propisima (HRN EN 1995:2013/NA:2013).

Dimenzioniranje zidanih elemenata provodi se prema EC6 propisima (HRN EN 1996:2012/NA:2012).

## 1.14) KROVIŠTE

### KONSTRUKCIJA I POLOŽAJ OPTEREĆENJA

Tabela materijala

| No | Naziv materijala      | E[kN/m <sup>2</sup> ] | $\mu$ | $\gamma[\text{kN/m}^3]$ | $a_t[1/\text{C}]$ | $E_m[\text{kN/m}^2]$ | $\mu_m$ |
|----|-----------------------|-----------------------|-------|-------------------------|-------------------|----------------------|---------|
| 1  | Drvo-Četinari-Masivno | 1.000e+7              | 0.20  | 5.00                    | 1.000e-5          | 1.000e+7             | 0.20    |

Setovi greda

Set: 1 Presjek: b/d=10/12, Fiktivna ekscentričnost

| Mat.                 | A1       | A2       | A3       | I1       | I2       | I3       |
|----------------------|----------|----------|----------|----------|----------|----------|
|                      | 1.200e-2 | 1.000e-2 | 1.000e-2 | 1.984e-5 | 1.000e-5 | 1.440e-5 |
| 1 - Drvo-Četinari... |          |          |          |          |          |          |

Set: 2 Presjek: b/d=16/18, Fiktivna ekscentričnost

| Mat.                 | A1       | A2       | A3       | I1       | I2       | I3       |
|----------------------|----------|----------|----------|----------|----------|----------|
|                      | 2.880e-2 | 2.400e-2 | 2.400e-2 | 1.153e-4 | 6.144e-5 | 7.776e-5 |
| 1 - Drvo-Četinari... |          |          |          |          |          |          |

Set: 3 Presjek: b/d=16/16, Fiktivna ekscentričnost

| Mat.                 | A1       | A2       | A3       | I1       | I2       | I3       |
|----------------------|----------|----------|----------|----------|----------|----------|
|                      | 2.560e-2 | 2.133e-2 | 2.133e-2 | 9.230e-5 | 5.461e-5 | 5.461e-5 |
| 1 - Drvo-Četinari... |          |          |          |          |          |          |

Set: 4 Presjek: b/d=16/16, Fiktivna ekscentričnost

| Mat.                 | A1       | A2       | A3       | I1       | I2       | I3       |
|----------------------|----------|----------|----------|----------|----------|----------|
|                      | 2.560e-2 | 2.133e-2 | 2.133e-2 | 9.230e-5 | 5.461e-5 | 5.461e-5 |
| 1 - Drvo-Četinari... |          |          |          |          |          |          |

Set: 5 Presjek: b/d=10/10, Fiktivna ekscentričnost

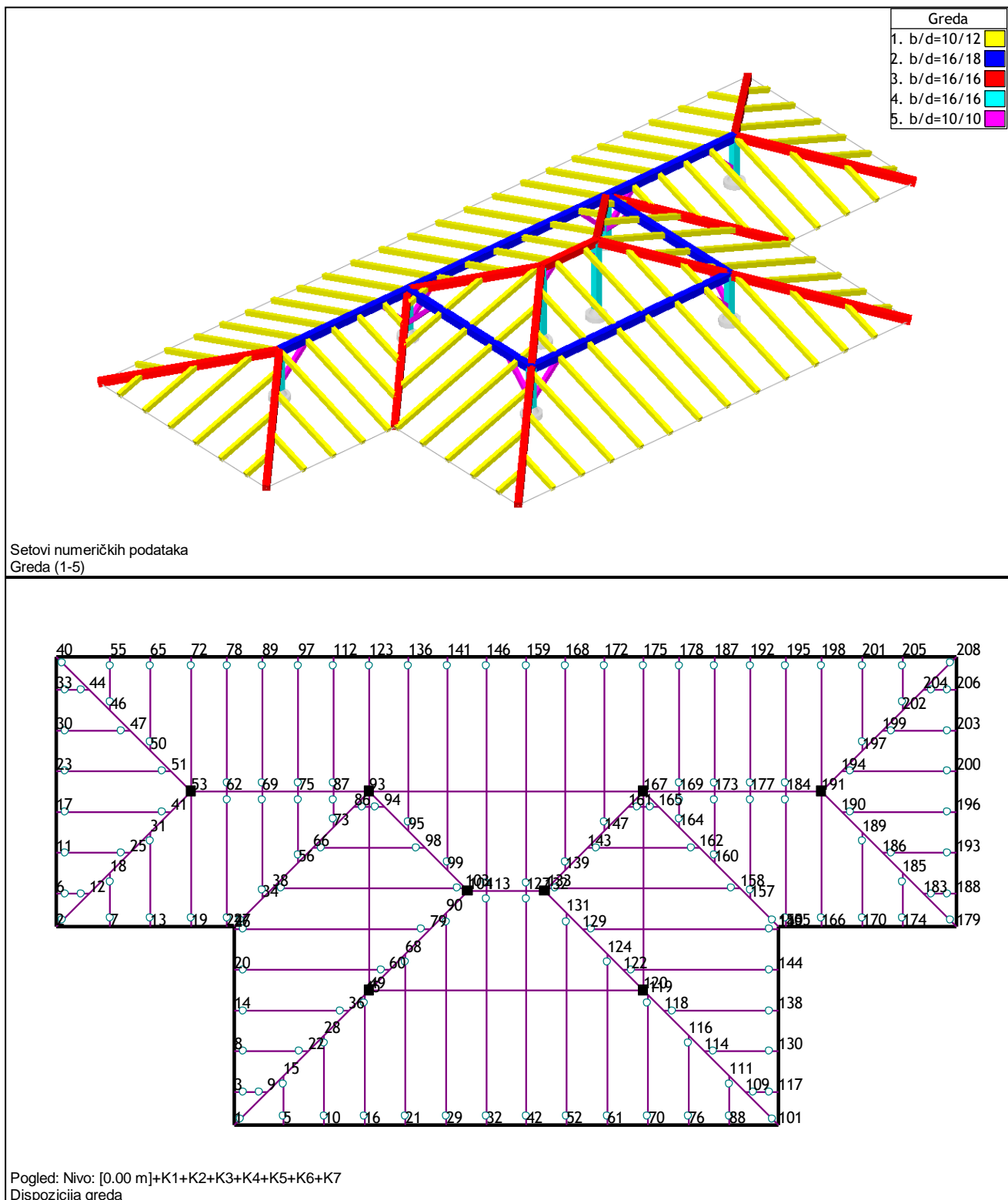
| Mat.                 | A1       | A2       | A3       | I1       | I2       | I3       |
|----------------------|----------|----------|----------|----------|----------|----------|
|                      | 1.000e-2 | 8.333e-3 | 8.333e-3 | 1.408e-5 | 8.333e-6 | 8.333e-6 |
| 1 - Drvo-Četinari... |          |          |          |          |          |          |

Setovi linijskih ležajeva

| Set | K,R1      | K,R2      | K,R3      | K,M1 | Tlo [m] |
|-----|-----------|-----------|-----------|------|---------|
| 1   | 1.000e+10 | 1.000e+10 | 1.000e+10 |      |         |

Setovi točkastih ležajeva

| Set | K,R1      | K,R2      | K,R3      | K,M1 | K,M2 | K,M3 |
|-----|-----------|-----------|-----------|------|------|------|
| 1   | 1.000e+10 | 1.000e+10 | 1.000e+10 |      |      |      |

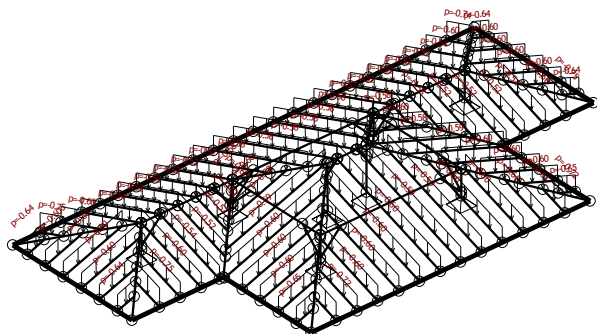


## ***IZNOS I POLOŽAJ OPTEREĆENJA***

## **Lista slučajeva opterećenja**

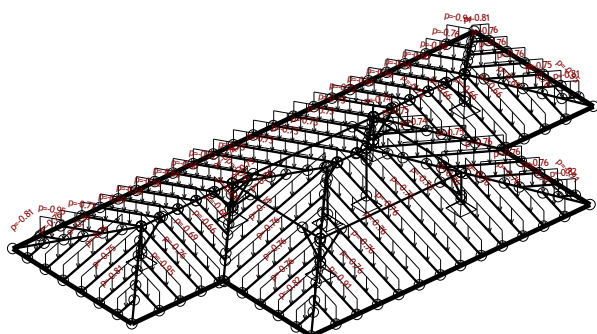
| LC | Naziv                           | pX [kN] | pY [kN] | pZ [kN] |
|----|---------------------------------|---------|---------|---------|
| 1  | Stalno (g)                      | 0.00    | 0.00    | -130.23 |
| 2  | s                               | 0.00    | 0.00    | -136.70 |
| 3  | wmax                            | -0.00   | 0.00    | -31.17  |
| 4  | Komb.: $1.35xI+1.5xII+0.9xIII$  | 0.00    | 0.00    | -408.92 |
| 5  | Komb.: $1.35xI+0.75xII+1.5xIII$ | 0.00    | 0.00    | -325.10 |
| 6  | Komb.: $I+1.25xII+0.6xIII$      | 0.00    | 0.00    | -319.81 |
| 7  | Komb.: $I+0.63xII+III$          | 0.00    | 0.00    | -246.84 |

## Opt. 1: Stalno (g)



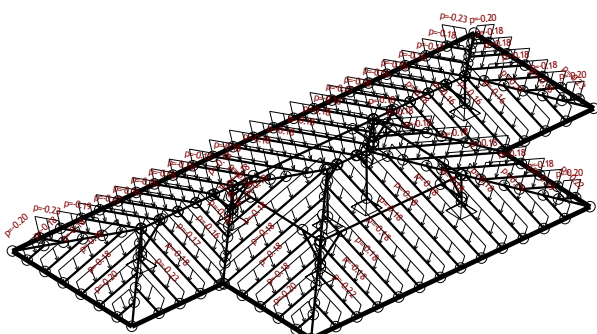
Izometrija

Opt. 2: s



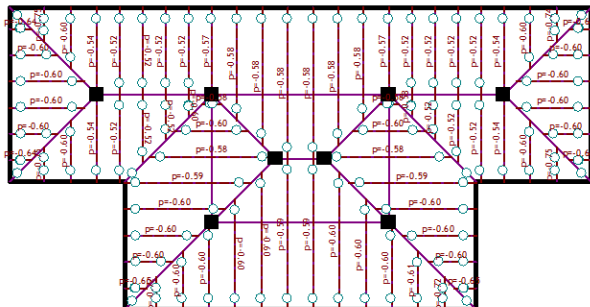
Izometrija

### Opt. 3: wmax



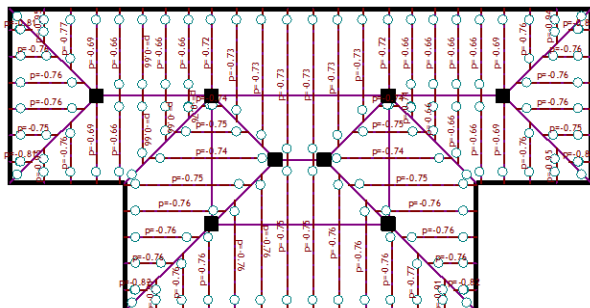
Izometrija

### Opt. 1: Stalno (g)



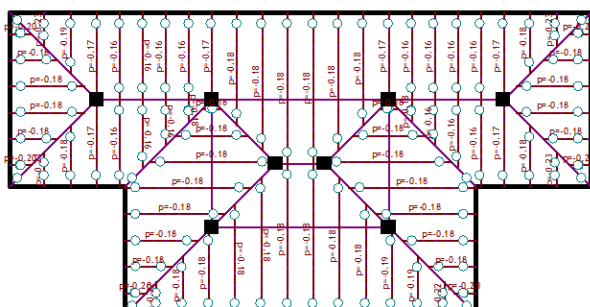
Pogled: Nivo: [0.00 m]+K1+K2+K3+K4+K5+K6+K7

Opt. 2: s



Pogled: Nivo: [0.00 m]+K1+K2+K3+K4+K5+K6+K7

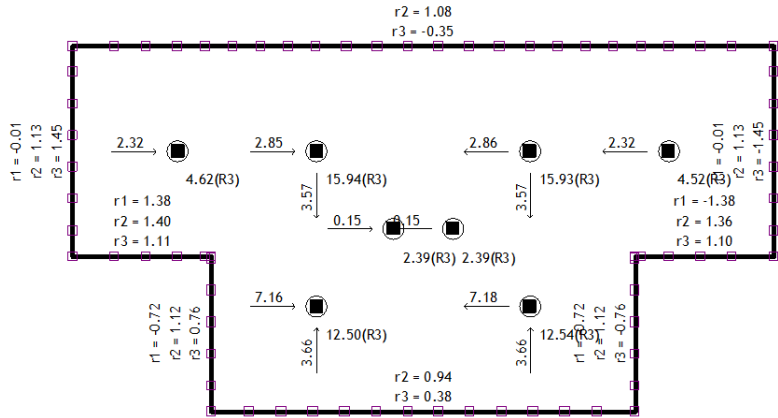
### Opt. 3: wmax



Pogled: Nivo: [0.00 m]+K1+K2+K3+K4+K5+K6+K7

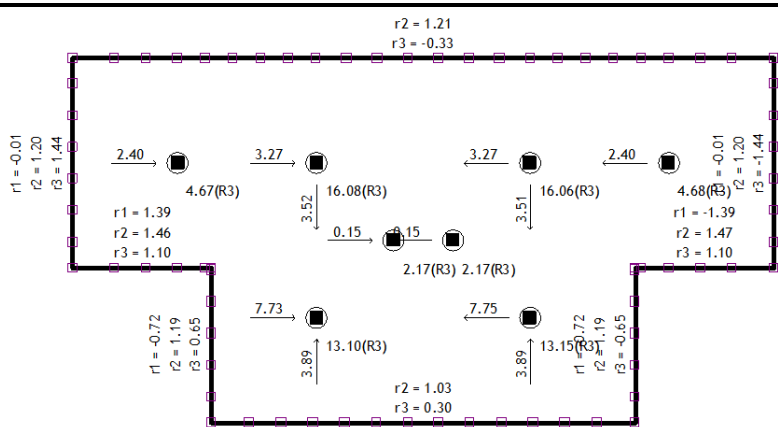
## STATIČKI PRORAČUN

Opt. 1: Stalno (g)



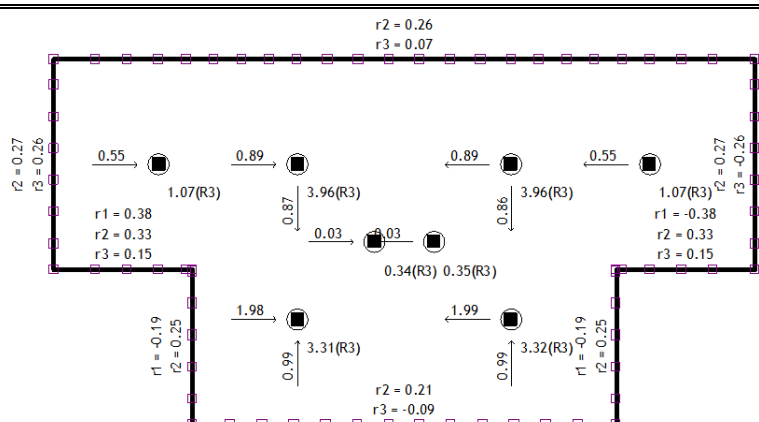
Nivo: [0.00 m]  
Reakcije ležajeva

Opt. 2: s



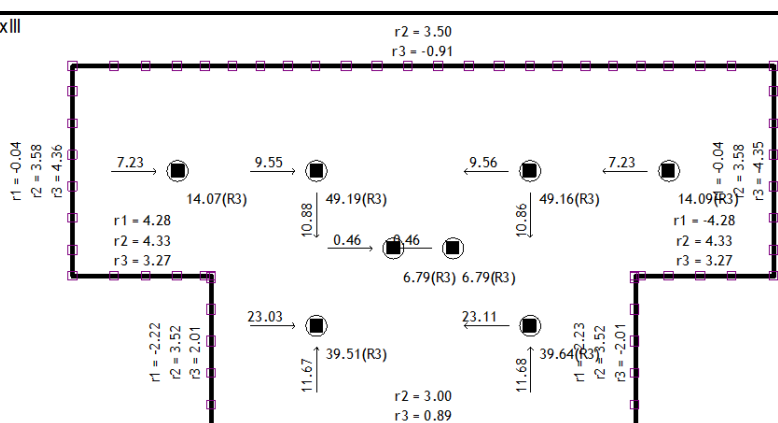
Nivo: [0.00 m]  
Reakcije ležajeva

Opt. 3: wmax



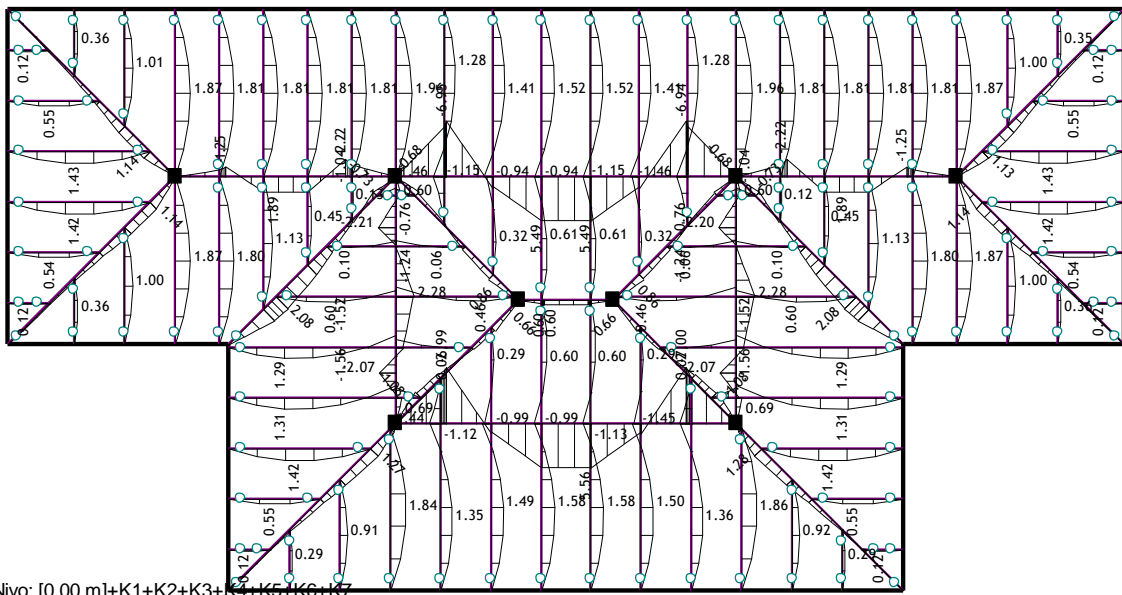
Nivo: [0.00 m]  
Reakcije ležajeva

Opt. 4:  $1.35xI+1.5xII+0.9xIII$

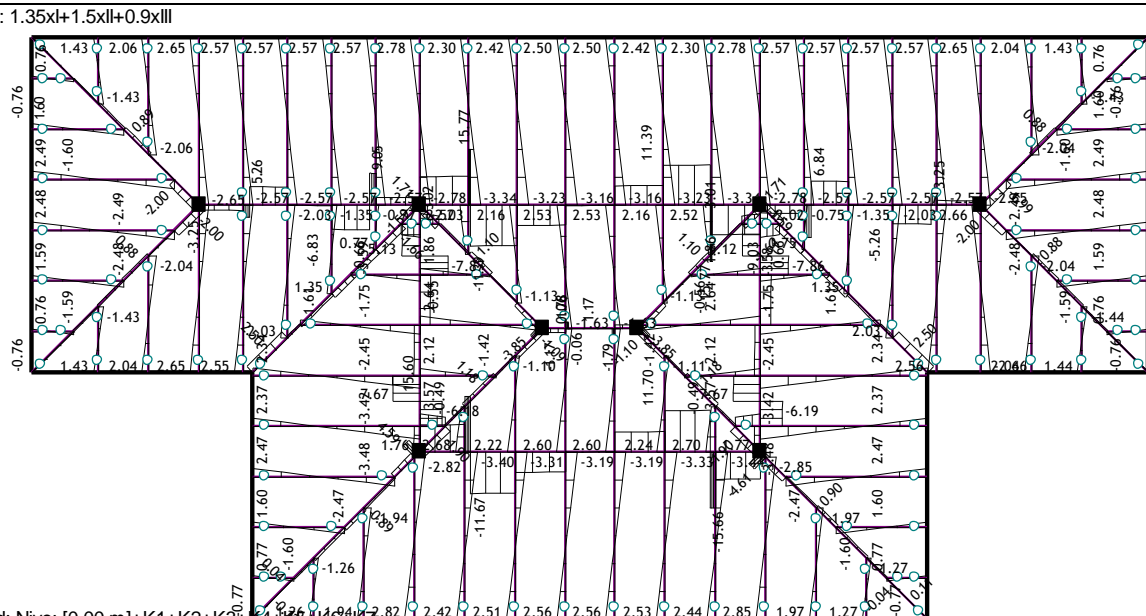


Nivo: [0.00 m]  
Reakcije ležajeva

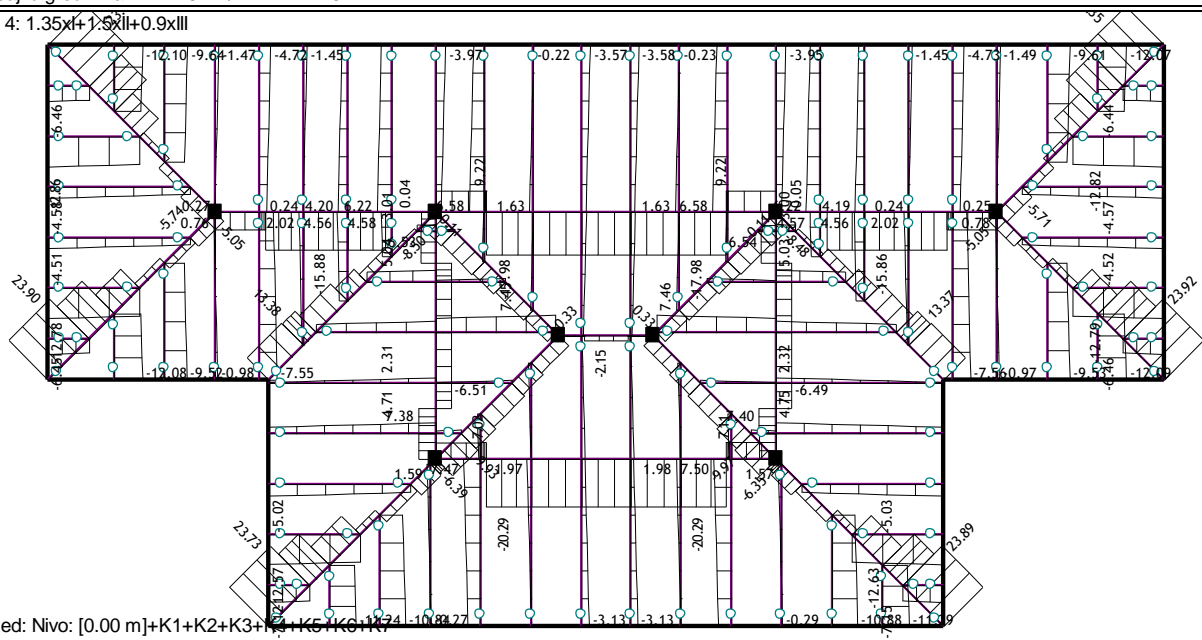
Opt. 4: 1.35xl+1.5xll+0.9xll



Opt. 4: 1.35xl+1.5xll+0.9xll



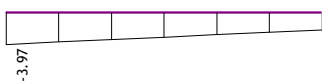
Opt. 4: 1.35xl+1.5xll+0.9xll



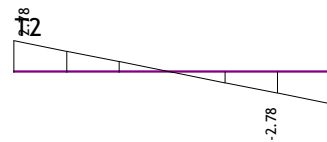
## MJERODAVNI ROG

Opt. 4:  $1.35xI+1.5xII+0.9xIII$

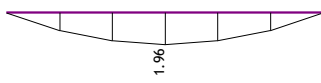
N1



T2



M3



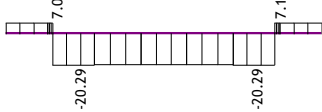
Utjecaji u gredi: (123-93)

N1 [kN], T2 [kN], M3 [kNm]

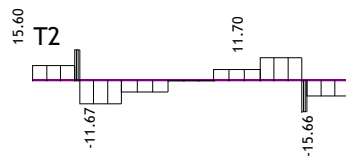
## MJERODAVNA PODROŽNICA

Opt. 4:  $1.35xI+1.5xII+0.9xIII$

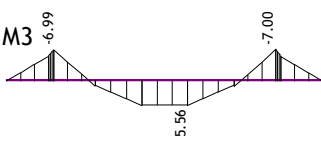
N1



T2



M3



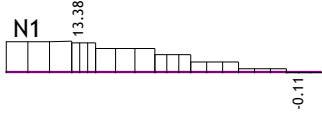
Utjecaji u gredi: (49-120)

N1 [kN], T2 [kN], M3 [kNm]

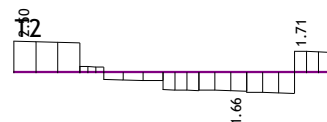
## MJERODAVNI GREBEN

Opt. 4:  $1.35xI+1.5xII+0.9xIII$

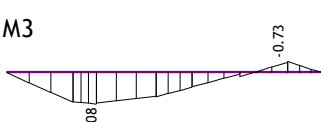
N1



T2



M3



Utjecaji u gredi: (27-93)

N1 [kN], T2 [kN], M3 [kNm]

## GRANIČNO STANJE UPORABIVOSTI - KONTROLA PROGIBA (GSU)

Konačna vrijednost deformacije za neko pojedinačno djelovanje određuje se prema sljedećem izrazu:  $u_{fin} = u_{fin,G} + u_{fin,Q_1} + \sum u_{fin,Q_i}$

$k_{def}$  koeficijent deformacije kojim se uzima u obzir porast deformacija tijekom vremena (od kombiniranih djelovanja, učinaka puzanja i vlažnosti)

Konačna deformacija,  $u_{fin}$ , izračunava se prema:  $u_{net.fin} = \sum u_{inst,i} \cdot (1 + k_{def,i})$

Odabrana klasa uporabljivosti (razred vlažnosti) je 1

Za vlastitu težinu  $k_{def} = 0,60$

Za snijeg  $k_{def} = 0,00$

Za vjetar  $k_{def} = 0,00$

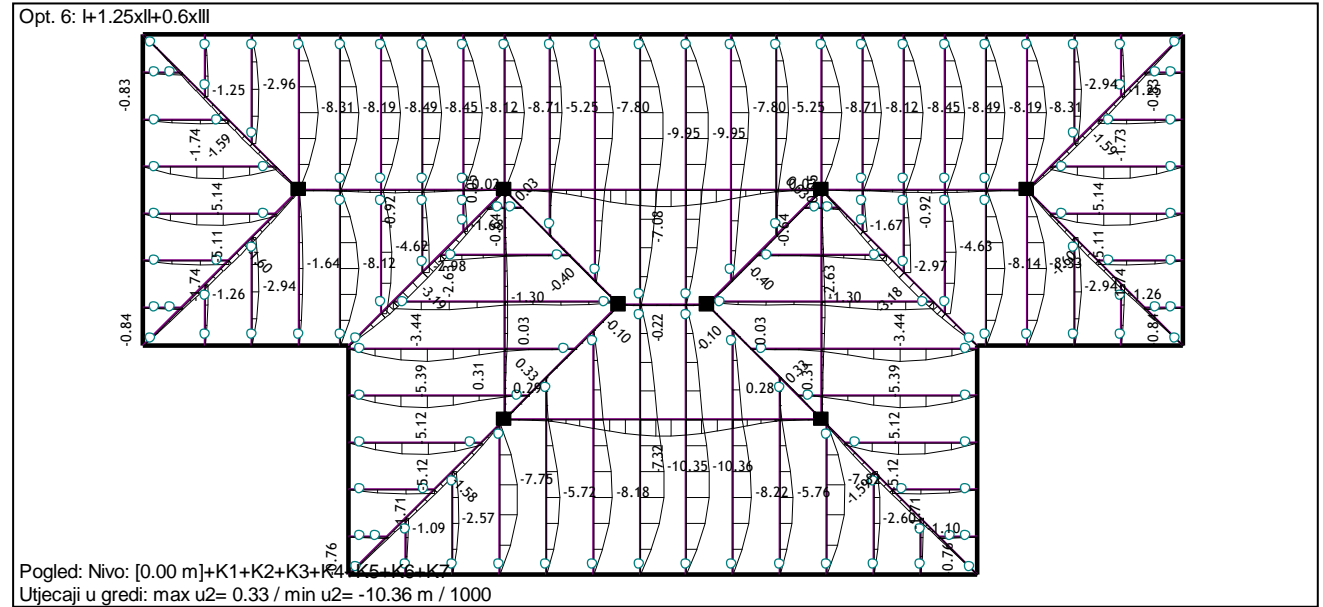
Vrijednosti trenutnih progiba za pojedina djelovanja očitana su s dijagrama dobivenih proračunom u programu Tower 8.

### Proračun progiba:

- ograničenje konačnog progiba (stalno + snijeg + vjetar):

$$u_{net.fin} = (1 + k_{def}) \cdot u_{inst,G} + (1 + \psi_2 \cdot k_{def}) \cdot u_{inst,s} + (\psi_0 + \psi_2 \cdot k_{def}) \cdot u_{inst,w}$$

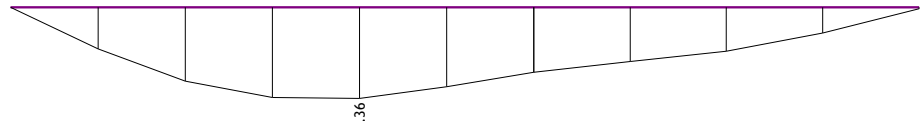
$$= (1 + 0,60) \cdot u_{inst,G} + (1 + 0 \cdot 0,00) \cdot u_{inst,s} + (0,6 + 0 \cdot 0,00) \cdot u_{inst,w}$$



## MJERODAVNI ROG

Opt. 6: I+1.25xII+0.6xIII

u2



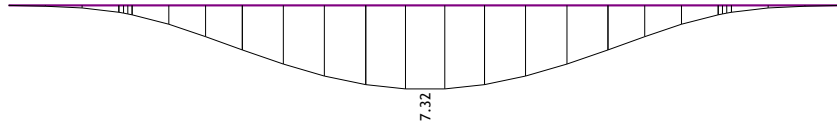
Utjecaji u gredi: (42-127)  
u2 [m/1000]

$$u_{net,fin} = 10,36 \text{ mm} < \frac{L}{200} = \frac{2815}{200} = 14,08 \text{ mm}$$

## MJERODAVNA PODROŽNICA

Opt. 6: I+1.25xII+0.6xIII

u2



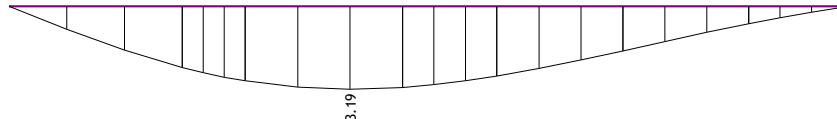
Utjecaji u gredi: (49-120)  
u2 [m/1000]

$$u_{net,fin} = 7,32 \text{ mm} < \frac{L}{200} = \frac{3800}{200} = 19,00 \text{ mm}$$

## MJERODAVNI GREBEN

Opt. 6: I+1.25xII+0.6xIII

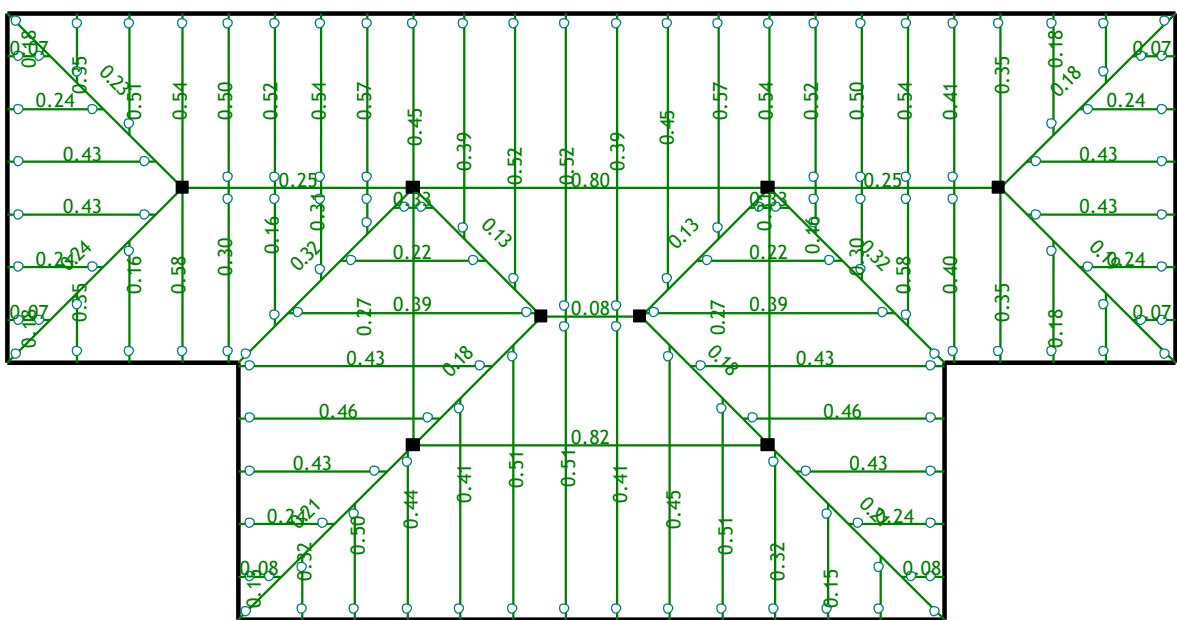
u2



Utjecaji u gredi: (27-93)  
u2 [m/1000]

$$u_{net,fin} = 3,19 \text{ mm} < \frac{L}{200} = \frac{3865}{200} = 19,33 \text{ mm}$$

## GRANIČNO STANJE NOSIVOSTI – DIMENZIONIRANJE (GSN)



Pogled: Nivo: [0.00 m]+K1+K2+K3+K4+K5+K6+K7  
Kontrola stabilitati

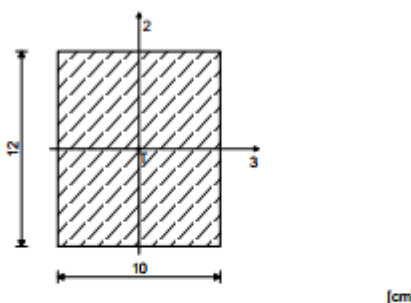
# MJERODAVNI ROG

ŠTAP 93-123

Puno drvo crnogorica i bjelogorica - C24

Klasa uporabljivosti 1

EUROCODE (EN 1995-1-1)



## FAKTOVI ISKORIŠTENJA PO KOMBINACIJAMA OPTEREĆENJA

$$\begin{array}{lll} 4. \gamma=0.57 & 5. \gamma=0.46 & 6. \gamma=0.45 \\ 7. \gamma=0.34 & & \end{array}$$

## KONTROLA NORMALNIH NAPONA (slučaj opterećenja 4, na 140.7 cm od početka štapa)

|                            |        |            |
|----------------------------|--------|------------|
| Računska uzdužna sila      | Ned =  | -3.060 kN  |
| Moment savijanja oko osi 3 | M3ed = | -1.958 kNm |

## KONTROLA NAPONA - TLAK I SAVIJANJE

Vrsta opterećenja: osnovno - srednjetrajno

|   |          |                        |
|---|----------|------------------------|
| Korekcijski koeficijent                         | Kmod =   | 0.800                  |
| Parcijalni koef. za svojstva gradiva            | ym =     | 1.300                  |
| Dodatak za elemente sa malim dimenzijama - os 2 | Kh_2 =   | 1.084                  |
| Dodatak za elemente sa malim dimenzijama - os 3 | Kh_3 =   | 1.046                  |
| Faktor oblika (za pravokutni presjek)           | km =     | 0.700                  |
| Karakteristična tlačna čvrstoća                 | fc,0,k = | 21.000 MPi             |
| Računska tlačna čvrstoća                        | fc,0,d = | 12.923 MPi             |
| Karakteristična čvrstoća na savijanje           | fm,k =   | 24.000 MPi             |
| Računska čvrstoća na savijanje - os 2           | fm,2,d = | 16.017 MPi             |
| Računska čvrstoća na savijanje - os 3           | fm,3,d = | 15.443 MPi             |
| Relativna vitkost                               | λrel,2 = | 1.653                  |
| Relativna vitkost                               | λrel,3 = | 1.377                  |
| Normalni tlačni napon                           | σc,0,d = | 0.255 MPi              |
| Moment otpora                                   | W3 =     | 240.00 cm <sup>3</sup> |
| Normalni napon savijanja oko osi 3              | σm3,d =  | 8.159 MPi              |

$$\sigma m3,d \leq fm,3,d \quad (8.159 \leq 15.443)$$

Iskorištenje presjeka je 52.8%

## TLAK I SAVIJANJE - VELIKA VITKOST

|                      |        |       |
|----------------------|--------|-------|
| Početna imperfekcija | βc =   | 0.200 |
| Koeficijent          | k3 =   | 1.556 |
| Koeficijent          | k2 =   | 2.001 |
| Koeficijent          | kc,3 = | 0.439 |
| Koeficijent          | kc,2 = | 0.320 |

$$(\sigma c,0,d / (kc_3 \times fc,0,d)) + km \times (\sigma m3,d / fm,3,d) + \sigma m2,d / fm,2,d \leq 1 \quad (0.432 \leq 1)$$

Iskorištenje presjeka je 43.2%

$$(\sigma c,0,d / (kc_3 \times fc,0,d)) + \sigma m3,d / fm,3,d + km \times (\sigma m2,d / fm,2,d) \leq 1 \quad (0.573 \leq 1)$$

Iskorištenje presjeka je 57.3%

## DOKAZ BOČNE STABILNOSTI

Vrsta opterećenja: osnovno - srednjetrajno

Korekcijski koeficijent

Parcijalni koef. za svojstva gradiva

Razmak pridržajnih točaka okomitih na pravac osi 2

Kmod = 0.800

ym = 1.300

lef = 281.34 cm

E0.05 = 7400.0 MPa

G0.05 = 460.00 MPa

Itor = 1981.7 cm<sup>4</sup>

I2 = 1000.0 cm<sup>4</sup>

W3 = 240.00 cm<sup>3</sup>

σm,crit = 120.84 MPa

λrel = 0.446

k\_krit = 1.000

σm,3,d = 8.159 MPa

σm,3,d <= k\_krit x fm,3,d (8.159 <= 15.443)

Iskorištenje presjeka je 52.8%

## KONTROLA POSMIČNIH NAPONA

(slučaj opterećenja 4, početak štapa)

Poprečna sila u pravcu osi 2

V2ed = -2.784 kN

## KONTROLA NAPONA - POSMIK

Vrsta opterećenja: osnovno - srednjetrajno

Korekcijski koeficijent

Parcijalni koef. za svojstva gradiva

Karakteristični posmični napon

Kmod = 0.800

ym = 1.300

f<sub>v,k</sub> = 4.000 MPa

Računska posmična čvrstoća

f<sub>v,d</sub> = 2.462 MPa

Površina poprečnog presjeka

A = 120.00 cm<sup>2</sup>

Stvarni posmični napon(os 2)

t<sub>2,d</sub> = 0.348 MPa

t<sub>2,d</sub> <= f<sub>v,d</sub> (0.348 <= 2.462)

Iskorištenje presjeka je 14.1%

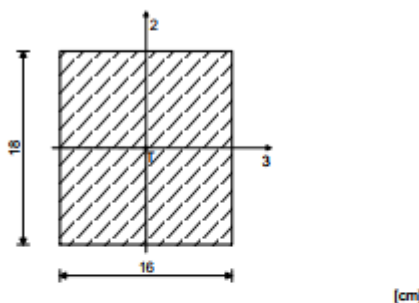
# MJERODAVNA PODROŽNICA

ŠTAP 49-120

Puno drvo crnogorica i bjelogorica - C24

Klasa uporabljivosti 1

EUROCODE (EN 1995-1-1)



## FAKTORI ISKORIŠTENJA PO KOMBINACIJAMA OPTEREĆENJA

4.  $\gamma=0.82$       5.  $\gamma=0.66$       6.  $\gamma=0.64$   
7.  $\gamma=0.50$

## KONTROLA NORMALNIH NAPONA (slučaj opterećenja 4, na 460.0 cm od početka štapa)

|                              |        |            |
|------------------------------|--------|------------|
| Računska uzdužna sila        | Ned =  | -20.289 kN |
| Poprečna sila u pravcu osi 2 | V2ed = | 11.698 kN  |
| Poprečna sila u pravcu osi 3 | V3ed = | -2.044 kN  |
| Moment torzije               | M1ed = | -0.116 kNm |
| Moment savijanja oko osi 2   | M2ed = | 1.350 kNm  |
| Moment savijanja oko osi 3   | M3ed = | 6.997 kNm  |

## KONTROLA NAPONA - TLAK I SAVIJANJE

|   |                                      |
|---|--------------------------------------|
| Vrsta opterećenja: osnovno - srednjetrajno      |                                      |
| Korekcijski koeficijent                         | Kmod = 0.800                         |
| Parcijalni koef. za svojstva gradiva            | $\gamma_m = 1.300$                   |
| Dodatak za elemente sa malim dimenzijama - os 2 | $K_h_2 = 1.000$                      |
| Dodatak za elemente sa malim dimenzijama - os 3 | $K_h_3 = 1.000$<br>$k_m = 0.700$     |
| Faktor oblike (za pravokutni presjek)           | $f_{c,0,k} = 21.000 \text{ MPa}$     |
| Karakteristična tlačna čvrstoća                 | $f_{c,0,d} = 12.923 \text{ MPa}$     |
| Računska tlačna čvrstoća                        | $f_{m,k} = 24.000 \text{ MPa}$       |
| Karakteristična čvrstoća na savijanje           | $f_{m,d} = 14.769 \text{ MPa}$       |
| Računska čvrstoća na savijanje                  | $\lambda_{rel,2} = 1.982$            |
| Relativna vitkost                               | $\lambda_{rel,3} = 1.762$            |
| Relativna vitkost                               | $\sigma_{c,0,d} = 0.704 \text{ MPa}$ |
| Normalni tlačni napon                           | $W_2 = 768.00 \text{ cm}^3$          |
| Moment otpora                                   | $\sigma_{m2,d} = 1.758 \text{ MPa}$  |
| Normalni napon savijanja oko osi 2              |                                      |

$$\sigma_{m2,d} \leq f_{m,d} (1.758 \leq 14.769)$$

Iskorištenje presjeka je 11.9%

|                                    |                                     |
|------------------------------------|-------------------------------------|
| Moment otpora                      | $W_3 = 864.00 \text{ cm}^3$         |
| Normalni napon savijanja oko osi 3 | $\sigma_{m3,d} = 8.098 \text{ MPa}$ |

$$\sigma_{m3,d} \leq f_{m,d} (8.098 \leq 14.769)$$

Iskorištenje presjeka je 54.8%

## TLAK I SAVIJANJE - VELIKA VITKOST

|                      |                   |
|----------------------|-------------------|
| Početna imperfekcija | $\beta_c = 0.200$ |
| Koeficijent          | $k_3 = 2.199$     |
| Koeficijent          | $k_2 = 2.633$     |
| Koeficijent          | $k_{c,3} = 0.285$ |
| Koeficijent          | $k_{c,2} = 0.229$ |

$$(\sigma_{c,0,d} / (k_{c,2} \times f_{c,0,d})) + k_m \times (\sigma_{m3,d} / f_{m,d}) + \\ + \sigma_{m2,d} / f_{m,d} \leq 1 (0.741 \leq 1)$$

Iskorištenje presjeka je 74.1%

$$(\sigma c,0,d / (k c,0,d)) + \sigma m3,d / f m,d + \\ + k m x (\sigma m2,d / f m,d) \leq 1 (0.823 \leq 1)$$

Iskorištenje presjeka je 82.3%

#### DOKAZ BOĆNE STABILNOSTI

Vrsta opterećenja: osnovno - srednjjetrajno

|  |                              |
|--|------------------------------|
| Korekcijski koeficijent                            | Kmod = 0.800                 |
| Parcijalni koef. za svojstva gradiva               | ym = 1.300                   |
| Razmak pridržajnih točaka okomitih na pravac osi 2 |                              |
| lef = 540.00 cm                                    |                              |
| 5% fraktil modula E paralelno vlaknima             | E0.05 = 7400.0 MPa           |
| 5% fraktil modula posmika G                        | G0.05 = 460.00 MPa           |
| Torzijski momenat inercije                         | Itor = 11542 cm <sup>4</sup> |
| Moment inercije                                    | I2 = 6144.0 cm <sup>3</sup>  |
| Moment otpora                                      | W3 = 864.00 cm <sup>3</sup>  |
| Kritični napon izvijanja                           | σm,crit = 104.62 MPa         |
| Relativna vtičnost za izvijanje                    | λrel = 0.479                 |
| Koeficijent  | k_krit = 1.000               |
| Normalni napon savijanja oko osi 3                 | σm3,d = 8.098 MPa            |

$$\sigma m,3,d \leq k\_krit \times f m,3,d (8.098 \leq 14.769)$$

Iskorištenje presjeka je 54.8%

#### KONTROLA POSMIČNIH NAPONA

(slučaj opterećenja 4, na 460.0 cm od početka štapa)

|                              |                   |
|------------------------------|-------------------|
| Poprečna sila u pravcu osi 2 | V2ed = -15.662 kN |
| Poprečna sila u pravcu osi 3 | V3ed = -2.044 kN  |
| Moment torzije               | M1ed = -0.033 kNm |

#### KONTROLA NAPONA - POSMIK

Vrsta opterećenja: osnovno - srednjjetrajno

|   |   |
|---|---|
| Korekcijski koeficijent                 | Kmod = 0.800                                |
| Parcijalni koef. za svojstva gradiva    | ym = 1.300                                  |
| Karakteristični posmični napon          | f <sub>v,k</sub> = 4.000 MPa                |
| Računska posmična čvrstoća              | f <sub>v,d</sub> = 2.462 MPa                |
| Površina poprečnog presjeka             | A = 288.00 cm <sup>2</sup>                  |
| Stvarni posmični napon(os 2)            | T <sub>2,d</sub> = 0.816 MPa                |
| Stvarni posmični napon(os 3)            | T <sub>3,d</sub> = 0.106 MPa                |
| Superpozicija utjecaja od poprečne sile |   |
| (2)                                     | T <sub>2,d</sub> / f <sub>v,d</sub> = 0.331 |
| (3)                                     | T <sub>3,d</sub> / f <sub>v,d</sub> = 0.043 |

$$(2)^2 + (3)^2 \leq 1 (0.124 \leq 1)$$

Iskorištenje presjeka je 12.4%

#### KONTROLA NAPONA - TORZIJA

|                                   |   |
|-----------------------------------|---|
| Karakteristična posmična čvrstoća | f <sub>v,k</sub> = 4.000 MPa            |
| Računska posmična čvrstoća        | f <sub>v,d</sub> = 2.462 MPa            |
| Koeficijent                       | kshape = 1.169                          |
| Torzijski moment otpora           | W <sub>t</sub> = 990.14 cm <sup>3</sup> |
| Stvarni posmični napon            | T <sub>tor,d</sub> = 0.033 MPa          |

$$T_{tor,d} \leq k_{shape} \times f_{v,d} (0.033 \leq 2.877)$$

Iskorištenje presjeka je 1.1%

#### Superpozicija utjecaja od poprečne sile i momenta torzije

|     |   |
|-----|---|
| (1) | T <sub>tor,d</sub> / (k <sub>shape</sub> × f <sub>v,d</sub> ) = 0.011 |
| (2) | T <sub>2,d</sub> / f <sub>v,d</sub> = 0.331                           |
| (3) | T <sub>3,d</sub> / f <sub>v,d</sub> = 0.043                           |

$$(1) + (2)^2 + (3)^2 \leq 1 (0.123 \leq 1)$$

Iskorištenje presjeka je 12.3%

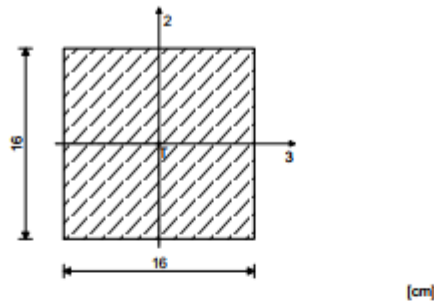
# MJERODAVNI GREBEN

ŠTAP 93-27

Puno drvo crnogorica i bjelogorica - C24

Klasa uporabljivosti 1

EUROCODE (EN 1995-1-1)



## FAKTORI ISKORIŠTENJA PO KOMBINACIJAMA OPTEREĆENJA

$$\begin{array}{lll} 4. \gamma=0.32 & 5. \gamma=0.26 & 6. \gamma=0.25 \\ 7. \gamma=0.19 & & \end{array}$$

## KONTROLA NORMALNIH NAPONA (slučaj opterećenja 4, na 277.1 cm od početka štapa)

|                              |        |            |
|------------------------------|--------|------------|
| Računska uzdužna sila        | Ned =  | 12.889 kN  |
| Poprečna sila u pravcu osi 2 | V2ed = | 0.455 kN   |
| Poprečna sila u pravcu osi 3 | V3ed = | -1.395 kN  |
| Moment torzije               | M1ed = | 0.012 kNm  |
| Moment savijanja oko osi 2   | M2ed = | -0.776 kNm |
| Moment savijanja oko osi 3   | M3ed = | -2.076 kNm |

## KONTROLA NAPONA - VLAK I SAVIJANJE

|   |                    |                        |
|---|--------------------|------------------------|
| Vrsta opterećenja: osnovno - srednjetrajno      | Kmod =             | 0.800                  |
| Korekcijski koeficijent                         | $\gamma_m$ =       | 1.300                  |
| Parcijalni koef. za svojstva gradiva            |                    |                        |
| Dodatak za elemente sa malim dimenzijama - os 2 | $K_h_2$ =          | 1.000                  |
| Dodatak za elemente sa malim dimenzijama - os 3 | $K_h_3$ =          | 1.000                  |
| Dodatak za elemente sa malim dimenzijama - vlak |                    |                        |
| Karakteristična vlačna čvrstoća                 | $K_h_t$ =          | 1.000                  |
| Računska vlačna čvrstoća                        | $f_{t,0,k}$ =      | 14.000 MPa             |
| Faktor oblike (za pravokutni presjek)           | $f_{t,0,d}$ =      | 8.615 MPa              |
| Karakteristična čvrstoća na savijanje           | $k_m$ =            | 0.700                  |
| Računska čvrstoća na savijanje                  | $f_{m,k}$ =        | 24.000 MPa             |
| Normalni vlačni napon                           | $f_{m,d}$ =        | 14.769 MPa             |
| Moment otpora                                   | $\sigma_{t,0,d}$ = | 0.503 MPa              |
| Normalni napon savijanja oko osi 2              | $W_2$ =            | 682.67 cm <sup>3</sup> |
|   | $\sigma_{m2,d}$ =  | 1.136 MPa              |

$$\sigma_{m2,d} \leq f_{m,d} (1.136 \leq 14.769)$$

Iskorištenje presjeka je 7.7%

|                                    |                   |                        |
|------------------------------------|-------------------|------------------------|
| Moment otpora                      | $W_3$ =           | 682.67 cm <sup>3</sup> |
| Normalni napon savijanja oko osi 3 | $\sigma_{m3,d}$ = | 3.041 MPa              |

$$\sigma_{m3,d} \leq f_{m,d} (3.041 \leq 14.769)$$

Iskorištenje presjeka je 20.6%

$$\sigma_{t,0,d} / f_{t,0,d} + k_m \times (\sigma_{m3,d} / f_{m,d}) + \sigma_{m2,d} / f_{m,d} \leq 1  
(0.280 \leq 1)$$

Iskorištenje presjeka je 28.0%

$$\sigma_{t,0,d} / f_{t,0,d} + \sigma_{m3,d} / f_{m,d} + k_m \times (\sigma_{m2,d} / f_{m,d}) \leq 1  
(0.318 \leq 1)$$

Iskorištenje presjeka je 31.8%

## DOKAZ BOĆNE STABILNOSTI

Vrsta opterećenja: osnovno - srednjetrajno  
 Korekcijski koeficijent  
 Parcijalni koef. za svojstva gradiva  
 Razmak pridržajnih točaka okomitih na pravac osi 2

|  |           |                        |
|--|-----------|------------------------|
| 5% fraktil modula E paralelno vlastinama | Ief =     | 386.49 cm              |
| 5% fraktil modula posmika G              | E0,05 =   | 7400.0 MPa             |
| Torzijski momenat inercije               | G0,05 =   | 460.00 MPa             |
| Moment inercije                          | Itor =    | 9230.4 cm <sup>4</sup> |
| Moment otpora                            | I2 =      | 5461.3 cm <sup>3</sup> |
| Kritični napon izvijanja                 | W3 =      | 682.67 cm <sup>3</sup> |
| Relativna vlastnost za izvijanje         | σm,crit = | 155.98 MPa             |
| Koeficijent                              | λrel =    | 0.392                  |
| Normalni napon savijanja oko osi 3       | k_krit =  | 1.000                  |
|  | σm3,d =   | 3.041 MPa              |

$$\sigma_{m,3,d} \leq k_{krit} \times f_m,3,d (3.041 \leq 14.769)$$

Iskorištenje presjeka je 20.6%

### KONTROLA POSMIČNIH NAPONA (slučaj opterećenja 4, na 43.8 cm od početka štapa)

|                              |        |            |
|------------------------------|--------|------------|
| Poprečna sila u pravcu osi 2 | V2ed = | 1.712 kN   |
| Poprečna sila u pravcu osi 3 | V3ed = | 0.122 kN   |
| Moment torzije               | M1ed = | -0.360 kNm |

### KONTROLA NAPONA - POSMIK

Vrsta opterećenja: osnovno - srednjetrajno  
 Korekcijski koeficijent  
 Parcijalni koef. za svojstva gradiva  
 Karakteristični posmični napon  
 Računska posmična čvrstoća  
 Površina poprečnog presjeka  
 Stvarni posmični napon(os 2)  
 Stvarni posmični napon(os 3)  
 Superpozicija utjecaja od poprečne sile  
 (2)  $t_{2,d} / f_{v,d} = 0.041$   
 (3)  $t_{3,d} / f_{v,d} = 0.003$

$$(2)^2 + (3)^2 \leq 1 (0.002 \leq 1)$$

Iskorištenje presjeka je 0.2%

### KONTROLA NAPONA - TORZIJA

|                                   |                      |                        |
|-----------------------------------|----------------------|------------------------|
| Karakteristična posmična čvrstoća | f <sub>v,k</sub> =   | 4.000 MPa              |
| Računska posmična čvrstoća        | f <sub>v,d</sub> =   | 2.462 MPa              |
| Koeficijent                       | kshape =             | 1.150                  |
| Torzijski moment otpora           | W <sub>t</sub> =     | 851.97 cm <sup>3</sup> |
| Stvarni posmični napon            | t <sub>tor,d</sub> = | 0.423 MPa              |

$$t_{tor,d} \leq k_{shape} \times f_{v,d} (0.423 \leq 2.831)$$

Iskorištenje presjeka je 14.9%

### Superpozicija utjecaja od poprečne sile i momenta torzije

|     |   |       |
|-----|---|-------|
| (1) | t <sub>tor,d</sub> / (k <sub>shape</sub> × f <sub>v,d</sub> ) = | 0.149 |
| (2) | t <sub>2,d</sub> / f <sub>v,d</sub> =                           | 0.041 |
| (3) | t <sub>3,d</sub> / f <sub>v,d</sub> =                           | 0.003 |

$$(1) + (2)^2 + (3)^2 \leq 1 (0.151 \leq 1)$$

Iskorištenje presjeka je 15.1%

## KROVIŠTE

|            |              |
|------------|--------------|
| ROG        | b/h=10/12 cm |
| PODROŽNICA | b/h=16/18 cm |
| RUKE       | b/h=10/10 cm |
| UVALA      | b/h=16/16 cm |
| GREBEN     | b/h=16/16 cm |
| SLJEME     | b/h=16/16 cm |
| STUP       | b/h=16/16 cm |
| NADZIDNICA | b/h=16/16 cm |

## 1.15) STUBIŠTE

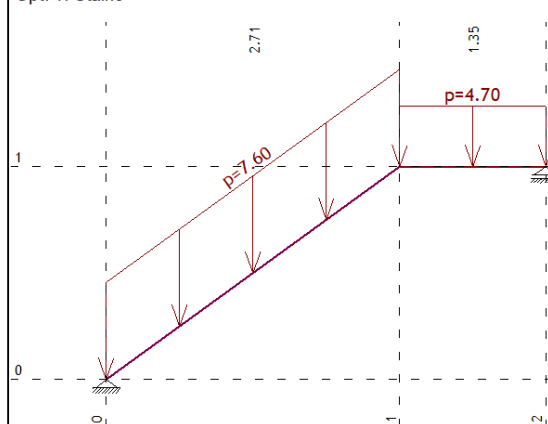
### POLOŽAJ OPTEREĆENJA I KONSTRUKCIJA

Lista slučajeva opterećenja

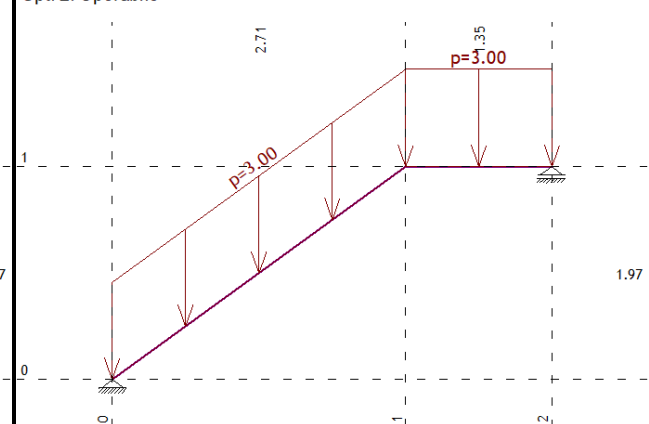
| No | Naziv    | pX [kN] | pY [kN] | pZ [kN] |
|----|----------|---------|---------|---------|
| 1  | Stalno   | 0.00    | 0.00    | -31.81  |
| 2  | Uporabno | 0.00    | 0.00    | -14.10  |

3 Komb.: 1.35xI+1.5xII 0.00 0.00 -64.09

Opt. 1: Stalno

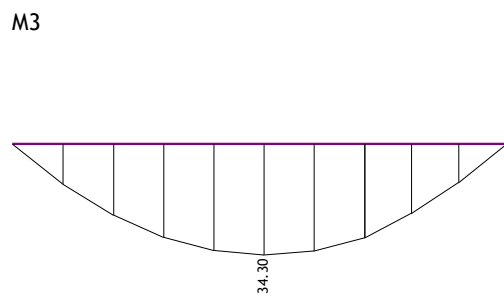
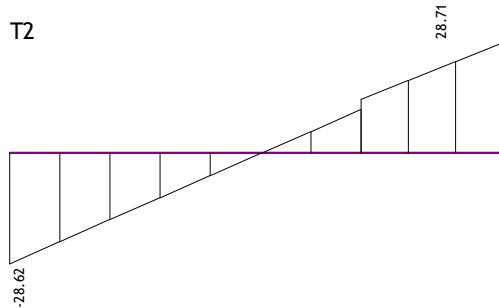


Opt. 2: Uporabno



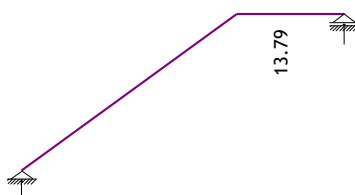
### STATIČKI PRORAČUN

Opt. 3: 1.35xI+1.5xII



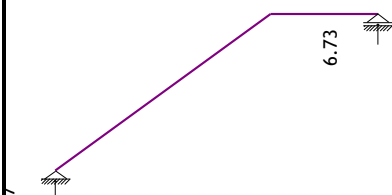
Utjecaji u gredi: (1-2-3)  
T2 [kN], M3 [kNm]

Opt. 1: Stalno



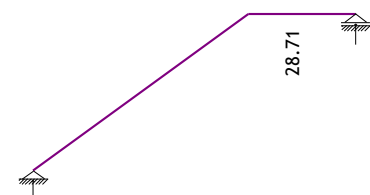
Reakcije ležajeva

Opt. 2: Uporabno



Reakcije ležajeva

Opt. 3: 1.35xI+1.5xII



Reakcije ležajeva

## DIMENZIONIRANJE

|  |           |
|--|-----------|
| Debljina ploče d:                              | 15.0 cm   |
| Širina b:                                      | 100.0 cm  |
| Udaljenost od ruba betona do težišta armature: | 3.5 cm    |
| M <sub>Ed</sub> :                              | 34.30 kNm |
| V <sub>Ed</sub> :                              | 26.41 kN  |

| Razred Betona:    | 25/30 | f <sub>ck</sub> (N/mm <sup>2</sup> ) | f <sub>cd</sub> (N/mm <sup>2</sup> ) | f <sub>ctm</sub> (N/mm <sup>2</sup> ) |
|-------------------|-------|--------------------------------------|--------------------------------------|---------------------------------------|
| Kvaliteta čelika: | B500B | f <sub>yk</sub> (N/mm <sup>2</sup> ) | f <sub>yd</sub> (N/mm <sup>2</sup> ) |                                       |
|                   |       | 500                                  | 434.78                               |                                       |

$$\mu_{Ed} = \frac{M_{Ed}}{b_{eff} \cdot d^2 \cdot f_{cd}} = 0.156$$

$$\mu_{Rd} = 0.157$$

$$\zeta = 0.912$$

$$\xi = 0.212$$

$$A_{s1,req} = \frac{M_{Ed}}{\zeta \cdot d \cdot f_{yd}} = 7.52 \text{ cm}^2/\text{m}'$$

$$\epsilon_{s1} = 13.0$$

$$\epsilon_c = 3.5$$

### ODABRANA ARMATURA:

|            |     |   |    |                            |
|------------|-----|---|----|----------------------------|
| glavna:    | Ø10 | / | 10 | (7.85 cm <sup>2</sup> /m') |
| razdjelna: | Ø8  | / | 15 | (3.35 cm <sup>2</sup> /m') |

$$V_{Rd,c} = [C_{Rd,c} \cdot k \cdot (100 \cdot \rho_l \cdot f_{ck})^{1/3} + k_1 \cdot \sigma_{cp}] \cdot b \cdot d = 71.07 \text{ kN}$$

$$V_{Rd,c} = 71.07 \text{ kN} > V_{Ed} = 26.41 \text{ kN}$$

Nije potreban proračun poprečne armature!

## 1.16) MEĐUKATNA NOSIVA KONSTRUKCIJA

### POZICIJA: PLOČA 301 I GREDA 351

#### POLOŽAJ OPTEREĆENJA I KONSTRUKCIJA

Tabela materijala

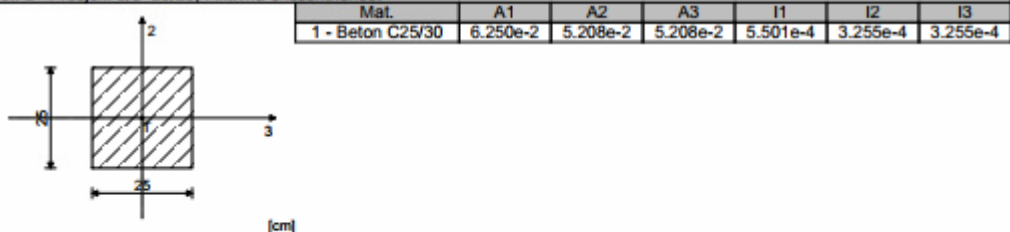
| No | Naziv materijala | E[kN/m <sup>2</sup> ] | $\mu$ | $\gamma[\text{kN/m}^3]$ | $\alpha t[1/\text{C}]$ | $E_m[\text{kN/m}^2]$ | $\mu_m$ |
|----|------------------|-----------------------|-------|-------------------------|------------------------|----------------------|---------|
| 1  | Beton C25/30     | 3.100e+7              | 0.20  | 25.00                   | 1.000e-5               | 3.100e+7             | 0.20    |

Setovi ploča

| No  | d[m]  | e[m]  | Material | Tip proračuna | Ortotropija | E2[kN/m <sup>2</sup> ] | G[kN/m <sup>2</sup> ] | $\alpha$ |
|-----|-------|-------|----------|---------------|-------------|------------------------|-----------------------|----------|
| <1> | 0.180 | 0.090 | 1        | Tanka ploča   | Izotropna   |                        |                       |          |

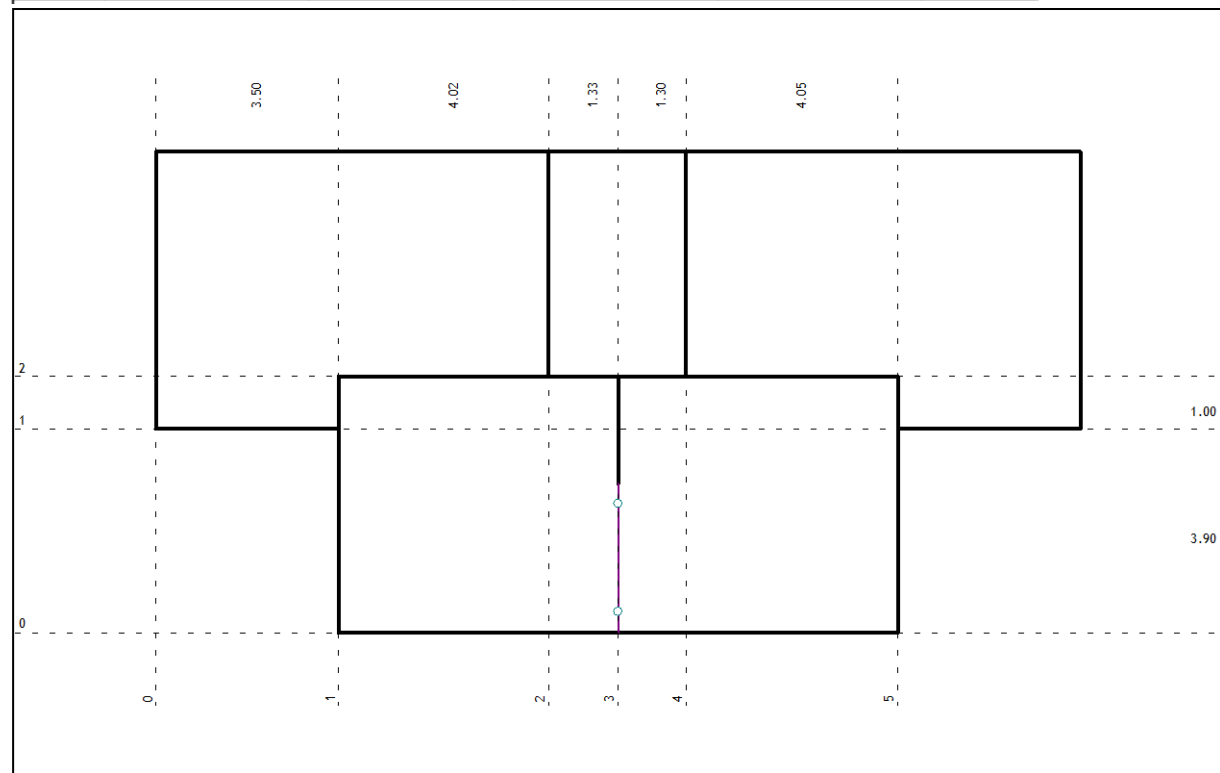
Setovi greda

Set: 2 Presjek: b/d=25/25, Fiktivna ekscentričnost



Setovi linijskih ležajeva

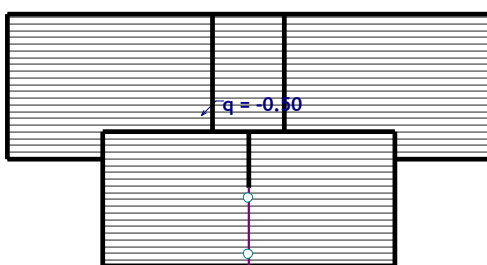
| Set | K,R1      | K,R2      | K,R3      | K,M1 | Tlo [m] |
|-----|-----------|-----------|-----------|------|---------|
| 1   | 1.000e+10 | 1.000e+10 | 1.000e+10 |      |         |
| 2   | 1.000e+10 | 1.000e+10 | 1.000e+10 |      |         |



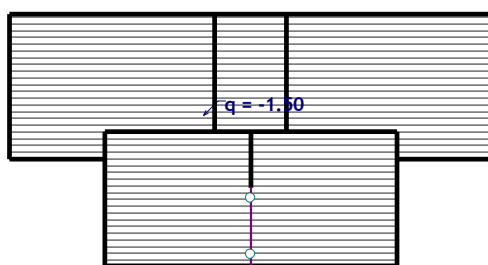
Lista slučajeva opterećenja

| LC | Naziv  | pX [kN] | pY [kN] | pZ [kN]  |
|----|--|---------|---------|----------|
| 1  | Stalno (g)                                   | 0.00    | 0.00    | -682.16  |
| 2  | Uporabno                                     | 0.00    | 0.00    | -203.31  |
| 3  | Krov - stalno                                | 0.00    | 0.00    | -130.39  |
| 4  | Krov - snijeg                                | 0.00    | 0.00    | -136.89  |
| 5  | Krov - vjetar                                | 0.00    | 0.00    | -30.90   |
| 6  | Komb.: 1.35xI+1.5xII+1.35xIII                | 0.00    | 0.00    | -1401.91 |
| 7  | Komb.: 1.35xI+1.5xII+1.35xIII+0.75xIV        | 0.00    | 0.00    | -1504.57 |
| 8  | Komb.: 1.35xI+1.5xII+1.35xIII+0.9xV          | 0.00    | 0.00    | -1429.72 |
| 9  | Komb.: 1.35xI+1.5xII+1.35xIII+0.75xIV+0.9xV  | 0.00    | 0.00    | -1532.39 |
| 10 | Komb.: 1.35xI+1.05xII+1.35xIII               | 0.00    | 0.00    | -1310.42 |
| 11 | Komb.: 1.35xI+1.05xII+1.35xIII+1.5xIV        | 0.00    | 0.00    | -1515.75 |
| 12 | Komb.: 1.35xI+1.05xII+1.35xIII+0.9xV         | 0.00    | 0.00    | -1338.23 |
| 13 | Komb.: 1.35xI+1.05xII+1.35xIII+1.5xIV+0.9xV  | 0.00    | 0.00    | -1543.56 |
| 14 | Komb.: 1.35xI+1.05xII+1.35xIII               | 0.00    | 0.00    | -1310.42 |
| 15 | Komb.: 1.35xI+1.05xII+1.35xIII+0.75xIV       | 0.00    | 0.00    | -1413.08 |
| 16 | Komb.: 1.35xI+1.05xII+1.35xIII+1.5xV         | 0.00    | 0.00    | -1356.77 |
| 17 | Komb.: 1.35xI+1.05xII+1.35xIII+0.75xIV+1.5xV | 0.00    | 0.00    | -1459.44 |
| 18 | Komb.: 1.35xI+1.5xII+1.35xIII                | 0.00    | 0.00    | -1401.91 |
| 19 | Komb.: I+II+III+0.5xIV+0.6xV                 | 0.00    | 0.00    | -1102.85 |
| 20 | Komb.: I+0.7xII+III+IV+0.6xV                 | 0.00    | 0.00    | -1110.30 |
| 21 | Komb.: I+0.7xII+III+0.5xIV+V                 | 0.00    | 0.00    | -1054.21 |

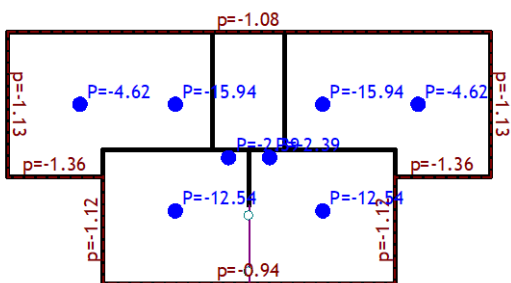
Opt. 1: Stalno (g)



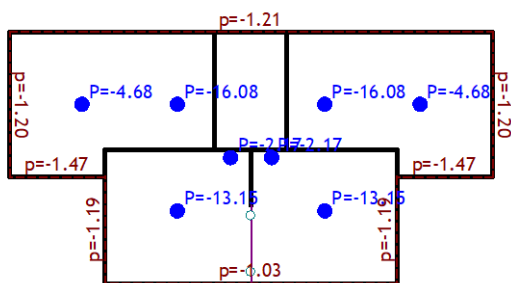
Opt. 2: Uporabno



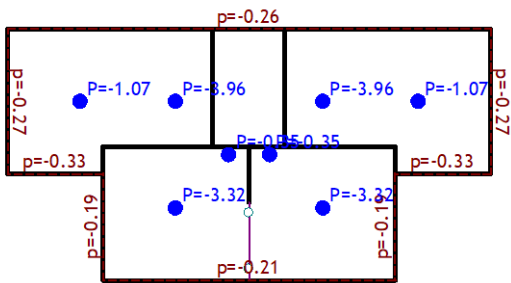
Opt. 3: Krov - stalno



Opt. 4: Krov - snijeg

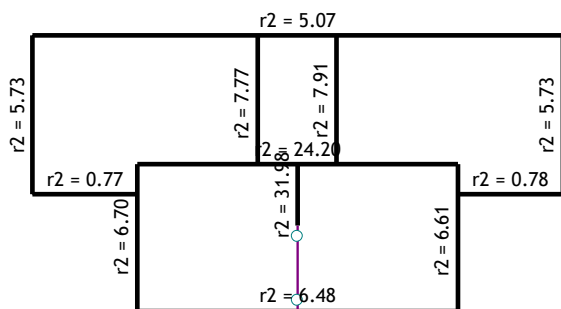


Opt. 5: Krov - vjetar

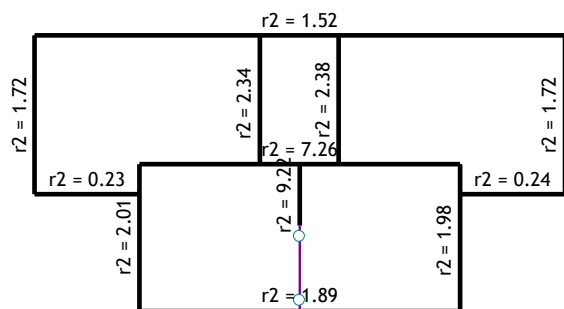


## STATIČKI PRORAČUN

Opt. 1: Stalno (g)

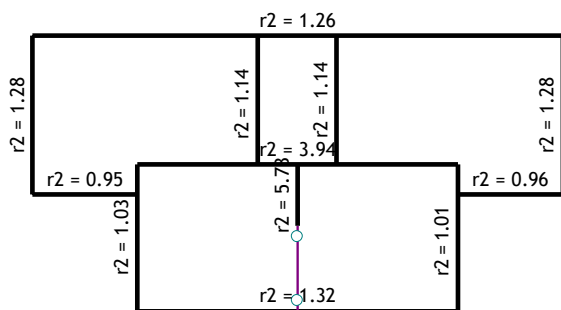


Opt. 2: Uporabno



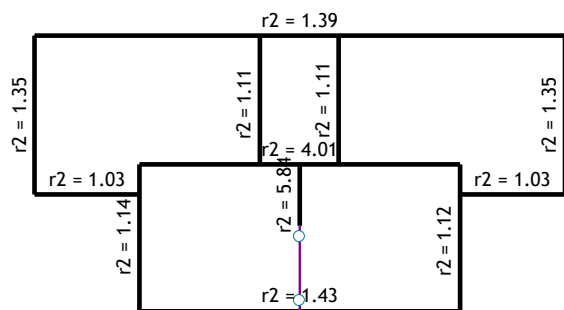
Reakcije ležajeva

Opt. 3: Krov - stalno



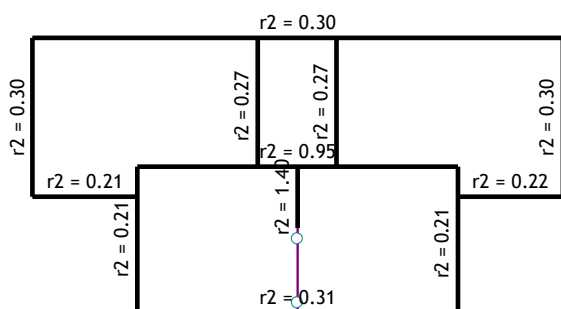
Reakcije ležajeva

Opt. 4: Krov - snijeg



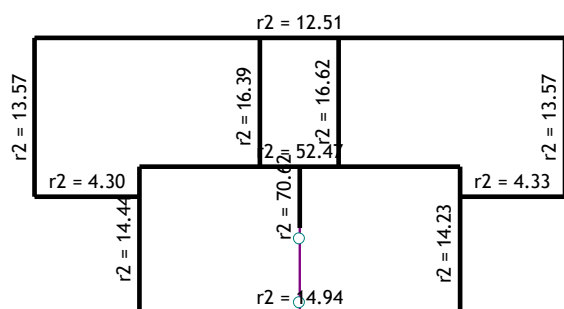
Reakcije ležajeva

Opt. 5: Krov - vjetar



Reakcije ležajeva

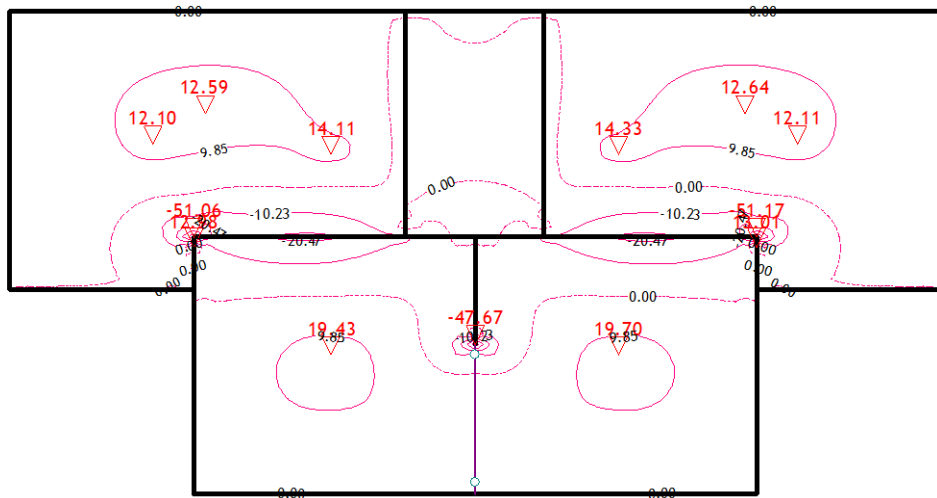
Opt. 13:  $1.35xI+1.05xII+1.35xIII+1.5xIV+0.9xV$



Reakcije ležajeva

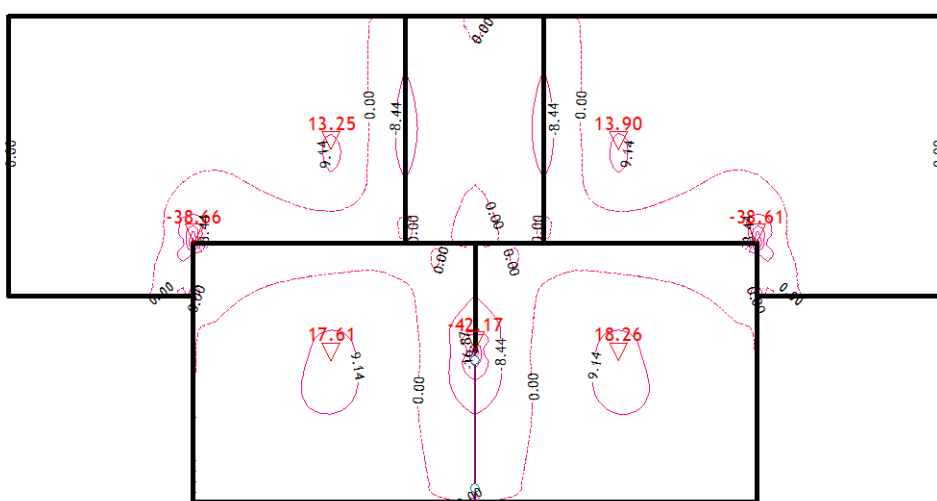
Reakcije ležajeva

Opt. 13:  $1.35xI+1.05xII+1.35xIII+1.5xIV+0.9xV$



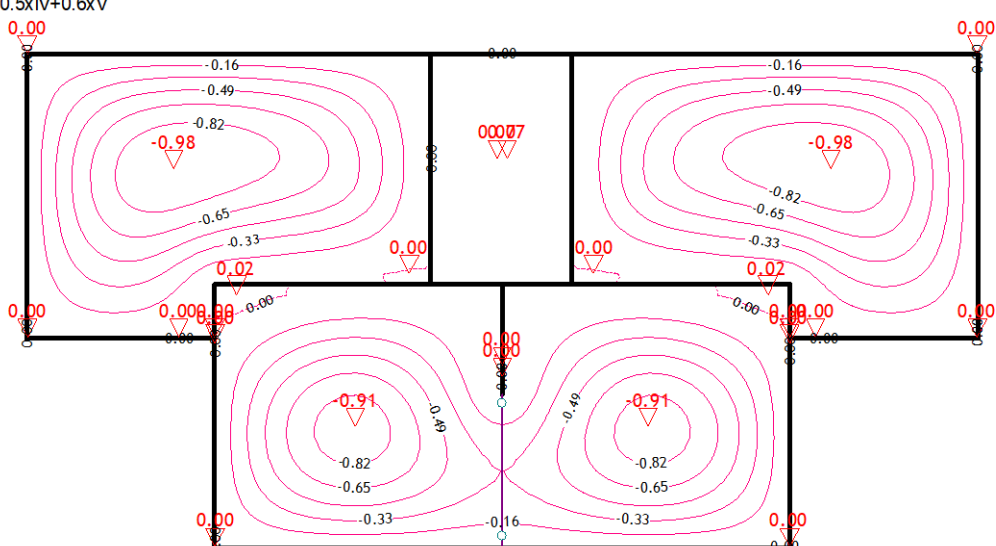
Utjecaji u ploči: max  $M_x = 19.70$  / min  $M_x = -51.17$  kNm/m

Opt. 13:  $1.35xI+1.05xII+1.35xIII+1.5xIV+0.9xV$



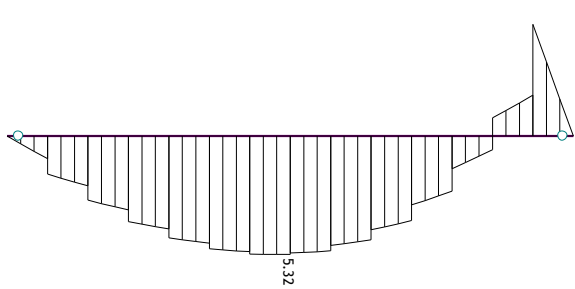
Utjecaji u ploči: max  $M_x = 18.26$  / min  $M_x = -42.17$  kNm/m

Opt. 19:  $I+II+III+0.5xIV+0.6xV$



Utjecaji u ploči: max  $Z_p = 0.07$  / min  $Z_p = -0.98$  m / 1000

Opt. 12:  $1.35xI+1.05xII+1.35xIII+0.9xV$



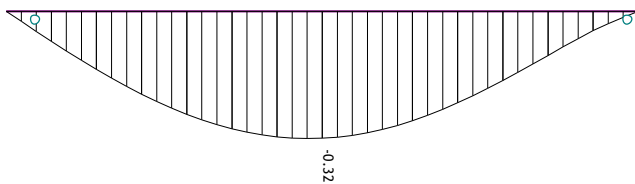
Utjecaji u gredi: max  $M_3= 5.32$  / min  $M_3= -5.01$  kNm

Opt. 12:  $1.35xI+1.05xII+1.35xIII+0.9xV$



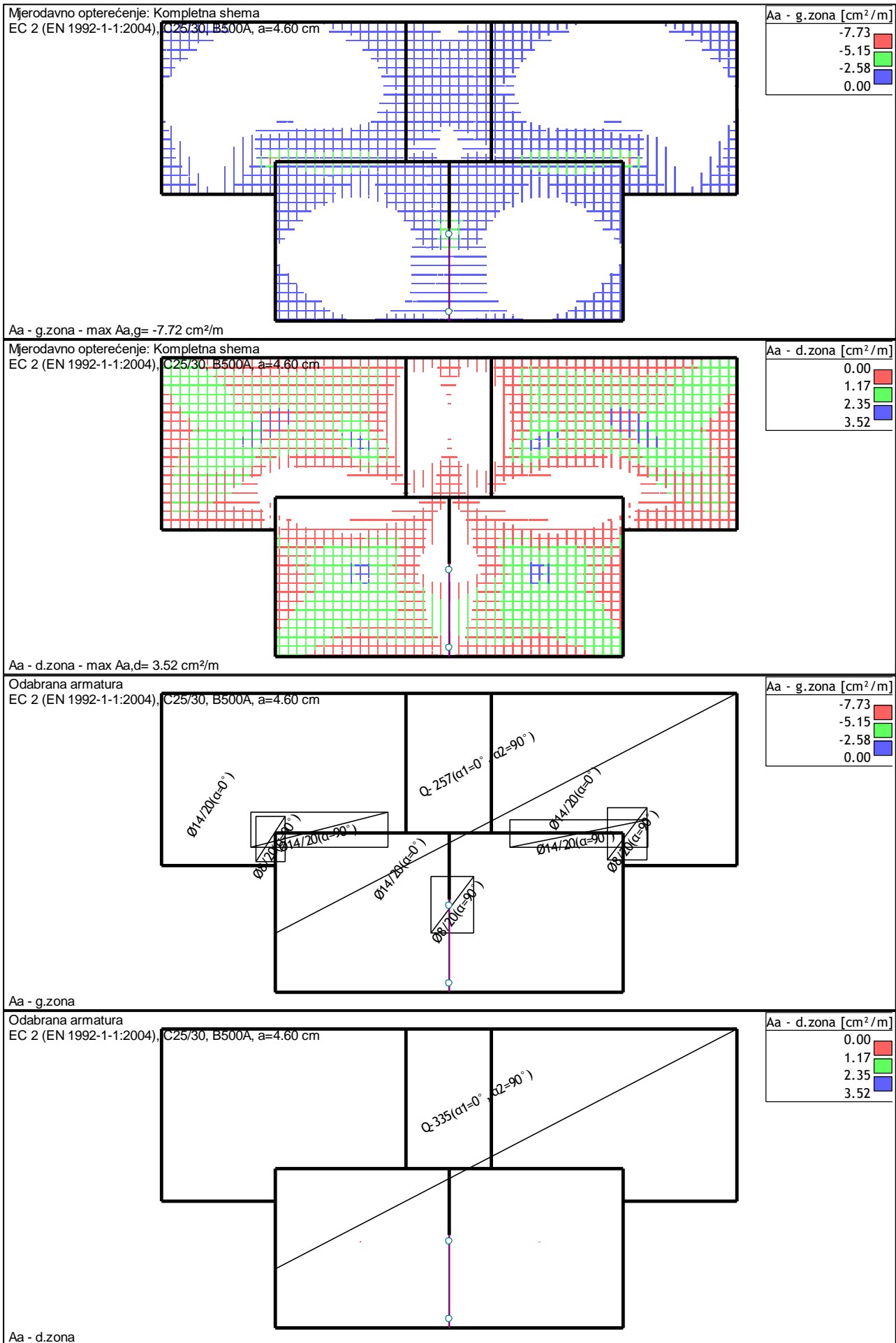
Utjecaji u gredi: max  $T_2= 5.22$  / min  $T_2= -24.81$  kN

Opt. 19:  $I+II+III+0.5xIV+0.6xV$



Utjecaji u gredi: max  $Z_p= -0.00$  / min  $Z_p= -0.33$  m / 1000

## DIMENZIONIRANJE



Nivo: POZ 300 - 2. kat [8.61 m]

EC 2 (EN 1992-1-1:2004)

d,ph=18.0 cm

C25/30 ( $\gamma C = 1.50$ ,  $\gamma S = 1.15$ ) [SP]

Gornja zona: B500A ( $a=4.6$  cm)

Donja zona: B500A ( $a=4.6$  cm)

Kompletan shema opterećenja

Točka 1

X=8.85 m; Y=-1.05 m; Z=8.61 m

Donja zona

Pravac 1: ( $\alpha=0^\circ$ )

Mjerodavna kombinacija:

$1.35xI+1.50xII+1.35xIII+0.75xIV$

+0.90xV

Med = -32.92 kNm [Mxy]

Ned = 0.00 kN

[Mxy] M1=-32.92 M2=-41.54 Mxy=-0.01 [kNm]

$\epsilon b/\epsilon a = -3.418/20.000 \%$

Ad1 = 0.00  $\text{cm}^2/\text{m}$

Pravac 2: ( $\alpha=90^\circ$ )

Mjerodavna kombinacija:

$1.35xI+1.50xII+1.35xIII+1.50xIV$

+0.90xV

Med = 0.00 kNm [Mxy]

Ned = 0.00 kN

[Mxy] M1=32.92 M2=-41.54 Mxy=-0.01 [kNm]

$\epsilon b/\epsilon a = -3.418/20.000 \%$

Ad1 = 0.00  $\text{cm}^2/\text{m}$

Gornja zona

Pravac 1: ( $\alpha=0^\circ$ )

Mjerodavna kombinacija:

$1.35xI+1.50xII+1.35xIII+0.75xIV$

+0.90xV

Med = -32.93 kNm [Mxy]

Ned = 0.00 kN

[Mxy] M1=-32.92 M2=-41.54 Mxy=-0.01 [kNm]

$\epsilon b/\epsilon a = -3.419/20.000 \%$

Ag1 = 6.01  $\text{cm}^2/\text{m}$

Pravac 2: ( $\alpha=90^\circ$ )

Mjerodavna kombinacija:

$1.35xI+1.50xII+1.35xIII+1.50xIV$

+0.90xV

Med = -41.55 kNm [Mxy]

Ned = 0.00 kN

[Mxy] M1=-32.92 M2=-41.54 Mxy=-0.01 [kNm]

$\epsilon b/\epsilon a = -3.500/15.256 \%$

Ag2 = 7.72  $\text{cm}^2/\text{m}$

Pravac 2: ( $\alpha=90^\circ$ )

Mjerodavna kombinacija:

$1.35xI+1.05xII+1.35xIII+1.50xIV$

+0.90xV

Med = 19.74 kNm [Mxy]

Ned = 0.00 kN

[Mxy] M1=18.26 M2=19.70 Mxy=-0.04 [kNm]

$\epsilon b/\epsilon a = -2.193/20.000 \%$

Ad2 = 3.52  $\text{cm}^2/\text{m}$

Gornja zona

Pravac 1: ( $\alpha=0^\circ$ )

Mjerodavna kombinacija:

$1.35xI+1.05xII+1.35xIII+1.50xIV$

+0.90xV

Med = 18.26 kNm [Mxy]

Ned = 0.00 kN

[Mxy] M1=18.26 M2=19.70 Mxy=-0.04 [kNm]

$\epsilon b/\epsilon a = -2.067/20.000 \%$

Ag1 = 0.00  $\text{cm}^2/\text{m}$

Točka 2

X=11.57 m; Y=-1.25 m; Z=8.61 m

Donja zona

Pravac 1: ( $\alpha=0^\circ$ )

Mjerodavna kombinacija:

$1.35xI+1.05xII+1.35xIII+1.50xIV$

+0.90xV

Med = 18.30 kNm [Mxy]

Ned = 0.00 kN

[Mxy] M1=18.26 M2=19.70 Mxy=-0.04 [kNm]

$\epsilon b/\epsilon a = -2.071/20.000 \%$

Ad1 = 3.25  $\text{cm}^2/\text{m}$

Pravac 2: ( $\alpha=90^\circ$ )

Mjerodavna kombinacija:

$1.35xI+1.05xII+1.35xIII+1.50xIV$

+0.90xV

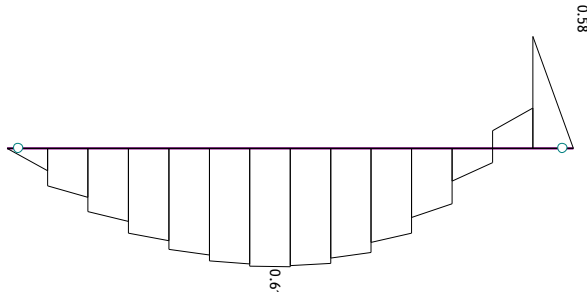
Med = 0.00 kNm [Mxy]

Ned = 0.00 kN

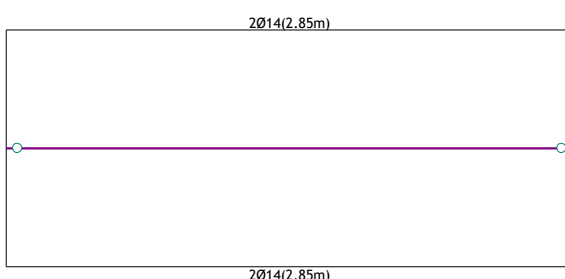
[Mxy] M1=18.26 M2=19.70 Mxy=-0.04 [kNm]

Ag2 = 0.00  $\text{cm}^2/\text{m}$

Mjerodavno opterećenje: Kompletna shema  
EC 2 (EN 1992-1-1:2004), C 25, S500H



Odabrana armatura  
EC 2 (EN 1992-1-1:2004), C 25, S500H



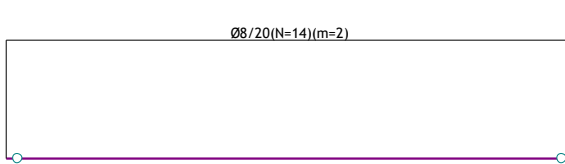
Armatura u gredama: max Aa2/Aa1 = 0.58 / 0.62 cm<sup>2</sup>

Mjerodavno opterećenje: Kompletna shema  
EC 2 (EN 1992-1-1:2004), C 25, S500H



Armatura u gredama (odabrana): Aa2/Aa1

Odabrana armatura  
EC 2 (EN 1992-1-1:2004), C 25, S500H



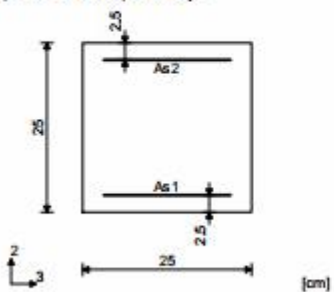
Armatura u gredama: max Asw = 1.57 cm<sup>2</sup>

Armatura u gredama (odabrana): Asw

#### Greda 873-1601

EC 2 (EN 1992-1-1:2004)  
C 25 ( $\gamma_C = 1.50$ ,  $\gamma_S = 1.15$ ) [SP]  
S500H

Kompletna shema opterećenja



#### Presjek 1-1 x = 1.43m

Mjerodavna kombinacija za savijanje:  
 $1.35xI+1.50xII+1.35xIII+0.75xIV$   
 $+0.90xV$   
N1ed = 0.00 kN  
M2ed = 0.00 kNm  
M3ed = 5.92 kNm

Mjerodavna kombinacija za posmik:

$1.35xI+1.00xIII$   
V2ed = 0.15 kN  
V3ed = 0.00 kN  
M1ed = 0.00 kNm  
Vrd,max,2 = 227.81 kN  
Vrd,max,3 = 227.81 kN  
 $\epsilon_b/\epsilon_a = -1.407/25.000 \%$   
As1 = 0.62 cm<sup>2</sup>  
As2 = 0.00 cm<sup>2</sup>  
As3 = 0.00 cm<sup>2</sup>  
As4 = 0.00 cm<sup>2</sup>  
Asw = 0.00 cm<sup>2</sup>/m (m=2)

#### Presjek 2-2 x = 2.65m

Mjerodavna kombinacija za savijanje:  
 $1.35xI+1.50xII+1.35xIII+0.75xIV$   
 $+0.90xV$   
N1ed = 0.00 kN  
M2ed = 0.00 kNm  
M3ed = -5.59 kNm

Mjerodavna kombinacija za posmik:

$1.35xI+1.50xII+1.35xIII+0.75xIV$   
 $+0.90xV$   
V2ed = -27.64 kN  
V3ed = 0.00 kN  
M1ed = 0.01 kNm  
Vrd,max,2 = 227.81 kN  
Vrd,max,3 = 227.81 kN  
 $\epsilon_b/\epsilon_a = -1.359/25.000 \%$   
As1 = 0.00 cm<sup>2</sup>  
As2 = 0.58 cm<sup>2</sup>  
As3 = 0.00 cm<sup>2</sup>  
As4 = 0.00 cm<sup>2</sup>  
Asw = 1.57 cm<sup>2</sup>/m (m=2)

# POZICIJA: PLOČA 201, GREDA 251

## POLOŽAJ OPTEREĆENJA I KONSTRUKCIJA

### Ulagni podaci - Konstrukcija

Tabela materijala

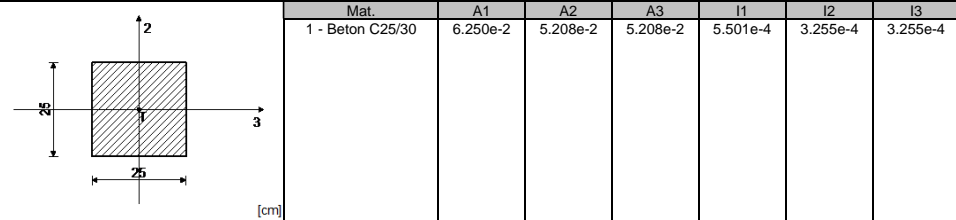
| No | Naziv materijala | E[kN/m <sup>2</sup> ] | $\mu$ | $\gamma[\text{kN/m}^3]$ | $a[\text{t/C}]$ | E <sub>m</sub> [kN/m <sup>2</sup> ] | $\mu_m$ |
|----|------------------|-----------------------|-------|-------------------------|-----------------|-------------------------------------|---------|
| 1  | Beton C25/30     | 3.100e+7              | 0.20  | 25.00                   | 1.000e-5        | 3.100e+7                            | 0.20    |

Setovi ploča

| No  | d[m]  | e[m]  | Materijal | Tip proračuna | Ortotropija | E <sub>2</sub> [kN/m <sup>2</sup> ] | G[kN/m <sup>2</sup> ] | $\alpha$ |
|-----|-------|-------|-----------|---------------|-------------|-------------------------------------|-----------------------|----------|
| <1> | 0.180 | 0.090 | 1         | Tanka ploča   | Izotropna   |                                     |                       |          |

Setovi greda

Set: 1 Presjek: b/d=25/25, Fiktivna ekscentričnost

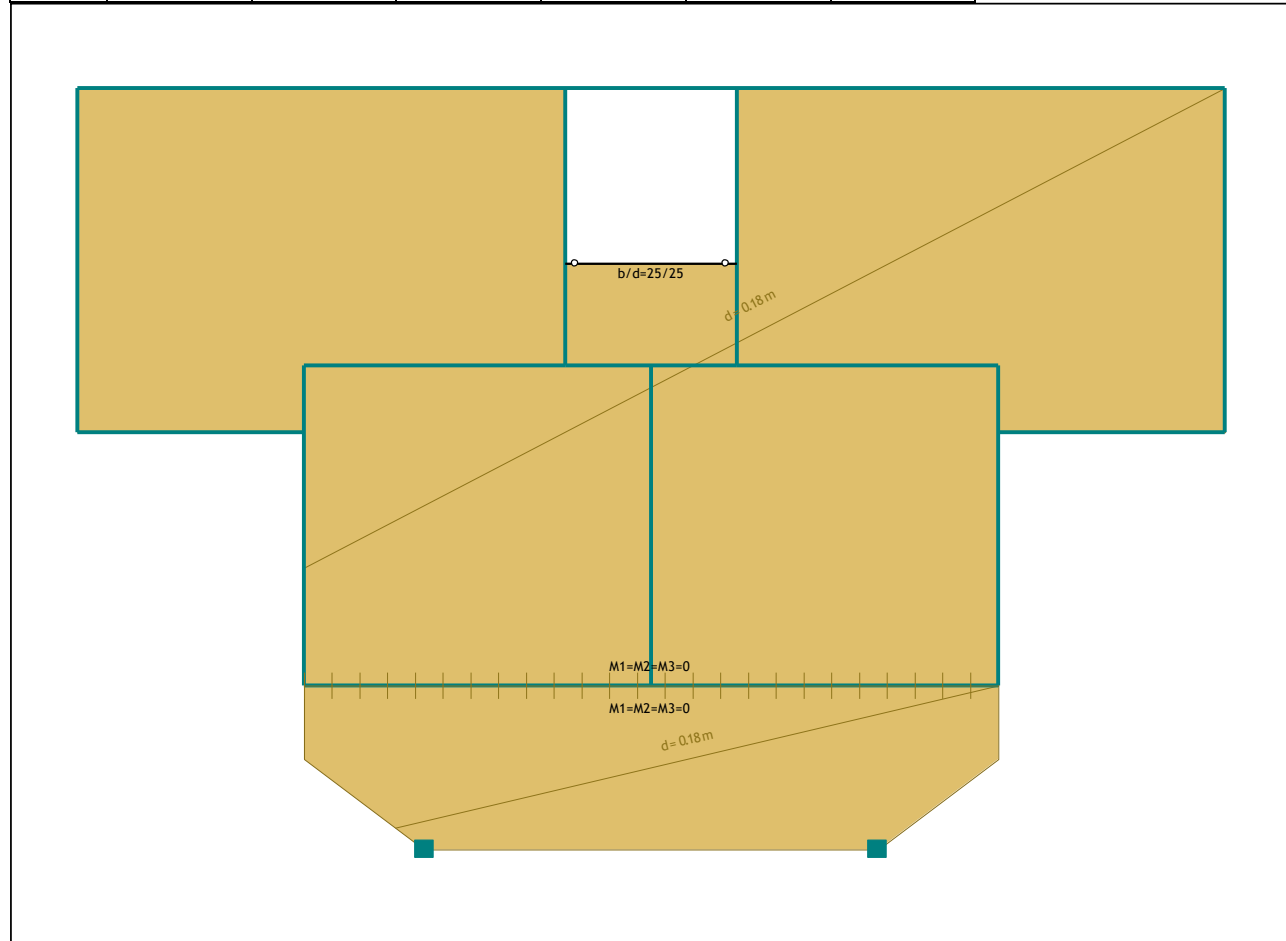


Setovi linijskih ležajeva

| Set | K,R1      | K,R2      | K,R3      | K,M1 | Tlo [m] |
|-----|-----------|-----------|-----------|------|---------|
| 1   | 1.000e+10 | 1.000e+10 | 1.000e+10 |      |         |
| 2   | 1.000e+10 | 1.000e+10 | 1.000e+10 |      |         |

Setovi točkastih ležajeva

| Set | K,R1      | K,R2      | K,R3      | K,M1 | K,M2 | K,M3 |
|-----|-----------|-----------|-----------|------|------|------|
| 1   | 1.000e+10 | 1.000e+10 | 1.000e+10 |      |      |      |

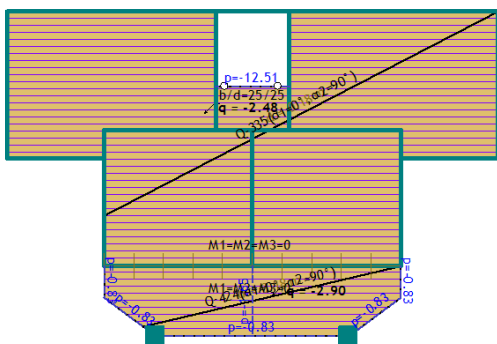


## Ulagni podaci - Opterećenje

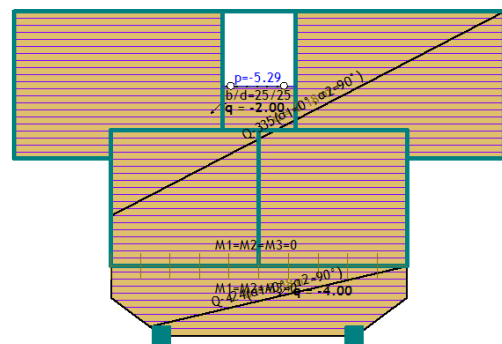
Lista slučajeva opterećenja

| LC | Naziv                | pX [kN] | pY [kN] | pZ [kN]  |
|----|----------------------|---------|---------|----------|
| 1  | Stalno (g)           | 0.00    | 0.00    | -1129.95 |
| 2  | Uporabno             | 0.00    | 0.00    | -368.56  |
| 3  | Komb.: 1.35xI+1.5xII | 0.00    | 0.00    | -2078.27 |
| 4  | Komb.: I+II          | 0.00    | 0.00    | -1498.51 |

Opt. 1: Stalno (g)

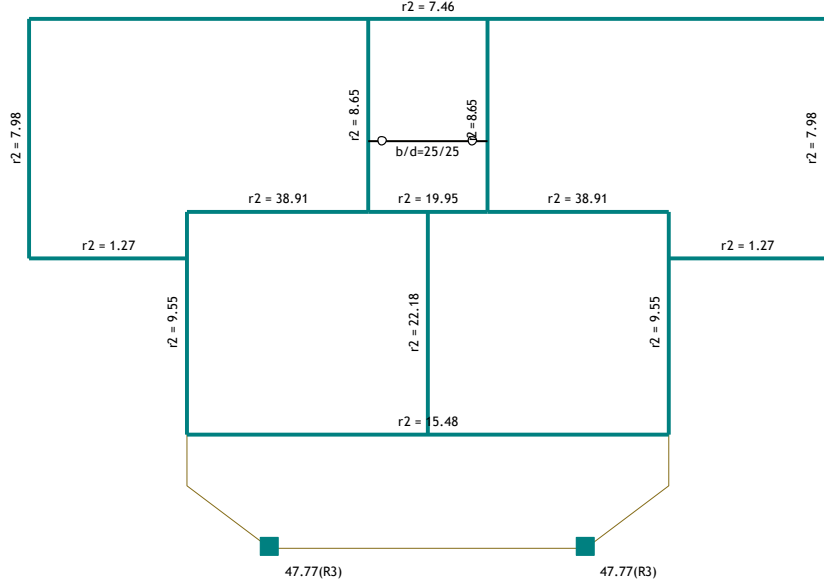


Opt. 2: Uporabno



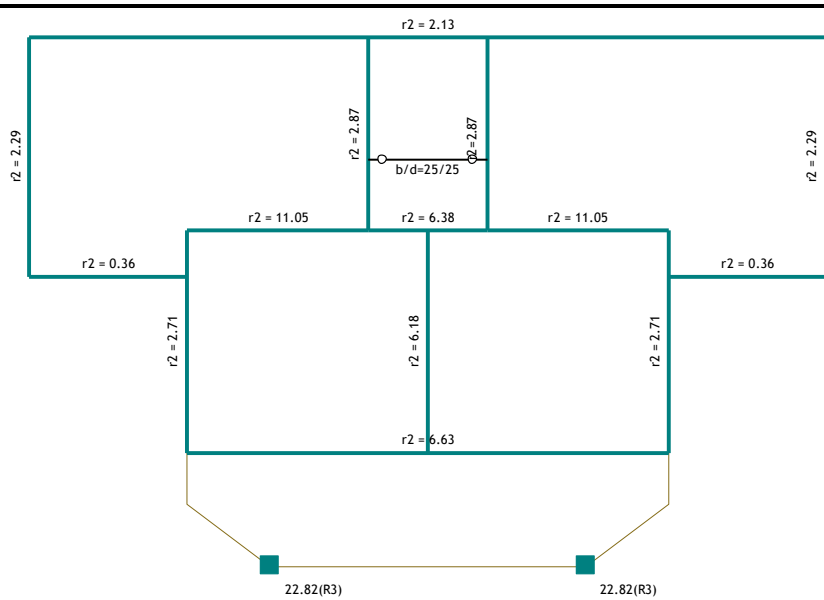
## STATIČKI PRORAČUN

Opt. 1: Stalno (g)



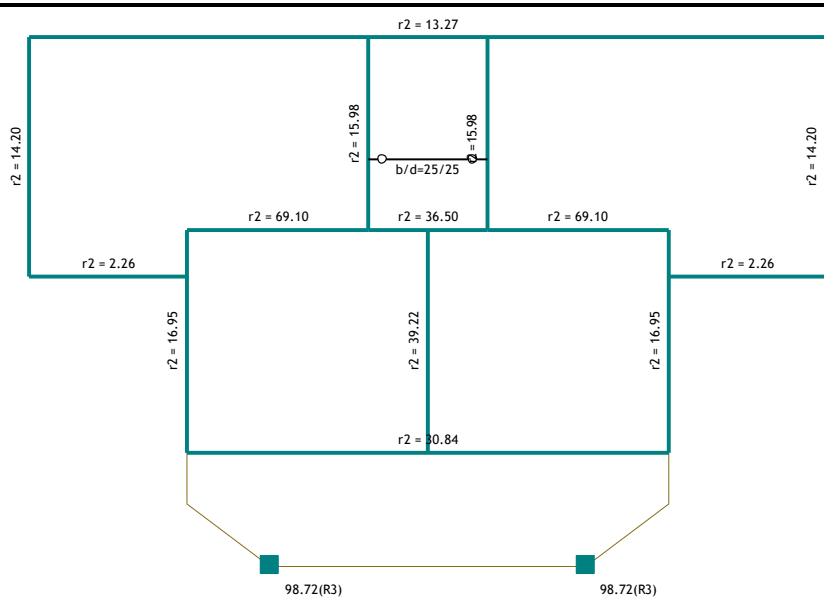
Reakcije ležajeva

Opt. 2: Uporabno

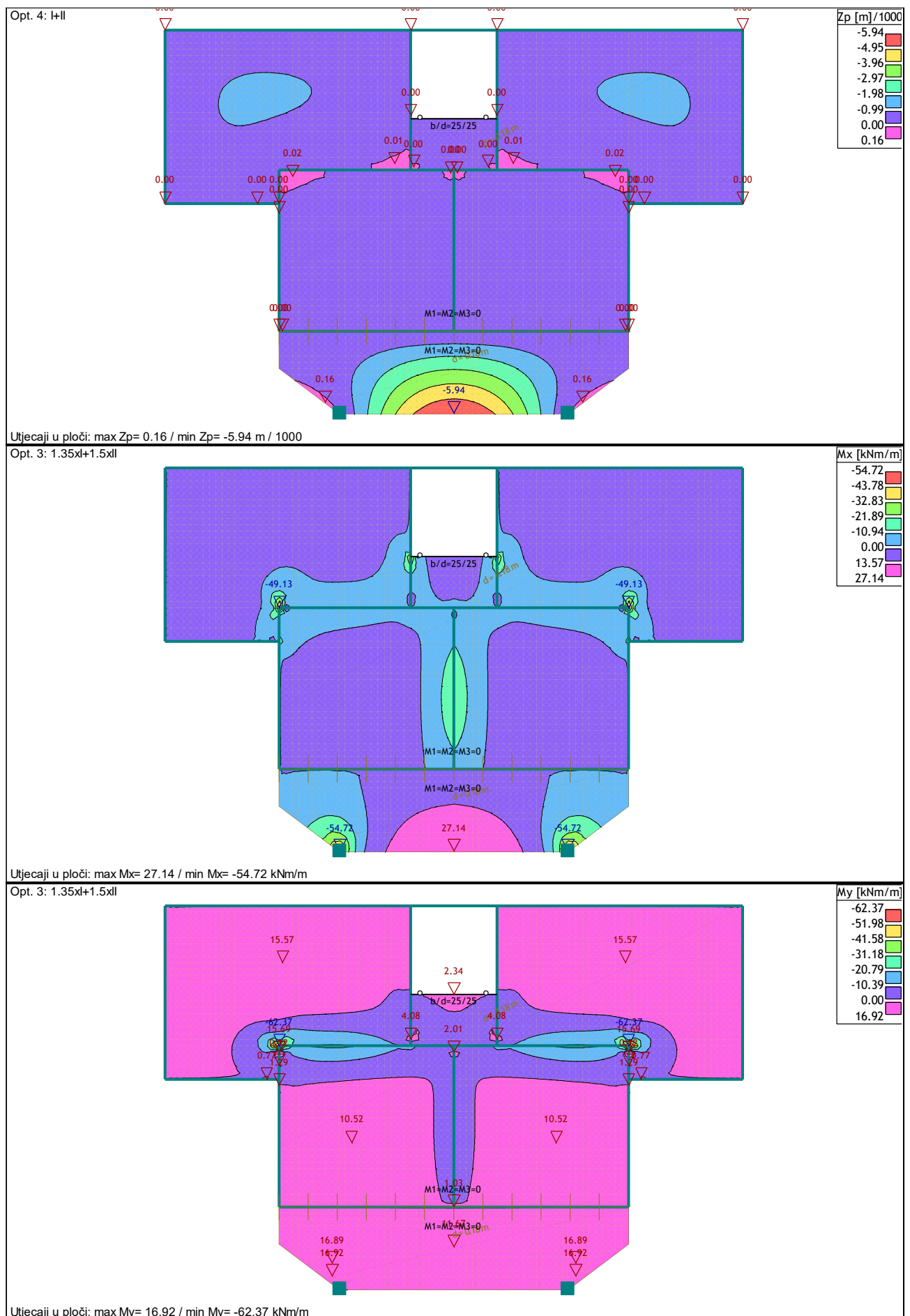


Reakcije ležajeva

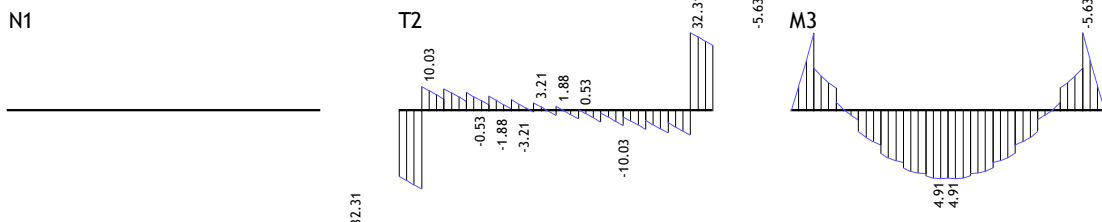
Opt. 3:  $1.35x_{l1}+1.5x_{ll}$



Reakcije ležajeva



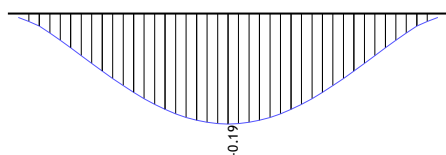
Opt. 3:  $1.35x + 1.5xII$



Utjecaji u gredi: (2721-3192)  
N1 [kN], T2 [kN], M3 [kNm]

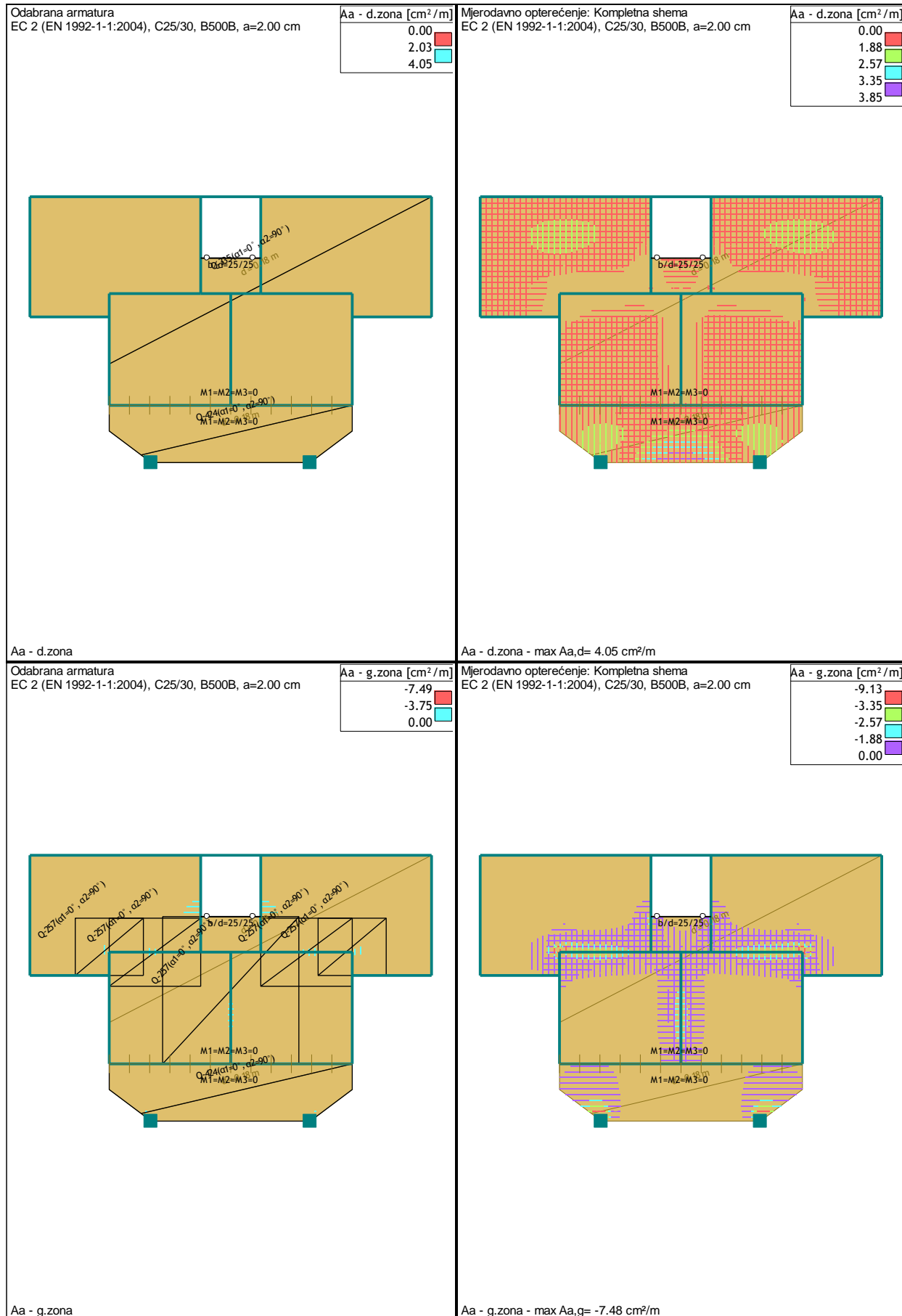
Opt. 4: I+II

u2



Utjecaji u gredi: (2721-3192)  
u2 [m/1000]

## DIMENZIONIRANJE



**Nivo: [0,00 m]**  
 EC 2 (EN 1992-1-1:2004)  
 d,pl=18.0 cm  
 C25/30 (yC = 1.50, yS = 1.15) [SP]  
 Gornja zona: B500B (a=2.0 cm)  
 Donja zona: B500B (a=2.0 cm)  
 Kompletna shema opterećenja

**Točka 1**  
 $X=8.66 \text{ m}; Y=-5.24 \text{ m}; Z=0.00 \text{ m}$   
 Pravac 1: ( $\alpha=0^\circ$ )  
 Mjerodavna kombinacija:  
 $1.35xI+1.50xII$   
 Med = 16.27 kNm  
 Ned = 0.00 kN  
 $eb/ea = -1.500/20.000 \%$   
 Ag1 = 0.00 cm<sup>2</sup>/m  
 Ad1 = 2.40 cm<sup>2</sup>/m  
 Odabran (gornja zona): Q-424 Ø9/15 (4.24 cm<sup>2</sup>/m)  
 Odabran (donja zona): Q-424 Ø9/15 (4.24 cm<sup>2</sup>/m)  
 Postotak armiranja: 0.47%

Pravac 2: ( $\alpha=90^\circ$ )  
 Mjerodavna kombinacija:  
 $1.35xI+1.50xII$   
 Med = 11.66 kNm  
 Ned = 0.00 kN  
 $eb/ea = -1.221/20.000 \%$   
 Ag2 = 0.00 cm<sup>2</sup>/m  
 Ad2 = 1.71 cm<sup>2</sup>/m  
 Odabran (gornja zona): Q-424 Ø9/15 (4.24 cm<sup>2</sup>/m)  
 Odabran (donja zona): Q-424 Ø9/15 (4.24 cm<sup>2</sup>/m)  
 Postotak armiranja: 0.47%

**Točka 12**  
 $X=12.59 \text{ m}; Y=-5.83 \text{ m}; Z=0.00 \text{ m}$   
 Pravac 1: ( $\alpha=0^\circ$ )  
 Mjerodavna kombinacija:  
 $1.35xI+1.50xII$   
 Med = -22.60 kNm  
 Ned = 0.00 kN  
 $eb/ea = -1.865/20.000 \%$   
 Ag1 = 3.35 cm<sup>2</sup>/m  
 Ad1 = 0.00 cm<sup>2</sup>/m  
 Odabran (gornja zona): Q-424 Ø9/15 (4.24 cm<sup>2</sup>/m)  
 Odabran (donja zona): Q-424 Ø9/15 (4.24 cm<sup>2</sup>/m)  
 Postotak armiranja: 0.47%

Pravac 2: ( $\alpha=90^\circ$ )  
 Mjerodavna kombinacija:  
 $1.35xI+1.50xII$   
 Med = 16.65 kNm  
 Ned = 0.00 kN  
 $eb/ea = -1.521/20.000 \%$   
 Ag2 = 0.00 cm<sup>2</sup>/m  
 Ad2 = 2.46 cm<sup>2</sup>/m  
 Odabran (gornja zona): Q-424 Ø9/15 (4.24 cm<sup>2</sup>/m)  
 Odabran (donja zona): Q-424 Ø9/15 (4.24 cm<sup>2</sup>/m)  
 Postotak armiranja: 0.47%

**Točka 13**  
 $X=5.11 \text{ m}; Y=-5.83 \text{ m}; Z=0.00 \text{ m}$   
 Pravac 1: ( $\alpha=0^\circ$ )  
 Mjerodavna kombinacija:  
 $1.35xI+1.50xII$   
 Med = -22.60 kNm  
 Ned = 0.00 kN  
 $eb/ea = -1.865/20.000 \%$   
 Ag1 = 3.35 cm<sup>2</sup>/m  
 Ad1 = 0.00 cm<sup>2</sup>/m  
 Odabran (gornja zona): Q-424 Ø9/15 (4.24 cm<sup>2</sup>/m)  
 Odabran (donja zona): Q-424 Ø9/15 (4.24 cm<sup>2</sup>/m)  
 Postotak armiranja: 0.47%

Pravac 2: ( $\alpha=90^\circ$ )  
 Mjerodavna kombinacija:  
 $1.35xI+1.50xII$   
 Med = 16.65 kNm  
 Ned = 0.00 kN  
 $eb/ea = -1.521/20.000 \%$   
 Ag2 = 0.00 cm<sup>2</sup>/m  
 Ad2 = 2.46 cm<sup>2</sup>/m  
 Odabran (gornja zona): Q-424 Ø9/15 (4.24 cm<sup>2</sup>/m)  
 Odabran (donja zona): Q-424 Ø9/15 (4.24 cm<sup>2</sup>/m)  
 Postotak armiranja: 0.47%

EC 2 (EN 1992-1-1:2004)  
 d,pl=18.0 cm  
 C25/30 (yC = 1.50, yS = 1.15) [SP]  
 Gornja zona: B500B (a=2.0 cm)  
 Donja zona: B500B (a=2.0 cm)  
 Kompletna shema opterećenja

**Točka 2**  
 $X=11.99 \text{ m}; Y=-1.95 \text{ m}; Z=0.00 \text{ m}$   
 Pravac 1: ( $\alpha=0^\circ$ )  
 Mjerodavna kombinacija:  
 $1.35xI+1.50xII$   
 Med = 9.03 kNm  
 Ned = 0.00 kN  
 $eb/ea = -1.050/20.000 \%$   
 Ag1 = 0.00 cm<sup>2</sup>/m  
 Ad1 = 1.32 cm<sup>2</sup>/m  
 Odabran (donja zona): Q-335 Ø8/15 (3.35 cm<sup>2</sup>/m)  
 Postotak armiranja: 0.19%

Pravac 2: ( $\alpha=90^\circ$ )  
 Mjerodavna kombinacija:  
 $1.35xI+1.50xII$   
 Med = 10.52 kNm  
 Ned = 0.00 kN  
 $eb/ea = -1.148/20.000 \%$   
 Ag2 = 0.00 cm<sup>2</sup>/m  
 Ad2 = 1.54 cm<sup>2</sup>/m  
 Odabran (donja zona): Q-335 Ø8/15 (3.35 cm<sup>2</sup>/m)  
 Postotak armiranja: 0.19%

Pravac 2: ( $\alpha=90^\circ$ )  
 Mjerodavna kombinacija:  
 $1.35xI+1.50xII$   
 Med = 8.82 kNm  
 Ned = 0.00 kN  
 $eb/ea = -1.036/20.000 \%$   
 Ag1 = 0.00 cm<sup>2</sup>/m  
 Ad1 = 1.29 cm<sup>2</sup>/m  
 Odabran (donja zona): Q-335 Ø8/15 (3.35 cm<sup>2</sup>/m)  
 Postotak armiranja: 0.19%

Pravac 2: ( $\alpha=90^\circ$ )  
 Mjerodavna kombinacija:  
 $1.35xI+1.50xII$   
 Med = 10.48 kNm  
 Ned = 0.00 kN  
 $eb/ea = -1.146/20.000 \%$   
 Ag2 = 0.00 cm<sup>2</sup>/m  
 Ad2 = 1.53 cm<sup>2</sup>/m  
 Odabran (donja zona): Q-335 Ø8/15 (3.35 cm<sup>2</sup>/m)  
 Postotak armiranja: 0.19%

Pravac 2: ( $\alpha=90^\circ$ )  
 Mjerodavna kombinacija:  
 $1.35xI+1.50xII$   
 Med = 9.82 kNm  
 Ned = 0.00 kN  
 $eb/ea = -1.103/20.000 \%$   
 Ag1 = 0.00 cm<sup>2</sup>/m  
 Ad1 = 1.44 cm<sup>2</sup>/m  
 Odabran (donja zona): Q-335 Ø8/15 (3.35 cm<sup>2</sup>/m)  
 Postotak armiranja: 0.19%

Pravac 2: ( $\alpha=90^\circ$ )  
 Mjerodavna kombinacija:  
 $1.35xI+1.50xII$

Med = 11.32 kNm  
 Ned = 0.00 kN  
 $eb/ea = -1.200/20.000 \%$   
 Ag2 = 0.00 cm<sup>2</sup>/m  
 Ad2 = 1.66 cm<sup>2</sup>/m  
 Odabran (donja zona): Q-335 Ø8/15 (3.35 cm<sup>2</sup>/m)  
 Postotak armiranja: 0.19%

**Točka 5**  
 $X=3.90 \text{ m}; Y=3.56 \text{ m}; Z=0.00 \text{ m}$

Pravac 1: ( $\alpha=0^\circ$ )  
 Mjerodavna kombinacija:  
 $1.35xI+1.50xII$

Med = 4.95 kNm  
 Ned = 0.00 kN  
 $eb/ea = -0.748/20.000 \%$   
 Ag1 = 0.00 cm<sup>2</sup>/m  
 Ad1 = 0.72 cm<sup>2</sup>/m  
 Odabran (donja zona): Q-335 Ø8/15 (3.35 cm<sup>2</sup>/m)  
 Postotak armiranja: 0.19%

Pravac 2: ( $\alpha=90^\circ$ )  
 Mjerodavna kombinacija:  
 $1.35xI+1.50xII$

Med = 15.46 kNm  
 Ned = 0.00 kN  
 $eb/ea = -1.451/20.000 \%$   
 Ag2 = 0.00 cm<sup>2</sup>/m  
 Ad2 = 2.28 cm<sup>2</sup>/m  
 Odabran (donja zona): Q-335 Ø8/15 (3.35 cm<sup>2</sup>/m)  
 Postotak armiranja: 0.19%

Pravac 2: ( $\alpha=90^\circ$ )  
 Mjerodavna kombinacija:  
 $1.35xI+1.50xII$

Med = 15.46 kNm  
 Ned = 0.00 kN  
 $eb/ea = -1.451/20.000 \%$   
 Ag2 = 0.00 cm<sup>2</sup>/m  
 Ad2 = 2.28 cm<sup>2</sup>/m  
 Odabran (donja zona): Q-335 Ø8/15 (3.35 cm<sup>2</sup>/m)  
 Postotak armiranja: 0.19%

**Točka 6**  
 $X=13.80 \text{ m}; Y=3.75 \text{ m}; Z=0.00 \text{ m}$

Pravac 1: ( $\alpha=0^\circ$ )  
 Mjerodavna kombinacija:  
 $1.35xI+1.50xII$   
 Med = 4.98 kNm  
 Ned = 0.00 kN  
 $eb/ea = -0.750/20.000 \%$   
 Ag1 = 0.00 cm<sup>2</sup>/m  
 Ad1 = 0.73 cm<sup>2</sup>/m  
 Odabran (donja zona): Q-335 Ø8/15 (3.35 cm<sup>2</sup>/m)  
 Postotak armiranja: 0.19%

Pravac 2: ( $\alpha=90^\circ$ )  
 Mjerodavna kombinacija:  
 $1.35xI+1.50xII$   
 Med = 15.29 kNm  
 Ned = 0.00 kN  
 $eb/ea = -1.442/20.000 \%$   
 Ag2 = 0.00 cm<sup>2</sup>/m  
 Ad2 = 2.25 cm<sup>2</sup>/m  
 Odabran (donja zona): Q-335 Ø8/15 (3.35 cm<sup>2</sup>/m)  
 Postotak armiranja: 0.19%

**Točka 7**  
 $X=14.98 \text{ m}; Y=2.98 \text{ m}; Z=0.00 \text{ m}$   
 Pravac 1: ( $\alpha=0^\circ$ )  
 Mjerodavna kombinacija:  
 $1.35xI+1.50xII$   
 Med = 7.17 kNm  
 Ned = 0.00 kN  
 $eb/ea = -0.920/20.000 \%$   
 Ag1 = 0.00 cm<sup>2</sup>/m  
 Ad1 = 1.05 cm<sup>2</sup>/m  
 Odabran (donja zona): Q-335 Ø8/15 (3.35 cm<sup>2</sup>/m)  
 Postotak armiranja: 0.19%

Pravac 2: ( $\alpha=90^\circ$ )  
 Mjerodavna kombinacija:  
 $1.35xI+1.50xII$   
 Med = 13.36 kNm  
 Ned = 0.00 kN  
 $eb/ea = -1.326/20.000 \%$   
 Ag2 = 0.00 cm<sup>2</sup>/m  
 Ad2 = 1.96 cm<sup>2</sup>/m  
 Odabran (donja zona): Q-335 Ø8/15 (3.35 cm<sup>2</sup>/m)  
 Postotak armiranja: 0.19%

**Točka 8**  
 $X=13.40 \text{ m}; Y=0.61 \text{ m}; Z=0.00 \text{ m}$   
 Pravac 1: ( $\alpha=0^\circ$ )  
 Mjerodavna kombinacija:  
 $1.35xI+1.50xII$   
 Med = -3.18 kNm  
 Ned = 0.00 kN  
 $eb/ea = -0.587/20.000 \%$   
 Ag1 = 0.46 cm<sup>2</sup>/m  
 Ad1 = 0.00 cm<sup>2</sup>/m  
 Odabran (gornja zona): Q-257 Ø7/15 (2.57 cm<sup>2</sup>/m)  
 Odabran (donja zona): Q-257 Ø7/15 (2.57 cm<sup>2</sup>/m)  
 Postotak armiranja: 0.47%

Pravac 2: ( $\alpha=90^\circ$ )  
 Mjerodavna kombinacija:  
 $1.35xI+1.50xII$   
 Med = -10.31 kNm  
 Ned = 0.00 kN  
 $eb/ea = -1.135/20.000 \%$   
 Ag2 = 1.51 cm<sup>2</sup>/m  
 Ad2 = 0.00 cm<sup>2</sup>/m  
 Odabran (gornja zona): Q-257 Ø7/15 (2.57 cm<sup>2</sup>/m)  
 Odabran (donja zona): Q-335 Ø8/15 (3.35 cm<sup>2</sup>/m)  
 Postotak armiranja: 0.47%

**Točka 9**  
 $X=4.91 \text{ m}; Y=0.61 \text{ m}; Z=0.00 \text{ m}$   
 Pravac 1: ( $\alpha=0^\circ$ )  
 Mjerodavna kombinacija:  
 $1.35xI+1.50xII$   
 Med = -2.07 kNm  
 Ned = 0.00 kN  
 $eb/ea = -0.467/20.000 \%$   
 Ag1 = 0.30 cm<sup>2</sup>/m  
 Ad1 = 0.00 cm<sup>2</sup>/m  
 Odabran (gornja zona): Q-257 Ø7/15 (2.57 cm<sup>2</sup>/m)  
 Odabran (donja zona): Q-335 Ø8/15 (3.35 cm<sup>2</sup>/m)  
 Postotak armiranja: 0.47%

Pravac 2: ( $\alpha=90^\circ$ )  
 Mjerodavna kombinacija:  
 $1.35xI+1.50xII$   
 Med = -11.54 kNm  
 Ned = 0.00 kN  
 $eb/ea = -1.214/20.000 \%$   
 Ag2 = 1.69 cm<sup>2</sup>/m  
 Ad2 = 0.00 cm<sup>2</sup>/m  
 Odabran (gornja zona): Q-257 Ø7/15 (2.57 cm<sup>2</sup>/m)  
 Odabran (donja zona): Q-335 Ø8/15 (3.35 cm<sup>2</sup>/m)  
 Postotak armiranja: 0.47%

**Tocka 10**X=7.32 m; Y=1.81 m; Z=0.00 mPravac 1: ( $\alpha=0^\circ$ )

Mjerodavna kombinacija:

1.35xI+1.50xII

Med = -5.01 kNm

Ned = 0.00 kN

 $\epsilon_b/\epsilon_a = -0.753/20.000 \%$ Ag1 = 0.73 cm<sup>2</sup>/mAd1 = 0.00 cm<sup>2</sup>/m

Odabran (gornja zona):

Q-257 Ø7/15 (2.57 cm<sup>2</sup>/m)Q-257 Ø7/15 (2.57 cm<sup>2</sup>/m)

Odabran (donja zona):

Q-335 Ø8/15 (3.35 cm<sup>2</sup>/m)

Postotak armiranja: 0.47%

Postotak armiranja: 0.47%

**Pravac 2: ( $\alpha=90^\circ$ )**

Mjerodavna kombinacija:

1.35xI+1.50xII

Med = -1.32 kNm

Ned = 0.00 kN

 $\epsilon_b/\epsilon_a = -0.369/20.000 \%$ Ag2 = 0.19 cm<sup>2</sup>/mAd2 = 0.00 cm<sup>2</sup>/m

Odabran (gornja zona):

Q-257 Ø7/15 (2.57 cm<sup>2</sup>/m)Q-257 Ø7/15 (2.57 cm<sup>2</sup>/m)

Odabran (donja zona):

Q-335 Ø8/15 (3.35 cm<sup>2</sup>/m)

Postotak armiranja: 0.47%

**Pravac 2: ( $\alpha=90^\circ$ )**

Mjerodavna kombinacija:

1.35xI+1.50xII

Med = -3.17 kNm

Ned = 0.00 kN

 $\epsilon_b/\epsilon_a = -0.586/20.000 \%$ Ag2 = 0.46 cm<sup>2</sup>/mAd2 = 0.00 cm<sup>2</sup>/m

Odabran (gornja zona):

Q-257 Ø7/15 (2.57 cm<sup>2</sup>/m)

Odabran (donja zona):

Q-335 Ø8/15 (3.35 cm<sup>2</sup>/m)

Postotak armiranja: 0.33%

**Tocka 11**X=8.66 m; Y=-1.56 m; Z=0.00 mPravac 1: ( $\alpha=0^\circ$ )

Mjerodavna kombinacija:

1.35xI+1.50xII

Med = -16.13 kNm

Ned = 0.00 kN

 $\epsilon_b/\epsilon_a = -1.491/20.000 \%$ Ag1 = 2.38 cm<sup>2</sup>/mAd1 = 0.00 cm<sup>2</sup>/m

Odabran (gornja zona):

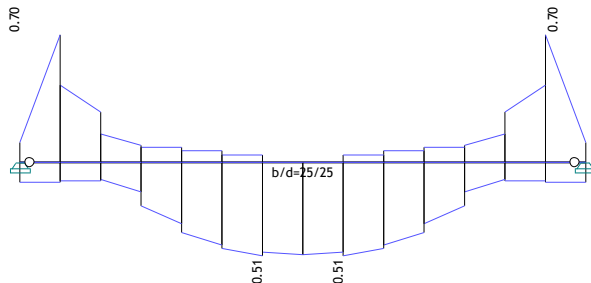
Q-257 Ø7/15 (2.57 cm<sup>2</sup>/m)

Odabran (donja zona):

Q-335 Ø8/15 (3.35 cm<sup>2</sup>/m)

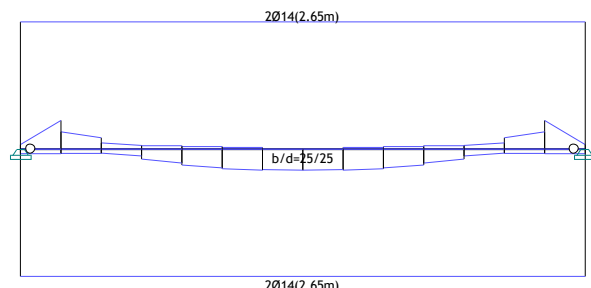
Postotak armiranja: 0.33%

Mjerodavno opterećenje: Kompletna shema  
EC 2 (EN 1992-1-1:2004), C25/30, B500B



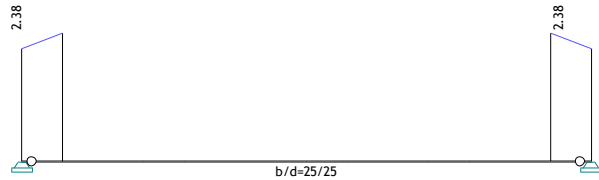
Armatura u gredama: max  $A_{a2}/A_{a1} = 0.70 / 0.51 \text{ cm}^2$

Odabrana armatura  
EC 2 (EN 1992-1-1:2004), C25/30, B500B



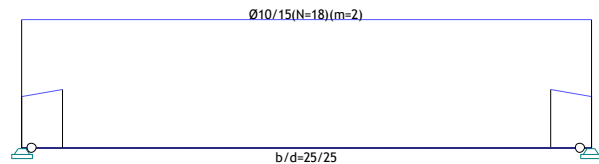
Armatura u gredama (odabrana):  $A_{a2}/A_{a1}$

Mjerodavno opterećenje: Kompletna shema  
EC 2 (EN 1992-1-1:2004), C25/30, B500B



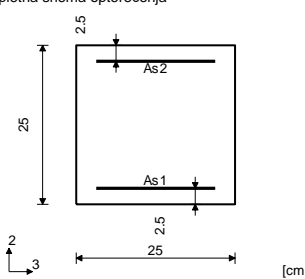
Armatura u gredama: max  $A_{sw} = 2.38 \text{ cm}^2$

Odabrana armatura  
EC 2 (EN 1992-1-1:2004), C25/30, B500B



Armatura u gredama (odabrana):  $A_{sw}$

**Greda 3192-2721**  
EC 2 (EN 1992-1-1:2004)  
C25/30 ( $\gamma_C = 1.50$ ,  $\gamma_S = 1.15$ ) [SP]  
B500B  
Kompletna shema opterećenja



Presiek 1-1  $x = 0.19\text{m}$

Mjerodavna kombinacija za savijanje:  
1.35x+1.50xII  
 $N_{1ed} = 0.00 \text{ kN}$   
 $M_{2ed} = 0.00 \text{ kNm}$   
 $M_{3ed} = -5.63 \text{ kNm}$

Mjerodavna kombinacija za torziju:

1.35x+1.50xII  
 $M_{1ed} = 1.67 \text{ kNm}$

Mjerodavna kombinacija za posmik:

1.35x+1.50xII  
 $V_{2ed} = 32.31 \text{ kN}$   
 $V_{3ed} = 0.00 \text{ kN}$   
 $M_{1ed} = 1.67 \text{ kNm}$   
  
 $V_{rd,max,2} = 227.81 \text{ kN}$   
 $V_{rd,max,3} = 227.81 \text{ kN}$   
 $\epsilon_b/\epsilon_a = -1.204/20.000 \%$   
 $A_{s1} = 0.00 + 0.11' = 0.11 \text{ cm}^2$   
 $A_{s2} = 0.59 + 0.11' = 0.70 \text{ cm}^2$   
 $A_{s3} = 0.00 + 0.11' = 0.11 \text{ cm}^2$   
 $A_{s4} = 0.00 + 0.11' = 0.11 \text{ cm}^2$   
 $A_{sw} = 2.38 \text{ cm}^2/\text{m} \quad (\text{m}=2)$

(') - dodatna uzdužna armatura za prihvrat torzije.

Presiek 2-2  $x = 1.14\text{m}$

Mjerodavna kombinacija za savijanje:  
1.35x+1.50xII  
 $N_{1ed} = 0.00 \text{ kN}$   
 $M_{2ed} = 0.00 \text{ kNm}$   
 $M_{3ed} = 4.52 \text{ kNm}$

Mjerodavna kombinacija za torziju:

1.35x+1.50xII  
 $M_{1ed} = 0.62 \text{ kNm}$

Mjerodavna kombinacija za posmik:

1.35x+1.50xII  
 $V_{2ed} = 0.53 \text{ kN}$   
 $V_{3ed} = 0.00 \text{ kN}$   
 $M_{1ed} = 0.62 \text{ kNm}$   
  
 $V_{rd,max,2} = 227.81 \text{ kN}$   
 $V_{rd,max,3} = 227.81 \text{ kN}$   
 $\epsilon_b/\epsilon_a = -1.057/20.000 \%$   
 $A_{s1} = 0.47 + 0.04' = 0.51 \text{ cm}^2$   
 $A_{s2} = 0.00 + 0.04' = 0.04 \text{ cm}^2$   
 $A_{s3} = 0.00 + 0.04' = 0.04 \text{ cm}^2$   
 $A_{s4} = 0.00 + 0.04' = 0.04 \text{ cm}^2$   
 $A_{sw} = 0.00 \text{ cm}^2/\text{m} \quad (\text{m}=2)$

## POZICIJA: PLOČA 101, GREDA 151, GREDA 152

### POLOŽAJ OPTEREĆENJA I KONSTRUKCIJA

Tabela materijala

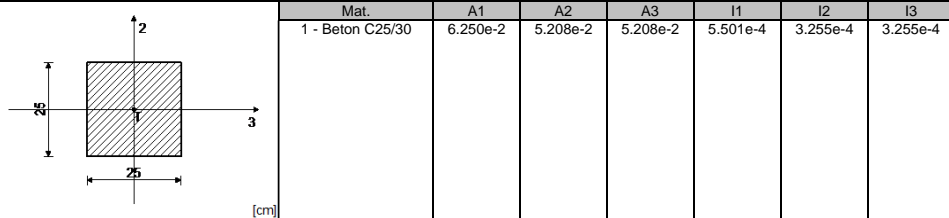
| No | Naziv materijala | E[kN/m <sup>2</sup> ] | $\mu$ | $\gamma[\text{kN/m}^3]$ | $a_t[1/C]$ | $E_m[\text{kN/m}^2]$ | $\mu_m$ |
|----|------------------|-----------------------|-------|-------------------------|------------|----------------------|---------|
| 1  | Beton C25/30     | 3.100e+7              | 0.20  | 25.00                   | 1.000e-5   | 3.100e+7             | 0.20    |

Setovi ploča

|     | d[m]  | e[m]  | Materijal | Tip proračuna | Ortrotropija | E2[kN/m <sup>2</sup> ] | G[kN/m <sup>2</sup> ] | $\alpha$ |
|-----|-------|-------|-----------|---------------|--------------|------------------------|-----------------------|----------|
| <1> | 0.150 | 0.075 | 1         | Tanka ploča   | Izotropna    |                        |                       |          |

Setovi greda

Set: 1 Presjek: b/d=25/25, Fiktivna ekscentričnost

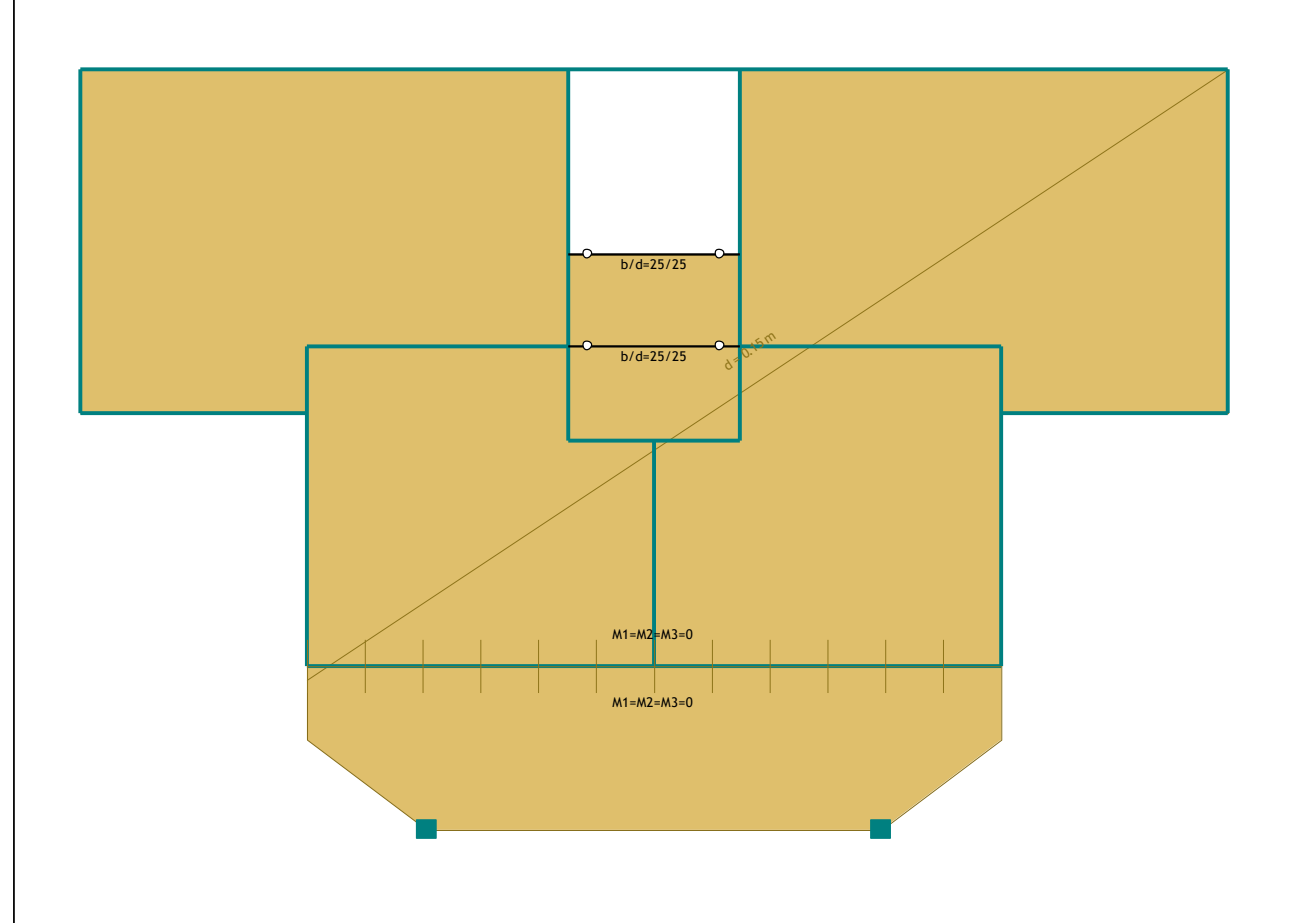


Setovi linijskih ležajeva

| Set | K,R1      | K,R2      | K,R3      | K,M1 | Tlo [m] |
|-----|-----------|-----------|-----------|------|---------|
| 1   | 1.000e+10 | 1.000e+10 | 1.000e+10 |      |         |
| 2   | 1.000e+10 | 1.000e+10 | 1.000e+10 |      |         |

Setovi točkastih ležajeva

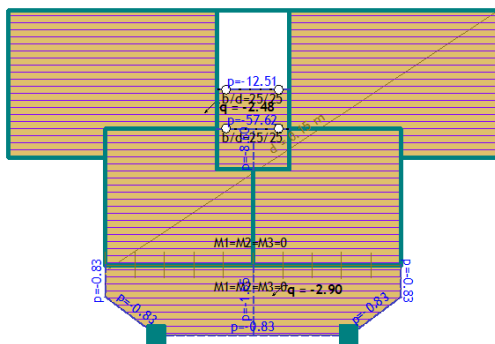
| Set | K,R1      | K,R2      | K,R3      | K,M1 | K,M2 | K,M3 |
|-----|-----------|-----------|-----------|------|------|------|
| 1   | 1.000e+10 | 1.000e+10 | 1.000e+10 |      |      |      |



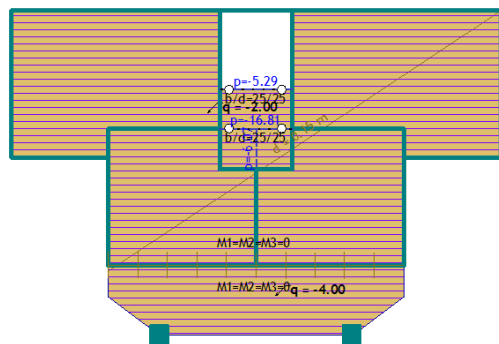
Lista slučajeva opterećenja

| LC | Naziv  | pX [kN] | pY [kN] | pZ [kN]  |
|----|--|---------|---------|----------|
| 1  | Stalno (g)   | 0.00    | 0.00    | -1182.22 |
| 2  | Uporabno   | 0.00    | 0.00    | -421.13  |
| 3  | Krov - stalno  | 0.00    | 0.00    | -10.44   |
| 4  | Krov - snijeg  | 0.00    | 0.00    | -10.63   |
| 5  | Krov - vjetar  | 0.00    | 0.00    | -2.52    |
| 6  | Komb.: I+II  | 0.00    | 0.00    | -2227.70 |
| 7  | Komb.: I+II  | 0.00    | 0.00    | -1603.35 |
| 8  | Komb.: 1.35xI+1.5xII+1.35xIII                                  | 0.00    | 0.00    | -2241.79 |
| 9  | Komb.: 1.35xI+1.5xII+1.35xIII+0.75xIV                          | 0.00    | 0.00    | -2249.76 |
| 10 | Komb.: 1.35xI+1.5xII+1.35xIII+0.9xV                            | 0.00    | 0.00    | -2244.06 |
| 11 | Komb.: 1.35xI+1.5xII+1.35xIII+0.9xV<br>+1.35xIII+0.75xIV+0.9xV | 0.00    | 0.00    | -2252.03 |
| 12 | Komb.: 1.35xI+1.05xII+1.35xIII                                 | 0.00    | 0.00    | -2052.28 |
| 13 | Komb.: 1.35xI+1.05xII+1.35xIII+<br>+0.75xIV                    | 0.00    | 0.00    | -2060.25 |
| 14 | Komb.: 1.35xI+1.05xII+1.35xIII+<br>+0.75xIV+1.5xV              | 0.00    | 0.00    | -2064.03 |
| 15 | Komb.: 1.35xI+1.5xII+1.35xIII                                  | 0.00    | 0.00    | -2241.79 |
| 16 | Komb.: I+II+III+0.5xIV+0.6xV                                   | 0.00    | 0.00    | -1620.62 |
| 17 | Komb.: I+0.7xII+III+0.5xIV+0.6xV                               | 0.00    | 0.00    | -1494.28 |
| 18 | Komb.: I+0.7xII+III+0.5xIV+V                                   | 0.00    | 0.00    | -1495.29 |

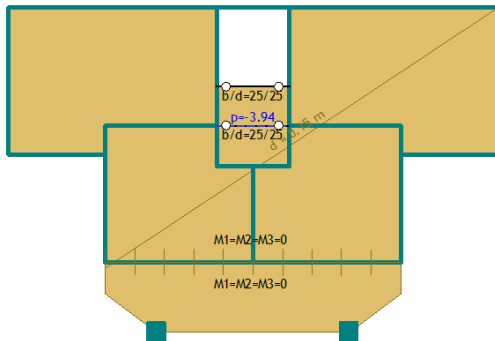
Opt. 1: Stalno (g)



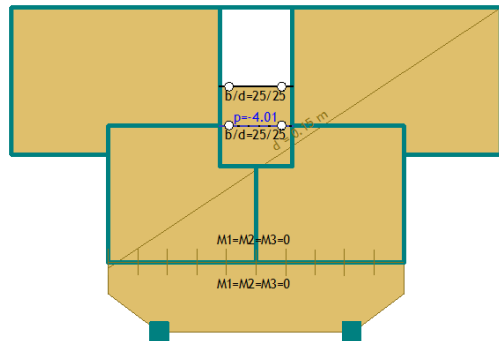
Opt. 2: Uporabno



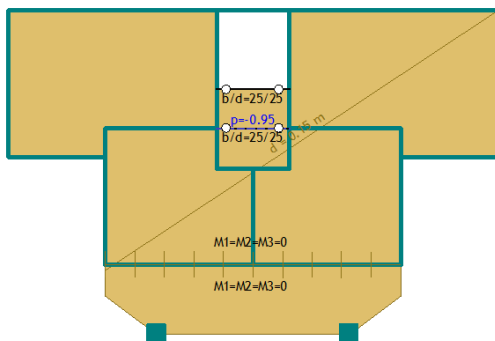
Opt. 3: Krov - stalno



Opt. 4: Krov - snijeg

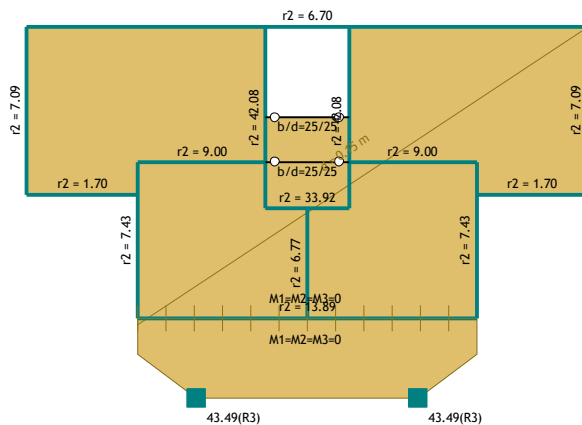


Opt. 5: Krov - vjetar

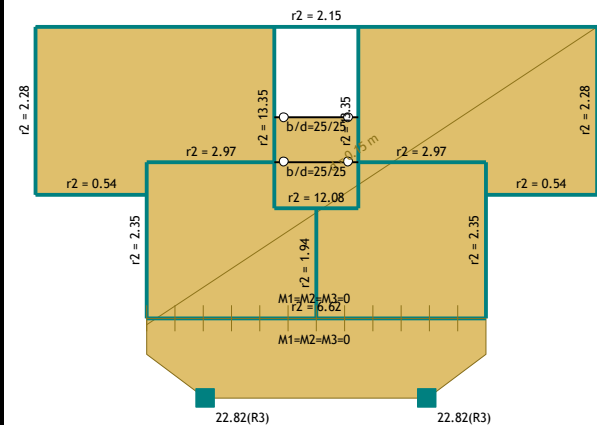


## STATIČKI PRORAČUN

Opt. 1: Stalno (g)

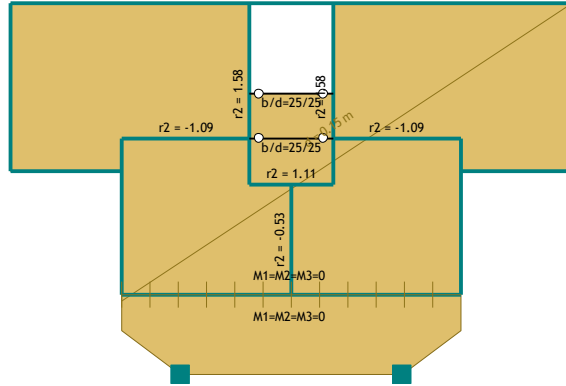


Opt. 2: Uporabno



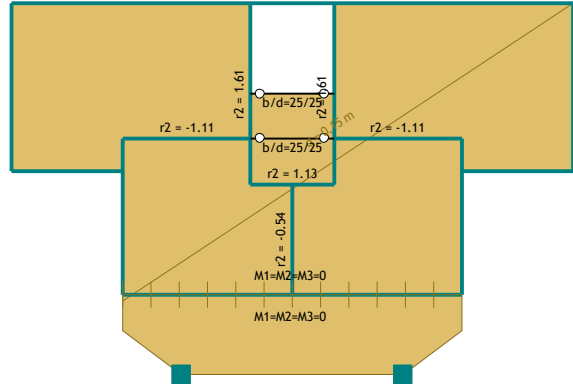
Reakcije ležajeva

Opt. 3: Krov - stalno



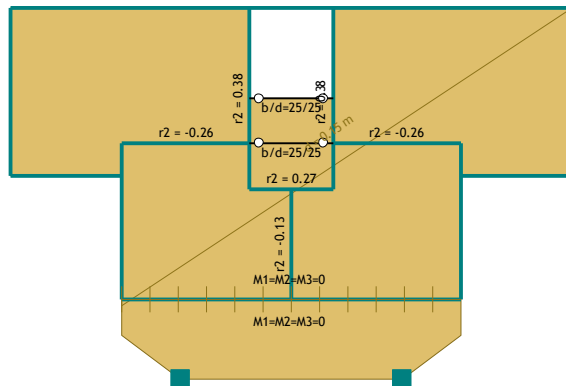
Reakcije ležajeva

Opt. 4: Krov - snieg



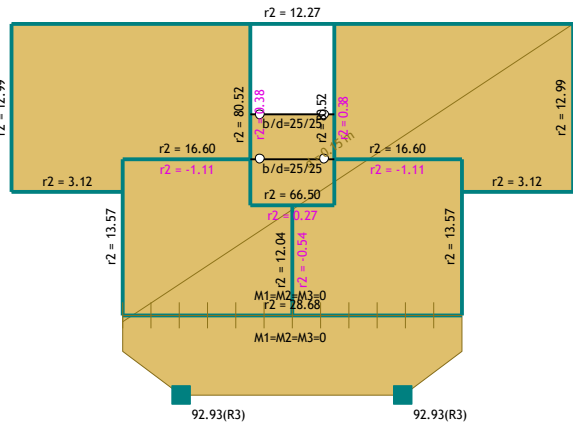
Reakcije ležajeva

Opt. 5: Krov - vjetar



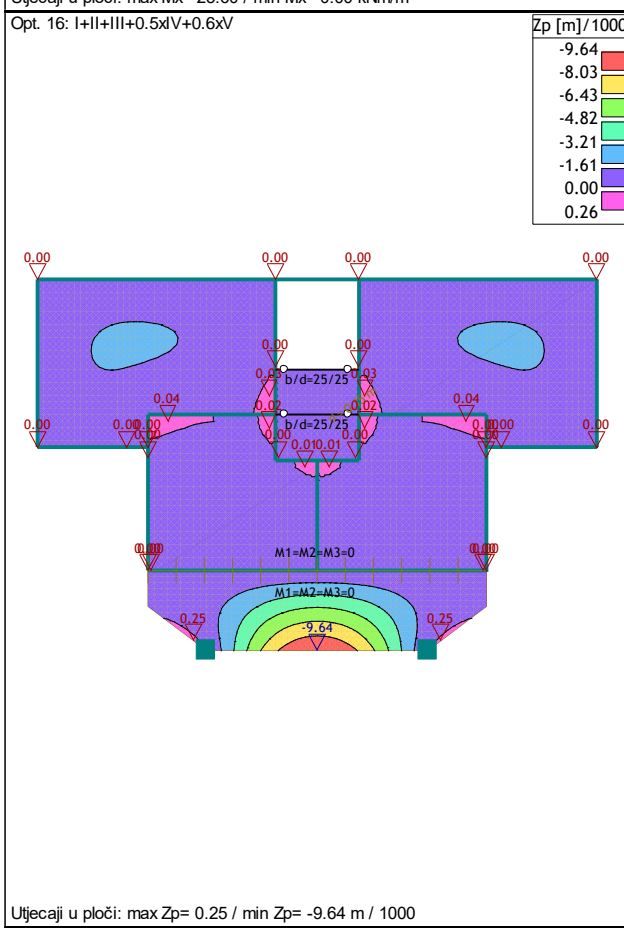
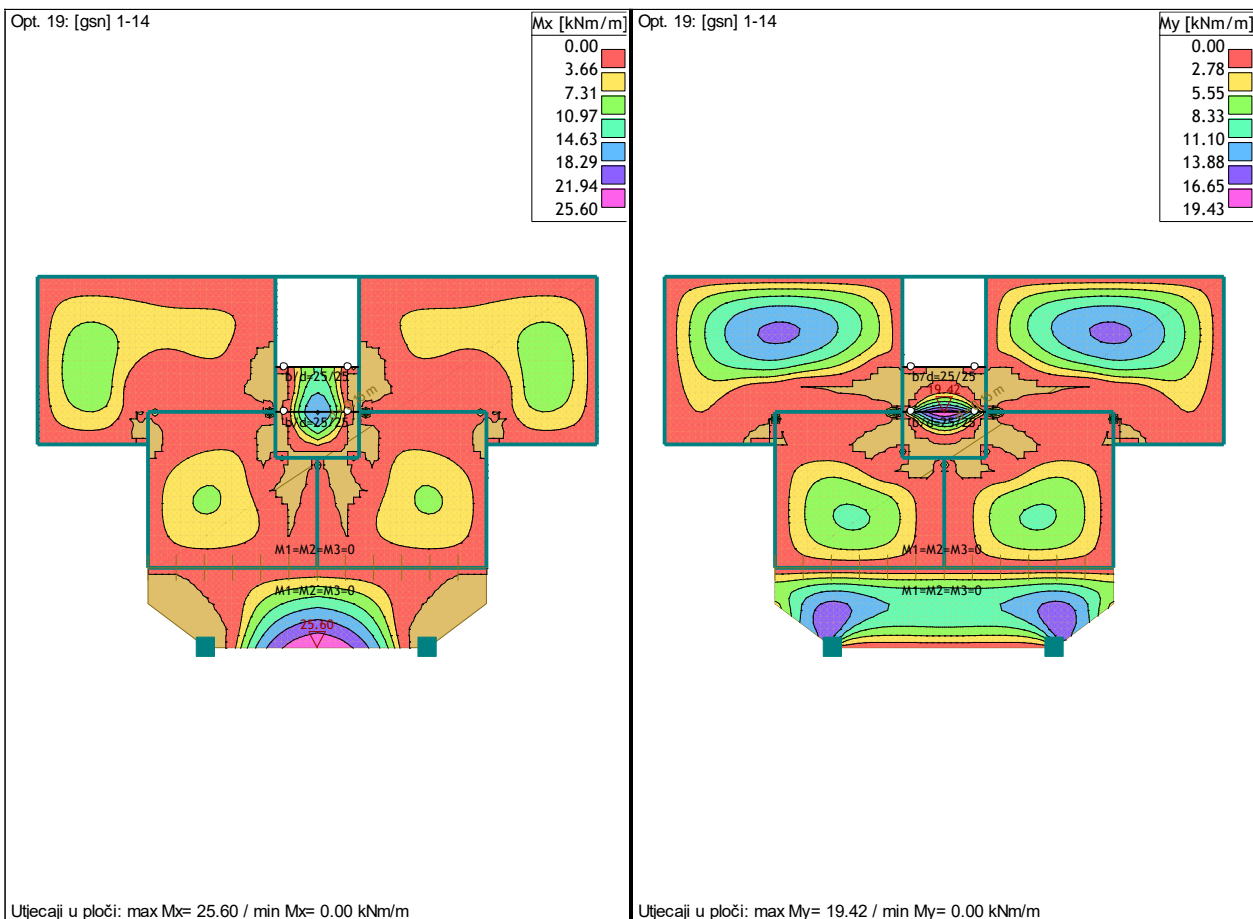
Reakcije ležajeva

Opt. 19: [gsn] 1-14

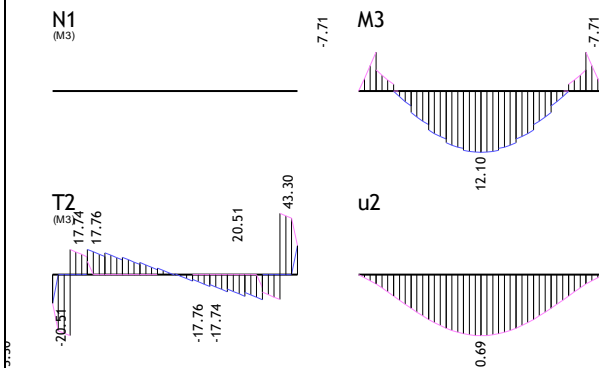


Reakcije ležajeva

Reakcije ležajeva



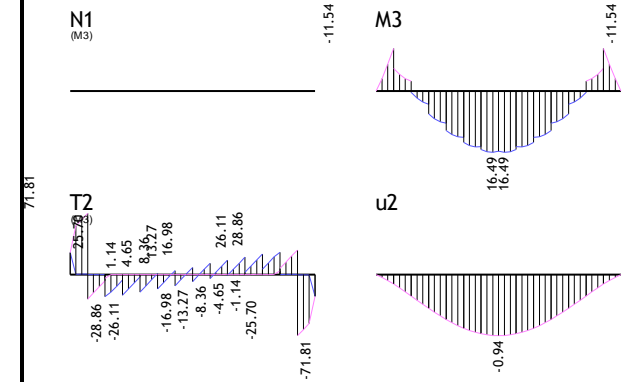
Opt. 19: [gsn] 1-14



Utjecaji u gredi: (2598-3083)  
N1 [kN], T2 [kN], M3 [kNm], u2 [m/1000]

Opt. 16: I+II+III+0.5xV+0.6xV

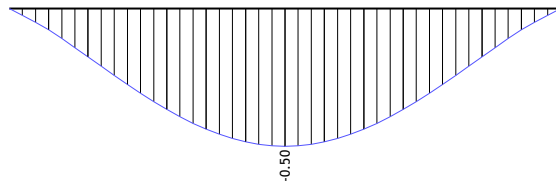
Opt. 19: [gsn] 1-14



Utjecaji u gredi: (2215-2866)  
N1 [kN], T2 [kN], M3 [kNm], u2 [m/1000]

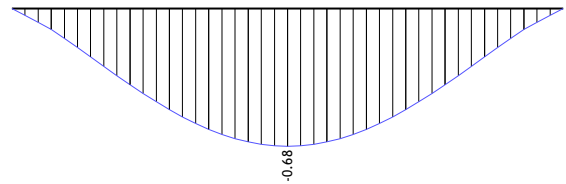
Opt. 16: I+II+III+0.5xV+0.6xV

$u_2$



Utjecaji u gredi: (2598-3083)  
u2 [m/1000]

$u_2$



Utjecaji u gredi: (2215-2866)  
u2 [m/1000]

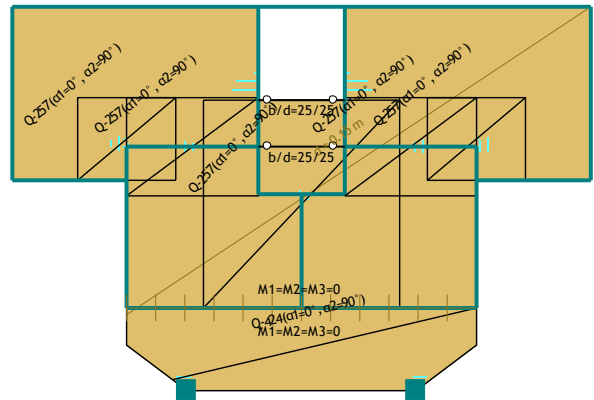
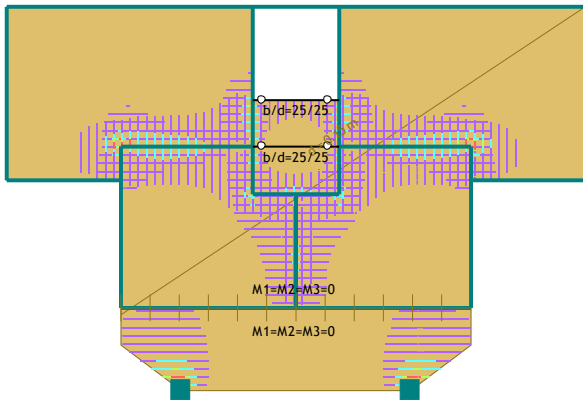
## DIMENZIONIRANJE

Mjerodavno opterećenje: Kompletna shema  
EC 2 (EN 1992-1-1:2004), C25/30, B500B, a=2.00 cm

| Aa - g.zona [cm <sup>2</sup> /m] |
|----------------------------------|
| -9.45                            |
| -4.24                            |
| -3.35                            |
| -1.88                            |
| 0.00                             |

Odabrana armatura  
EC 2 (EN 1992-1-1:2004), C25/30, B500B, a=2.00 cm

| Aa - g.zona [cm <sup>2</sup> /m] |
|----------------------------------|
| -9.45                            |
| -4.73                            |
| 0.00                             |



Aa - g.zona - max Aa,g= -9.44 cm<sup>2</sup>/m

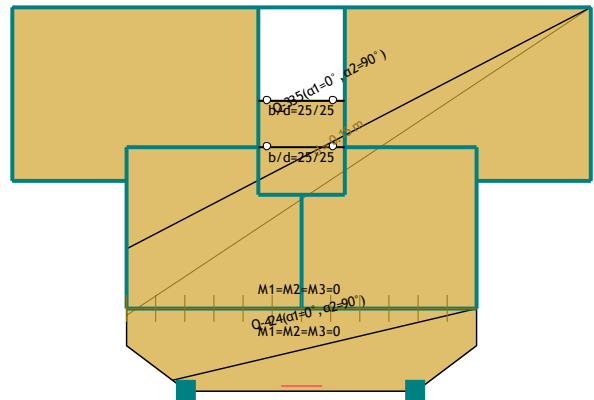
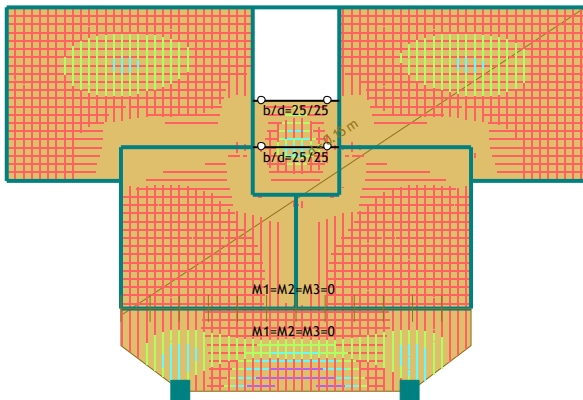
Mjerodavno opterećenje: Kompletna shema  
EC 2 (EN 1992-1-1:2004), C25/30, B500B, a=2.00 cm

| Aa - d.zona [cm <sup>2</sup> /m] |
|----------------------------------|
| 0.00                             |
| 1.88                             |
| 2.57                             |
| 3.35                             |
| 4.24                             |

Aa - g.zona

Odabrana armatura  
EC 2 (EN 1992-1-1:2004), C25/30, B500B, a=2.00 cm

| Aa - d.zona [cm <sup>2</sup> /m] |
|----------------------------------|
| 0.00                             |
| 2.39                             |
| 4.77                             |



Aa - d.zona - max Aa,d= 4.77 cm<sup>2</sup>/m

Aa - d.zona

**Nivo: [0.00 m]**

EC 2 (EN 1992-1-1:2004)  
d=15.0 cm  
C25/30 (YC = 1.50,  $\gamma_S$  = 1.15) [SP]  
Gornja zona: B500B (a=2.0 cm)  
Donja zona: B500B (a=2.0 cm)  
Kompletna shema opterećenja

**Točka 1**X=8.85 m; Y=-2.24 m; Z=0.00 mPravac 1: ( $\alpha=0^\circ$ )

Mjerođavna kombinacija:

1.35xI+1.50xII+1.35xIII+0.75xIV  
+0.90xV

Med = 15.59 kNm

Ned = 0.00 kN

 $\epsilon_b/\epsilon_a = -1.925/20.00\%$ Ag1 = 0.00  $\text{cm}^2/\text{m}$ Ad1 = 2.85  $\text{cm}^2/\text{m}$ 

Odabran (gornja zona):

Q-424 Ø9/15 (4.24  $\text{cm}^2/\text{m}$ )

Odabran (donja zona):

Q-424 Ø9/15 (4.24  $\text{cm}^2/\text{m}$ )

Postotak armiranja: 0.57%

Pravac 2: ( $\alpha=90^\circ$ )

Mjerođavna kombinacija:

1.35xI+1.50xII+1.35xIII+0.75xIV  
+0.90xV

Med = 10.96 kNm

Ned = 0.00 kN

 $\epsilon_b/\epsilon_a = -1.520/20.00\%$ Ag2 = 0.00  $\text{cm}^2/\text{m}$ Ad2 = 1.99  $\text{cm}^2/\text{m}$ 

Odabran (gornja zona):

Q-424 Ø9/15 (4.24  $\text{cm}^2/\text{m}$ )

Odabran (donja zona):

Q-424 Ø9/15 (4.24  $\text{cm}^2/\text{m}$ )

Postotak armiranja: 0.57%

**Točka 2**X=12.15 m; Y=-2.06 m; Z=0.00 mPravac 1: ( $\alpha=0^\circ$ )

Mjerođavna kombinacija:

1.35xI+1.50xII+1.35xIII+0.75xIV  
+0.90xV

Med = 7.41 kNm

Ned = 0.00 kN

 $\epsilon_b/\epsilon_a = -1.195/20.00\%$ Ag1 = 0.00  $\text{cm}^2/\text{m}$ Ad1 = 1.34  $\text{cm}^2/\text{m}$ 

Odabran (donja zona):

Q-335 Ø8/15 (3.35  $\text{cm}^2/\text{m}$ )

Postotak armiranja: 0.22%

Pravac 2: ( $\alpha=90^\circ$ )

Mjerođavna kombinacija:

1.35xI+1.50xII+1.35xIII+0.75xIV  
+0.90xV

Med = 8.53 kNm

Ned = 0.00 kN

 $\epsilon_b/\epsilon_a = -1.300/20.00\%$ Ag2 = 0.00  $\text{cm}^2/\text{m}$ Ad2 = 1.54  $\text{cm}^2/\text{m}$ 

Odabran (donja zona):

Q-335 Ø8/15 (3.35  $\text{cm}^2/\text{m}$ )

Postotak armiranja: 0.22%

**Točka 3**X=5.35 m; Y=-2.06 m; Z=0.00 mPravac 1: ( $\alpha=0^\circ$ )

Mjerođavna kombinacija:

1.35xI+1.50xII+1.35xIII+0.75xIV  
+0.90xV

Med = 7.49 kNm

Ned = 0.00 kN

 $\epsilon_b/\epsilon_a = -1.202/20.00\%$ Ag1 = 0.00  $\text{cm}^2/\text{m}$ Ad1 = 1.35  $\text{cm}^2/\text{m}$ 

Odabran (donja zona):

Q-335 Ø8/15 (3.35  $\text{cm}^2/\text{m}$ )

Postotak armiranja: 0.22%

Pravac 2: ( $\alpha=90^\circ$ )

Mjerođavna kombinacija:

1.35xI+1.50xII+1.35xIII+0.75xIV  
+0.90xV

Med = 8.32 kNm

Ned = 0.00 kN

 $\epsilon_b/\epsilon_a = -1.280/20.00\%$ Ag2 = 0.00  $\text{cm}^2/\text{m}$ Ad2 = 1.50  $\text{cm}^2/\text{m}$ 

Odabran (donja zona):

Q-335 Ø8/15 (3.35  $\text{cm}^2/\text{m}$ )

Postotak armiranja: 0.22%

**Točka 4**X=3.50 m; Y=3.67 m; Z=0.00 mPravac 1: ( $\alpha=0^\circ$ )

Mjerođavna kombinacija:

1.35xI+1.50xII+1.35xIII+0.75xIV  
+0.90xV

Med = 5.04 kNm

Ned = 0.00 kN

 $\epsilon_b/\epsilon_a = -0.954/20.00\%$ Ag1 = 0.00  $\text{cm}^2/\text{m}$ Ad1 = 0.91  $\text{cm}^2/\text{m}$ 

Odabran (donja zona):

Q-335 Ø8/15 (3.35  $\text{cm}^2/\text{m}$ )

Postotak armiranja: 0.22%

Pravac 2: ( $\alpha=90^\circ$ )

Mjerođavna kombinacija:

1.35xI+1.50xII+1.35xIII+0.75xIV  
+0.90xV

Med = 14.32 kNm

Ned = 0.00 kN

 $\epsilon_b/\epsilon_a = -1.814/20.00\%$ Ag2 = 0.00  $\text{cm}^2/\text{m}$ Ad2 = 2.61  $\text{cm}^2/\text{m}$ 

Odabran (donja zona):

Q-335 Ø8/15 (3.35  $\text{cm}^2/\text{m}$ )

Postotak armiranja: 0.22%

Pravac 1: ( $\alpha=0^\circ$ )

Mjerođavna kombinacija:

1.35xI+1.50xII+1.35xIII+0.75xIV  
+0.90xV

Med = 4.80 kNm

Ned = 0.00 kN

 $\epsilon_b/\epsilon_a = -0.928/20.00\%$ Ag1 = 0.00  $\text{cm}^2/\text{m}$ Ad1 = 0.86  $\text{cm}^2/\text{m}$ 

Odabran (donja zona):

Q-335 Ø8/15 (3.35  $\text{cm}^2/\text{m}$ )

Postotak armiranja: 0.22%

Pravac 2: ( $\alpha=90^\circ$ )

Mjerođavna kombinacija:

1.35xI+1.50xII+1.35xIII+0.75xIV  
+0.90xV

Med = 14.32 kNm

Ned = 0.00 kN

 $\epsilon_b/\epsilon_a = -1.814/20.00\%$ Ag2 = 0.00  $\text{cm}^2/\text{m}$ Ad2 = 2.61  $\text{cm}^2/\text{m}$ 

Odabran (donja zona):

Q-335 Ø8/15 (3.35  $\text{cm}^2/\text{m}$ )

Postotak armiranja: 0.22%

Pravac 1: ( $\alpha=0^\circ$ )

Mjerođavna kombinacija:

1.35xI+1.50xII+1.35xIII+0.75xIV  
+0.90xV

Med = 14.70 kNm

Ned = 0.00 kN

 $\epsilon_b/\epsilon_a = -1.847/20.00\%$ Ag1 = 0.00  $\text{cm}^2/\text{m}$ Ad1 = 2.68  $\text{cm}^2/\text{m}$ 

Odabran (gornja zona):

Q-257 Ø7/15 (2.57  $\text{cm}^2/\text{m}$ )

Odabran (donja zona):

Q-335 Ø8/15 (3.35  $\text{cm}^2/\text{m}$ )

Postotak armiranja: 0.39%

Pravac 2: ( $\alpha=90^\circ$ )

Mjerođavna kombinacija:

1.35xI+1.50xII+1.35xIII+0.75xIV  
+0.90xV

Med = 14.03 kNm

Ned = 0.00 kN

 $\epsilon_b/\epsilon_a = -1.870/20.00\%$ Ag2 = 0.00  $\text{cm}^2/\text{m}$ Ad2 = 2.65  $\text{cm}^2/\text{m}$ 

Odabran (gornja zona):

Q-257 Ø7/15 (2.57  $\text{cm}^2/\text{m}$ )

Odabran (donja zona):

Q-335 Ø8/15 (3.35  $\text{cm}^2/\text{m}$ )

Postotak armiranja: 0.39%

Pravac 1: ( $\alpha=0^\circ$ )

Mjerođavna kombinacija:

1.35xI+1.50xII+1.35xIII+0.75xIV  
+0.90xV

Med = 12.05 kNm

Ned = 0.00 kN

 $\epsilon_b/\epsilon_a = -1.616/20.00\%$ Ag1 = 0.00  $\text{cm}^2/\text{m}$ Ad1 = 2.19  $\text{cm}^2/\text{m}$ 

Odabran (gornja zona):

Q-257 Ø7/15 (2.57  $\text{cm}^2/\text{m}$ )

Odabran (donja zona):

Q-335 Ø8/15 (3.35  $\text{cm}^2/\text{m}$ )

Postotak armiranja: 0.39%

Pravac 2: ( $\alpha=90^\circ$ )

Mjerođavna kombinacija:

1.35xI+1.50xII+1.35xIII+0.75xIV  
+0.90xV

Med = 12.05 kNm

Ned = 0.00 kN

 $\epsilon_b/\epsilon_a = -0.908/20.00\%$ Ag2 = 0.00  $\text{cm}^2/\text{m}$ Ad2 = 0.83  $\text{cm}^2/\text{m}$ 

Odabran (gornja zona):

Q-257 Ø7/15 (2.57  $\text{cm}^2/\text{m}$ )

Odabran (donja zona):

Q-335 Ø8/15 (3.35  $\text{cm}^2/\text{m}$ )

Postotak armiranja: 0.22%

**Točka 8**X=9.23 m; Y=-2.06 m; Z=0.00 mPravac 1: ( $\alpha=0^\circ$ )

Mjerođavna kombinacija:

1.35xI+1.50xII+1.00xIII+0.90xV

Med = -6.36 kNm

Ned = 0.00 kN

 $\epsilon_b/\epsilon_a = -1.091/20.00\%$ Ag1 = 1.14  $\text{cm}^2/\text{m}$ Ad1 = 0.00  $\text{cm}^2/\text{m}$ 

Odabran (gornja zona):

Q-257 Ø7/15 (2.57  $\text{cm}^2/\text{m}$ )

Odabran (donja zona):

Q-335 Ø8/15 (3.35  $\text{cm}^2/\text{m}$ )

Postotak armiranja: 0.39%

Pravac 2: ( $\alpha=90^\circ$ )

Mjerođavna kombinacija:

1.35xI+1.50xII+1.00xIII+0.90xV

Med = -0.59 kNm

Ned = 0.00 kN

 $\epsilon_b/\epsilon_a = -0.300/20.00\%$ Ag2 = 0.10  $\text{cm}^2/\text{m}$ Ad2 = 0.00  $\text{cm}^2/\text{m}$ 

Odabran (gornja zona):

Q-257 Ø7/15 (2.57  $\text{cm}^2/\text{m}$ )

Odabran (donja zona):

Q-335 Ø8/15 (3.35  $\text{cm}^2/\text{m}$ )

Postotak armiranja: 0.39%

Pravac 1: ( $\alpha=0^\circ$ )

Mjerođavna kombinacija:

1.35xI+1.50xII+1.35xIII+0.75xIV  
+0.90xV

Med = -4.08 kNm

Ned = 0.00 kN

 $\epsilon_b/\epsilon_a = -0.846/20.00\%$ Ag1 = 0.73  $\text{cm}^2/\text{m}$ Ad1 = 0.00  $\text{cm}^2/\text{m}$ 

Odabran (gornja zona):

Q-257 Ø7/15 (2.57  $\text{cm}^2/\text{m}$ )

Odabran (donja zona):

Q-335 Ø8/15 (3.35  $\text{cm}^2/\text{m}$ )

Postotak armiranja: 0.39%

Pravac 2: ( $\alpha=90^\circ$ )

Mjerođavna kombinacija:

1.35xI+1.50xII+1.35xIII+0.75xIV  
+0.90xV

Med = 0.65 kNm

Ned = 0.00 kN

 $\epsilon_b/\epsilon_a = -0.315/20.00\%$ Ag2 = 0.00  $\text{cm}^2/\text{m}$ Ad2 = 0.11  $\text{cm}^2/\text{m}$ 

Odabran (gornja zona):

Q-257 Ø7/15 (2.57  $\text{cm}^2/\text{m}$ )

Odabran (donja zona):

Q-335 Ø8/15 (3.35  $\text{cm}^2/\text{m}$ )

Postotak armiranja: 0.39%

**Točka 10**X=4.94 m; Y=1.23 m; Z=0.00 mPravac 1: ( $\alpha=0^\circ$ )

Mjerođavna kombinacija:

1.35xI+1.50x

Pravac 2: ( $\alpha=90^\circ$ )  
Mjerođavna kombinacija:  
 $1.35xI+1.50xII+1.00xIII$   
Med = -14.39 kNm  
Ned = 0.00 kN  
 $\epsilon b/\epsilon a = -1.820/20.000 \%$   
Ag2 = 2.62  $\text{cm}^2/\text{m}$   
Ad2 = 0.00  $\text{cm}^2/\text{m}$   
Odabran (gornja zona):  
Q-257 Ø7/15 (2.57  $\text{cm}^2/\text{m}$ )  
Q-257 Ø7/15 (2.57  $\text{cm}^2/\text{m}$ )  
Odabran (donja zona):  
Q-335 Ø8/15 (3.35  $\text{cm}^2/\text{m}$ )  
Postotak armiranja: 0.57%

Točka 12  
X=9.99 m; Y=1.84 m; Z=0.00 m

Pravac 1: ( $\alpha=0^\circ$ )  
Mjerođavna kombinacija:  
 $1.35xI+1.50xII+1.35xIII+0.75xIV$   
 $+0.90xV$   
Med = -12.11 kNm  
Ned = 0.00 kN  
 $\epsilon b/\epsilon a = -1.621/20.000 \%$   
Ag1 = 2.20  $\text{cm}^2/\text{m}$   
Ad1 = 0.00  $\text{cm}^2/\text{m}$   
Odabran (gornja zona):  
Q-257 Ø7/15 (2.57  $\text{cm}^2/\text{m}$ )  
Odabran (donja zona):  
Q-335 Ø8/15 (3.35  $\text{cm}^2/\text{m}$ )  
Postotak armiranja: 0.39%

Pravac 2: ( $\alpha=90^\circ$ )  
Mjerođavna kombinacija:  
 $1.35xI+1.50xII+1.35xIII+0.75xIV$   
 $+0.90xV$

Med = -2.75 kNm  
Ned = 0.00 kN  
 $\epsilon b/\epsilon a = -0.680/20.000 \%$   
Ag2 = 0.49  $\text{cm}^2/\text{m}$   
Ad2 = 0.00  $\text{cm}^2/\text{m}$   
Odabran (gornja zona):  
Q-257 Ø7/15 (2.57  $\text{cm}^2/\text{m}$ )  
Odabran (donja zona):  
Q-335 Ø8/15 (3.35  $\text{cm}^2/\text{m}$ )  
Postotak armiranja: 0.39%

Točka 13  
X=7.33 m; Y=1.84 m; Z=0.00 m

Pravac 1: ( $\alpha=0^\circ$ )  
Mjerođavna kombinacija:  
 $1.35xI+1.50xII+1.35xIII+0.75xIV$   
 $+0.90xV$   
Med = -14.81 kNm  
Ned = 0.00 kN  
 $\epsilon b/\epsilon a = -1.857/20.000 \%$   
Ag1 = 2.70  $\text{cm}^2/\text{m}$   
Ad1 = 0.00  $\text{cm}^2/\text{m}$   
Odabran (gornja zona):  
Q-257 Ø7/15 (2.57  $\text{cm}^2/\text{m}$ )  
Q-257 Ø7/15 (2.57  $\text{cm}^2/\text{m}$ )  
Odabran (donja zona):  
Q-335 Ø8/15 (3.35  $\text{cm}^2/\text{m}$ )  
Postotak armiranja: 0.57%

Točka 14  
X=5.55 m; Y=-4.85 m; Z=0.00 m

Pravac 1: ( $\alpha=0^\circ$ )  
Mjerođavna kombinacija:  
 $1.35xI+1.50xII+1.35xIII+0.75xIV$   
 $+0.90xV$   
Med = -3.81 kNm  
Ned = 0.00 kN  
 $\epsilon b/\epsilon a = -0.815/20.000 \%$   
Ag2 = 0.68  $\text{cm}^2/\text{m}$   
Ad2 = 0.00  $\text{cm}^2/\text{m}$   
Odabran (gornja zona):  
Q-257 Ø7/15 (2.57  $\text{cm}^2/\text{m}$ )  
Q-257 Ø7/15 (2.57  $\text{cm}^2/\text{m}$ )  
Odabran (donja zona):  
Q-335 Ø8/15 (3.35  $\text{cm}^2/\text{m}$ )  
Postotak armiranja: 0.57%

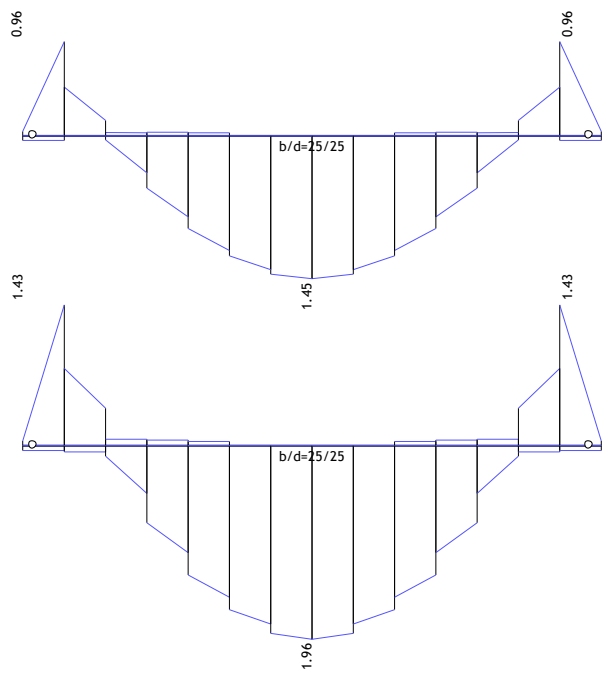
Pravac 2: ( $\alpha=90^\circ$ )  
Mjerođavna kombinacija:  
 $1.35xI+1.50xII+1.35xIII+0.75xIV$   
 $+0.90xV$   
Med = 13.16 kNm  
Ned = 0.00 kN  
 $\epsilon b/\epsilon a = -1.713/20.000 \%$   
Ag2 = 0.00  $\text{cm}^2/\text{m}$   
Ad2 = 2.40  $\text{cm}^2/\text{m}$   
Odabran (gornja zona):  
Q-424 Ø9/15 (4.24  $\text{cm}^2/\text{m}$ )  
Odabran (donja zona):  
Q-424 Ø9/15 (4.24  $\text{cm}^2/\text{m}$ )  
Postotak armiranja: 0.57%

Točka 15  
X=12.76 m; Y=-5.04 m; Z=0.00 m

Pravac 1: ( $\alpha=0^\circ$ )  
Mjerođavna kombinacija:  
 $1.35xI+1.50xII+1.35xIII+0.75xIV$   
 $+0.90xV$   
Med = -6.85 kNm  
Ned = 0.00 kN  
 $\epsilon b/\epsilon a = -1.140/20.000 \%$   
Ag1 = 1.24  $\text{cm}^2/\text{m}$   
Ad1 = 0.00  $\text{cm}^2/\text{m}$   
Odabran (gornja zona):  
Q-424 Ø9/15 (4.24  $\text{cm}^2/\text{m}$ )  
Odabran (donja zona):  
Q-424 Ø9/15 (4.24  $\text{cm}^2/\text{m}$ )  
Postotak armiranja: 0.57%

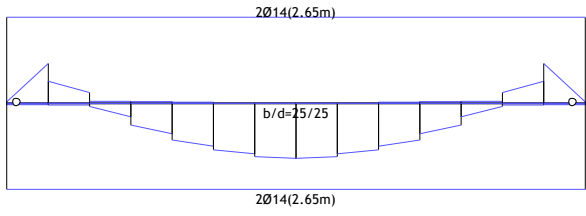
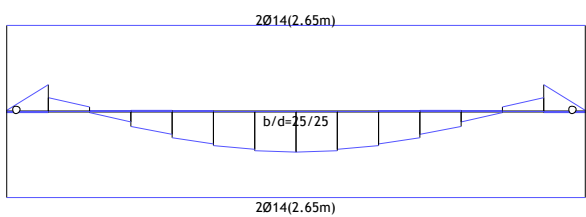
Pravac 2: ( $\alpha=90^\circ$ )  
Mjerođavna kombinacija:  
 $1.35xI+1.50xII+1.35xIII+0.75xIV$   
 $+0.90xV$   
Med = 13.97 kNm  
Ned = 0.00 kN  
 $\epsilon b/\epsilon a = -1.784/20.000 \%$   
Ag2 = 0.00  $\text{cm}^2/\text{m}$   
Ad2 = 2.55  $\text{cm}^2/\text{m}$   
Odabran (gornja zona):  
Q-424 Ø9/15 (4.24  $\text{cm}^2/\text{m}$ )  
Odabran (donja zona):  
Q-424 Ø9/15 (4.24  $\text{cm}^2/\text{m}$ )  
Postotak armiranja: 0.57%

Mjerodavno opterećenje: Kompletna shema  
EC 2 (EN 1992-1-1:2004), C25/30, B500B



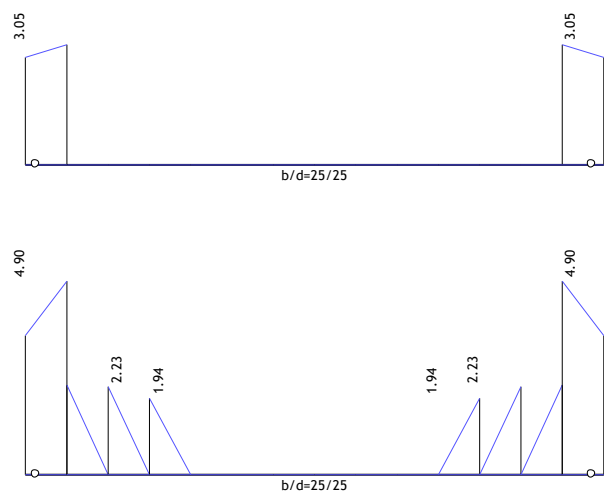
Armatura u gredama: max  $A_{a2}/A_{a1} = 1.43 / 1.96 \text{ cm}^2$

Odarbrana armatura  
EC 2 (EN 1992-1-1:2004), C25/30, B500B



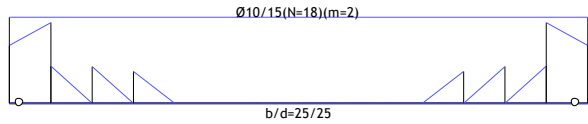
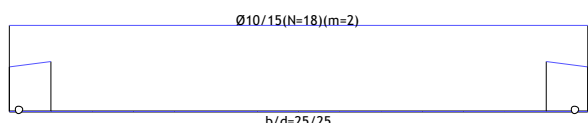
Armatura u gredama (odabran):  $A_{a2}/A_{a1}$

Mjerodavno opterećenje: Kompletna shema  
EC 2 (EN 1992-1-1:2004), C25/30, B500B



Armatura u gredama: max  $A_{sw} = 4.90 \text{ cm}^2$

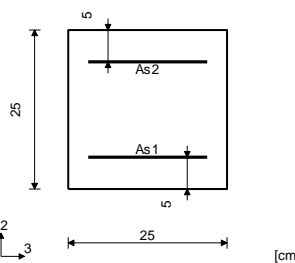
Odarbrana armatura  
EC 2 (EN 1992-1-1:2004), C25/30, B500B



Armatura u gredama (odabran):  $A_{sw}$

**Greda 2215-2866**

EC 2 (EN 1992-1-1:2004)  
C25/30 ( $\gamma_c = 1.50$ ,  $\gamma_s = 1.15$ ) [SP]  
B500B  
Kompletna shema opterećenja

**Presjek 1-1 x = 0.19m**

Mjerodavna kombinacija za savijanje:  
 $1.35xI+1.50xII+1.35xIII+0.75xIV$   
+0.90xV  
N<sub>1ed</sub> = 0.00 kN  
M<sub>2ed</sub> = 0.00 kNm  
M<sub>3ed</sub> = -11.54 kNm

Mjerodavna kombinacija za torziju:  
 $1.35xI+1.50xII+1.35xIII+0.75xIV$   
+0.90xV  
M<sub>1ed</sub> = -0.97 kNm

**Mjerodavna kombinacija za posmik:**

$1.35xI+1.50xII+1.35xIII+0.75xIV$   
+0.90xV  
V<sub>2ed</sub> = 71.81 kN  
V<sub>3ed</sub> = 0.00 kN  
M<sub>1ed</sub> = -0.97 kNm

As<sub>1</sub> = 0.04 + 0.07' = 0.11 cm<sup>2</sup>  
As<sub>2</sub> = 0.00 + 0.07' = 0.07 cm<sup>2</sup>  
As<sub>3</sub> = 0.00 + 0.07' = 0.07 cm<sup>2</sup>  
As<sub>4</sub> = 0.00 + 0.07' = 0.07 cm<sup>2</sup>  
As<sub>w</sub> = 2.23 cm<sup>2</sup>/m (m=2)

V<sub>rd,max,2</sub> = 202.50 kN  
V<sub>rd,max,3</sub> = 202.50 kN  
 $\epsilon_b/\epsilon_a = -2.279/20.00\%$   
As<sub>1</sub> = 0.00 + 0.05' = 0.05 cm<sup>2</sup>  
As<sub>2</sub> = 1.38 + 0.05' = 1.43 cm<sup>2</sup>  
As<sub>3</sub> = 0.00 + 0.05' = 0.05 cm<sup>2</sup>  
As<sub>4</sub> = 0.00 + 0.05' = 0.05 cm<sup>2</sup>  
As<sub>w</sub> = 4.90 cm<sup>2</sup>/m (m=2)

)- dodatna uzdužna armatura za prihvati torzije.

As<sub>1</sub> = 0.04 + 0.07' = 0.11 cm<sup>2</sup>  
As<sub>2</sub> = 0.00 + 0.07' = 0.07 cm<sup>2</sup>  
As<sub>3</sub> = 0.00 + 0.07' = 0.07 cm<sup>2</sup>  
As<sub>4</sub> = 0.00 + 0.07' = 0.07 cm<sup>2</sup>  
As<sub>w</sub> = 2.23 cm<sup>2</sup>/m (m=2)

**Presjek 3-3 x = 1.33m**

Mjerodavna kombinacija za savijanje:  
 $1.35xI+1.50xII+1.35xIII+0.75xIV$   
+0.90xV  
N<sub>1ed</sub> = 0.00 kN  
M<sub>2ed</sub> = 0.00 kNm  
M<sub>3ed</sub> = 16.19 kNm

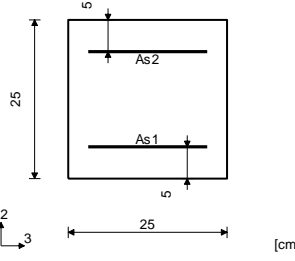
Mjerodavna kombinacija za torziju:  
 $1.35xI+1.50xII+1.35xIII+0.75xIV$   
+0.90xV  
M<sub>1ed</sub> = 0.14 kNm

Mjerodavna kombinacija za posmik:  
 $1.35xI+1.50xII+1.35xIII+0.75xIV$   
+0.90xV  
V<sub>2ed</sub> = -8.36 kN  
V<sub>3ed</sub> = 0.00 kN  
M<sub>1ed</sub> = 0.14 kNm

V<sub>rd,max,2</sub> = 202.50 kN  
V<sub>rd,max,3</sub> = 202.50 kN  
 $\epsilon_b/\epsilon_a = -3.040/20.00\%$   
As<sub>1</sub> = 1.96 cm<sup>2</sup>  
As<sub>2</sub> = 0.00 cm<sup>2</sup>  
As<sub>3</sub> = 0.00 cm<sup>2</sup>  
As<sub>4</sub> = 0.00 cm<sup>2</sup>  
As<sub>w</sub> = 0.00 cm<sup>2</sup>/m (m=2)

**Greda 3083-2598**

EC 2 (EN 1992-1-1:2004)  
C25/30 ( $\gamma_c = 1.50$ ,  $\gamma_s = 1.15$ ) [SP]  
B500B  
Kompletna shema opterećenja

**Presjek 4-4 x = 0.19m**

Mjerodavna kombinacija za savijanje:  
 $1.35xI+1.50xII+1.35xIII+0.75xIV$   
+0.90xV  
N<sub>1ed</sub> = 0.00 kN  
M<sub>2ed</sub> = 0.00 kNm  
M<sub>3ed</sub> = -7.71 kNm

Mjerodavna kombinacija za torziju:  
 $1.35xI+1.50xII+1.00xIII$   
M<sub>1ed</sub> = 0.91 kNm

Mjerodavna kombinacija za posmik:  
 $1.35xI+1.50xII+1.00xIII$   
V<sub>2ed</sub> = 43.04 kN  
V<sub>3ed</sub> = 0.00 kN  
M<sub>1ed</sub> = 0.91 kNm

V<sub>rd,max,2</sub> = 202.50 kN  
V<sub>rd,max,3</sub> = 202.50 kN  
 $\epsilon_b/\epsilon_a = -1.703/20.00\%$   
As<sub>1</sub> = 0.00 + 0.04' = 0.04 cm<sup>2</sup>  
As<sub>2</sub> = 0.91 + 0.04' = 0.96 cm<sup>2</sup>  
As<sub>3</sub> = 0.00 + 0.04' = 0.04 cm<sup>2</sup>  
As<sub>4</sub> = 0.00 + 0.04' = 0.04 cm<sup>2</sup>  
As<sub>w</sub> = 3.05 cm<sup>2</sup>/m (m=2)

)- dodatna uzdužna armatura za prihvati torzije.

**Presjek 5-5 x = 1.32m**

Mjerodavna kombinacija za savijanje:  
 $1.35xI+1.50xII+1.35xIII+0.75xIV$   
+0.90xV  
N<sub>1ed</sub> = 0.00 kN  
M<sub>2ed</sub> = 0.00 kNm  
M<sub>3ed</sub> = 12.10 kNm

Mjerodavna kombinacija za torziju:  
 $1.35xI+1.05xII+1.35xIII+1.50xIV$   
+0.90xV  
M<sub>1ed</sub> = -0.15 kNm

Mjerodavna kombinacija za posmik:  
 $1.35xI+1.50xII+1.35xIII+0.75xIV$   
+0.90xV  
V<sub>2ed</sub> = 0.54 kN  
V<sub>3ed</sub> = 0.00 kN  
M<sub>1ed</sub> = -0.15 kNm

V<sub>rd,max,2</sub> = 202.50 kN  
V<sub>rd,max,3</sub> = 202.50 kN  
 $\epsilon_b/\epsilon_a = -2.367/20.00\%$   
As<sub>1</sub> = 1.45 cm<sup>2</sup>  
As<sub>2</sub> = 0.00 cm<sup>2</sup>  
As<sub>3</sub> = 0.00 cm<sup>2</sup>  
As<sub>4</sub> = 0.00 cm<sup>2</sup>  
As<sub>w</sub> = 0.00 cm<sup>2</sup>/m (m=2)

## 1.17) TEMELJNA KONSTRUKCIJA

### ULAZNI PODACI O KONSTRUKCIJI

Tabela materijala

| No | Naziv materijala      | E[kN/m <sup>2</sup> ] | $\mu$ | $\gamma[\text{kN/m}^3]$ | $a[\text{t}/\text{C}]$ | $E_m[\text{kN/m}^2]$ | $\mu_m$ |
|----|-----------------------|-----------------------|-------|-------------------------|------------------------|----------------------|---------|
| 1  | Beton C25/30          | 3.100e+7              | 0.20  | 25.00                   | 1.000e-5               | 3.100e+7             | 0.20    |
| 2  | ZIDË                  | 2.770e+6              | 0.20  | 15.00                   | 1.000e-5               | 2.770e+6             | 0.20    |
| 3  | Drvo-Četinari-Masivno | 1.000e+7              | 0.20  | 5.00                    | 1.000e-5               | 1.000e+7             | 0.20    |

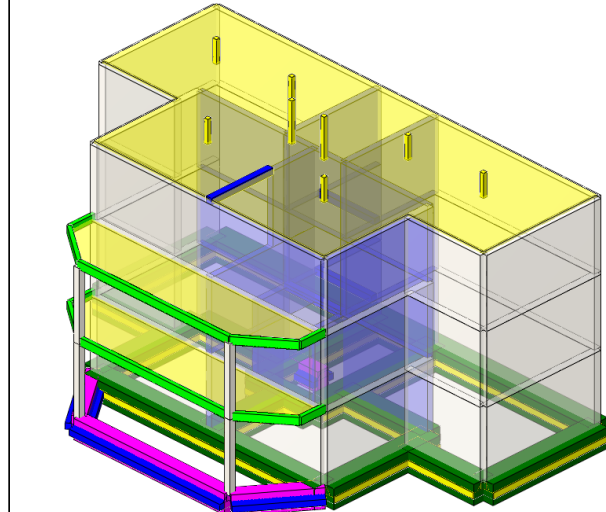
Setovi ploča

| No  | d[m]  | e[m]  | Materijal | Tip proračuna | Ortotropija | E2[kN/m <sup>2</sup> ] | G[kN/m <sup>2</sup> ] | $\alpha$ |
|-----|-------|-------|-----------|---------------|-------------|------------------------|-----------------------|----------|
| <1> | 0.150 | 0.075 | 1         | Tanka ploča   | Izotropna   |                        |                       |          |
| <2> | 0.250 | 0.125 | 2         | Opeka/Blokovi | Izotropna   |                        |                       |          |
| <3> | 0.300 | 0.150 | 2         | Opeka/Blokovi | Izotropna   |                        |                       |          |

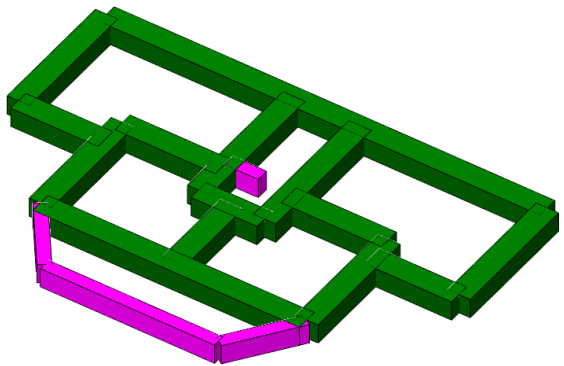
Setovi linijskih ležajeva

| Set | K,R1     | K,R2     | K,R3     | K,M1 | Tlo [m] |
|-----|----------|----------|----------|------|---------|
| 1   | 5.000e+3 | 5.000e+3 | 5.000e+3 |      | 0.900   |
| 2   | 5.000e+3 | 5.000e+3 | 5.000e+3 |      | 0.500   |

| Greda        |
|--------------|
| 1. b/d=16/16 |
| 2. b/d=25/25 |
| 3. b/d=25/25 |
| 4. b/d=90/80 |
| 5. b/d=50/80 |
| 6. b/d=15/30 |



Izometrija



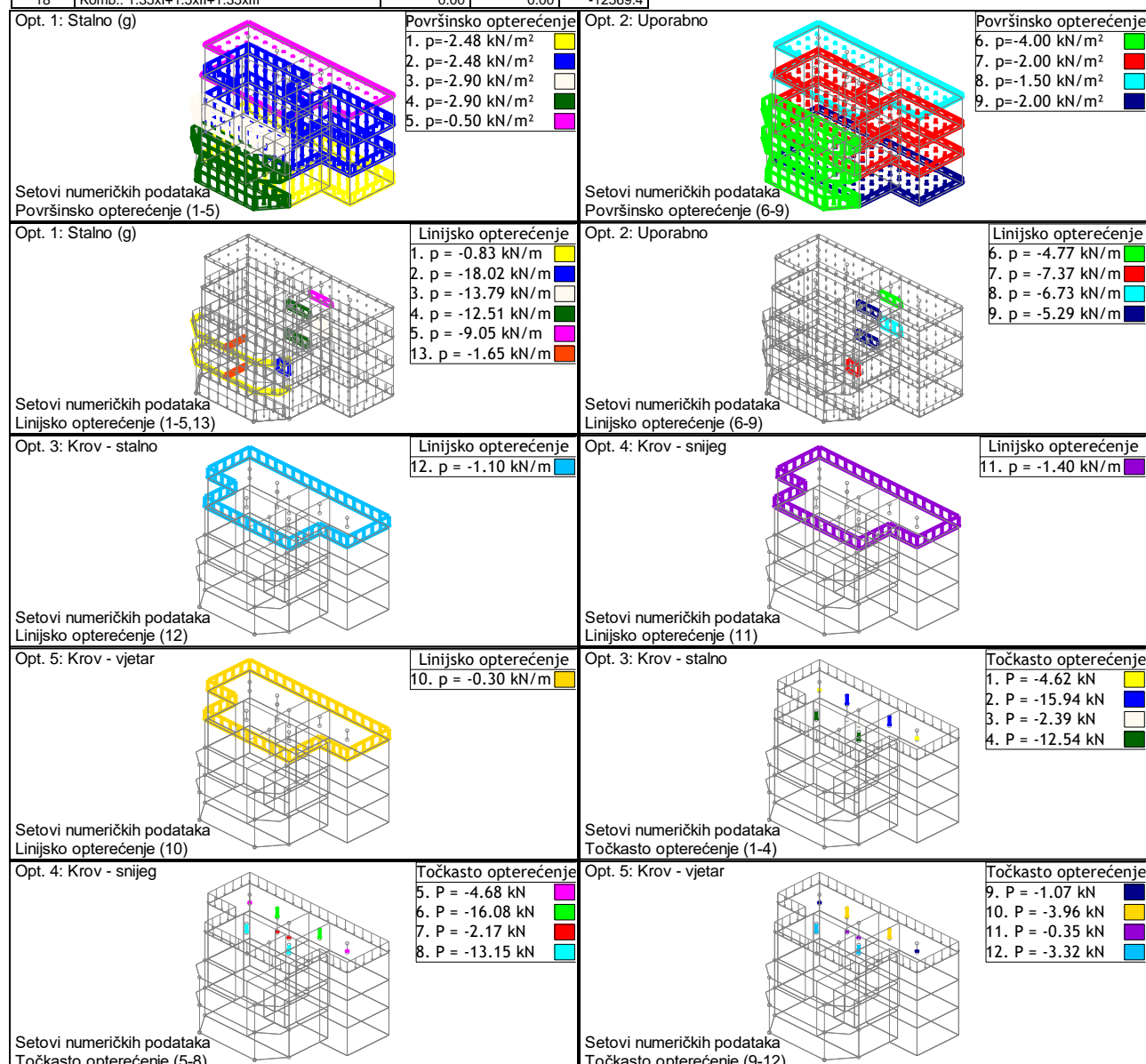
Setovi numeričkih podataka  
Greda (1-6)

# POLOŽAJ OPTEREĆENJA I KONSTRUKCIJA

Lista slučajeva opterećenja

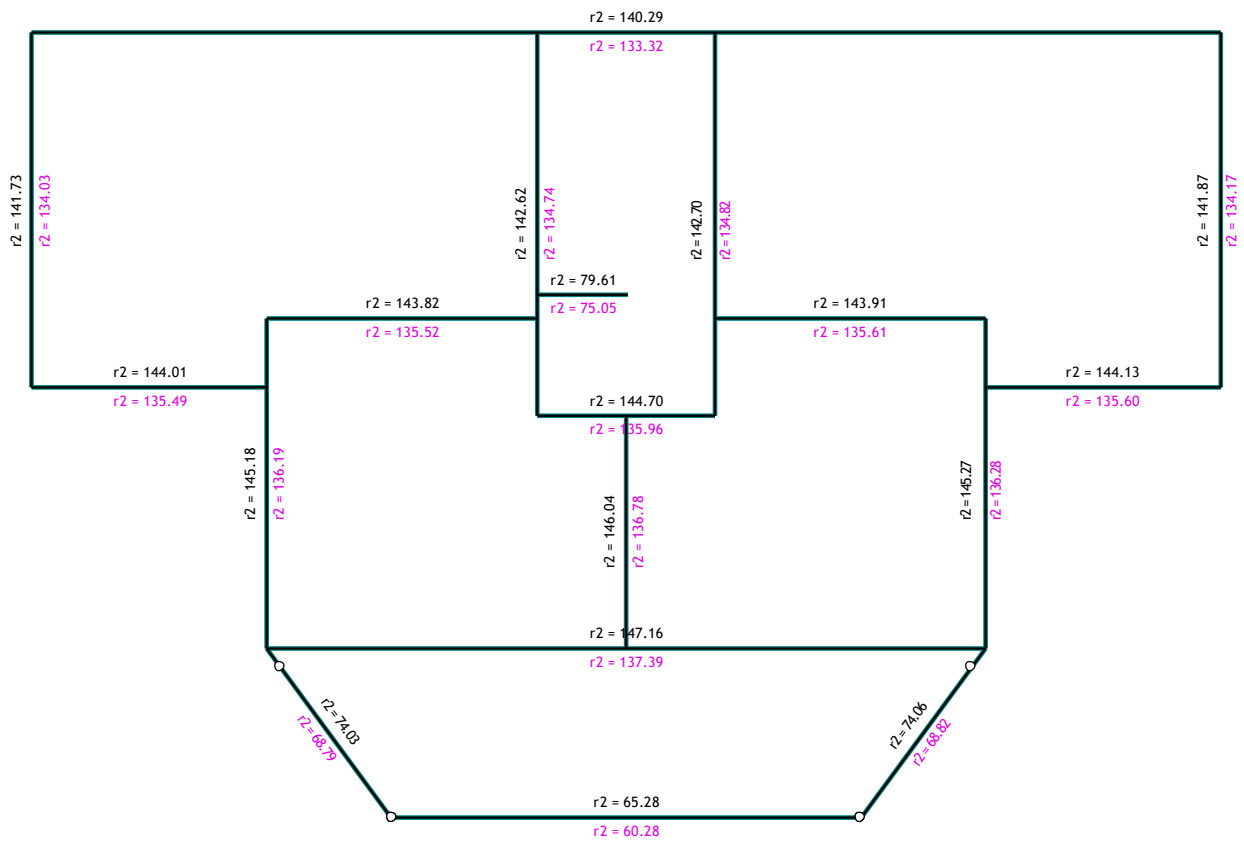
| LC | Naziv | pX [kN] | pY [kN] | pZ [kN] |
|----|-------|---------|---------|---------|
|----|-------|---------|---------|---------|

|    |   |      |      |          |
|----|---|------|------|----------|
| 1  | Stalno (g)                                  | 0.00 | 0.00 | -7691.04 |
| 2  | Uporabno                                    | 0.00 | 0.00 | -1340.54 |
| 3  | Krov - stalno                               | 0.00 | 0.00 | -130.16  |
| 4  | Krov - snijeg                               | 0.00 | 0.00 | -147.48  |
| 5  | Krov - vjetar                               | 0.00 | 0.00 | -33.54   |
| 6  | Komb.: 1.35xl+1.5xll+1.35xlll               | 0.00 | 0.00 | -12569.4 |
| 7  | Komb.: 1.35xl+1.5xll+1.35xlll+0.75xIV       | 0.00 | 0.00 | -12680.0 |
| 8  | Komb.: 1.35xl+1.5xll+1.35xlll+0.9xV         | 0.00 | 0.00 | -12599.6 |
| 9  | Komb.: 1.35xl+1.5xll+1.35xlll+0.75xIV+0.9xV | 0.00 | 0.00 | -12710.2 |
| 10 | Komb.: 1.35xl+1.05xll+1.35xlll              | 0.00 | 0.00 | -11966.2 |
| 11 | Komb.: 1.35xl+1.05xll+1.35xlll+1.5xIV       | 0.00 | 0.00 | -12187.4 |
| 12 | Komb.: 1.35xl+1.05xll+1.35xlll+0.9xV        | 0.00 | 0.00 | -11996.4 |
| 13 | Komb.: 1.35xl+1.05xll+1.35xlll+1.5xIV+0.9xV | 0.00 | 0.00 | -12217.6 |
| 14 | Komb.: 1.35xl+1.05xll+1.35xlll              | 0.00 | 0.00 | -11966.2 |
| 15 | Komb.: 1.35xl+1.05xll+1.35xlll+0.75xIV      | 0.00 | 0.00 | -12076.8 |
| 16 | Komb.: 1.35xl+1.05xll+1.35xlll+1.5xV        | 0.00 | 0.00 | -12016.5 |
| 17 | Komb.: 1.35xl+1.05xll+1.35xlll+0.75xV+1.5xV | 0.00 | 0.00 | -12127.1 |
| 18 | Komb.: 1.35xl+1.5xll+1.35xlll               | 0.00 | 0.00 | -12569.4 |



## STATIČKI PRORAČUN

Opt. 19: [GSN] 6-18



Nivo: Temelji [0.00 m]  
Reakcije ležajeva

## DIMENZIONIRANJE

### TEMELJNA TRAKA TT1

Geometrijske karakteristike temeljne trake:

Duljina trake: 1,00 m

Širina trake: 1,00 m

Visina trake: 80,00 cm

**Ned= 147,16 kN**

$$A_{temelja} = l \cdot b = 1,00 \text{ m}^2$$

$$W = \frac{l \cdot b^2}{6} = 0,17 \text{ m}^3$$

$$b' = b \cdot \left(1 - 2 \cdot \frac{e_y}{b}\right) = 1,00 \text{ m}$$

$$A'_{temelja} = l \cdot b' = 1,00 \text{ m}^2$$

$$\sigma_1 = \frac{N_{Ed}}{A} + \frac{M_{Ed}}{W_y} = 147,16 \text{ kN/m}^2$$

$$\sigma_2 = \frac{N_{Ed}}{A} - \frac{M_{Ed}}{W_y} = 147,16 \text{ kN/m}^2$$

$$\sigma_0 = \frac{N_{Ed}}{A} = 147,16 \text{ kN/m}^2$$

$$\text{Proračunska otpornost tla: } \sigma_{Rd} = 150,00 \text{ kN/m}^2$$

$$\text{Uvjet nosivosti tla: } \sigma_0 = 147,16 \text{ kN/m}^2 < \sigma_{Rd} = 150,00 \text{ kN/m}^2$$

minimalna armatura:

$$A_{s1,min} = 0,0013 \cdot b \cdot d = 9,53 \text{ cm}^2$$

$$A_{s1,min} = 0,26 \cdot b \cdot d \cdot \frac{f_{cm}}{f_{yk}} = 9,91 \text{ cm}^2$$

maksimalna armatura:

$$A_{s1,max} = 0,022 \cdot A_c = 220,00 \text{ cm}^2$$

$$A_{s1,max} = \omega_{lim} \cdot b \cdot d \cdot \frac{f_{cd}}{f_{yd}} = 102,58 \text{ cm}^2$$

$$\text{Razdjelna armatura: } A_{s1,y} = \min 20\% A_{s1,x} = 2,01 \text{ cm}^2/\text{m}'$$

**ODABRANO:**

|            |             |                             |   |
|------------|-------------|-----------------------------|---|
| glavna:    | 5 Ø16       | (10,05 cm <sup>2</sup> /m') | $A_{s1,min} < A_{s1,prov} < A_{s1,max}$ |
| razdjelna: | Ø10 / 30 cm | (2,62 cm <sup>2</sup> /m')  |   |
| vilice:    | Ø10 / 25 cm | (3,14 cm <sup>2</sup> /m')  |   |

### TEMELJNA TRAKA TT2

Geometrijske karakteristike temeljne trake:

Duljina trake: 1,00 m

Širina trake: 0,50 m

Visina trake: 80,00 cm

**Ned= 74,06 kN**

$$A_{temelja} = l \cdot b = 0,50 \text{ m}^2$$

$$W = \frac{l \cdot b^2}{6} = 0,04 \text{ m}^3$$

$$b' = b \cdot \left(1 - 2 \cdot \frac{e_y}{b}\right) = 0,50 \text{ m}$$

$$A'_{temelja} = l \cdot b' = 0,50 \text{ m}^2$$

$$\sigma_1 = \frac{N_{Ed}}{A} + \frac{M_{Ed}}{W_y} = 148,12 \text{ kN/m}^2$$

$$\sigma_2 = \frac{N_{Ed}}{A} - \frac{M_{Ed}}{W_y} = 148,12 \text{ kN/m}^2$$

$$\sigma_0 = \frac{N_{Ed}}{A} = 148,12 \text{ kN/m}^2$$

$$\text{Proračunska otpornost tla: } \sigma_{Rd} = 150,00 \text{ kN/m}^2$$

$$\text{Uvjet nosivosti tla: } \sigma_0 = 148,12 \text{ kN/m}^2 < \sigma_{Rd} = 150,00 \text{ kN/m}^2$$

minimalna armatura:

$$A_{s1,min} = 0,0013 \cdot b \cdot d = 4,76 \text{ cm}^2$$

$$A_{s1,min} = 0,26 \cdot b \cdot d \cdot \frac{f_{cm}}{f_{yk}} = 4,96 \text{ cm}^2$$

maksimalna armatura:

$$A_{s1,max} = 0,022 \cdot A_c = 110,00 \text{ cm}^2$$

$$A_{s1,max} = \omega_{lim} \cdot b \cdot d \cdot \frac{f_{cd}}{f_{yd}} = 51,29 \text{ cm}^2$$

$$\text{Razdjelna armatura: } A_{s1,y} = \min 20\% A_{s1,x} = 1,21 \text{ cm}^2/\text{m}'$$

**ODABRANO:**

|            |             |                            |   |
|------------|-------------|----------------------------|---|
| glavna:    | 3 Ø16       | (6,03 cm <sup>2</sup> /m') | $A_{s1,min} < A_{s1,prov} < A_{s1,max}$ |
| razdjelna: | Ø10 / 30 cm | (2,62 cm <sup>2</sup> /m') |   |
| vilice:    | Ø10 / 25 cm | (3,14 cm <sup>2</sup> /m') |   |

## TEMELJ STUBIŠTA TT3

Geometrijske karakteristike temeljne trake:

Duljina trake: 1,00 m

Širina trake: 0,30 m

Visina trake: 80,00 cm

**Ned= 35,38 kN**

$$A_{temelja} = l \cdot b = 0,30 \text{ m}^2$$

$$W = \frac{l \cdot b^2}{6} = 0,02 \text{ m}^3$$

$$b' = b \cdot \left(1 - 2 \cdot \frac{e_y}{b}\right) = 0,30 \text{ m}$$

$$A'_{temelja} = l \cdot b' = 0,30 \text{ m}^2$$

$$\sigma_1 = \frac{N_{Ed}}{A} + \frac{M_{Ed}}{W_y} = 117,93 \text{ kN/m}^2$$

$$\sigma_2 = \frac{N_{Ed}}{A} - \frac{M_{Ed}}{W_y} = 117,93 \text{ kN/m}^2$$

$$\sigma_0 = \frac{N_{Ed}}{A'} = 117,93 \text{ kN/m}^2$$

Proračunska otpornost tla:  $\sigma_{Rd} = 150,00 \text{ kN/m}^2$

Uvjet nosivosti tla:  $\sigma_0 = 117,93 \text{ kN/m}^2 < \sigma_{Rd} = 150,00 \text{ kN/m}^2$

minimalna armatura:

$$A_{s1,min} = 0,0013 \cdot b \cdot d = 2,86 \text{ cm}^2$$

$$A_{s1,min} = 0,26 \cdot b \cdot d \cdot \frac{f_{ctm}}{f_{yk}} = 2,97 \text{ cm}^2$$

maksimalna armatura:

$$A_{s1,max} = 0,022 \cdot A_c = 66,00 \text{ cm}^2$$

$$A_{s1,max} = \omega_{lim} \cdot b \cdot d \cdot \frac{f_{cd}}{f_{yd}} = 30,77 \text{ cm}^2$$

Razdjelna armatura:  $A_{s1,y} = min 20\% A_{s1,x} = 0,92 \text{ cm}^2/\text{m}'$

### ODABRANO:

glavna: 3 Ø14

(4,62 cm<sup>2</sup>/m')

$$A_{s1,min} < A_{s1,prov} < A_{s1,max}$$

razdjelna: Ø10 / 30 cm

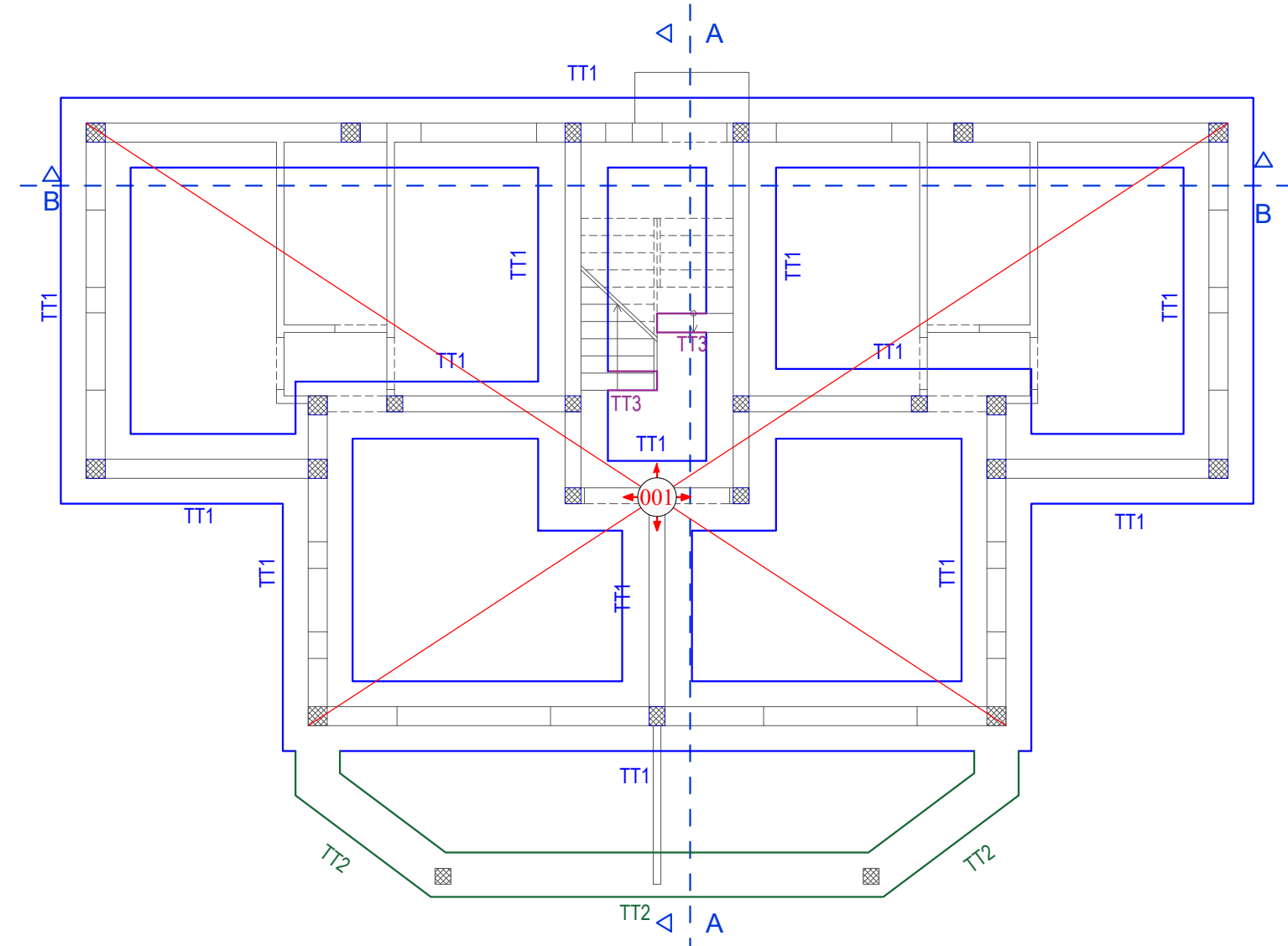
(2,62 cm<sup>2</sup>/m')

vilice: Ø10 / 25 cm

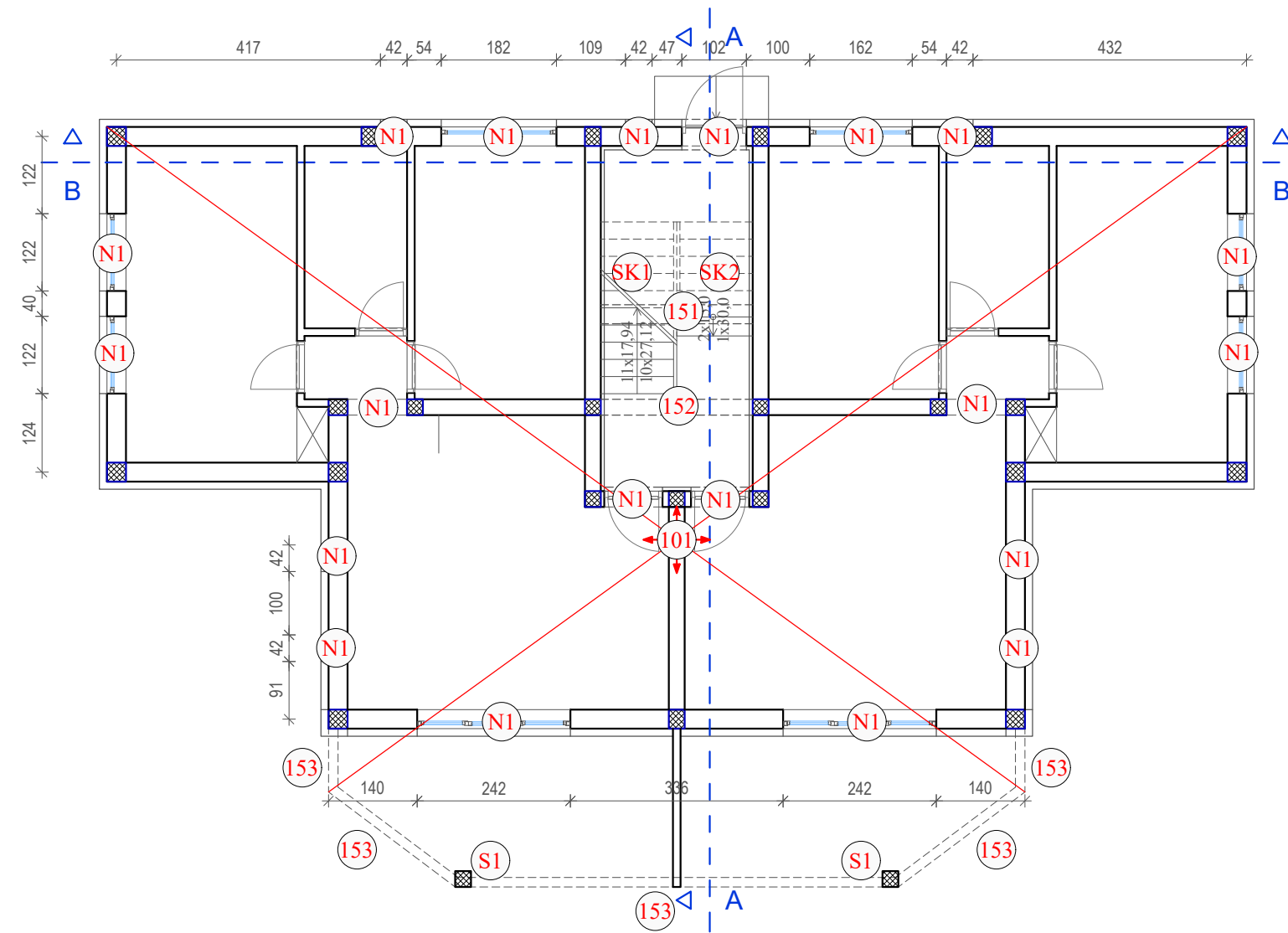
(3,14 cm<sup>2</sup>/m')

## **B) GRAFIČKI PRIKAZI**

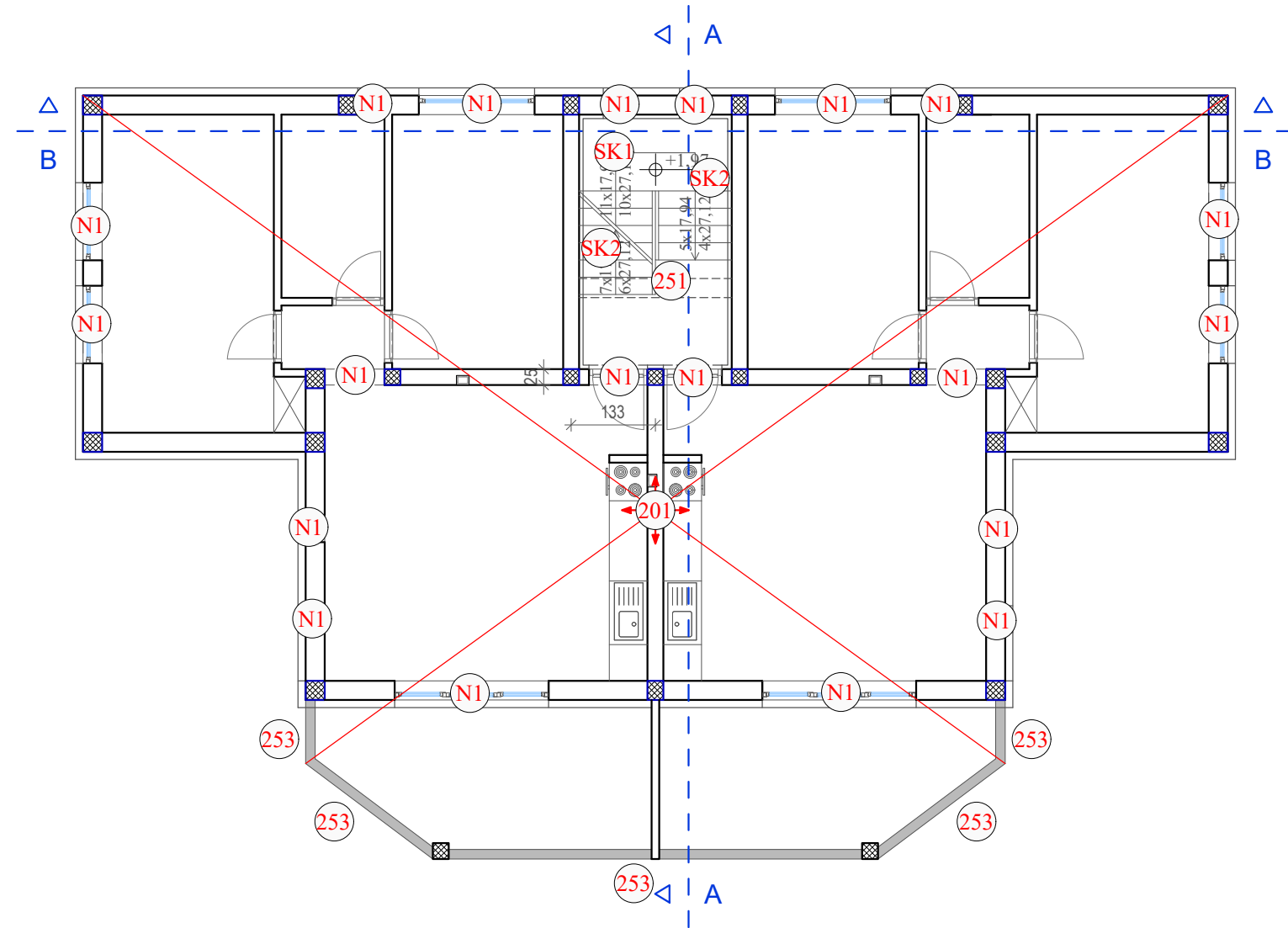
## **1) PLAN POZICIJA**



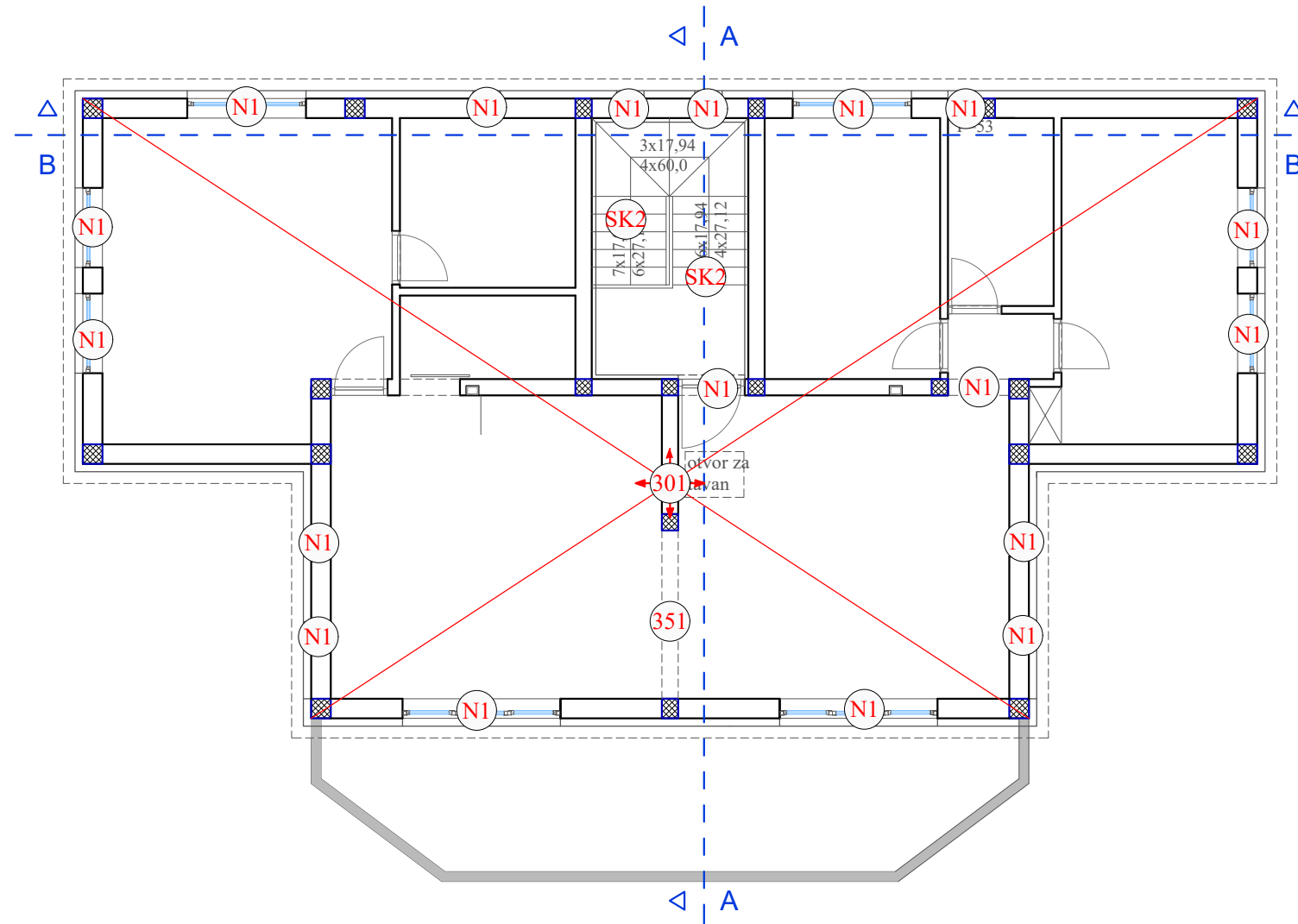
| GRAĐEVINSKI FAKULTET SVEUČILIŠTA U ZAGREBU |                                       |             |
|--|---------------------------------------|-------------|
| KOLEGIJ:                                   | ZAVRŠNI RAD                           | MJERILO:    |
| SADRŽAJ:                                   | PLAN POZICIJA - TEMELJNA KONSTRUKCIJA | 1:100       |
| IZRADILA:                                  | HANA VRESK                            | AK. GOD.:   |
| PREGLEDAO:                                 |                                       | 2022./2023. |



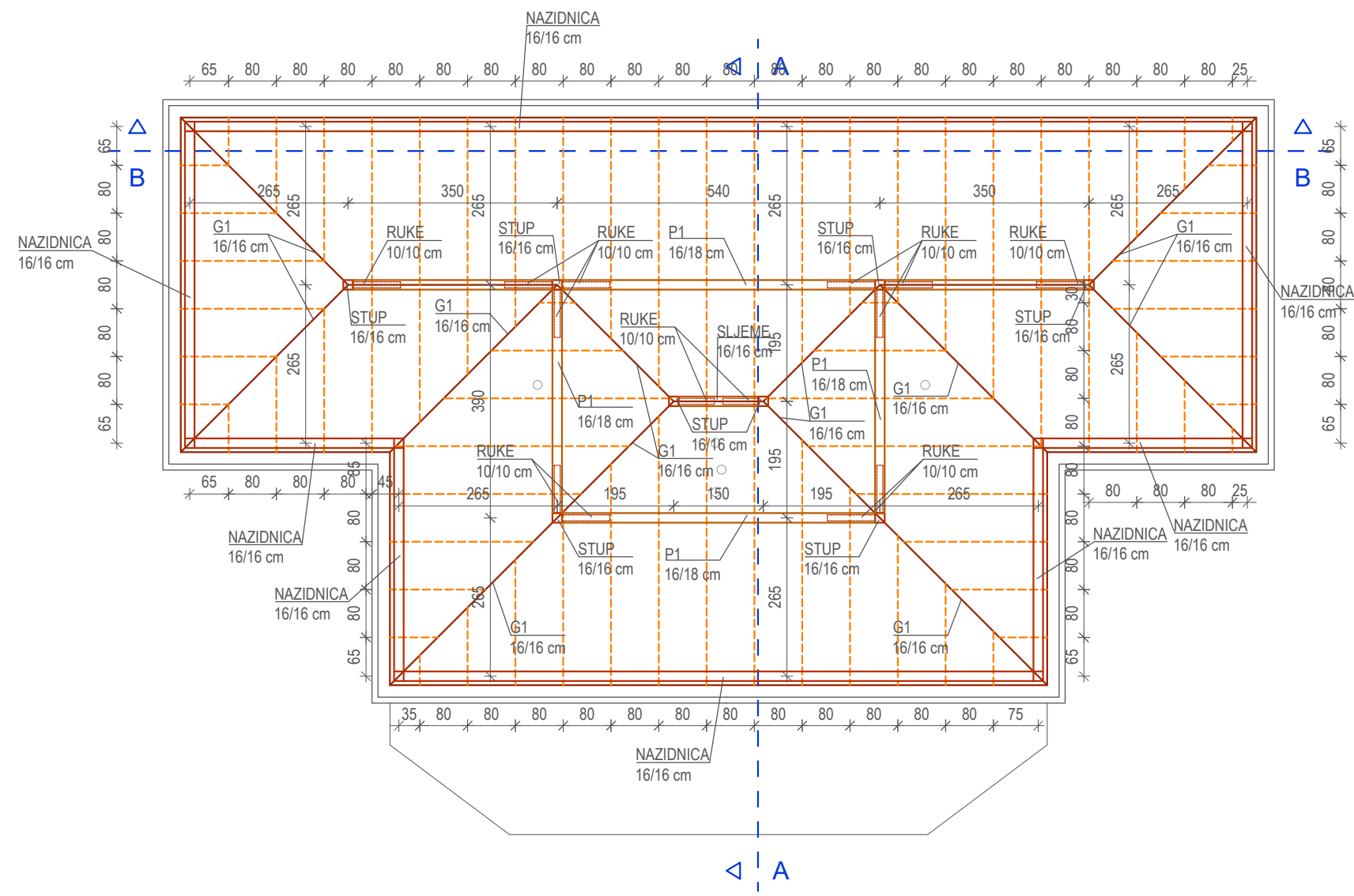
| GRAĐEVINSKI FAKULTET SVEUČILIŠTA U ZAGREBU |  |             |
|--|--|-------------|
| KOLEGIJ:                                   | ZAVRŠNI RAD                                    | MJERILO:    |
| SADRŽAJ:                                   | PLAN POZICIJA - STROPNA KONSTRUKCIJA PRIZEMLJA | 1:100       |
| IZRADILA:                                  | HANA VRESK                                     | AK. GOD.:   |
| PREGLEDAO:                                 |  | 2022./2023. |



| GRAĐEVINSKI FAKULTET SVEUČILIŠTA U ZAGREBU |  |             |
|--|--|-------------|
| KOLEGIJ:                                   | ZAVRŠNI RAD                                  | MJERILO:    |
| SADRŽAJ:                                   | PLAN POZICIJA - STROPNA KONSTRUKCIJA 1. KATA | 1:100       |
| IZRADILA:                                  | HANA VRESK                                   | AK. GOD.:   |
| PREGLEDAO:                                 |  | 2022./2023. |

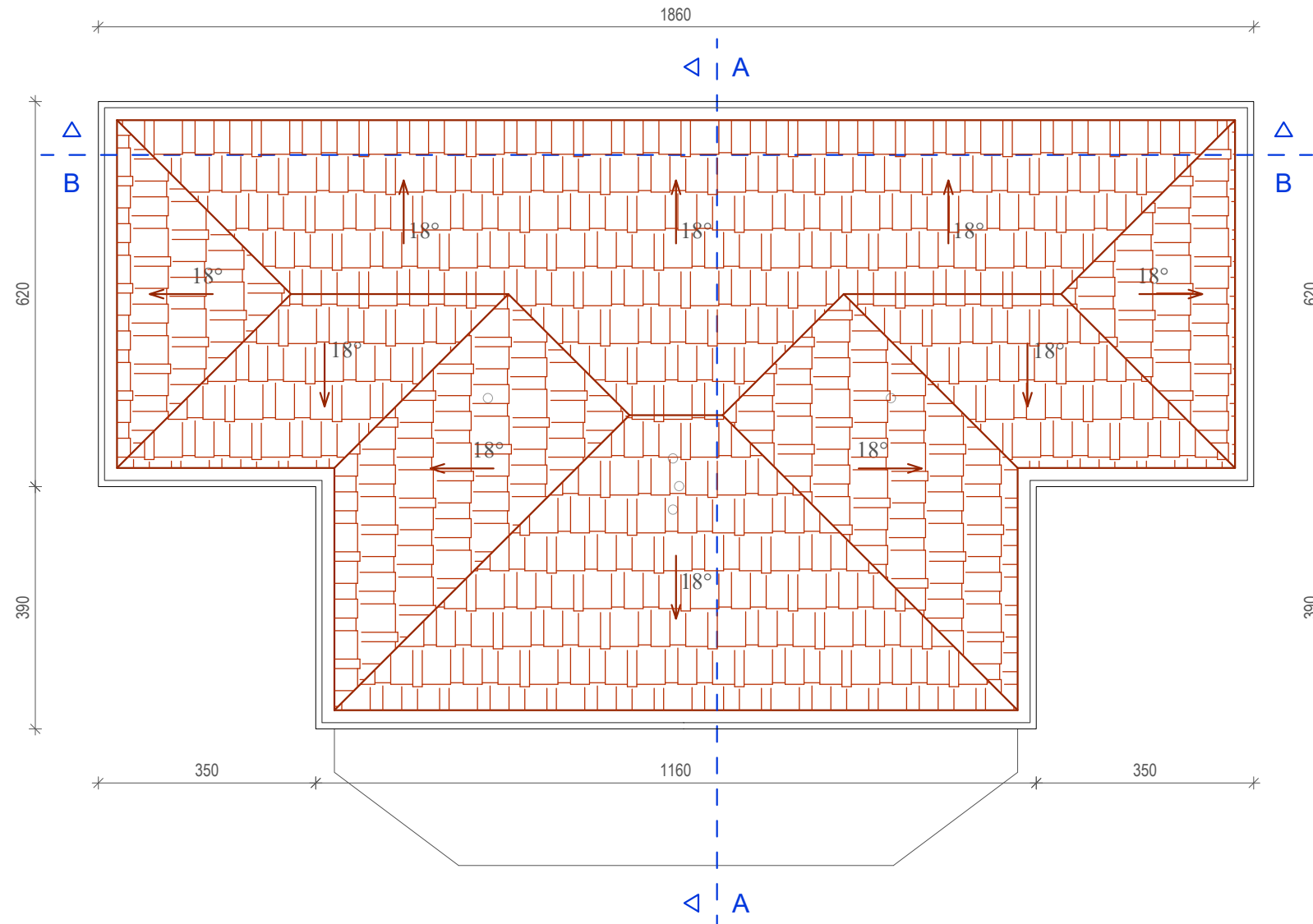


| GRAĐEVINSKI FAKULTET SVEUČILIŠTA U ZAGREBU |  |             |
|--|--|-------------|
| KOLEGIJ:                                   | ZAVRŠNI RAD                                  | MJERILO:    |
| SADRŽAJ:                                   | PLAN POZICIJA - STROPNA KONSTRUKCIJA 2. KATA | 1:100       |
| IZRADILA:                                  | HANA VRESK                                   | AK. GOD.:   |
| PREGLEDAO:                                 |  | 2022./2023. |

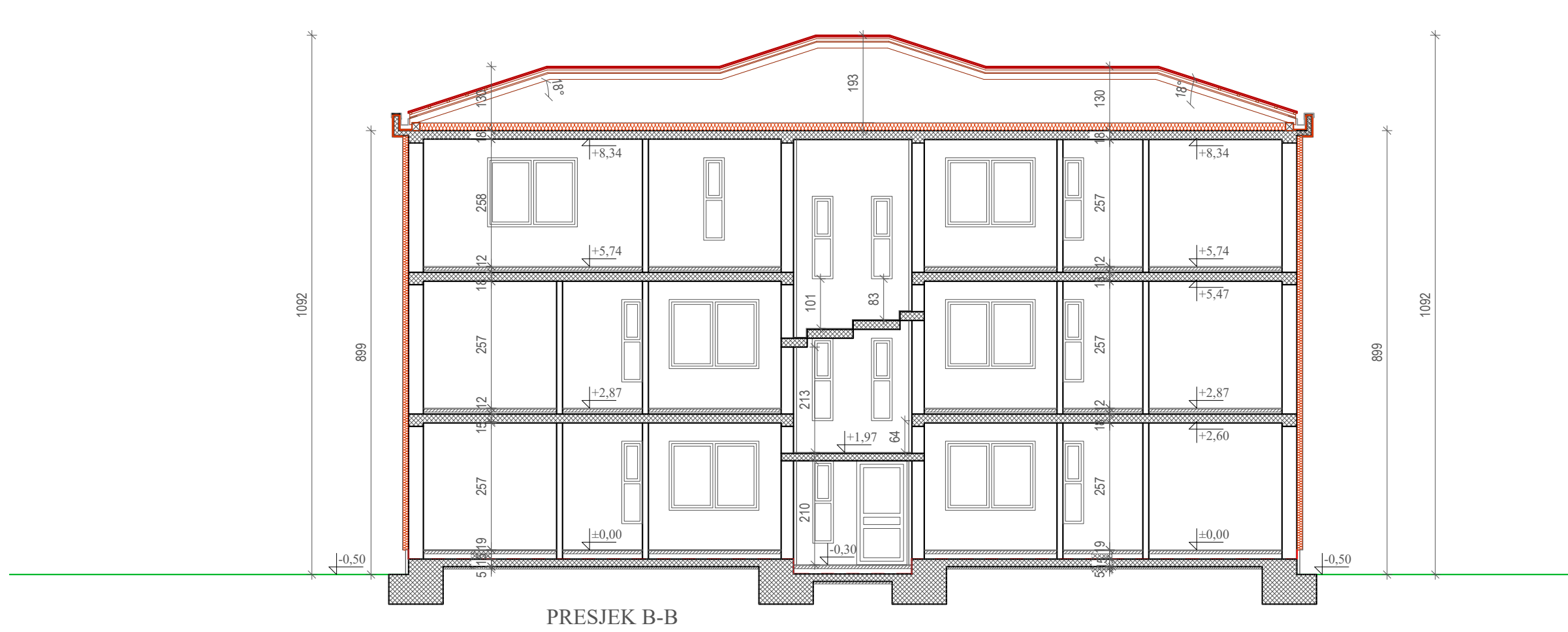


LEGENDA:  
 NAZIDNICA 16/16 cm  
 STUP 16/16 cm  
 RUKE K1 10/10 cm  
 PODROŽNICA P1 16/18 cm  
 SLJEMENA PODROŽNICA 16/16 cm  
 UVALNA GREDA G1 16/16 cm  
 ROG 10/12 cm

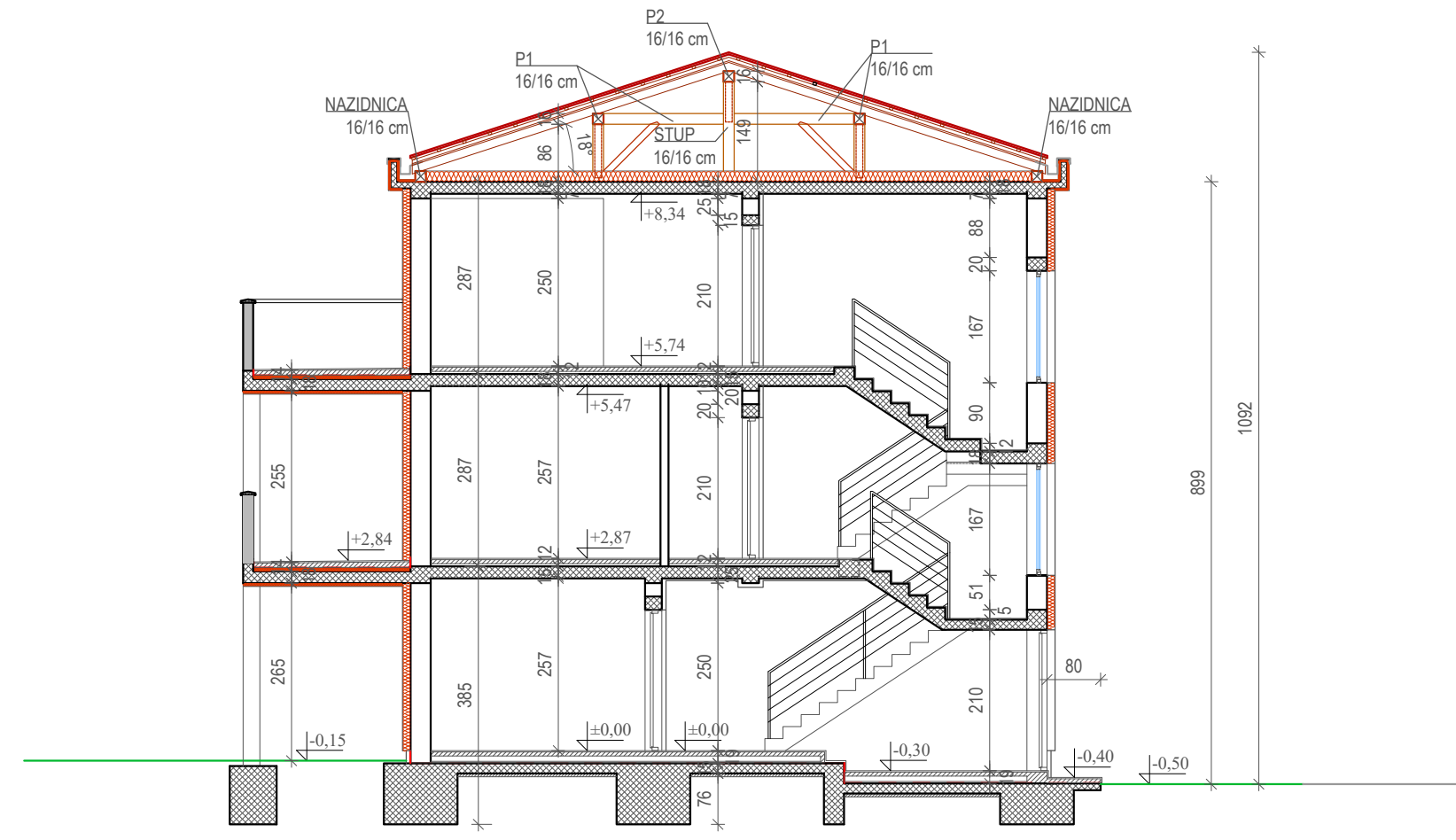
| GRAĐEVINSKI FAKULTET SVEUČILIŠTA U ZAGREBU |                 |             |
|--|-----------------|-------------|
| KOLEGIJ:                                   | ZAVRŠNI RAD     | MJERILO:    |
| SADRŽAJ:                                   | TLOCRT KROVIŠTA | 1:100       |
| IZRADILA:                                  | HANA VRESK      | AK. GOD.:   |
| PREGLEDAO:                                 |                 | 2022./2023. |



| GRAĐEVINSKI FAKULTET SVEUČILIŠTA U ZAGREBU |                                      |             |
|--|--------------------------------------|-------------|
| KOLEGIJ:                                   | ZAVRŠNI RAD                          | MJERILO:    |
| SADRŽAJ:                                   | PLAN POZICIJA - TLOCRT KROVNIH PLOHA | 1:100       |
| IZRADILA:                                  | HANA VRESK                           | AK. GOD.:   |
| PREGLEDAO:                                 |                                      | 2022./2023. |



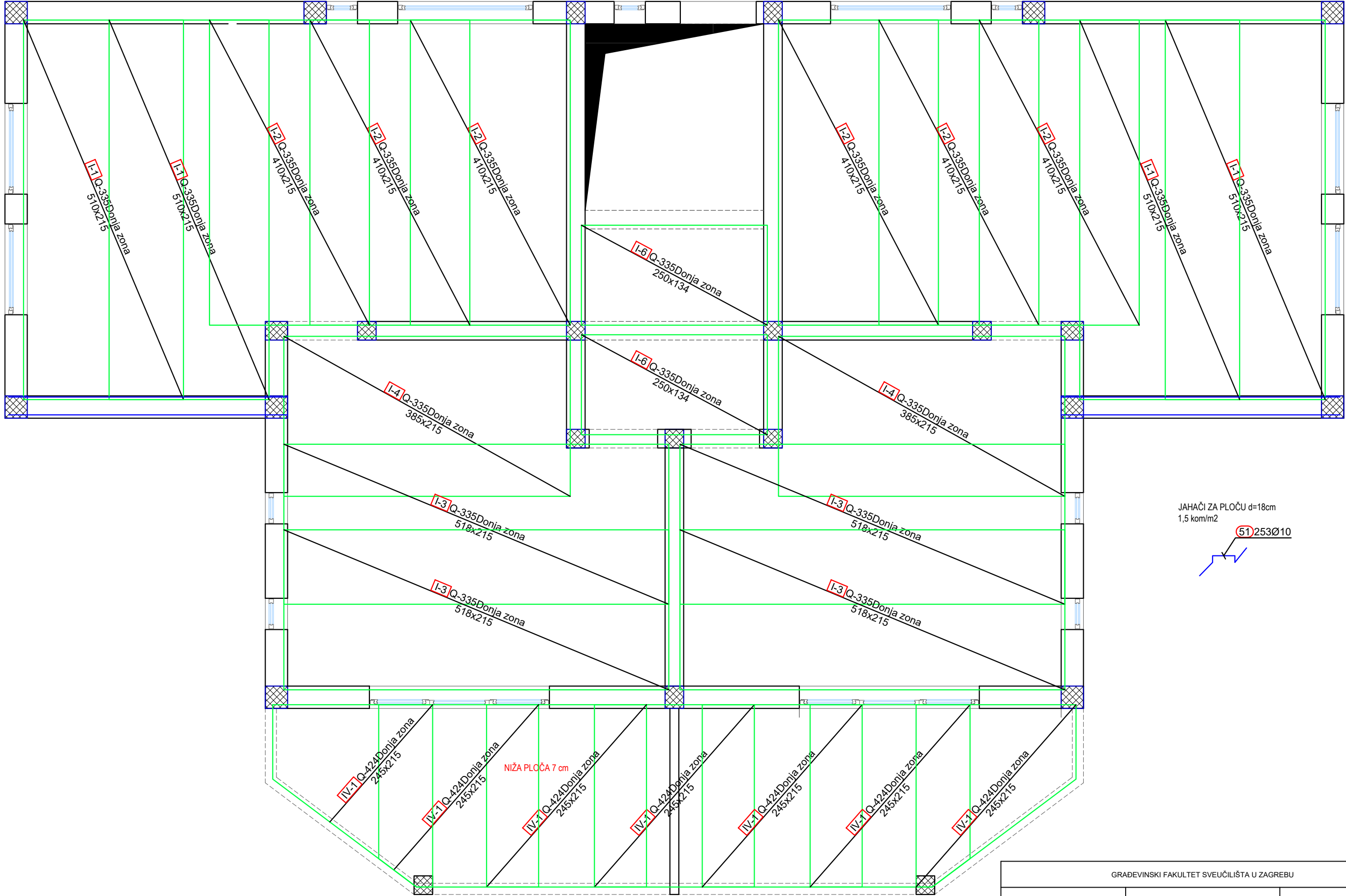
PRESJEK B-E



PRESJEK A-A

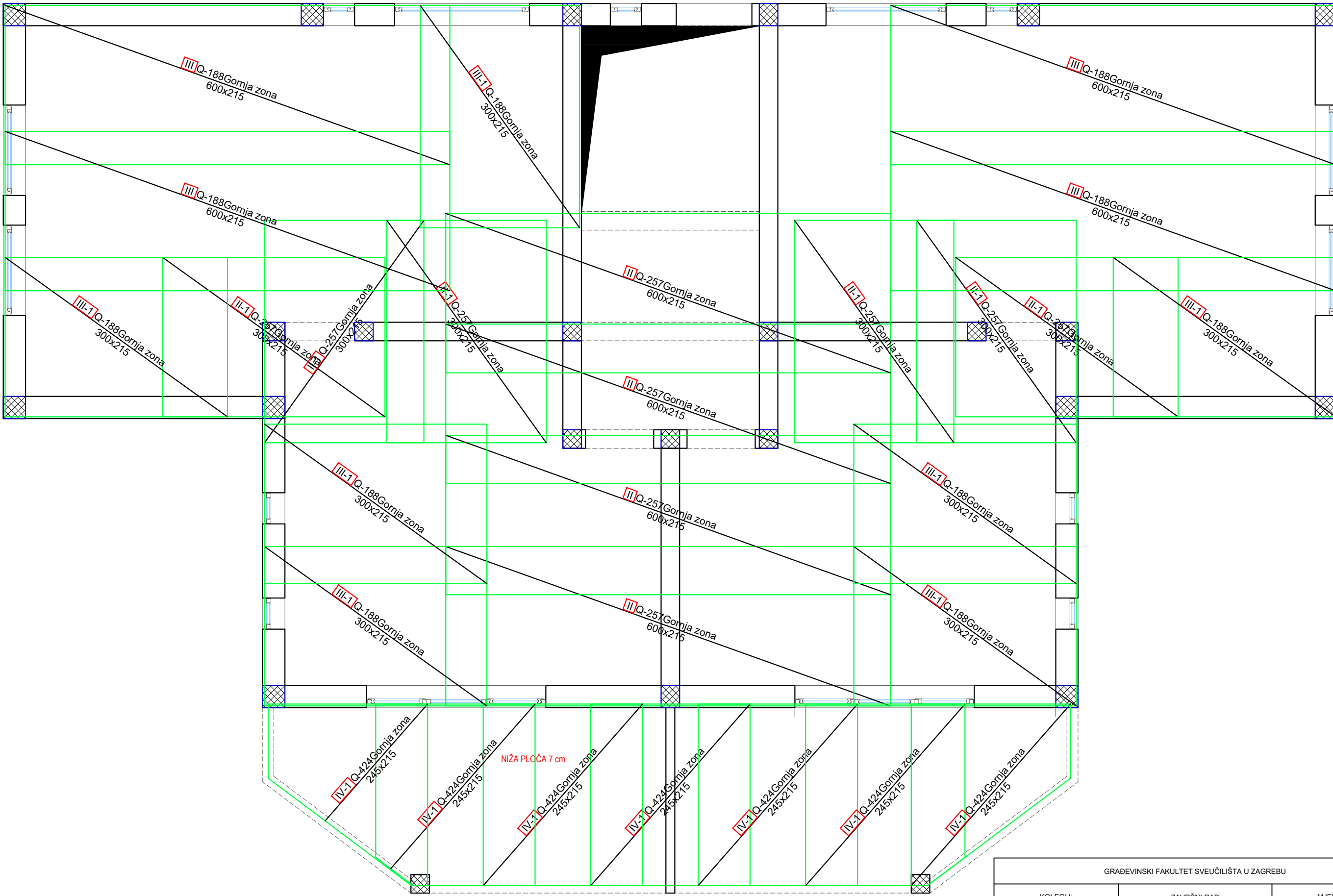
|  |                          |             |
|--|--------------------------|-------------|
| GRAĐEVINSKI FAKULTET SVEUČILIŠTA U ZAGREBU |                          |             |
| KOLEGIJ:                                   | ZAVRŠNI RAD              | MJERILO:    |
| SADRŽAJ:                                   | PLAN POZICIJA - PRESJECI | 1:100       |
| IZRADILA:                                  | HANA VRESK               | AK. GOD.:   |
| PREGLEDAO:                                 |                          | 2022./2023. |

## **2) ARMATURA**



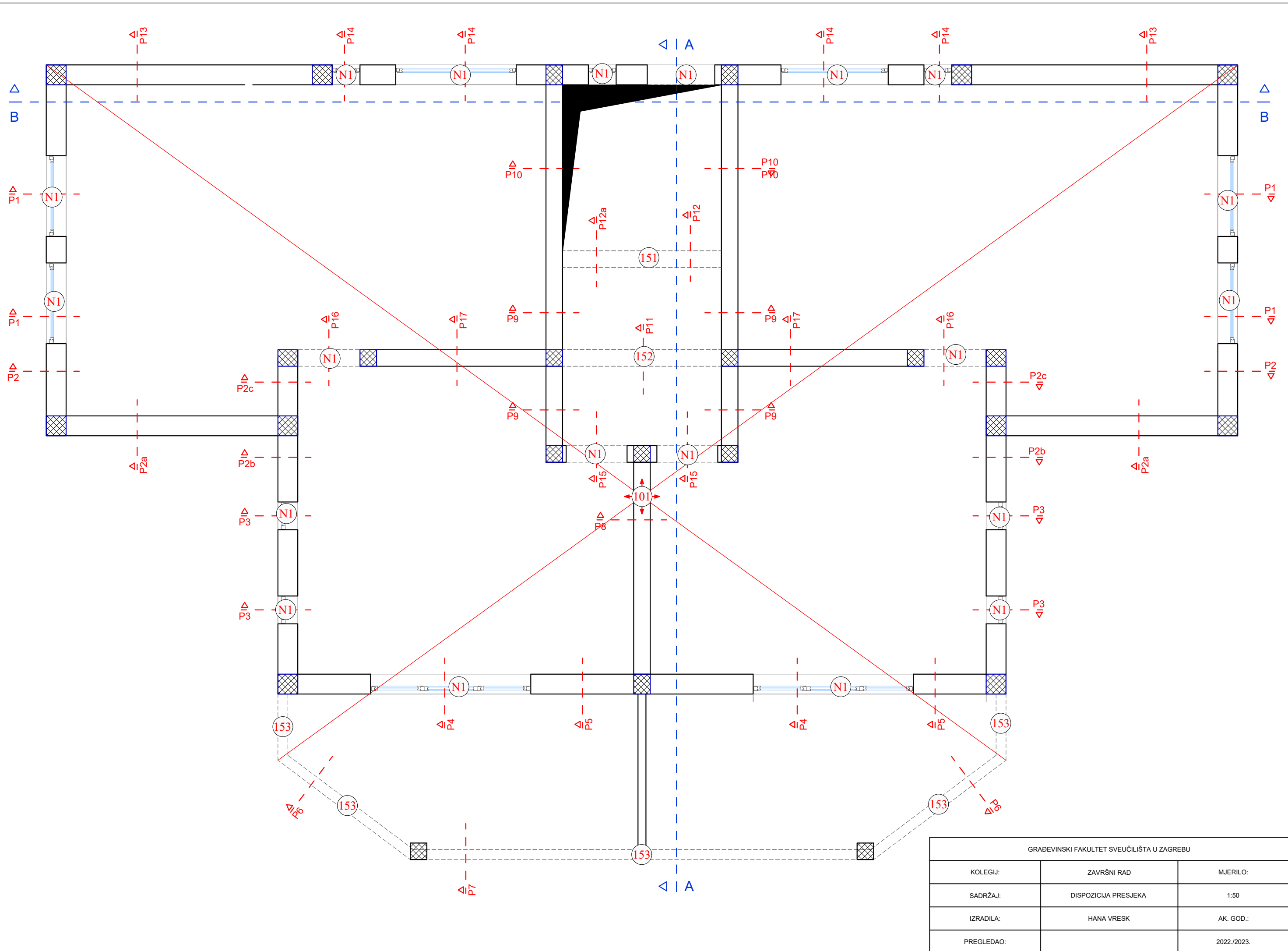
GRAĐEVINSKI FAKULTET SVEUČILIŠTA U ZAGREBU

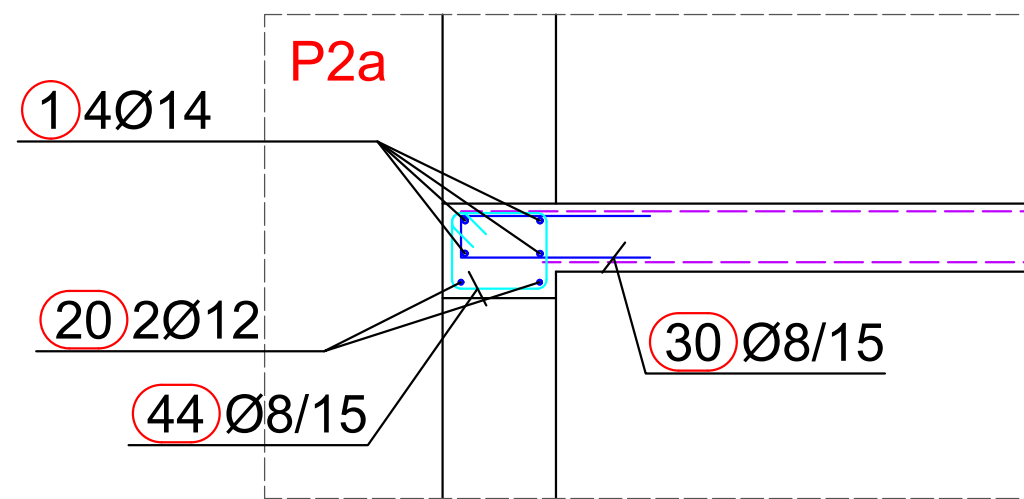
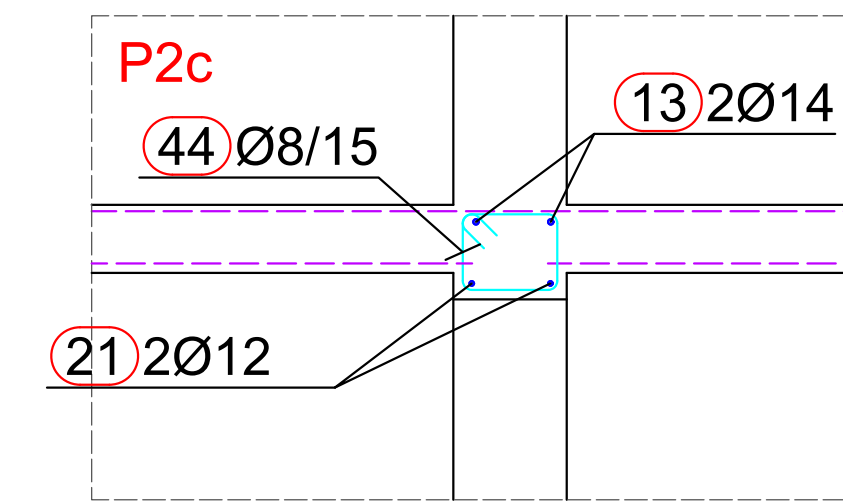
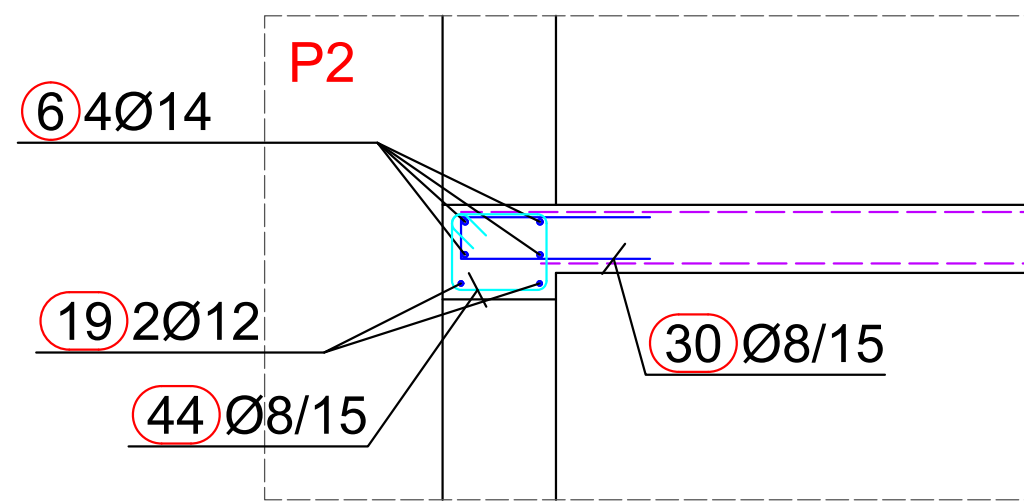
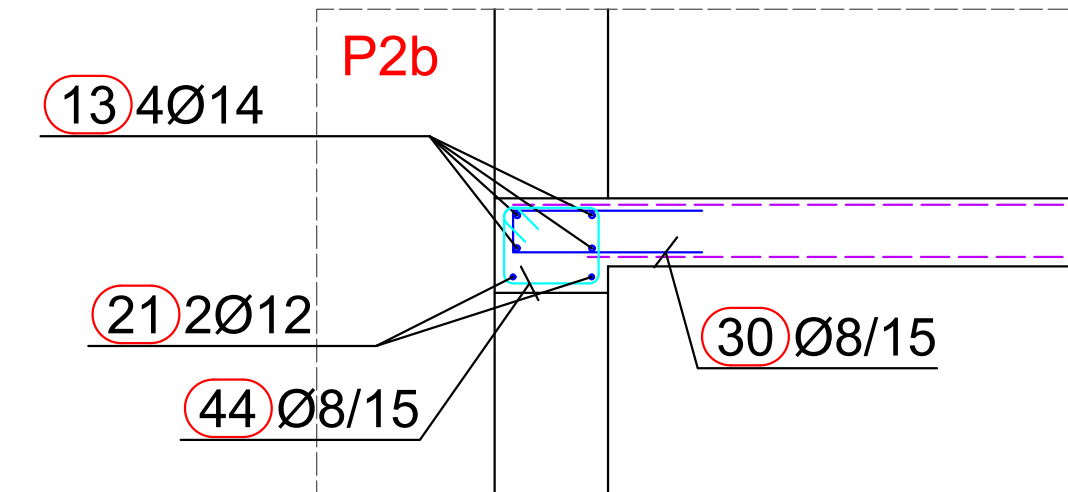
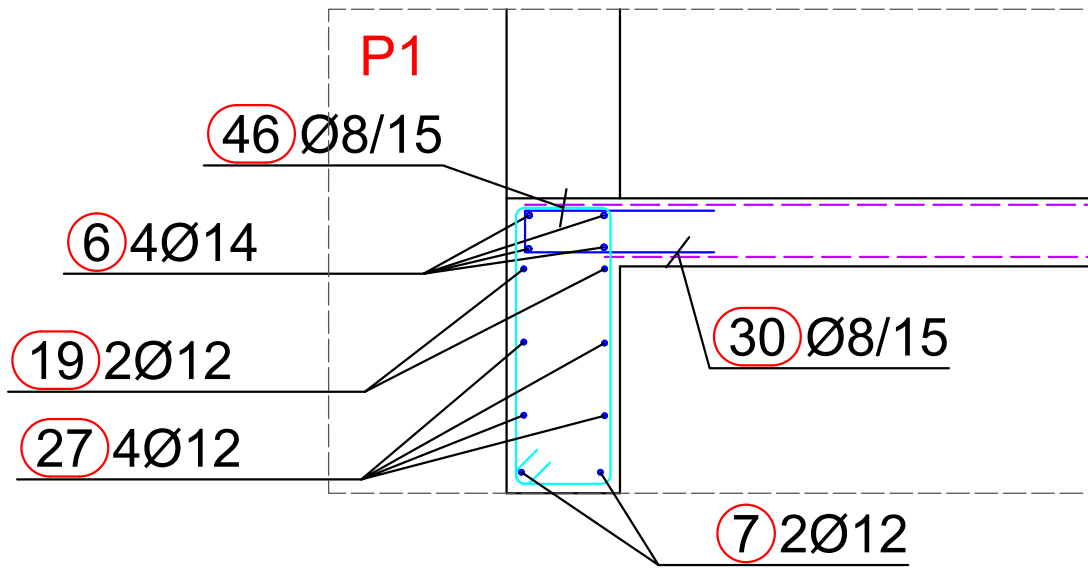
|            |              |            |
|------------|--------------|------------|
| KOLEGIJ:   | ZAVRŠNI RAD: | MJERILO:   |
| SADRŽAJ:   | DONJA ZONA   | 1:50       |
| IZRADILA:  | HANA VRESK   | AK. GOD.:  |
| PREGLEDAO: |              | 2022/2023. |



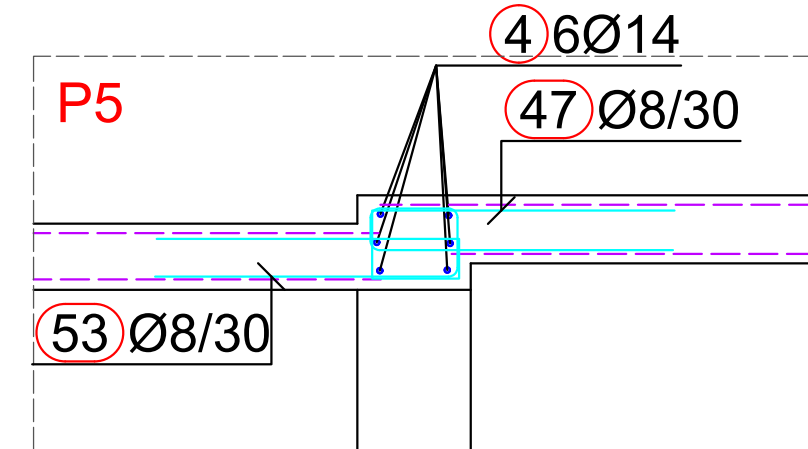
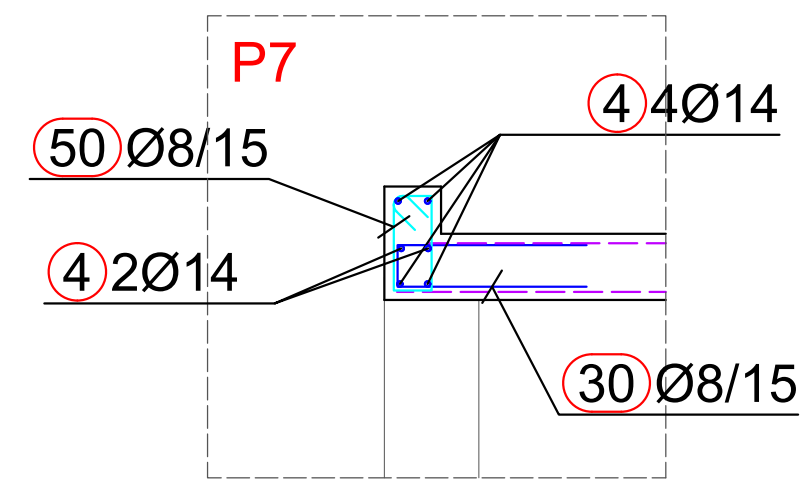
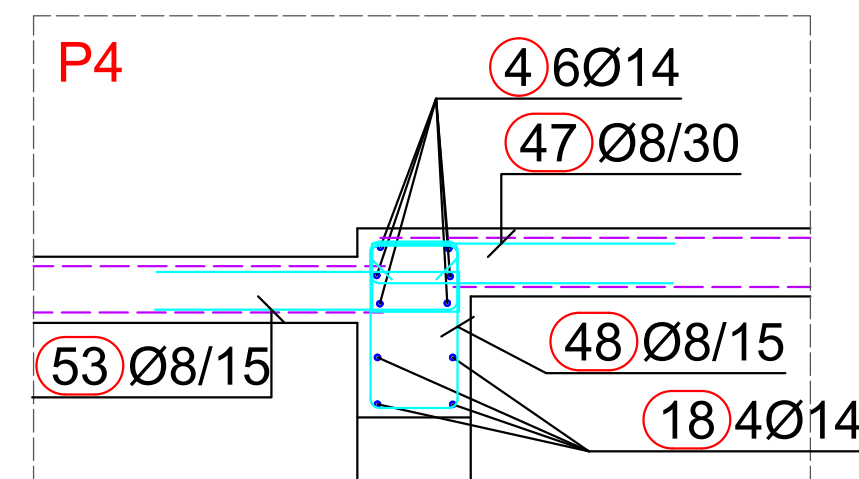
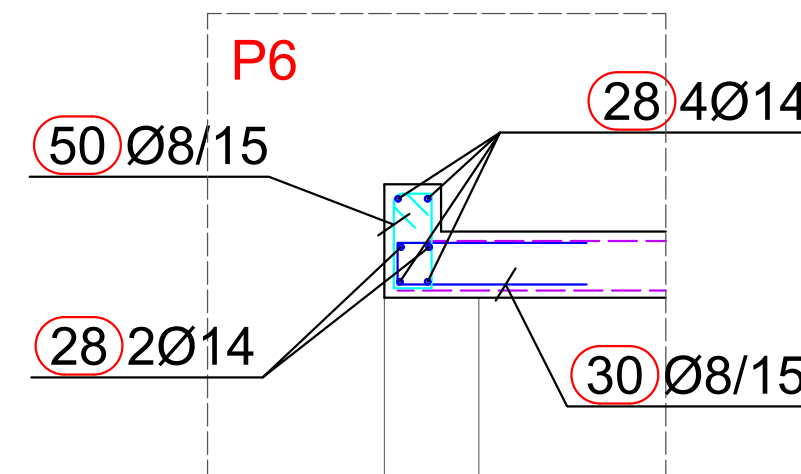
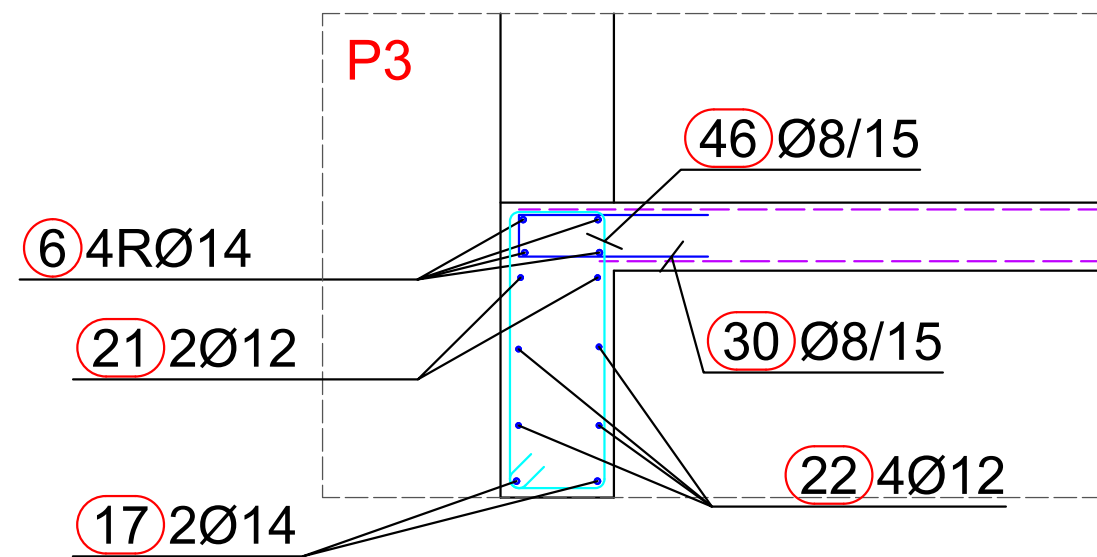
GRAĐEVINSKI FAKULTET SVEUČILIŠTA U ZAGREBU

|            |             |             |
|------------|-------------|-------------|
| KOLEGIJ:   | ZAVRŠNI RAD | MJERILO:    |
| SADRŽAJ:   | GORNJA ZONA | 1:50        |
| IZRADILA:  | HANA VRESK  | AK. GOD.:   |
| PREGLEDAO: |             | 2022./2023. |

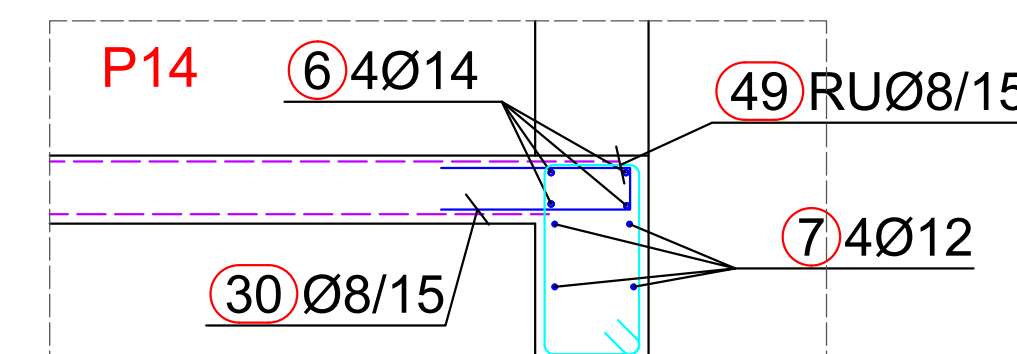
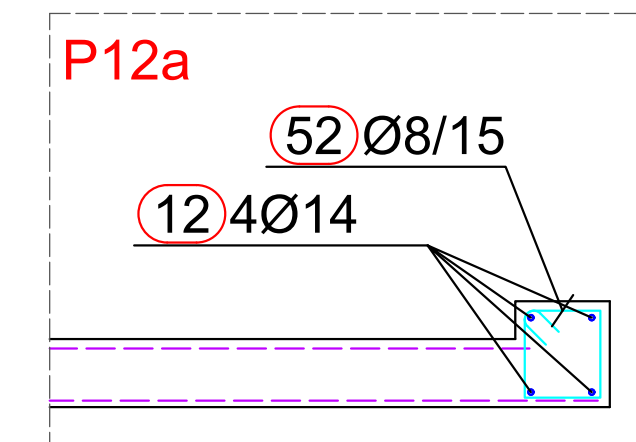
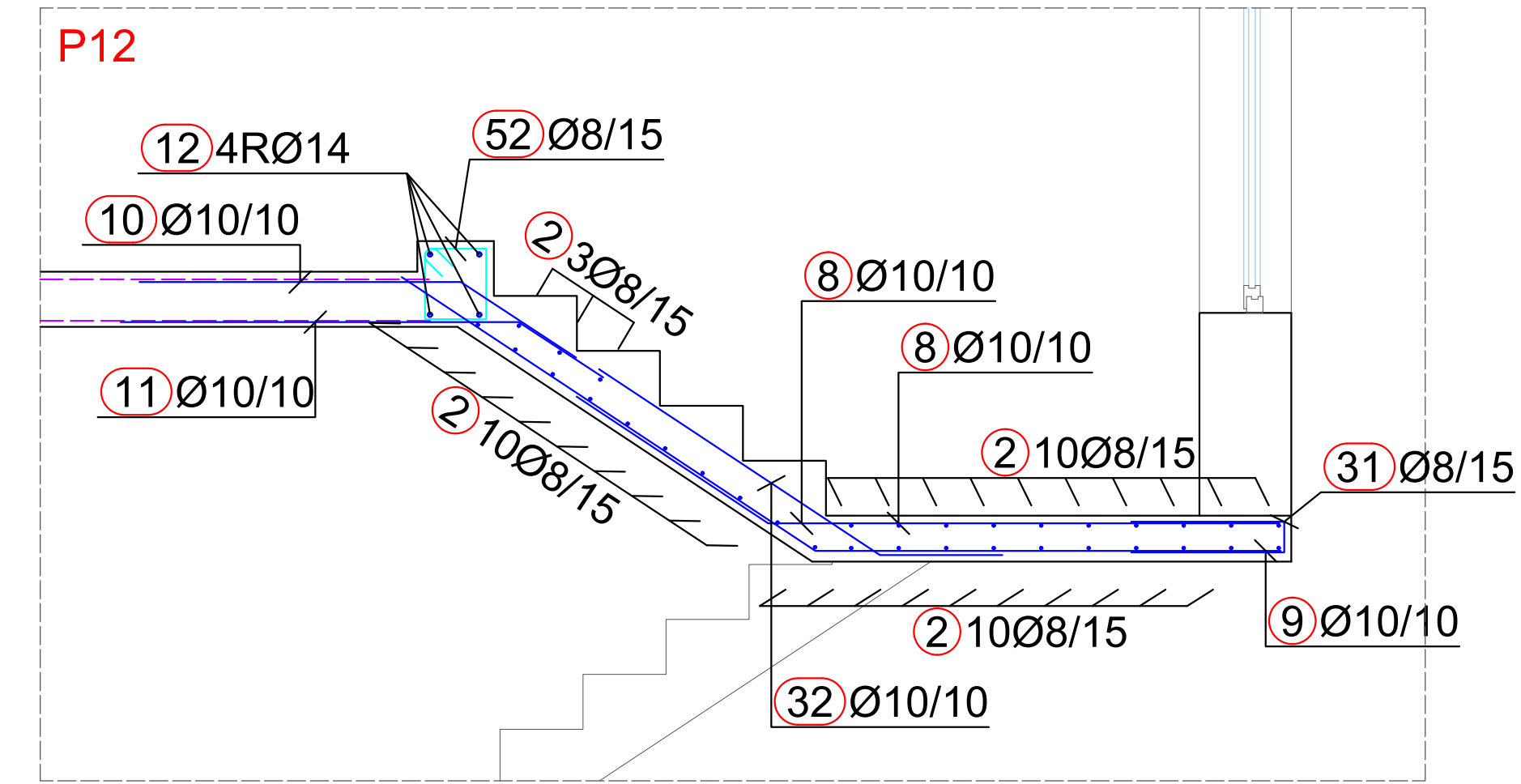
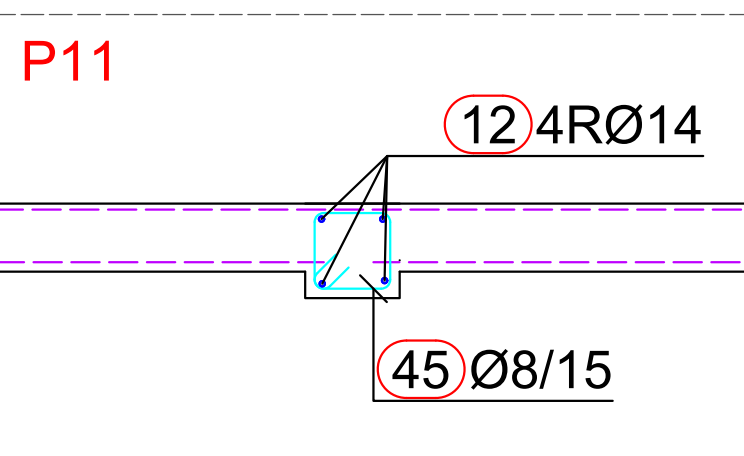
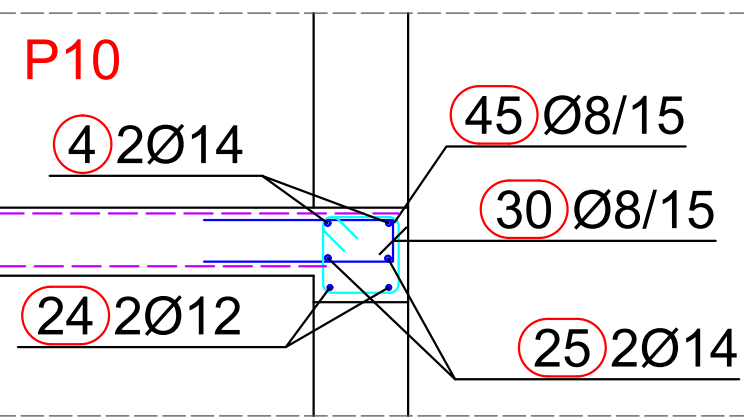
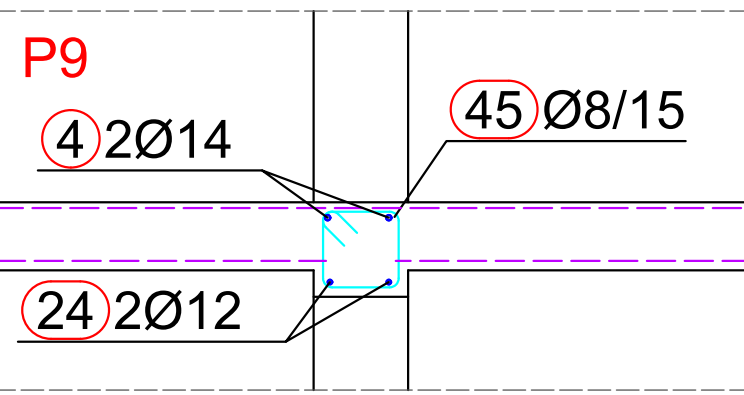
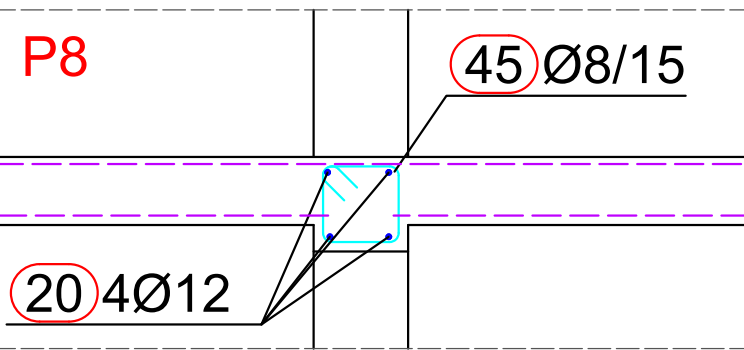




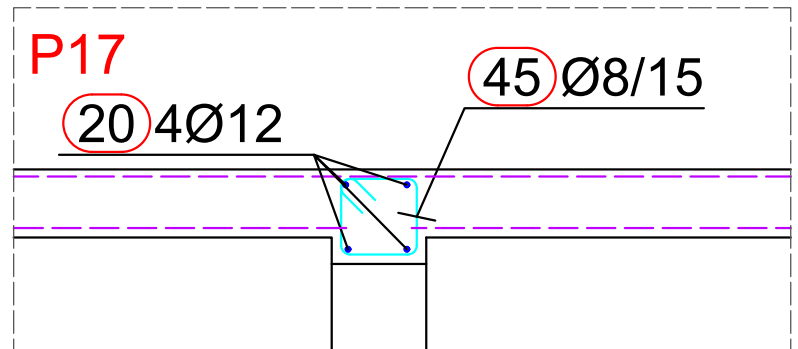
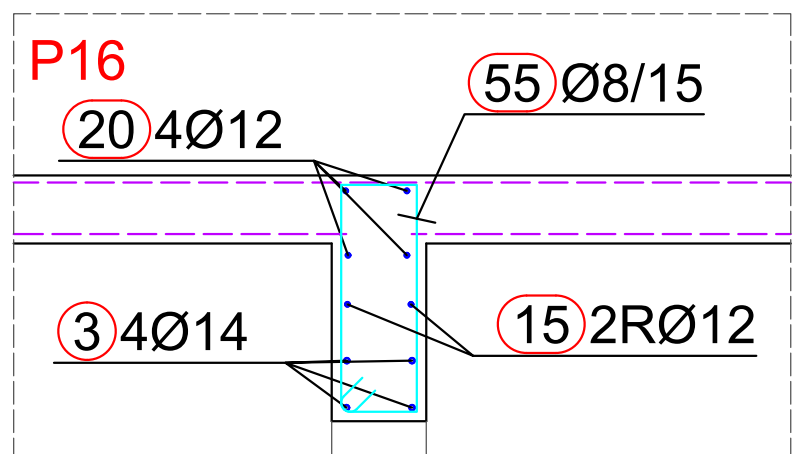
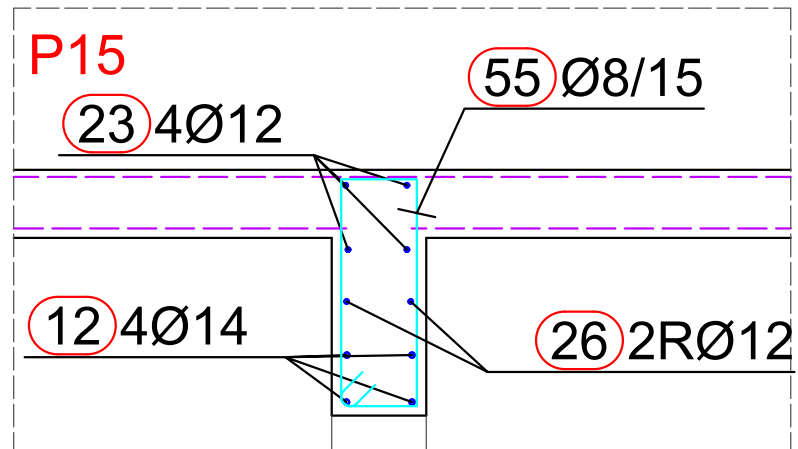
| GRAĐEVINSKI FAKULTET SVEUČILIŠTA U ZAGREBU |             |             |
|--|-------------|-------------|
| KOLEGIJ:                                   | ZAVRŠNI RAD | MJERILO:    |
| SADRŽAJ:                                   | PRESJECI    | 1:20        |
| IZRADILA:                                  | HANA VRESK  | AK. GOD.:   |
| PREGLEDAO:                                 |             | 2022./2023. |



| GRAĐEVINSKI FAKULTET SVEUČILIŠTA U ZAGREBU |             |             |
|--|-------------|-------------|
| KOLEGIJ:                                   | ZAVRŠNI RAD | MJERILO:    |
| SADRŽAJ:                                   | PRESJECI    | 1:20        |
| IZRADILA:                                  | HANA VRESK  | AK. GOD.:   |
| PREGLEDAO:                                 |             | 2022./2023. |



| GRAĐEVINSKI FAKULTET SVEUČILIŠTA U ZAGREBU |             |             |
|--|-------------|-------------|
| KOLEGIJ:                                   | ZAVRŠNI RAD | MJERILO:    |
| SADRŽAJ:                                   | PRESJECI    | 1:20        |
| IZRADILA:                                  | HANA VRESK  | AK. GOD.:   |
| PREGLEDAO:                                 |             | 2022./2023. |



|  |             |             |
|--|-------------|-------------|
| GRADEVINSKI FAKULTET SVEUČILIŠTA U ZAGREBU |             |             |
| KOLEGIJ:                                   | ZAVRŠNI RAD | MJERILO:    |
| SADRŽAJ:                                   | PRESJECI    | 1:20        |
| IZRADILA:                                  | HANA VRESK  | AK. GOD.:   |
| PREGLEDAO:                                 |             | 2022./2023. |

| Šipke - specifikacija  |                    |    |        |         | Šipke - specifikacija |   |                    |    |        | Mreže - specifikacija |         |          |              |        |        |    |                                       |                    |                         |  |
|------------------------|--------------------|----|--------|---------|-----------------------|---|--------------------|----|--------|-----------------------|---------|----------|--------------|--------|--------|----|---------------------------------------|--------------------|-------------------------|--|
| ozn                    | oblik i mjere [cm] | Ø  | lg [m] | n [kom] | ogn [m]               | ozn   | oblik i mjere [cm] | Ø  | lg [m] | n [kom]               | ogn [m] | Pozicija | Oznaka mreže | B [cm] | L [cm] | n  | Jedinična težina [kg/m <sup>2</sup> ] | Ukupna težina [kg] |                         |  |
| noname (1 kom)         |                    |    |        |         | noname (1 kom)        |   |                    |    |        | noname (1 kom)        |         |          |              |        |        |    |                                       |                    |                         |  |
| 1                      | 375                | 14 | 3.75   | 1 x 5   | 18.75                 | 44  | 25                 | 20 | 1.08   | 165                   | 178.20  | I-1      | Q-335        | 215    | 510    | 4  | 5.38                                  | 235.97             |                         |  |
| 2                      | 105                | 8  | 1.05   | 3       | 3.15                  | 45  | 20                 | 20 | 0.98   | 170                   | 166.60  | I-2      | Q-335        | 215    | 410    | 6  | 5.38                                  | 284.55             |                         |  |
| 3                      | 150                | 14 | 1.50   | 8       | 12.00                 | 46  | 73                 | 25 | 2.14   | 76                    | 162.64  | I-3      | Q-335        | 215    | 518    | 4  | 5.38                                  | 239.44             |                         |  |
| 4                      | 600                | 14 | 6.00   | 30      | 180.00                | 47  | 80                 | 18 | 2.12   | 67                    | 142.04  | I-4      | Q-335        | 215    | 385    | 2  | 5.38                                  | 89.07              |                         |  |
| 5                      | 260                | 14 | 2.60   | 12      | 31.20                 | 48  | 43                 | 23 | 1.73   | 39                    | 67.47   | I-6      | Q-335        | 134    | 250    | 2  | 5.38                                  | 36.12              |                         |  |
| 6                      | 550                | 14 | 5.50   | 8       | 44.00                 | 49  | 50                 | 25 | 1.68   | 44                    | 73.92   | II       | Q-257        | 215    | 600    | 4  | 4.11                                  | 212.08             |                         |  |
| 7                      | 340                | 12 | 3.40   | 14      | 47.60                 | 50  | 25                 | 10 | 0.88   | 71                    | 62.48   | II-1     | Q-257        | 215    | 300    | 6  | 4.11                                  | 159.06             |                         |  |
| 8                      | 167                | 10 | 2.42   | 11      | 26.62                 | 51  | 30                 | 19 | 0.98   | 253                   | 247.94  | III      | Q-188        | 215    | 600    | 4  | 3.03                                  | 156.35             |                         |  |
| 9                      | 162                | 10 | 3.14   | 11      | 34.54                 | 52  | 23                 | 20 | 1.04   | 17                    | 17.68   | III-1    | Q-188        | 215    | 300    | 7  | 3.03                                  | 136.80             |                         |  |
| 10                     | 105                | 10 | 1.50   | 11      | 16.50                 | 53  | 11                 | 80 | 2.12   | 68                    | 144.16  | IV-1     | Q-424        | 215    | 245    | 14 | 6.80                                  | 501.47             |                         |  |
| 11                     | 18                 | 10 | 1.63   | 11      | 17.93                 | 55  | 60                 | 20 | 1.78   | 28                    | 49.84   | Ukupno   |              |        |        |    |                                       | 2050.89            |                         |  |
| 12                     | 285                | 14 | 2.85   | 12      | 34.20                 | Mreže - rekapitulacija  |                    |    |        |                       |         |          |              |        |        |    |                                       |                    |                         |  |
| 13                     | 515                | 14 | 5.15   | 8       | 41.20                 | Oznaka mreže B [cm] L [cm] n Jedinična težina [kg/m <sup>2</sup> ] Ukupna težina [kg] |                    |    |        |                       |         |          |              |        |        |    |                                       |                    |                         |  |
| 14                     | 425                | 14 | 4.25   | 8       | 34.00                 | Q-335 215 600 17 5.38   |                    |    |        |                       |         |          |              |        |        |    |                                       |                    |                         |  |
| 15                     | 150                | 12 | 1.50   | 4       | 6.00                  | Q-257 215 600 7 4.11  |                    |    |        |                       |         |          |              |        |        |    |                                       |                    |                         |  |
| 16                     | 140                | 14 | 1.40   | 6       | 8.40                  | Q-188 215 600 8 3.03  |                    |    |        |                       |         |          |              |        |        |    |                                       |                    |                         |  |
| 17                     | 240                | 14 | 2.40   | 4       | 9.60                  | Q-424 215 600 7 6.80  |                    |    |        |                       |         |          |              |        |        |    |                                       |                    |                         |  |
| 18                     | 297                | 14 | 2.97   | 8       | 23.76                 | Ukupno  |                    |    |        |                       |         |          |              |        |        |    |                                       |                    |                         |  |
| 19                     | 550                | 12 | 5.50   | 4       | 22.00                 | Mreže - plan rezanja  |                    |    |        |                       |         |          |              |        |        |    |                                       |                    |                         |  |
| 20                     | 375                | 12 | 3.75   | 8       | 30.00                 | noname  |                    |    |        |                       |         |          |              |        |        |    |                                       |                    |                         |  |
| 21                     | 515                | 12 | 5.15   | 4       | 20.60                 | Q-335 (215 cm x 600 cm)   |                    |    |        |                       |         |          |              |        |        |    |                                       |                    |                         |  |
| 22                     | 240                | 12 | 2.40   | 8       | 19.20                 | I-3 215 x 518   |                    |    |        |                       |         |          |              |        |        |    |                                       |                    |                         |  |
| 23                     | 285                | 12 | 2.85   | 4       | 11.40                 | I-1 215 x 510   |                    |    |        |                       |         |          |              |        |        |    |                                       |                    |                         |  |
| 24                     | 600                | 12 | 6.00   | 12      | 72.00                 | I-2 215 x 410   |                    |    |        |                       |         |          |              |        |        |    |                                       |                    |                         |  |
| 25                     | 280                | 14 | 2.80   | 4       | 11.20                 | I-4 215 x 385   |                    |    |        |                       |         |          |              |        |        |    |                                       |                    |                         |  |
| 26                     | 285                | 12 | 2.85   | 2       | 5.70                  | I-6 134 x 250   |                    |    |        |                       |         |          |              |        |        |    |                                       |                    |                         |  |
| 27                     | 340                | 12 | 3.40   | 8       | 27.20                 | II-1 215 x 300  |                    |    |        |                       |         |          |              |        |        |    |                                       |                    |                         |  |
| 28                     | 100                | 14 | 3.72   | 12      | 44.64                 | II-1 215 x 300  |                    |    |        |                       |         |          |              |        |        |    |                                       |                    |                         |  |
| 29                     | 110                | 12 | 1.50   | 56      | 84.00                 | Q-257 (215 cm x 600 cm)   |                    |    |        |                       |         |          |              |        |        |    |                                       |                    |                         |  |
| 30                     | 50                 | 8  | 1.11   | 409     | 453.99                | III-1 215 x 300   |                    |    |        |                       |         |          |              |        |        |    |                                       |                    |                         |  |
| 31                     | 50                 | 8  | 1.10   | 18      | 19.80                 | III-1 215 x 300   |                    |    |        |                       |         |          |              |        |        |    |                                       |                    |                         |  |
| 32                     | 110                | 10 | 1.50   | 11      | 16.50                 | Q-188 (215 cm x 600 cm)   |                    |    |        |                       |         |          |              |        |        |    |                                       |                    |                         |  |
| Šipke - rekapitulacija |                    |    |        |         |                       |   |                    |    |        |                       |         |          |              |        | RA1    |    |                                       |                    | Q-424 (215 cm x 600 cm) |  |
|                        |                    |    |        |         |                       |   |                    |    |        |                       |         |          |              |        | RA1    |    |                                       |                    | Q-424 (215 cm x 600 cm) |  |
|                        |                    |    |        |         |                       |   |                    |    |        |                       |         |          |              |        | RA1    |    |                                       |                    | Q-424 (215 cm x 600 cm) |  |
|                        |                    |    |        |         |                       |   |                    |    |        |                       |         |          |              |        | RA1    |    |                                       |                    | Q-424 (215 cm x 600 cm) |  |
|                        |                    |    |        |         |                       |   |                    |    |        |                       |         |          |              |        | RA1    |    |                                       |                    |                         |  |

## C) LITERATURA

- Hrvatski zavod za norme, 2011: Eurokod: Osnove projektiranja konstrukcija (EN 1990:2002+A1:2005+A1:2005/AC:2010)
- Hrvatski zavod za norme, 2011: Eurokod: Osnove projektiranja konstrukcija – Nacionalni dodatak (EN 1990:2011/NA)
- Hrvatski zavod za norme, 2012: Eurokod 1: Djelovanja na konstrukcije – Dio 1-4: Opća djelovanja – Opterećenja snijegom (EN 1991-1-3:2003+AC:2003+AC:2009)
- Hrvatski zavod za norme, 2012: Eurokod 1: Djelovanja na konstrukcije – Dio 1-4: Opća djelovanja – Opterećenja snijegom – Nacionalni dodatak
- Hrvatski zavod za norme, 2012: Hrvatski zavod za norme, 2012: Eurokod 1: Djelovanja na konstrukcije – Dio 1-4: Opća djelovanja – Djelovanja vjetra (EN 1991-1-4:2005+AC:2010+AC:2010)
- Hrvatski zavod za norme, 2012: Eurokod 1: Djelovanja na konstrukcije – Dio 1-4: Opća djelovanja – Djelovanja vjetra – Nacionalni dodatak
- Hrvatski zavod za norme, 2012: Hrvatski zavod za norme, 2012: Eurokod 1: Djelovanja na konstrukcije – Dio 1-1: Opća djelovanja – Obujamske težine, vlastite težine I uporabna opterećenja zgrada (EN 1991-1-1:2002+AC:2009)
- Hrvatski zavod za norme, 2012: Hrvatski zavod za norme, 2012: Eurokod 1: Djelovanja na konstrukcije – Dio 1-1: Opća djelovanja – Obujamske težine, vlastite težine I uporabna opterećenja zgrada – Nacionalni dodatak (EN 1991-1-1:2012/NA)
- Hrvatski zavod za norme, 2012, Eurokod 6: Projektiranje zidanih konstrukcija ( HRN 1996)
- Hrvatski zavod za norme, 2013, Eurokod 2: Projektiranje betonskih konstrukcija ( HRN 1992)
- Hrvatski zavod za norme, 2013, Eurokod 5: Projektiranje drvenih konstrukcija ( HRN 1995)
- *Zidane konstrukcije, Zorislav Sorić, Tiskara Zelina, Zagreb, 2016*
- *Betonske konstrukcije 1, Zorislav Sorić, Tomislav Kišiček, Tiskara Zelina, Zagreb, 2014.*

